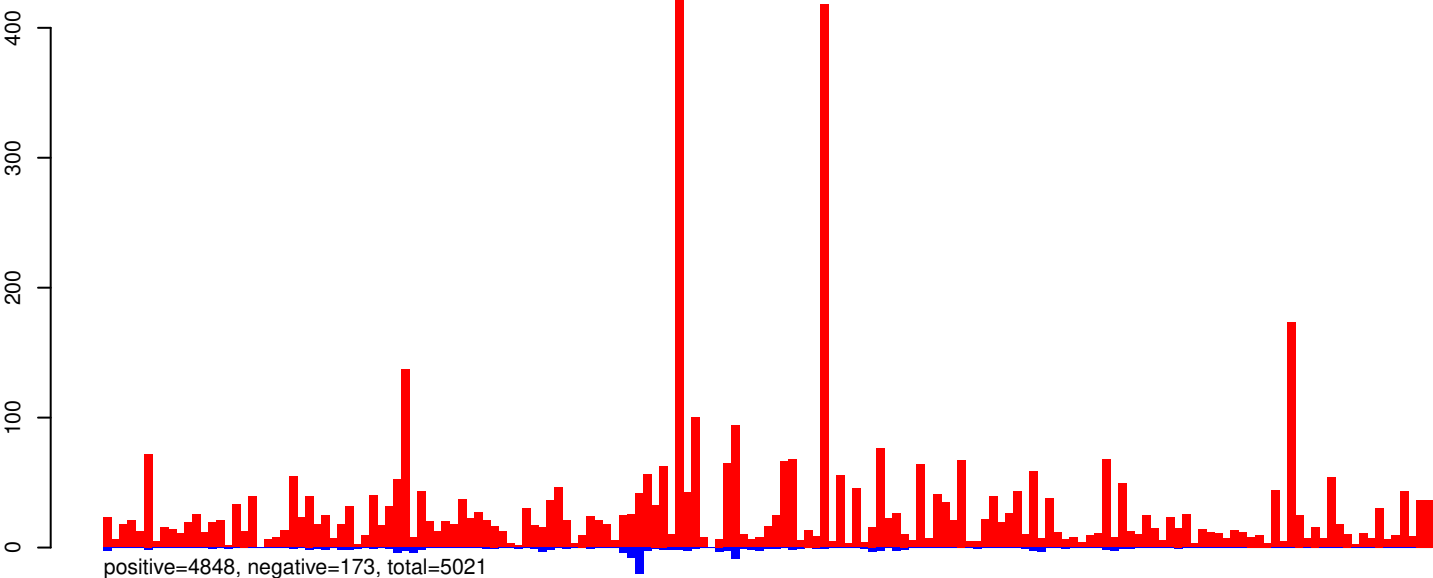
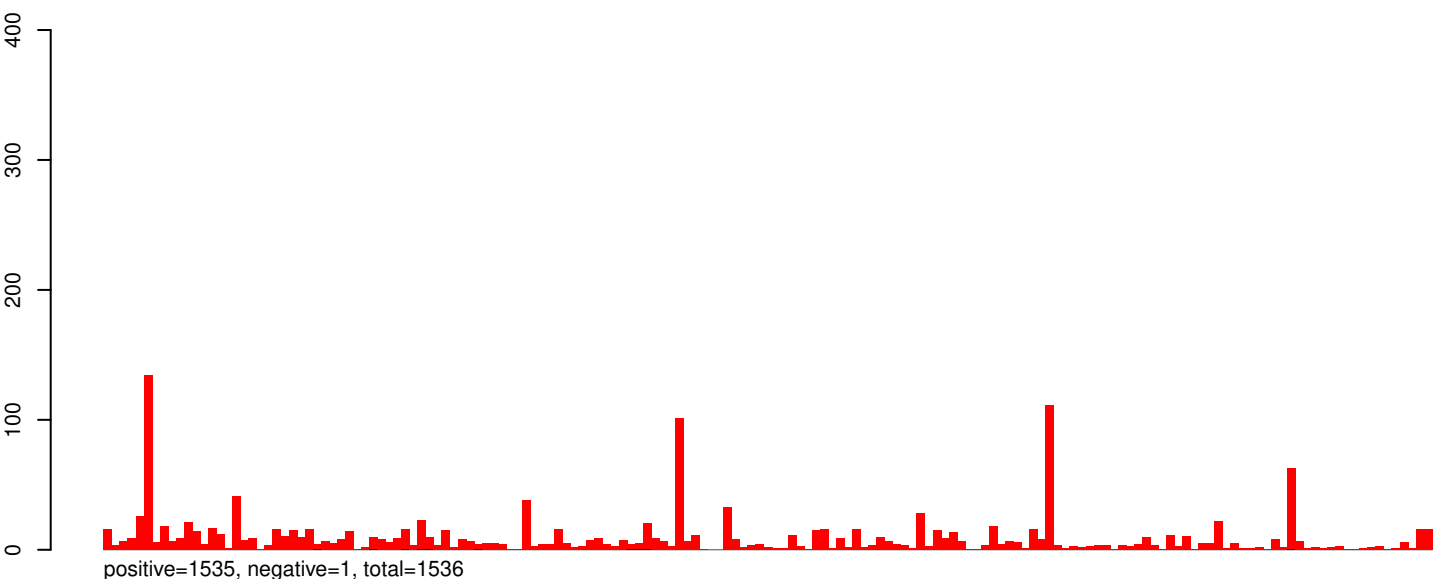


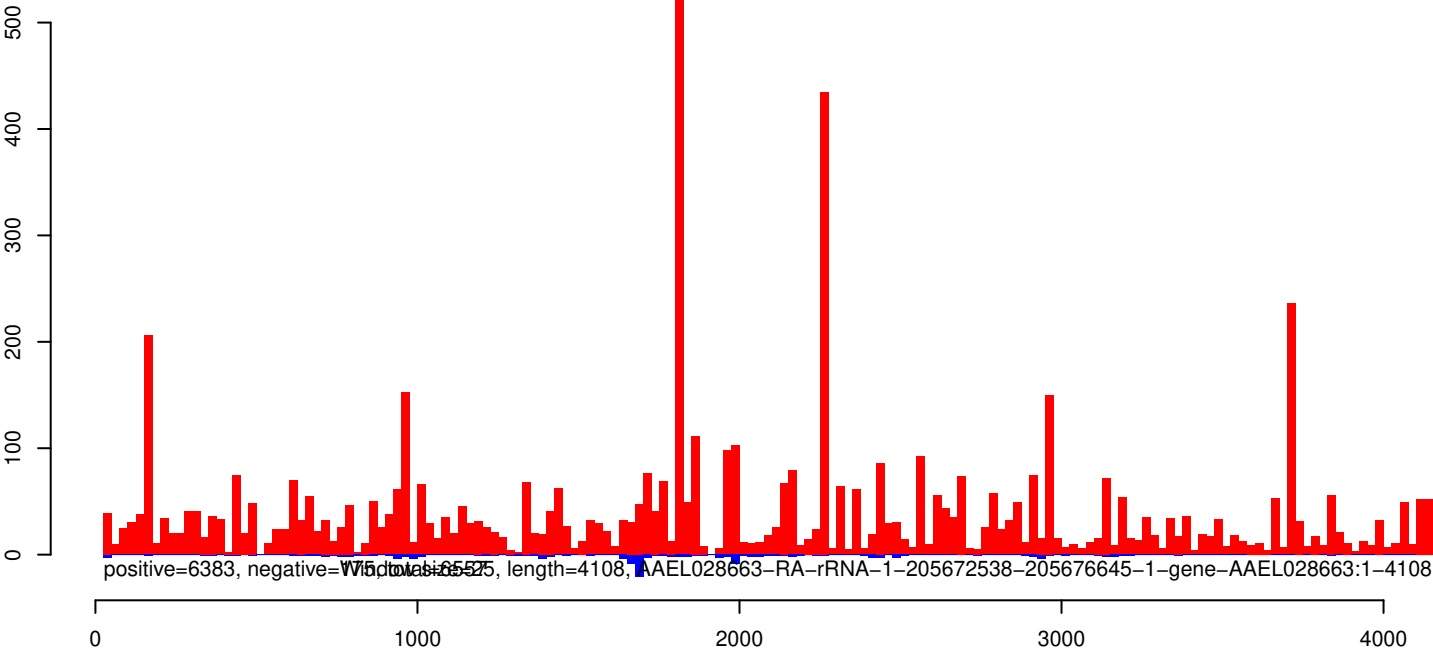
AeAeg_Aag2_Ago3_SINV_RA.18_23.rep



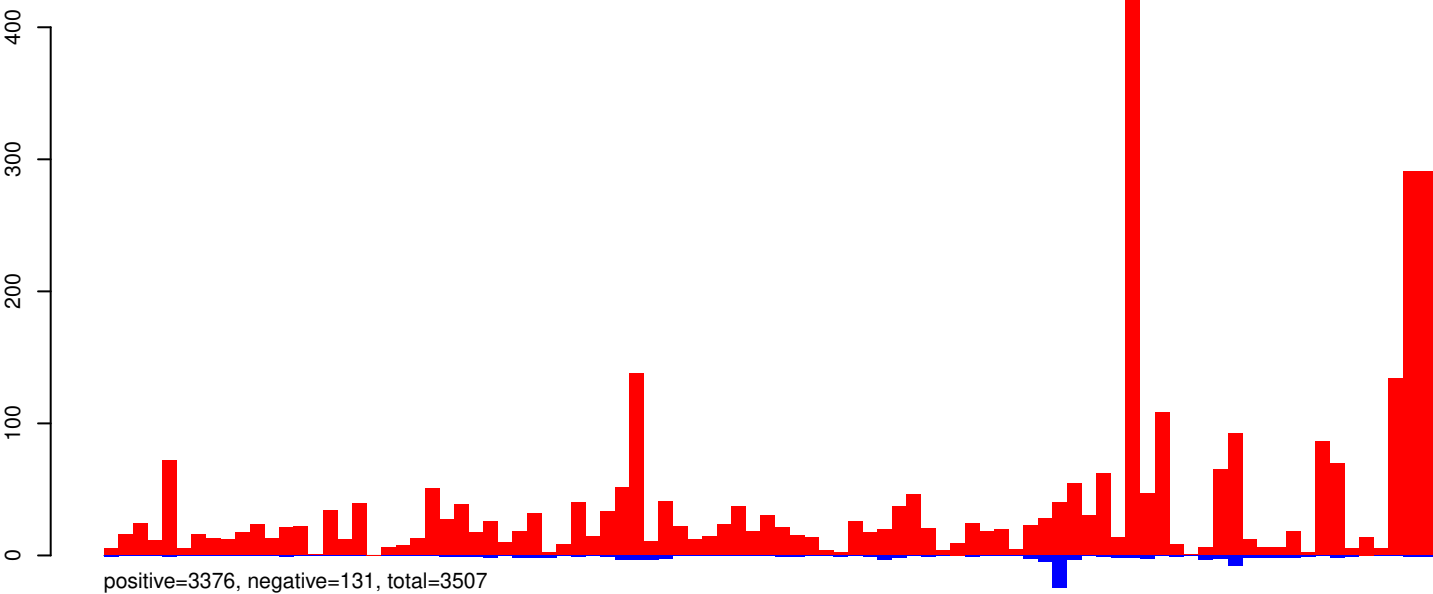
AeAeg_Aag2_Ago3_SINV_RA.24_35.rep



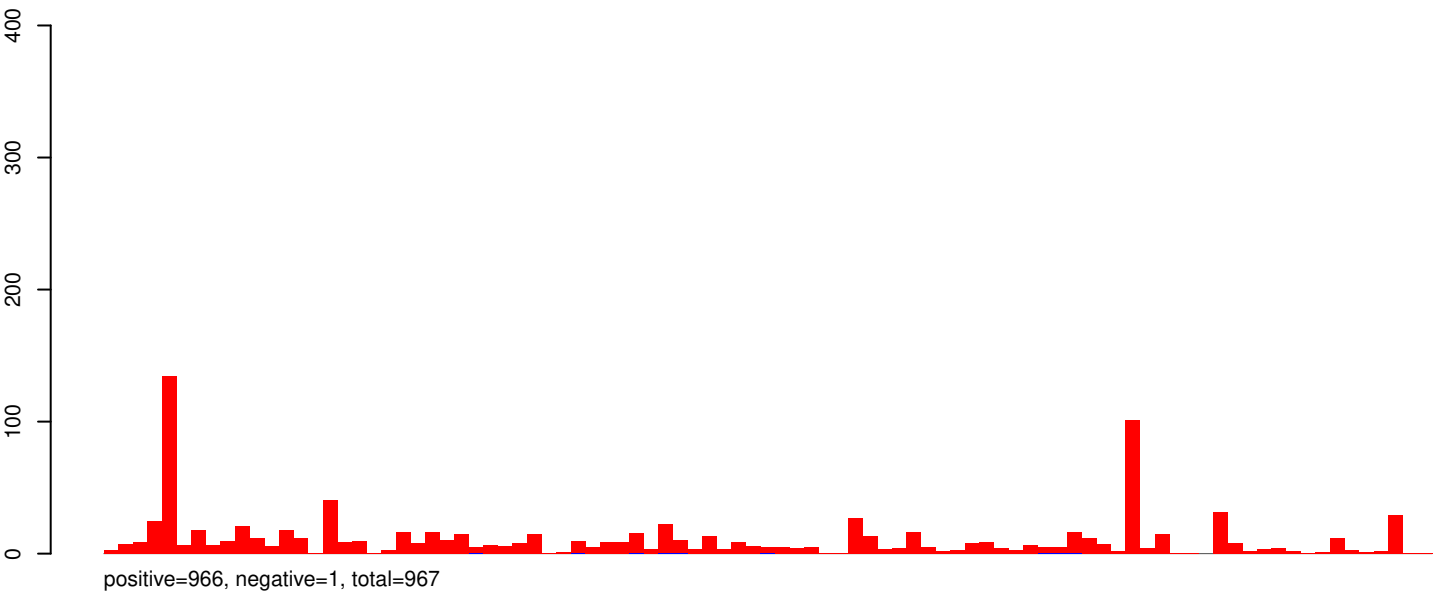
AeAeg_Aag2_Ago3_SINV_RA.rep



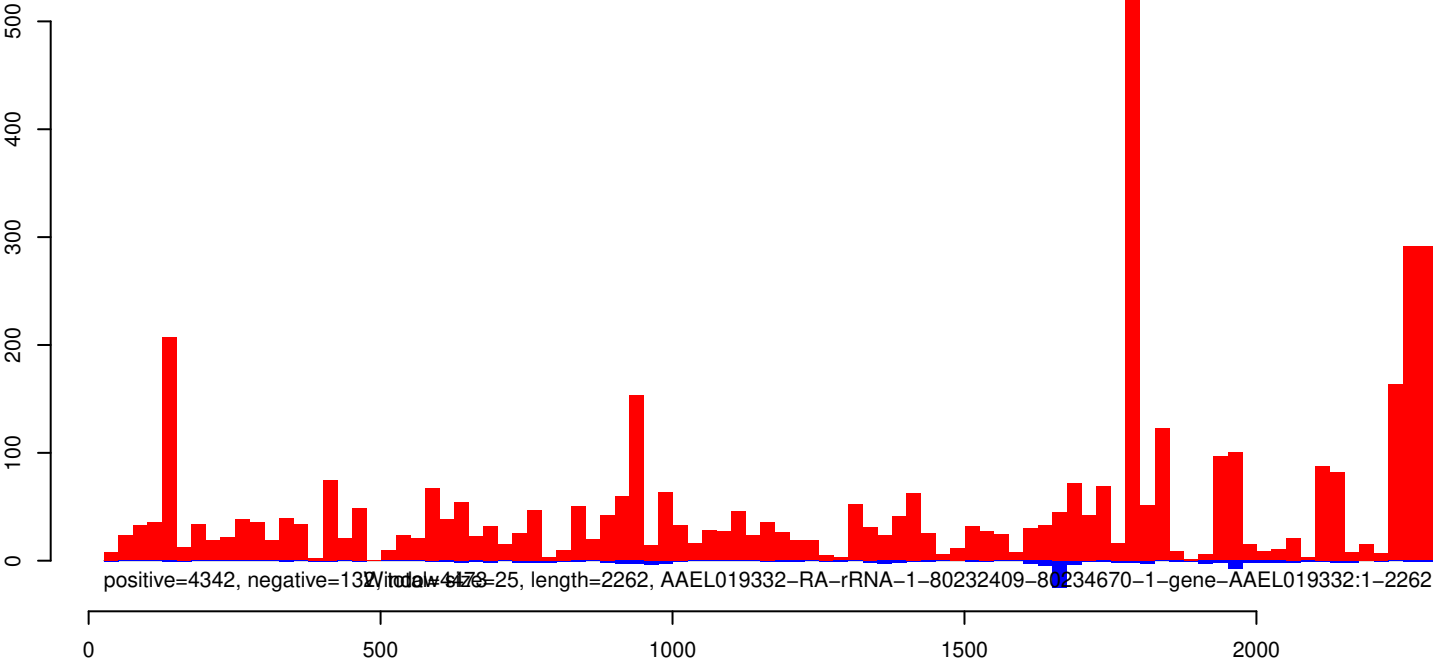
AeAeg_Aag2_Ago3_SINV_RA.18_23.rep



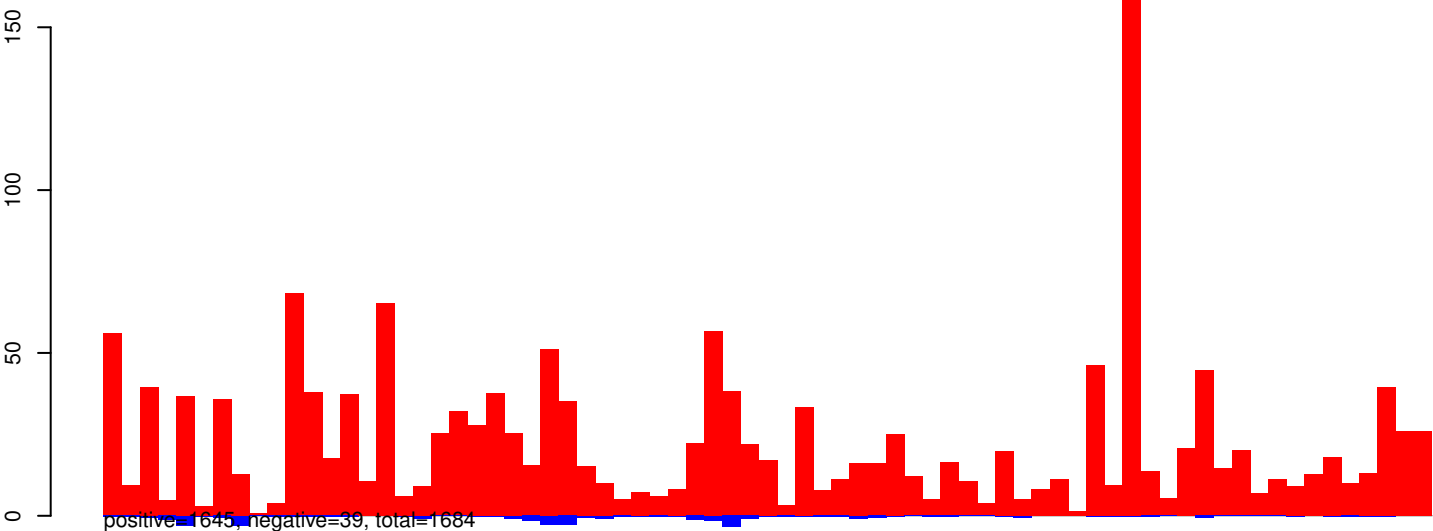
AeAeg_Aag2_Ago3_SINV_RA.24_35.rep



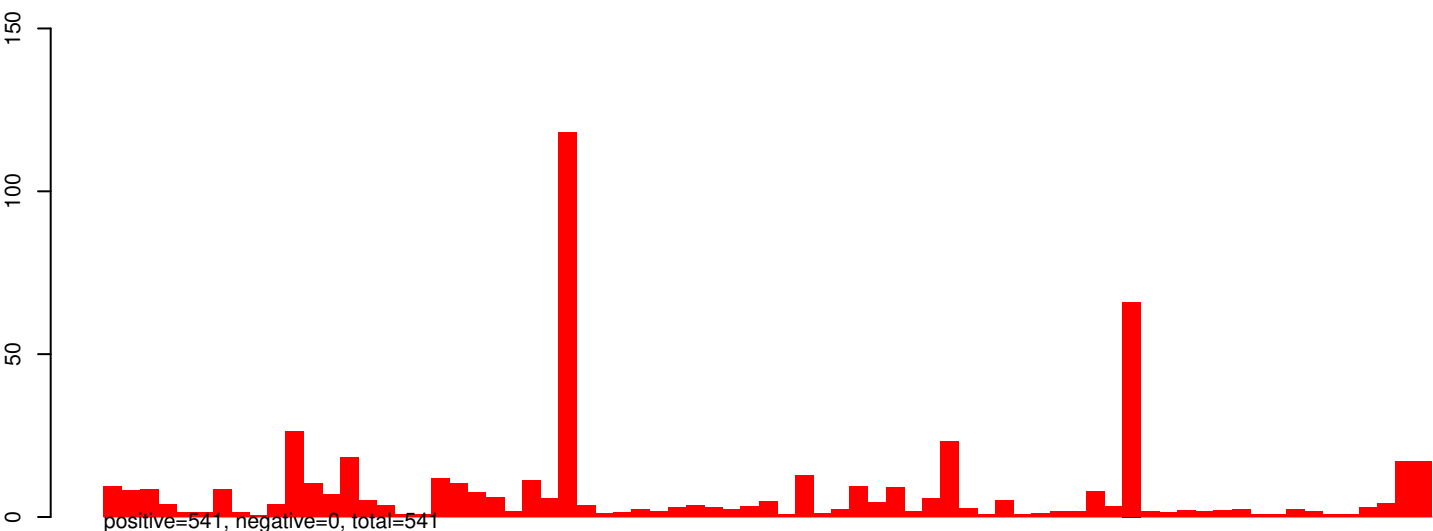
AeAeg_Aag2_Ago3_SINV_RA.rep



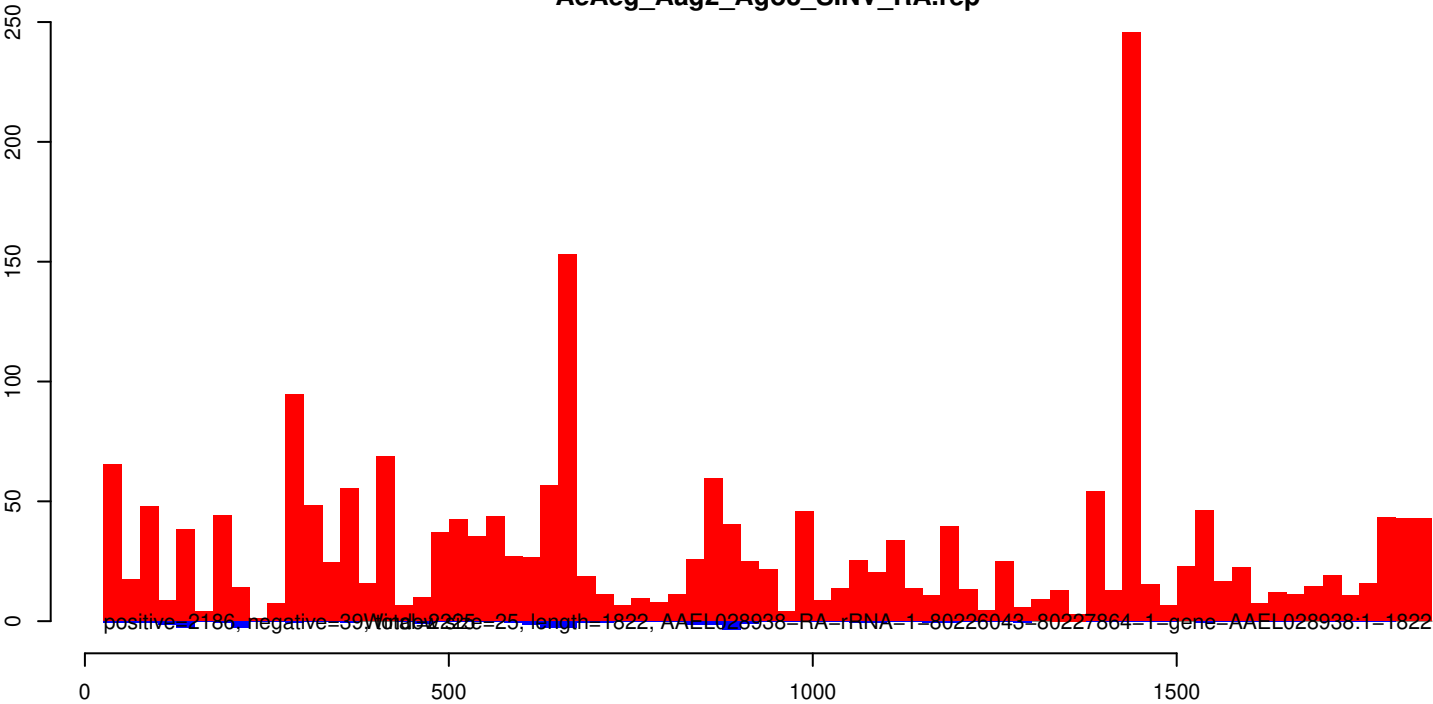
AeAeg_Aag2_Ago3_SINV_RA.18_23.rep



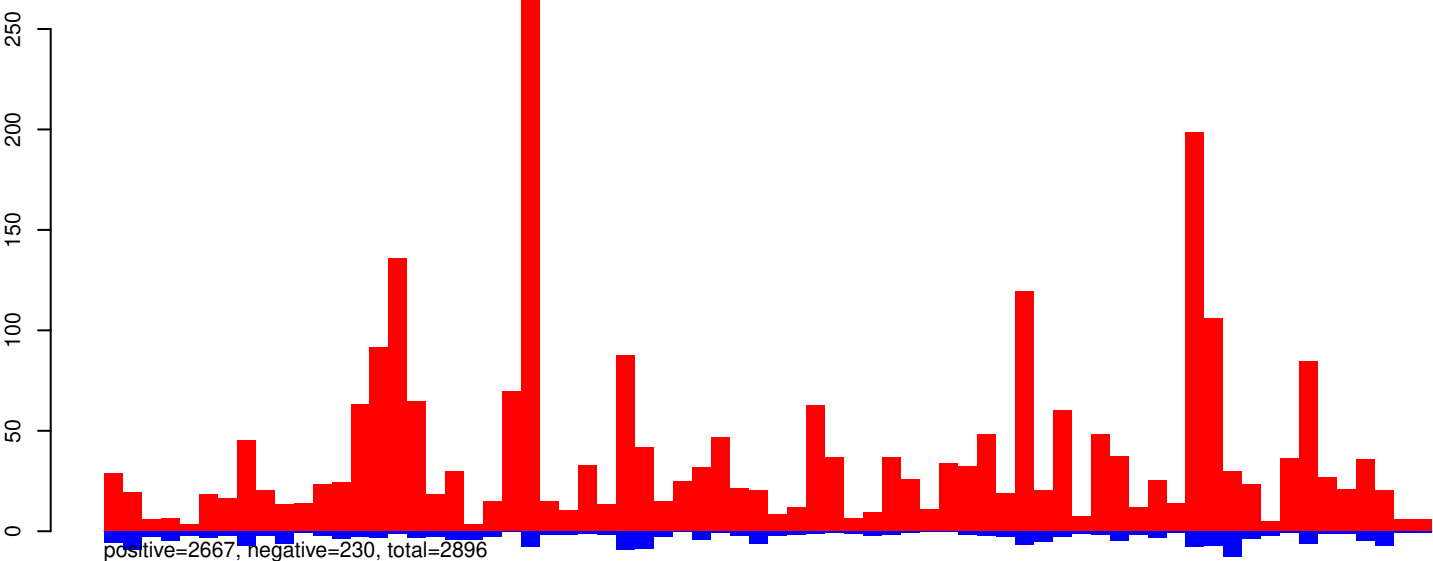
AeAeg_Aag2_Ago3_SINV_RA.24_35.rep



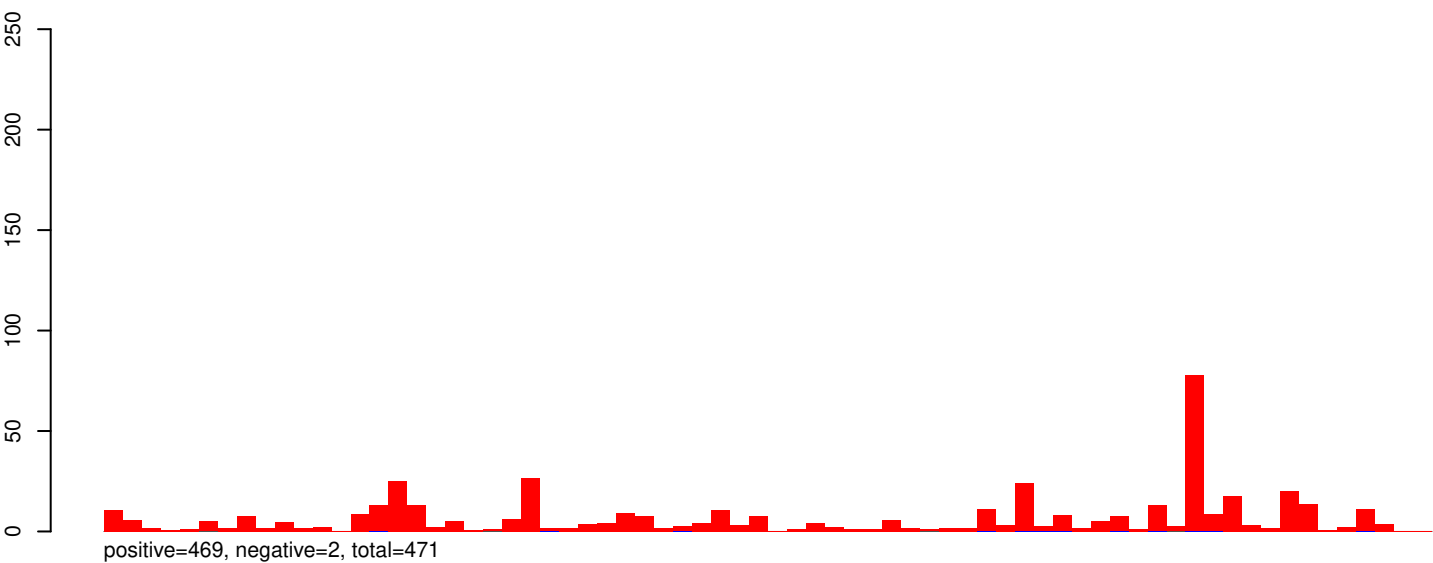
AeAeg_Aag2_Ago3_SINV_RA.rep



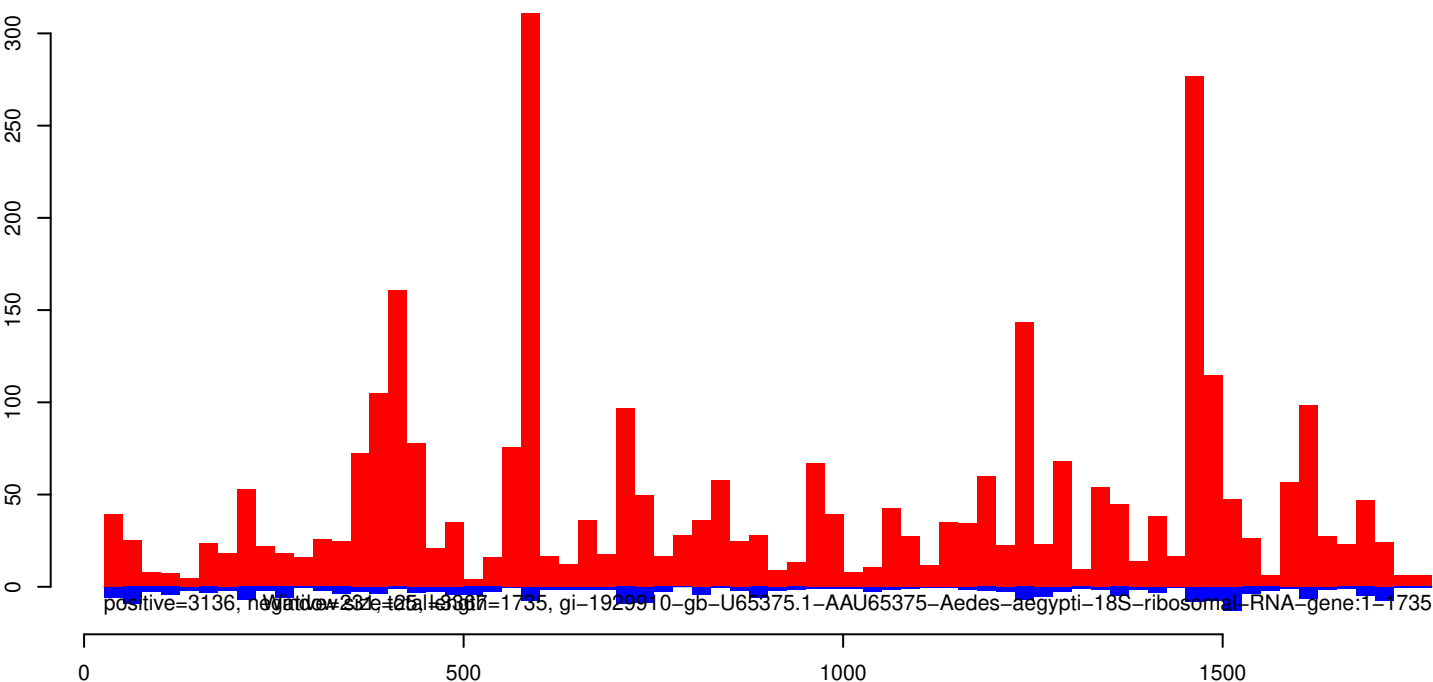
AeAeg_Aag2_Ago3_SINV_RA.18_23.rep



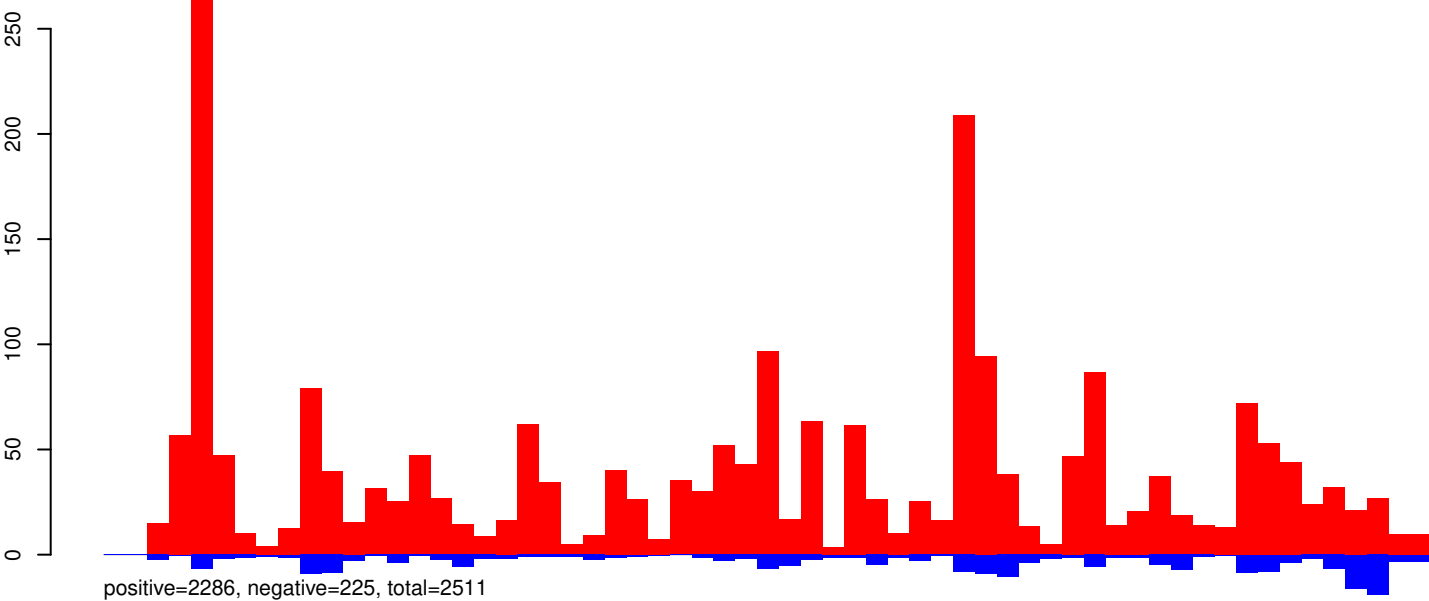
AeAeg_Aag2_Ago3_SINV_RA.24_35.rep



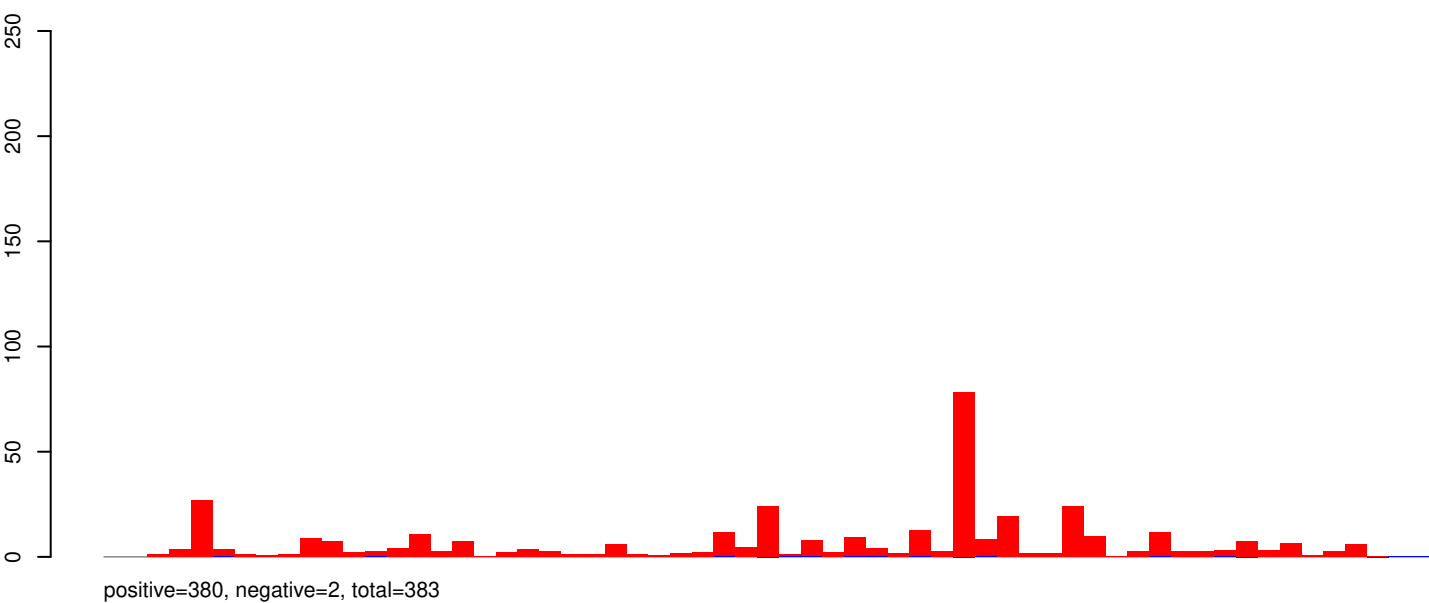
AeAeg_Aag2_Ago3_SINV_RA.rep



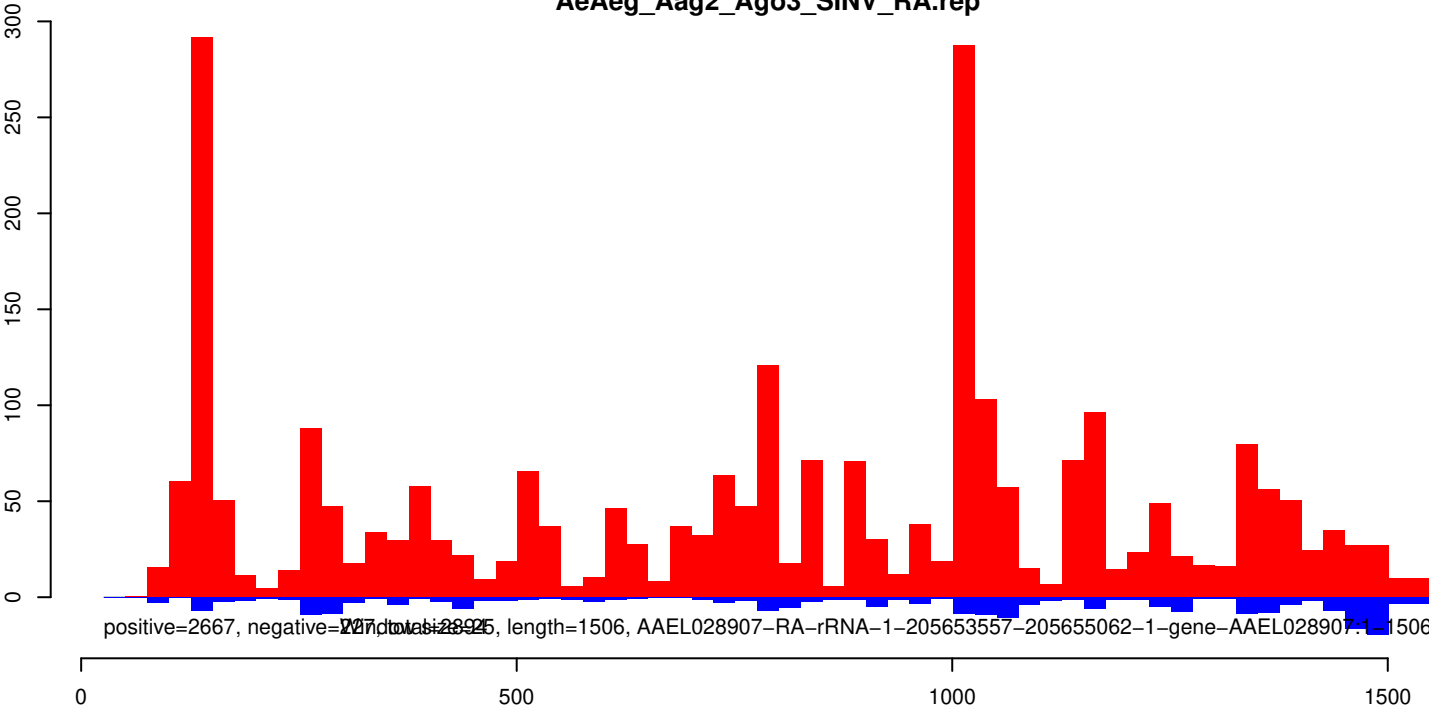
AeAeg_Aag2_Ago3_SINV_RA.18_23.rep



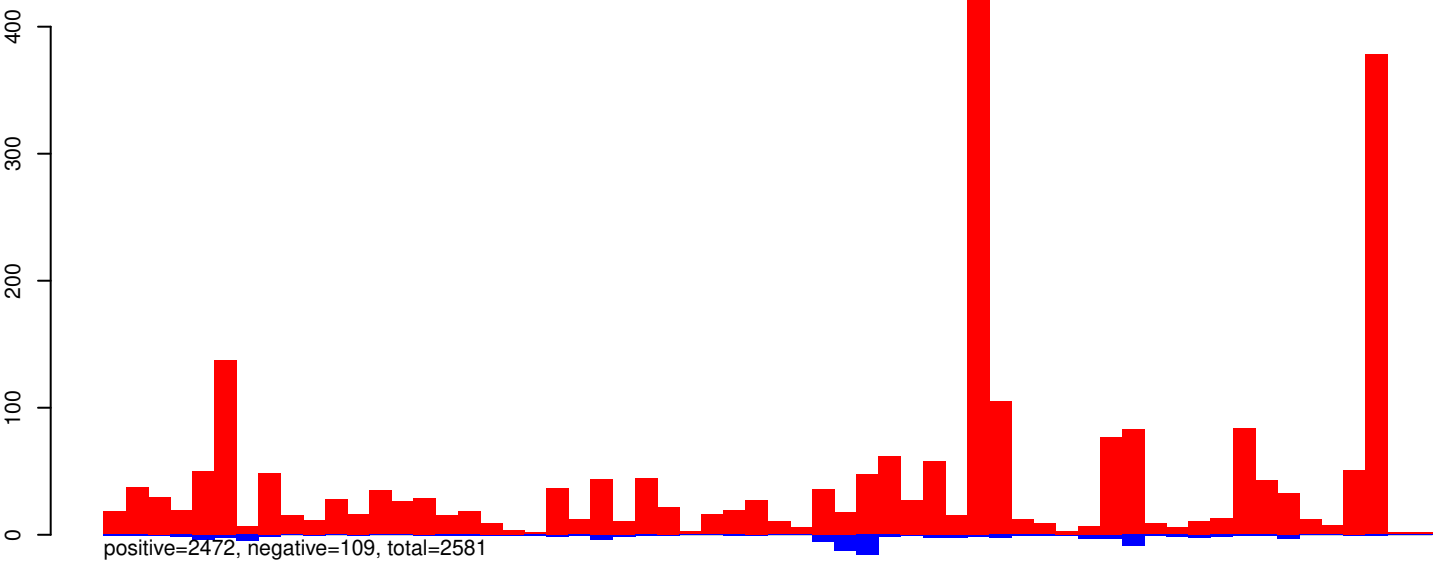
AeAeg_Aag2_Ago3_SINV_RA.24_35.rep



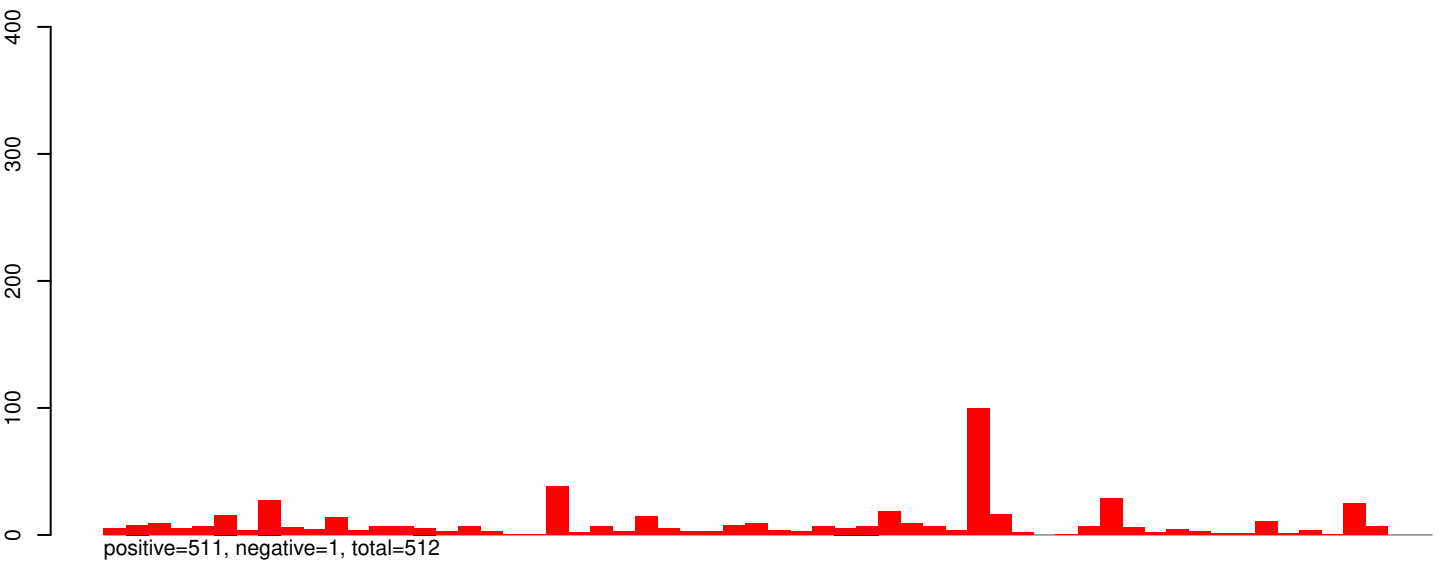
AeAeg_Aag2_Ago3_SINV_RA.rep



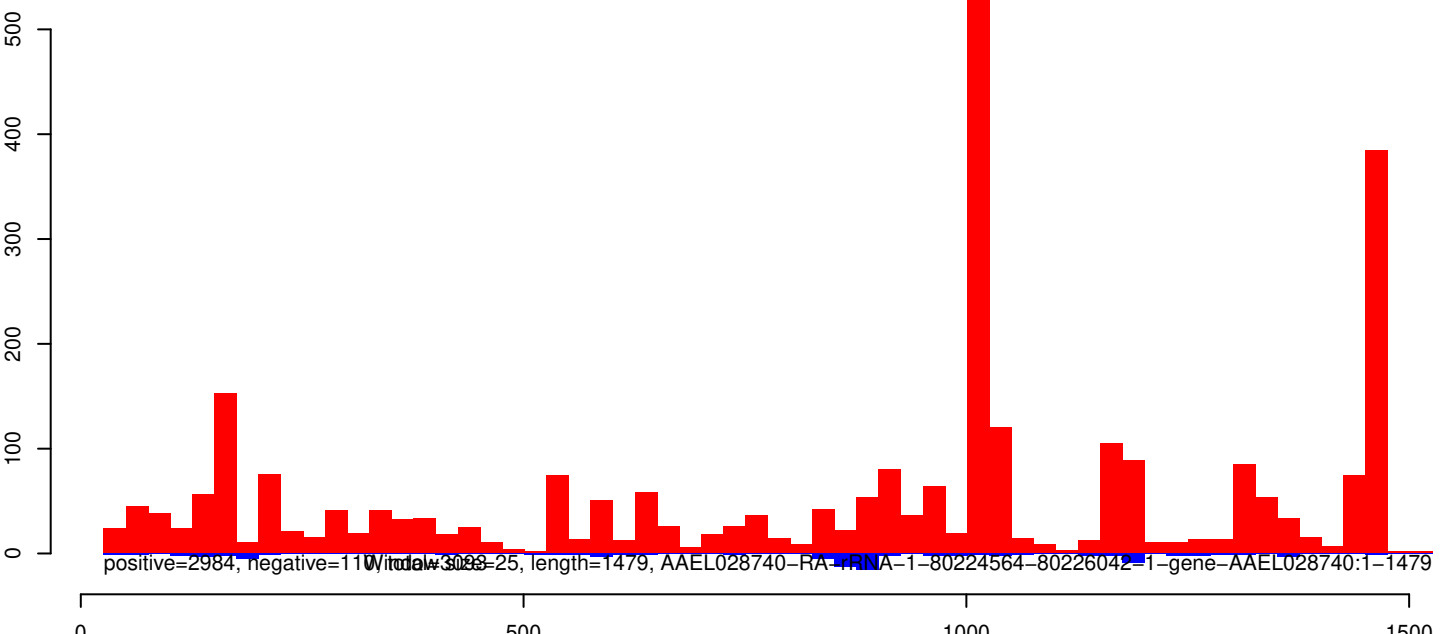
AeAeg_Aag2_Ago3_SINV_RA.18_23.rep



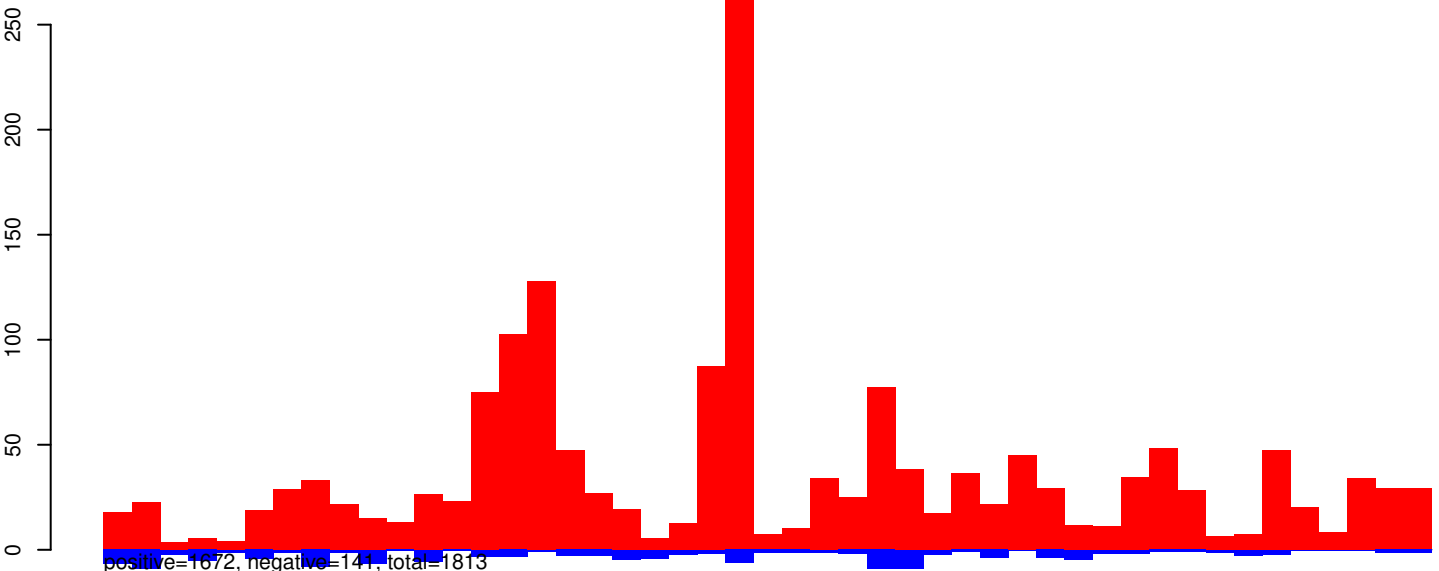
AeAeg_Aag2_Ago3_SINV_RA.24_35.rep



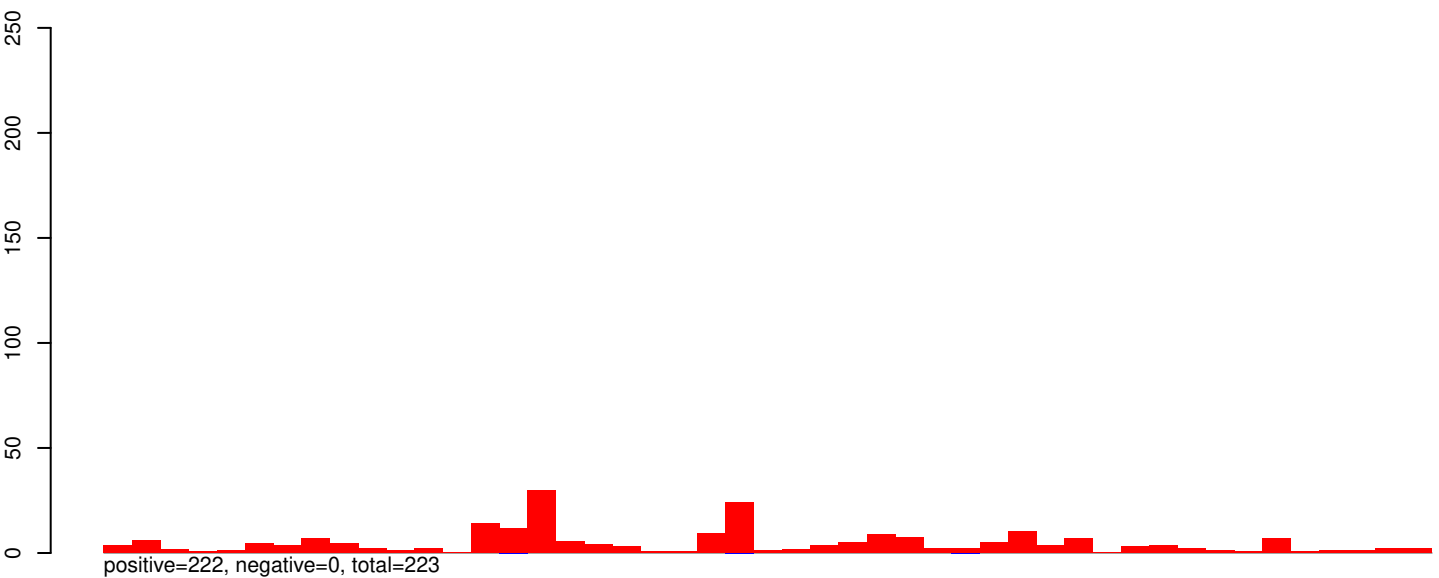
AeAeg_Aag2_Ago3_SINV_RA.rep



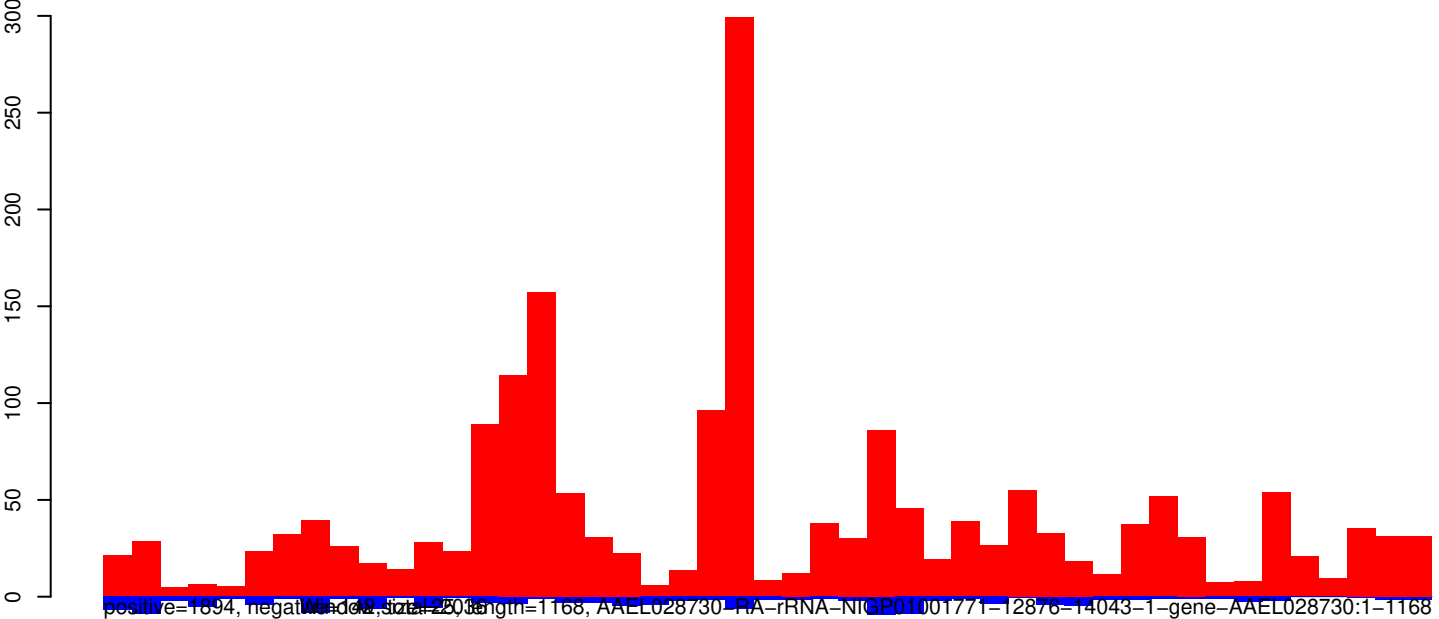
AeAeg_Aag2_Ago3_SINV_RA.18_23.rep



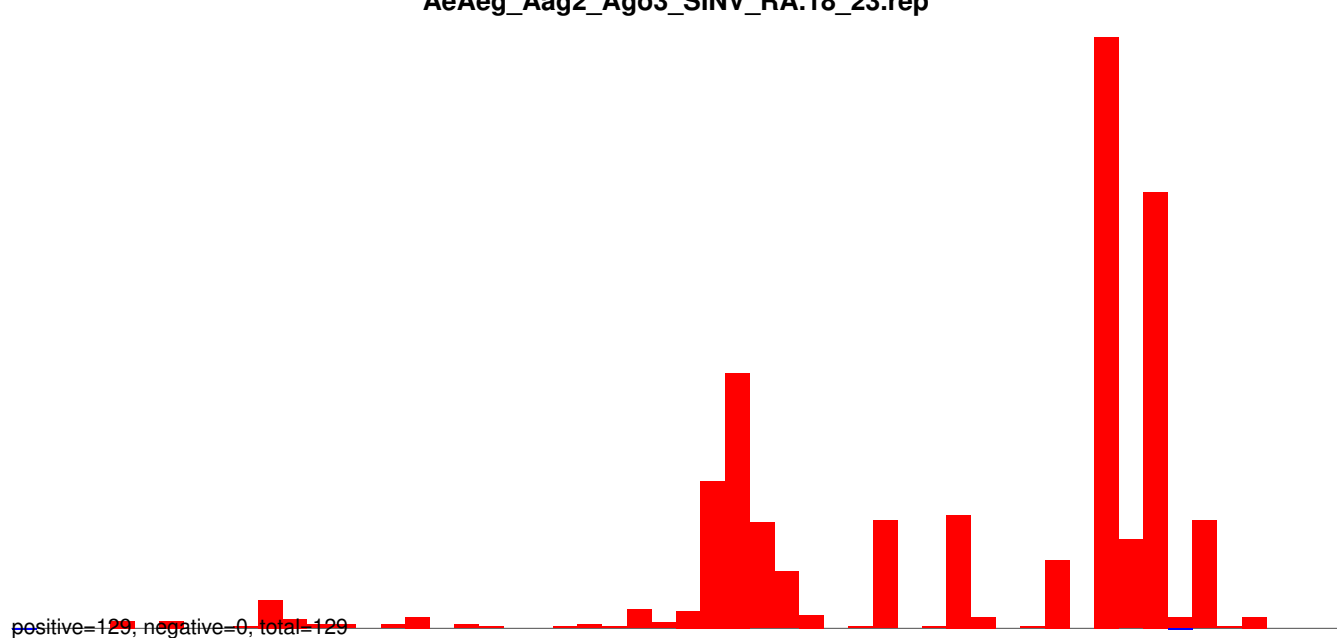
AeAeg_Aag2_Ago3_SINV_RA.24_35.rep



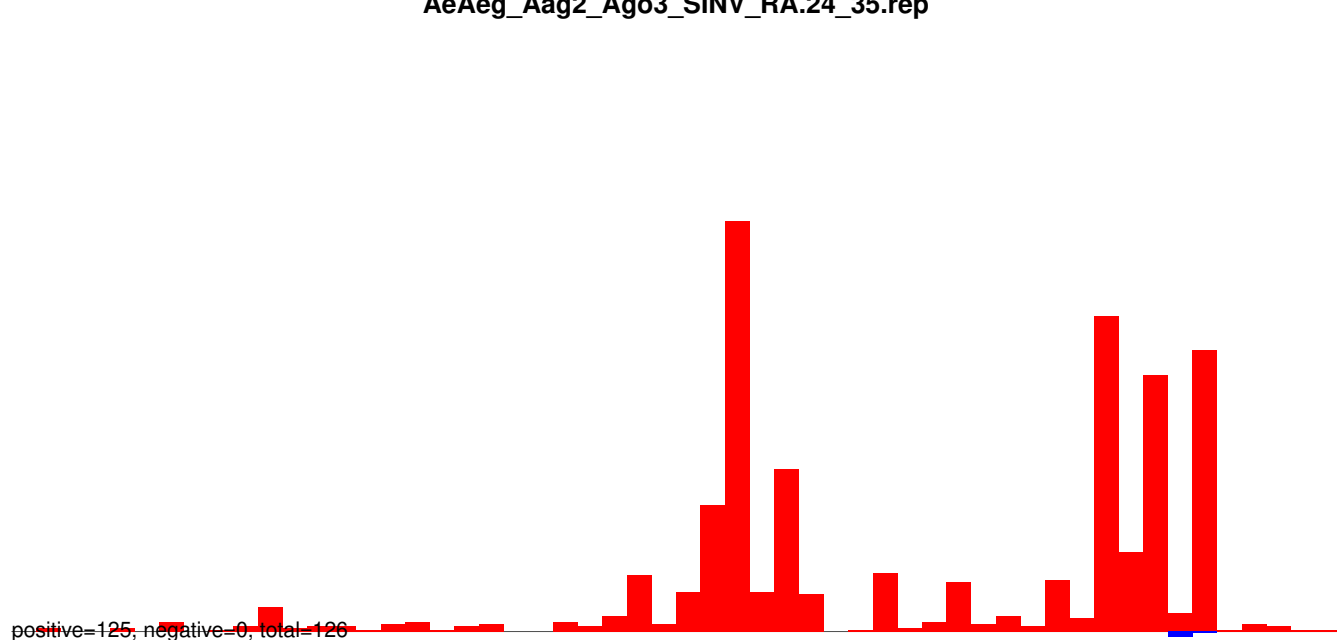
AeAeg_Aag2_Ago3_SINV_RA.rep



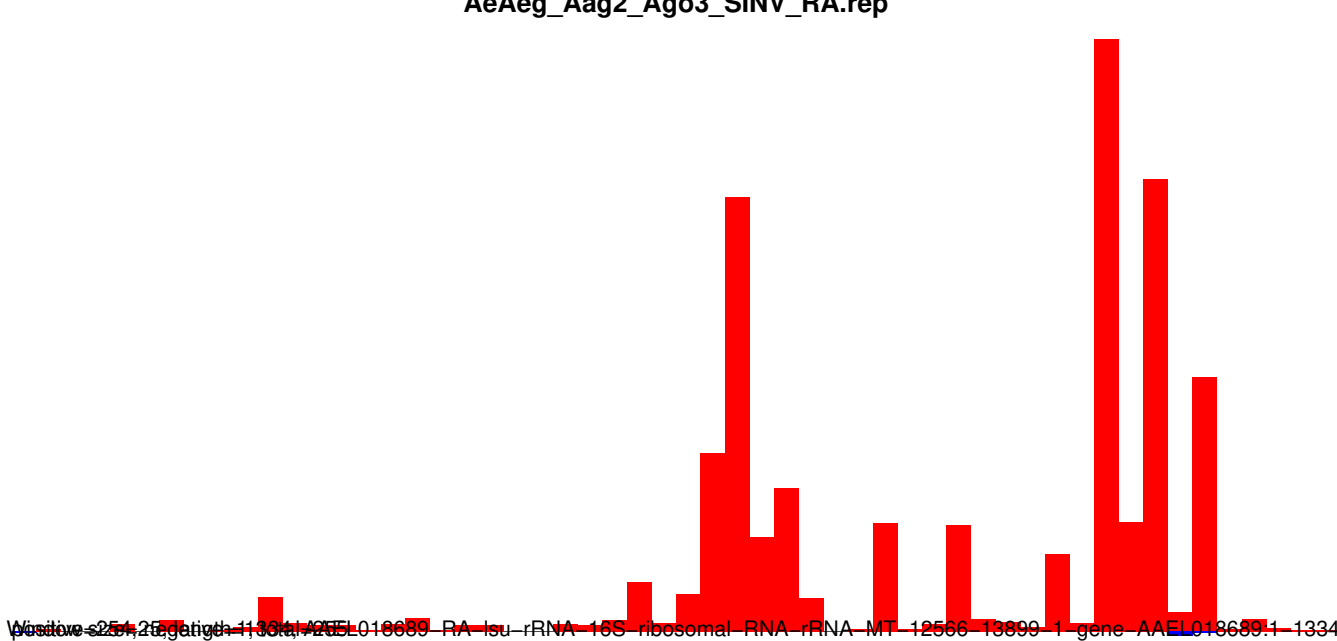
AeAeg_Aag2_Ago3_SINV_RA.18_23.rep



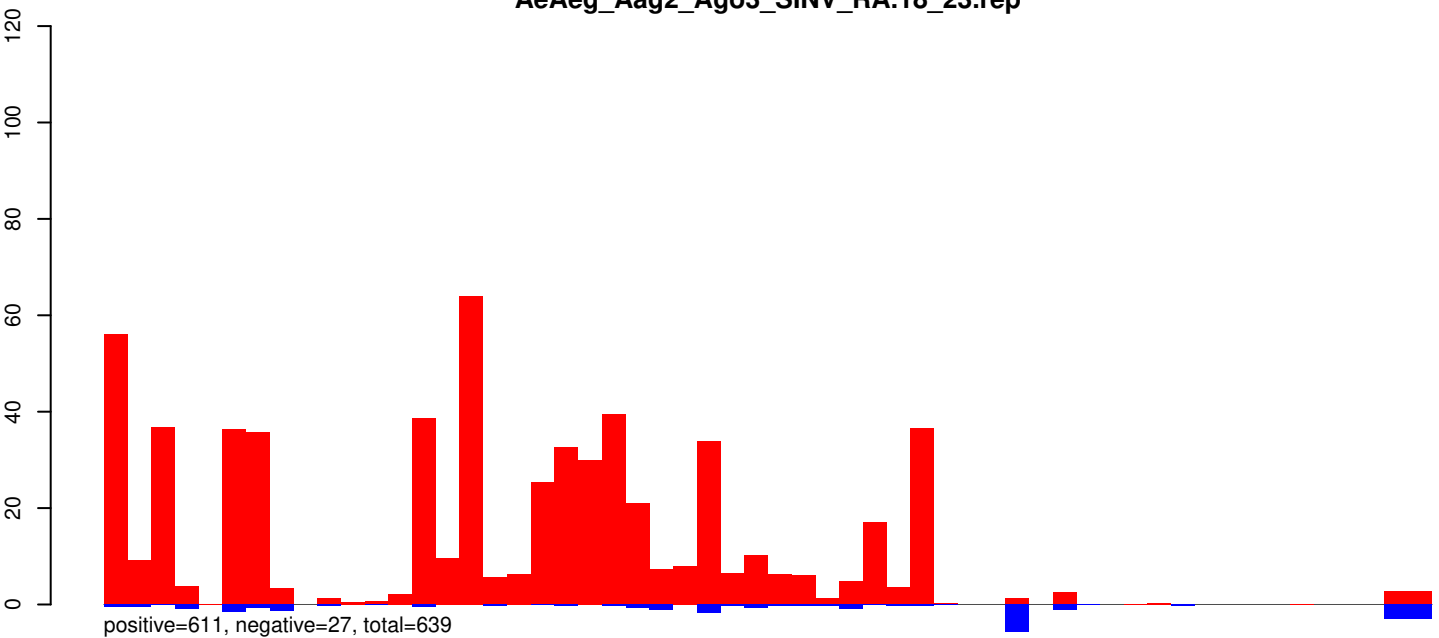
AeAeg_Aag2_Ago3_SINV_RA.24_35.rep



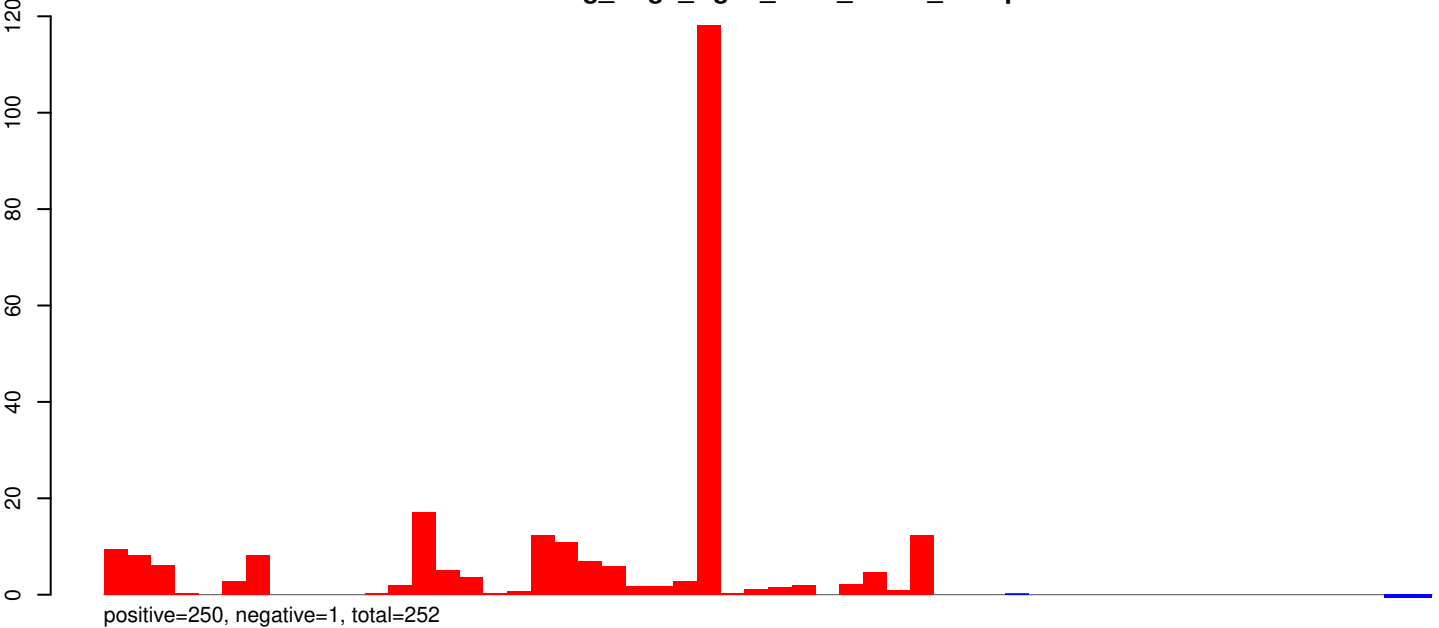
AeAeg_Aag2_Ago3_SINV_RA.rep



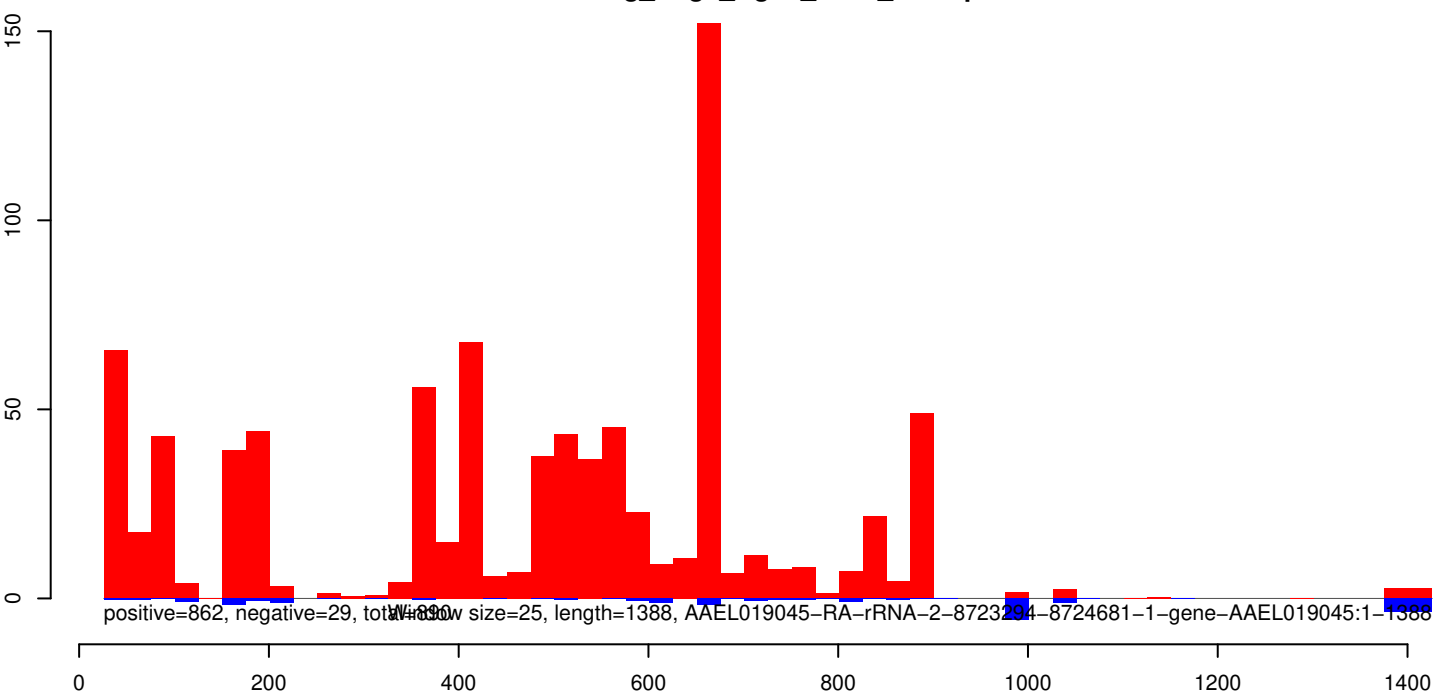
AeAeg_Aag2_Ago3_SINV_RA.18_23.rep



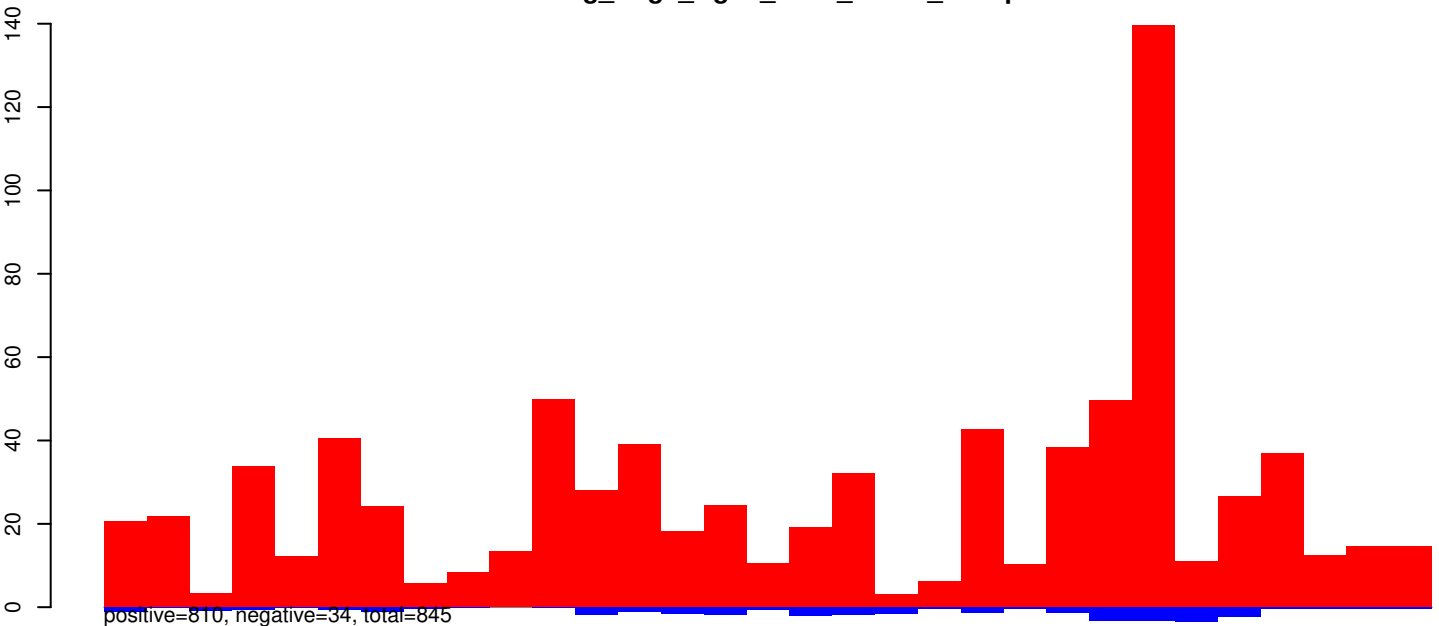
AeAeg_Aag2_Ago3_SINV_RA.24_35.rep



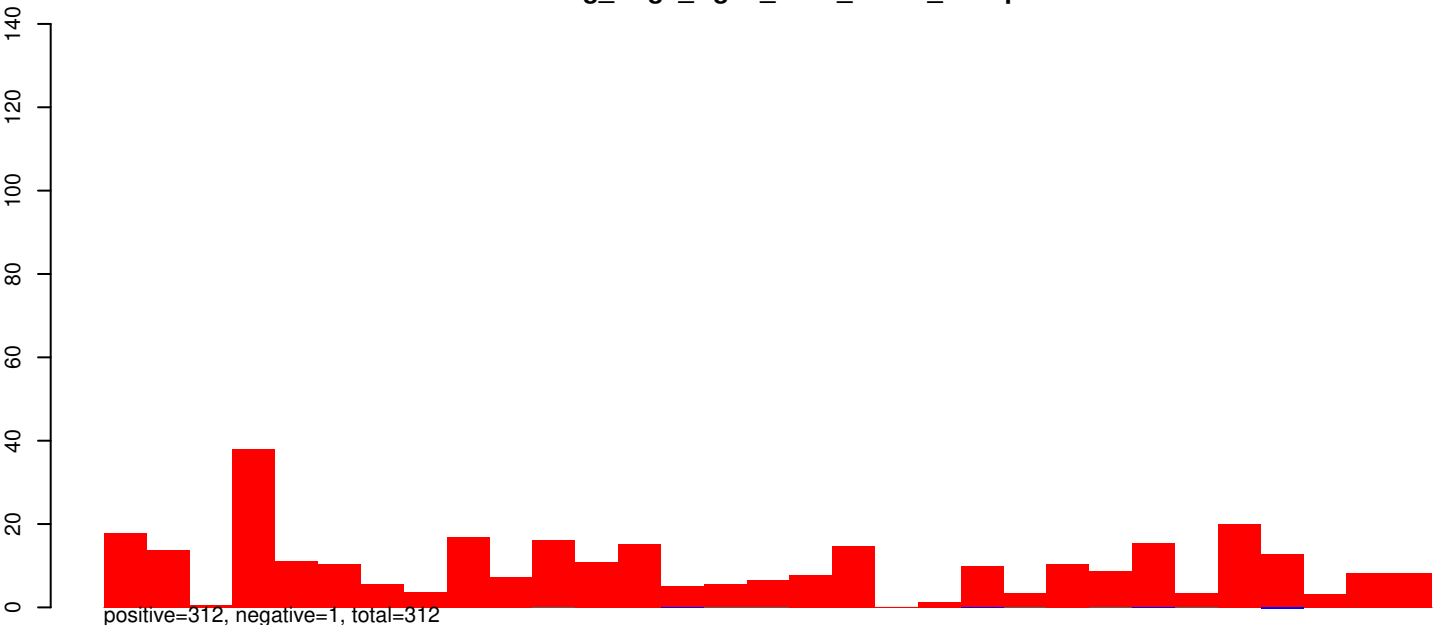
AeAeg_Aag2_Ago3_SINV_RA.rep



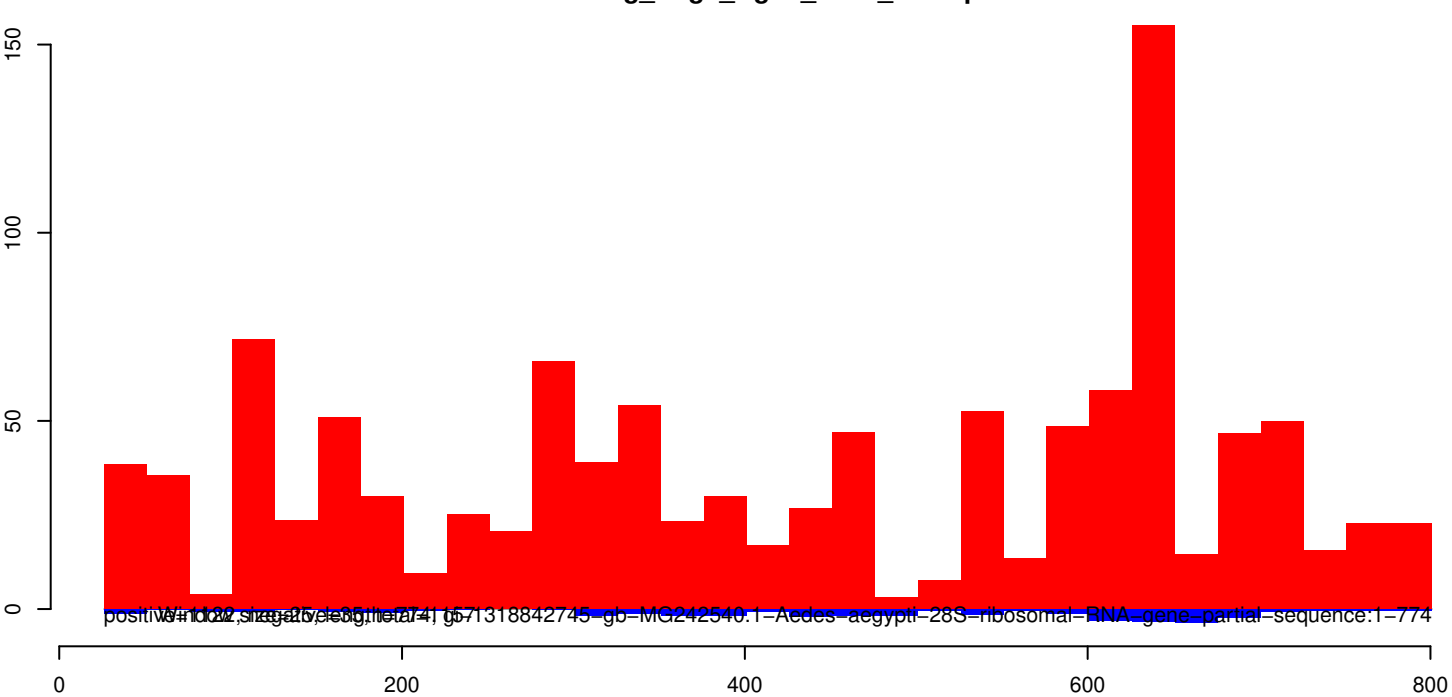
AeAeg_Aag2_Ago3_SINV_RA.18_23.rep



AeAeg_Aag2_Ago3_SINV_RA.24_35.rep



AeAeg_Aag2_Ago3_SINV_RA.rep



AeAeg_Aag2_Ago3_SINV_RA.18_23.rep



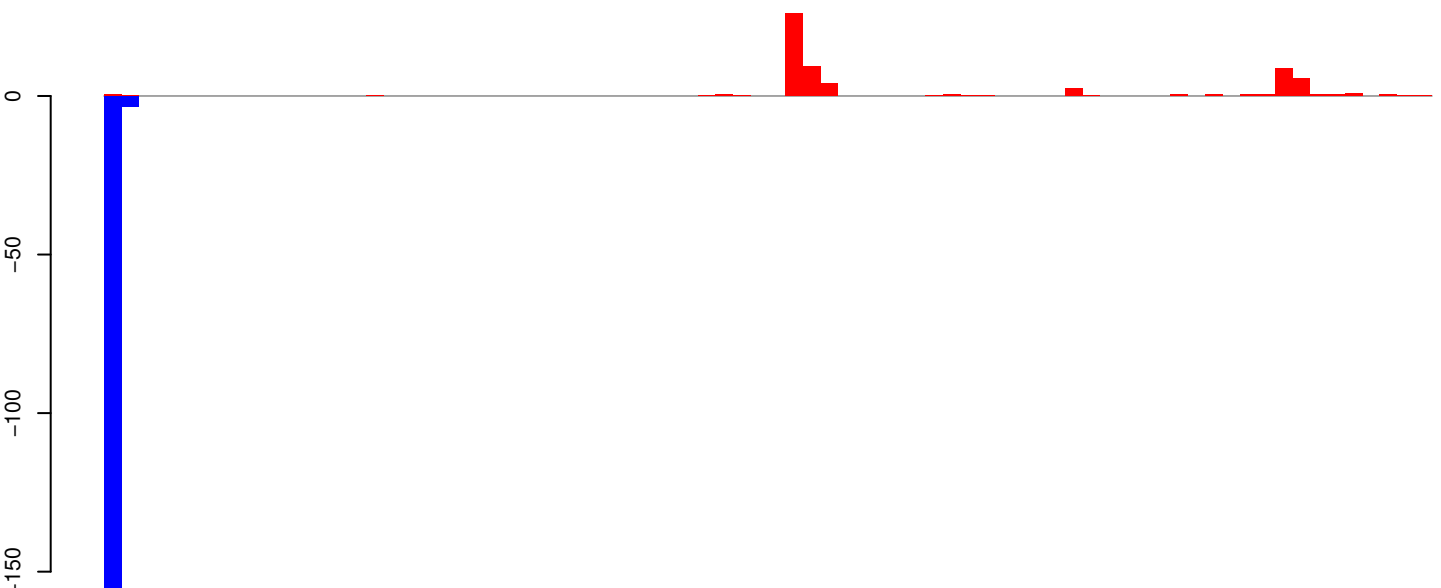
positive=24, negative=72, total=96

AeAeg_Aag2_Ago3_SINV_RA.24_35.rep



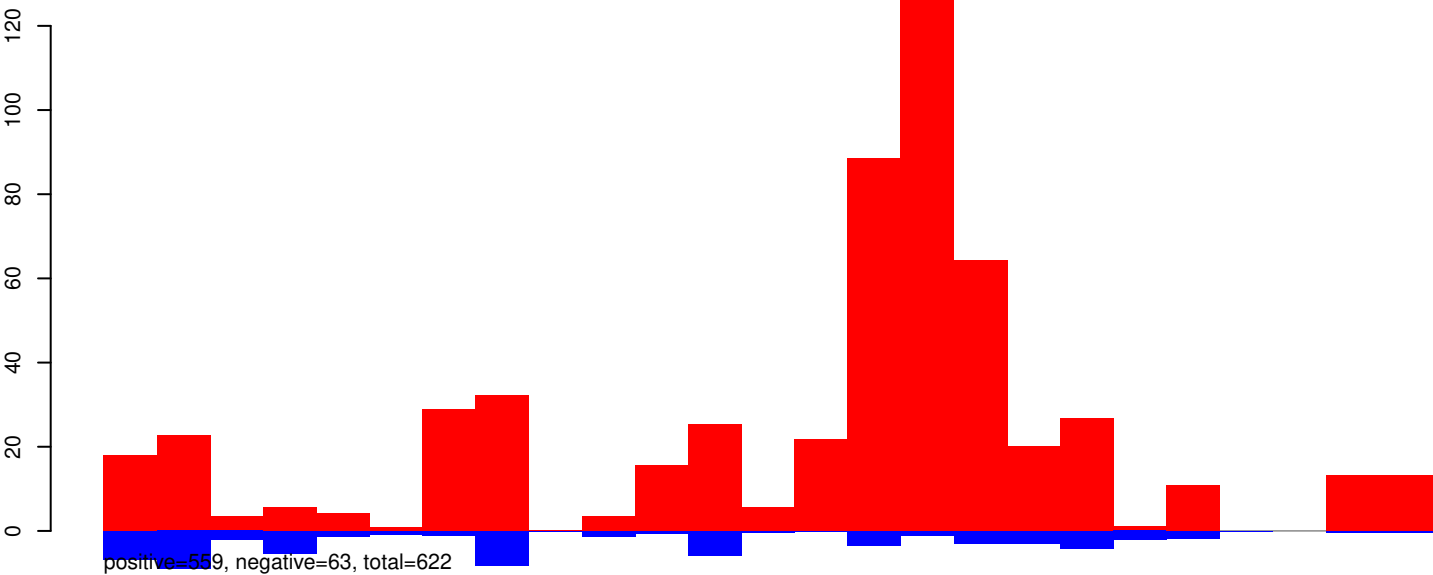
positive=39, negative=94, total=132

AeAeg_Aag2_Ago3_SINV_RA.rep

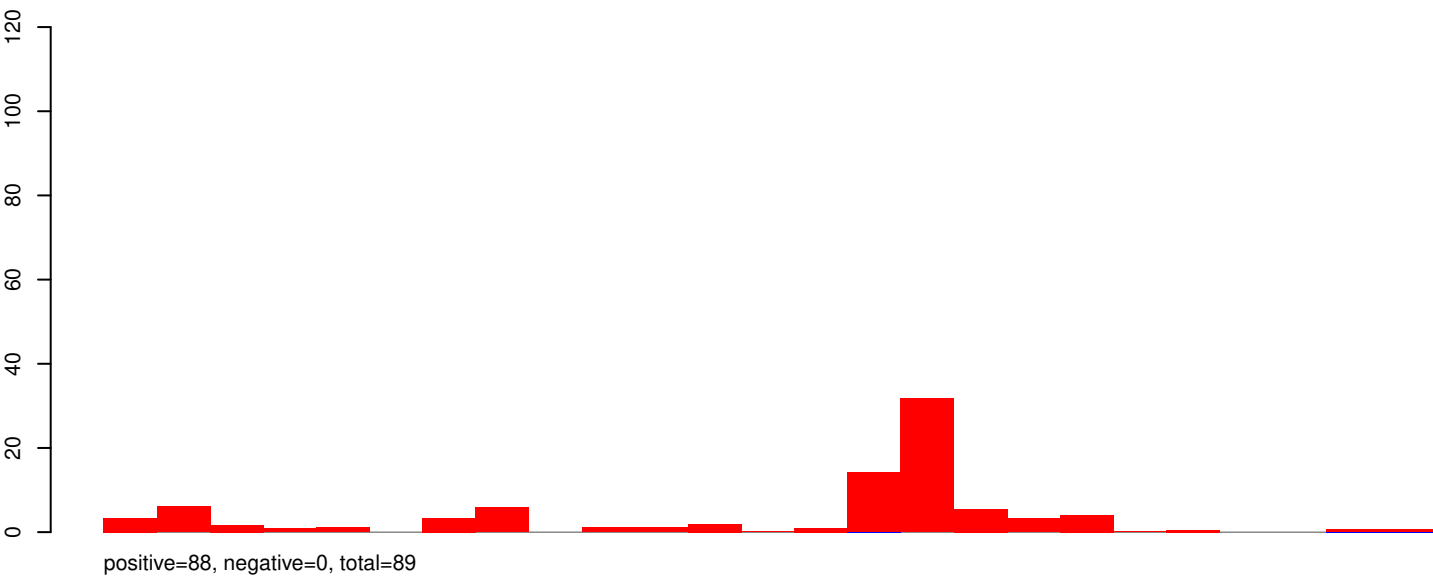


e-19-16S rRNA gene partial sequence and 12S rRNA gene partial sequence-mitochondrial:1-1885

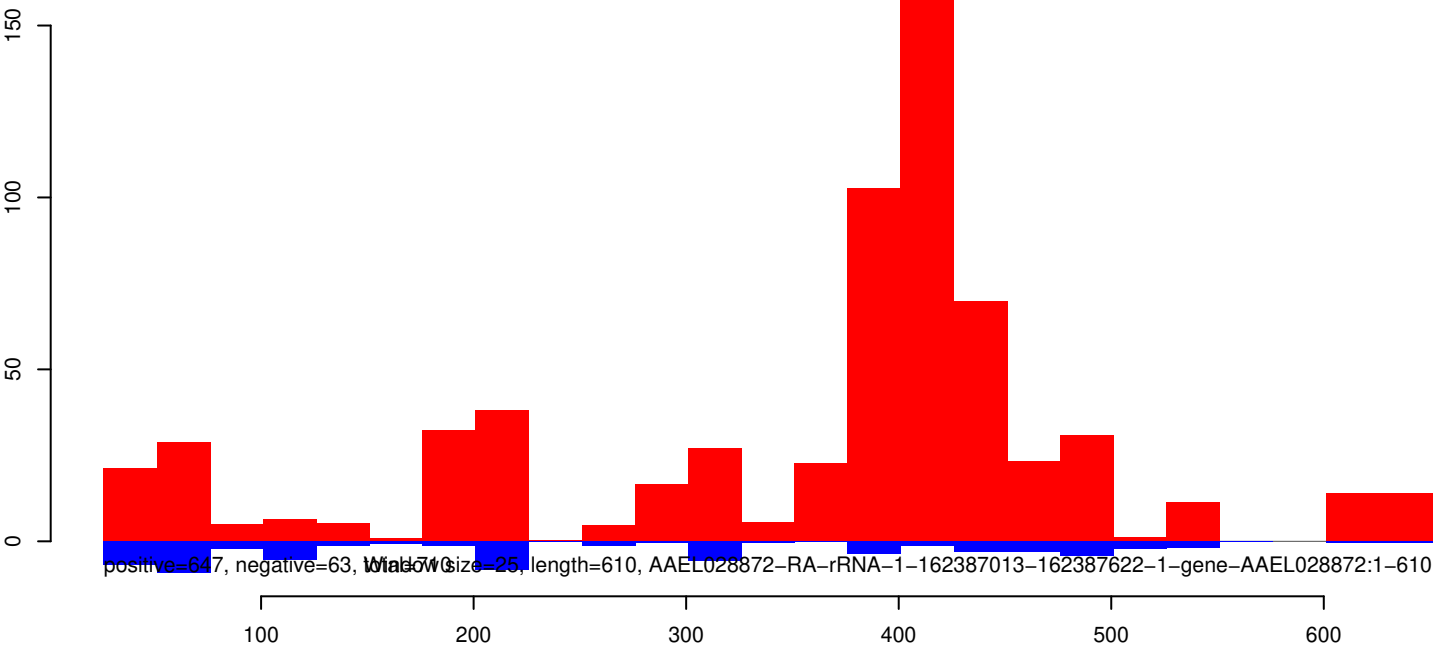
AeAeg_Aag2_Ago3_SINV_RA.18_23.rep



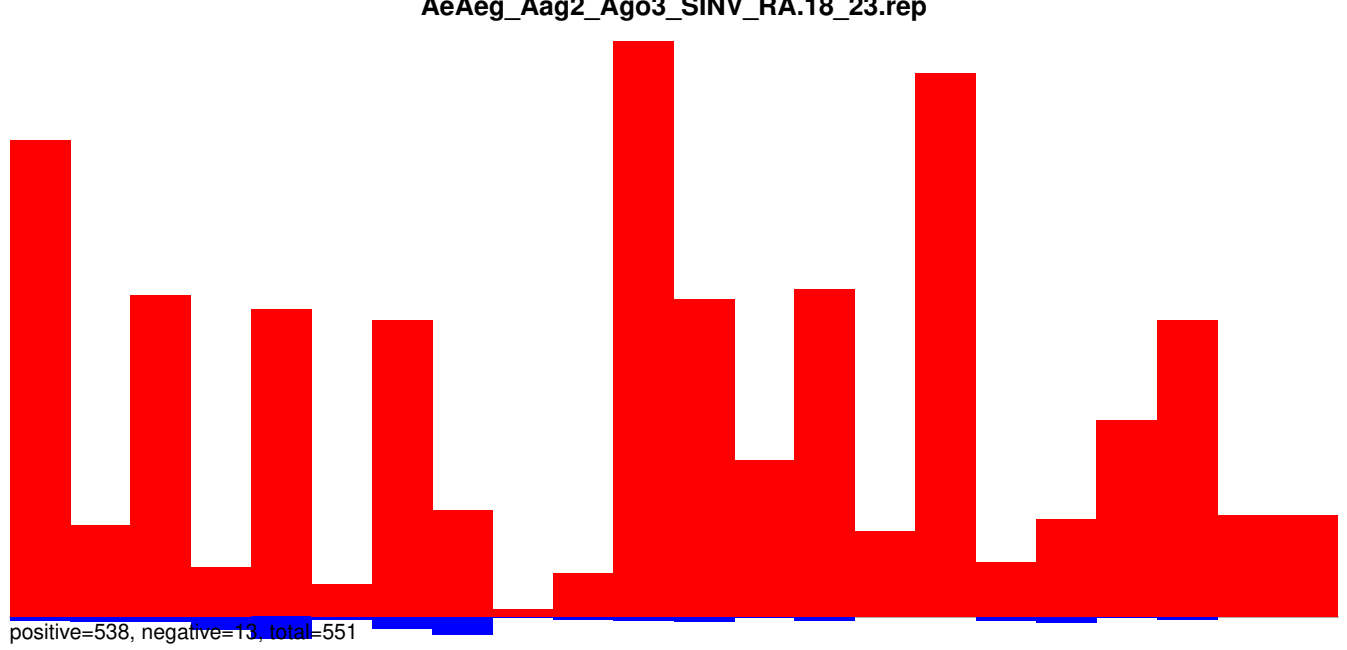
AeAeg_Aag2_Ago3_SINV_RA.24_35.rep



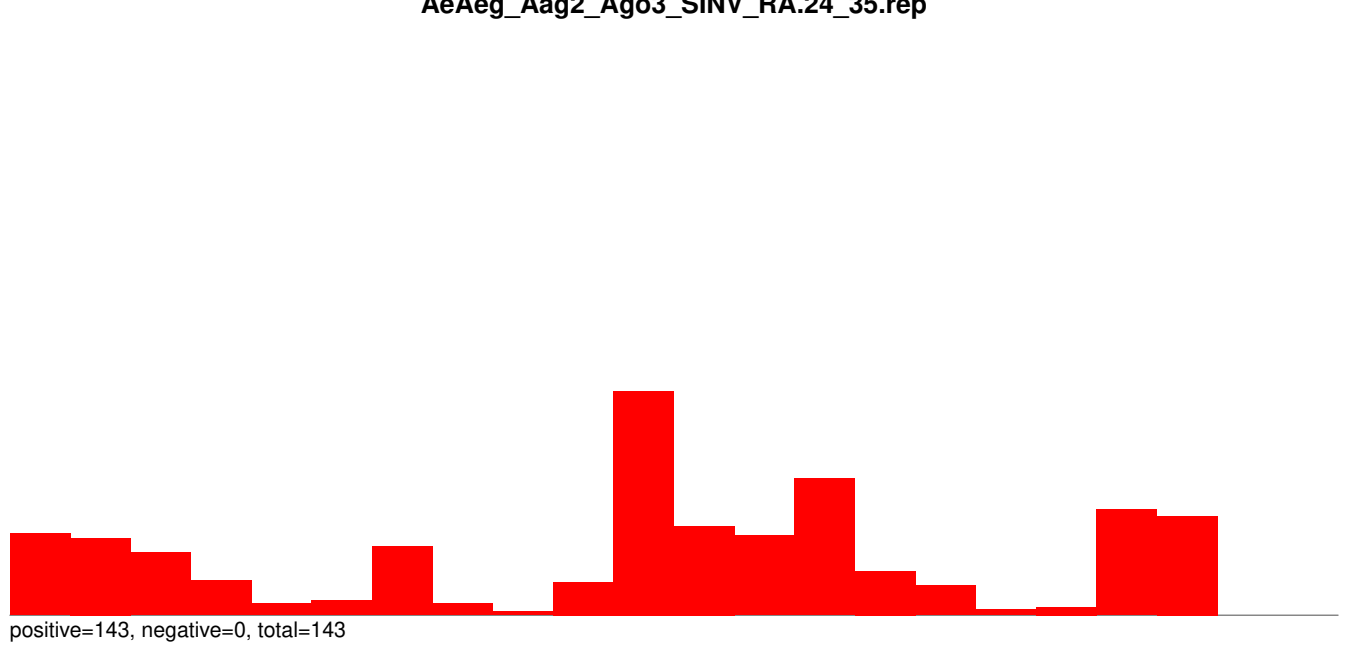
AeAeg_Aag2_Ago3_SINV_RA.rep



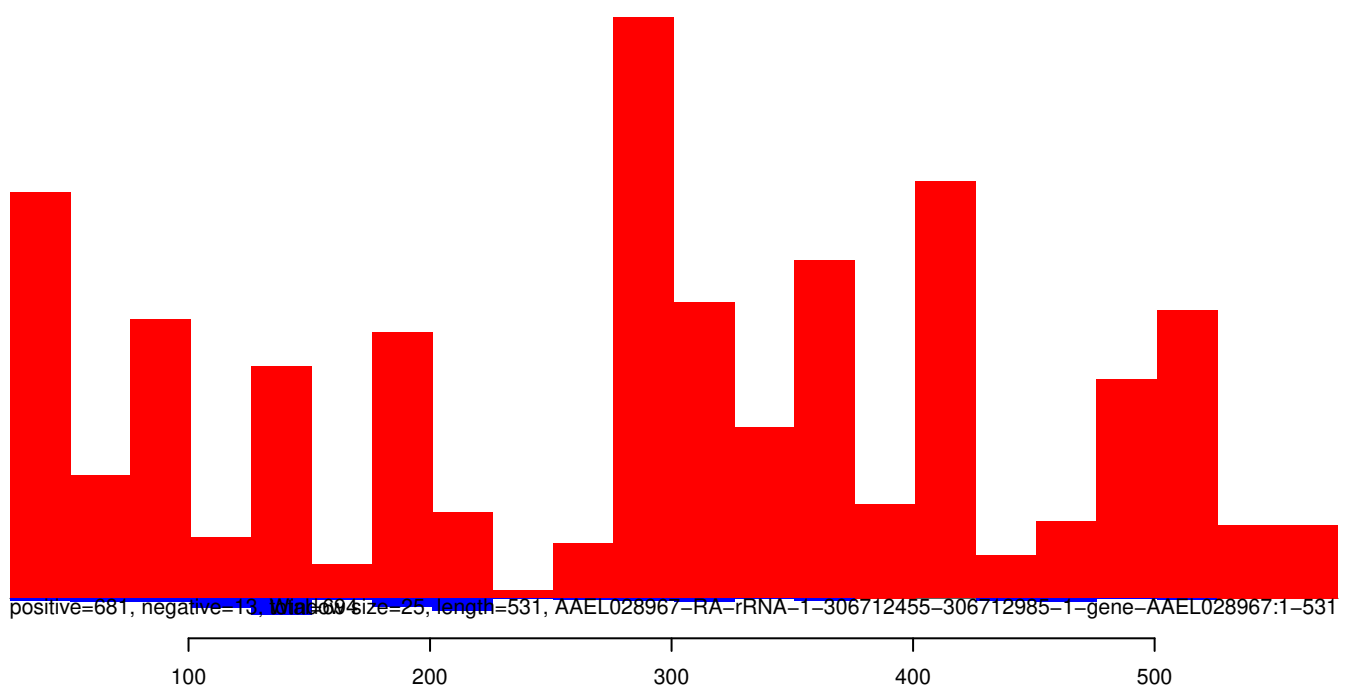
AeAeg_Aag2_Ago3_SINV_RA.18_23.rep



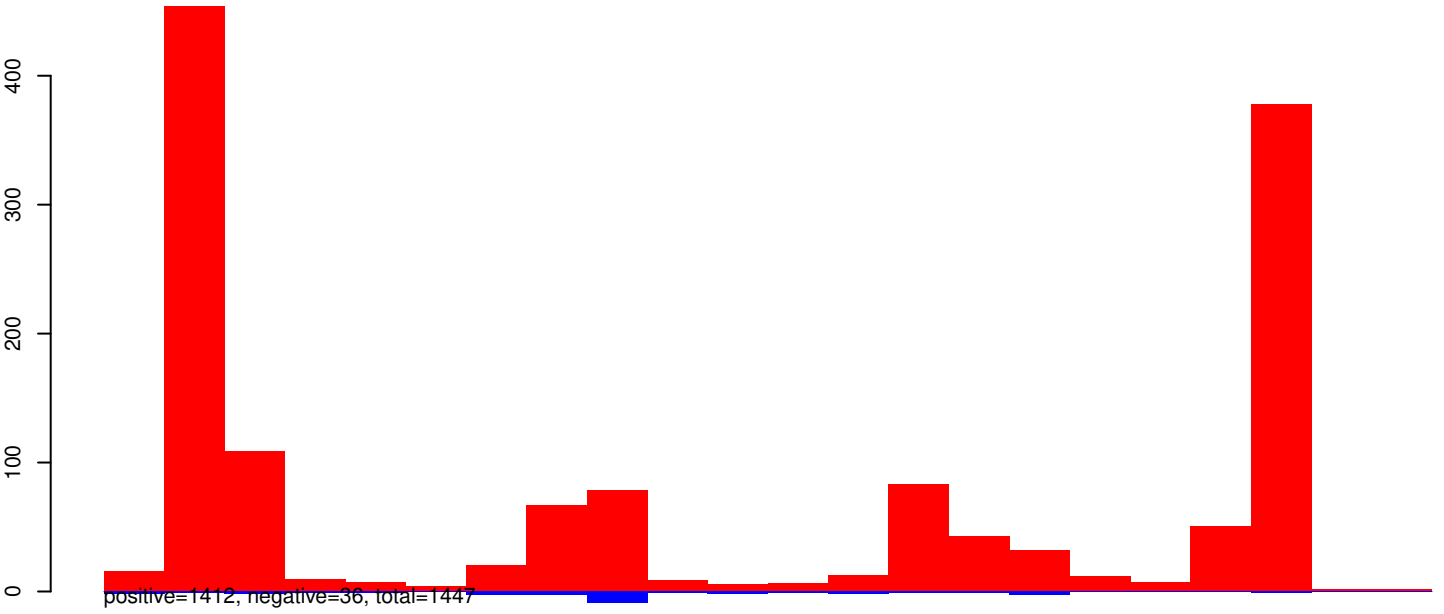
AeAeg_Aag2_Ago3_SINV_RA.24_35.rep



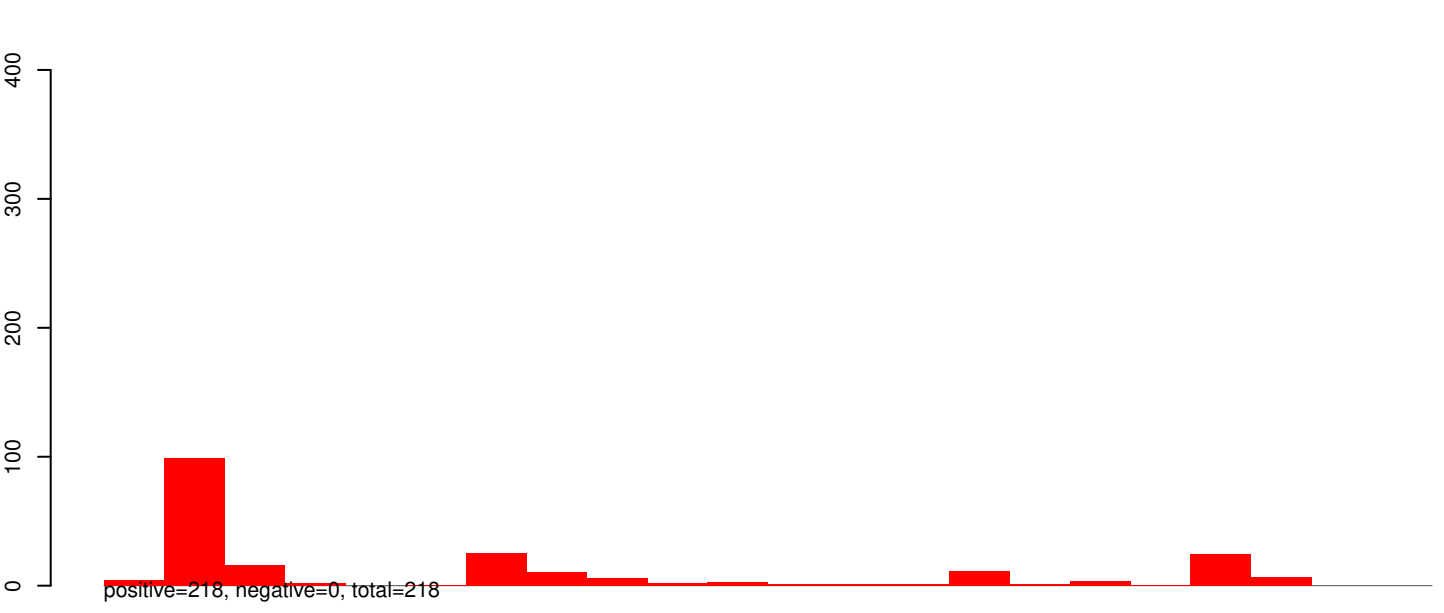
AeAeg_Aag2_Ago3_SINV_RA.rep



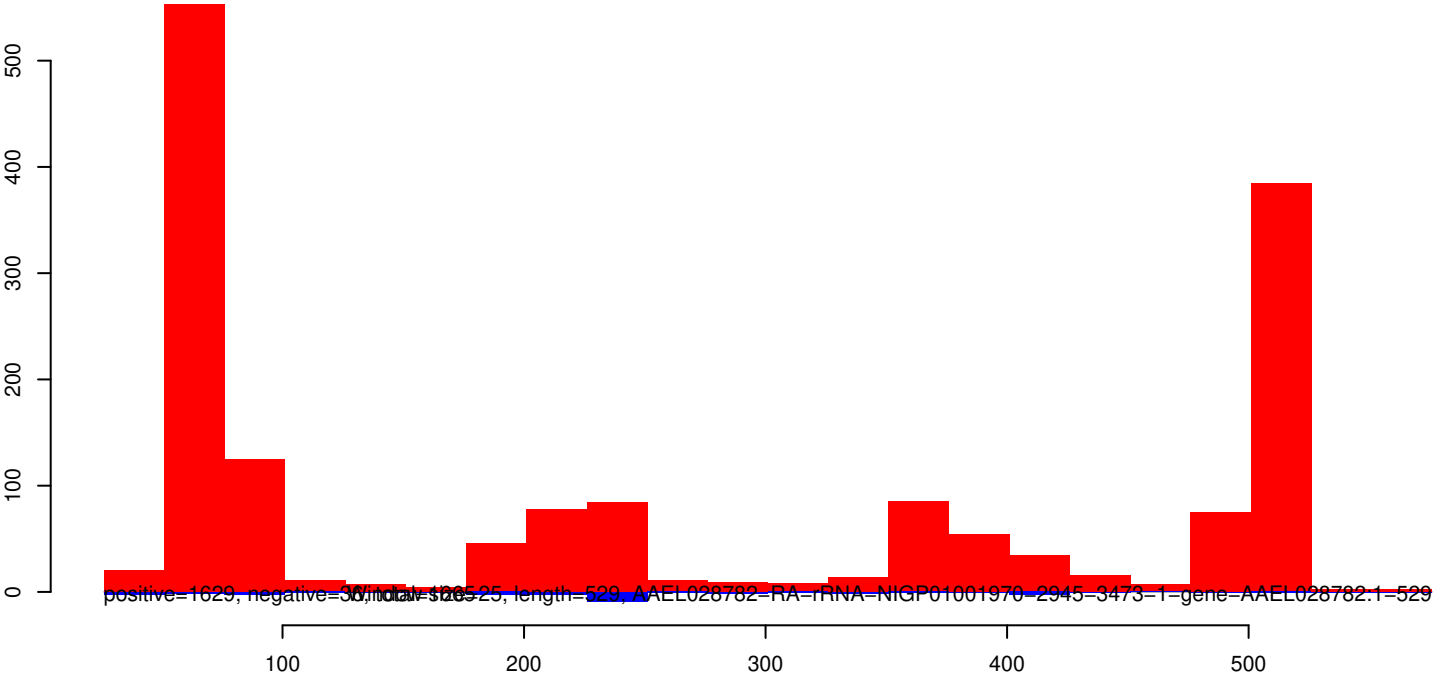
AeAeg_Aag2_Ago3_SINV_RA.18_23.rep



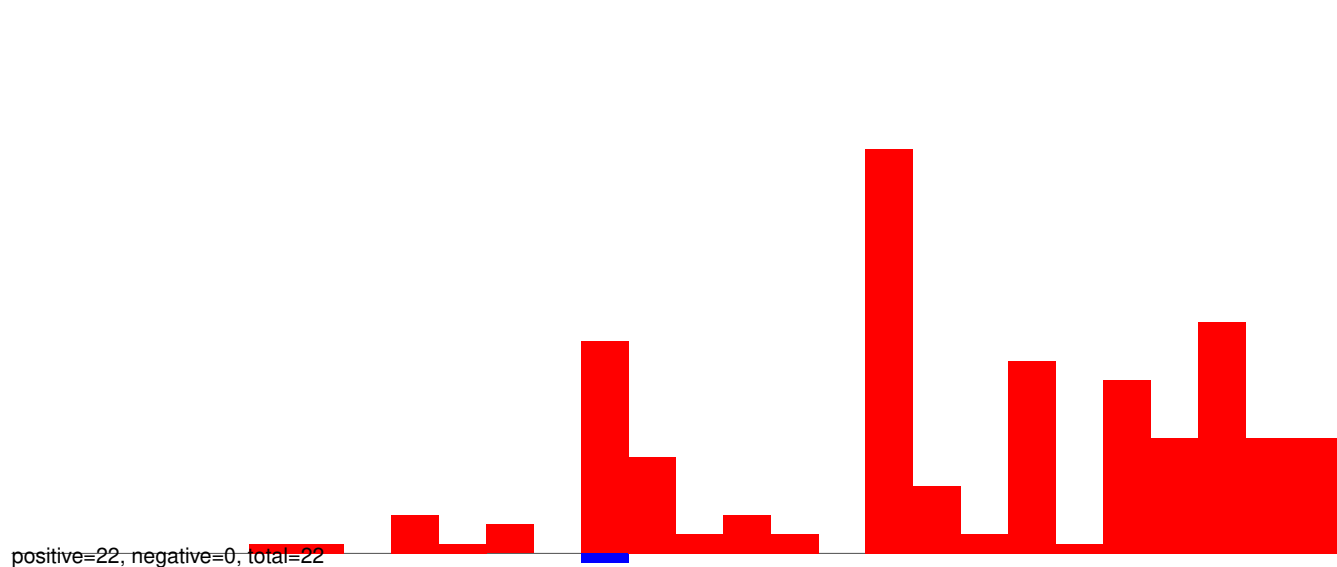
AeAeg_Aag2_Ago3_SINV_RA.24_35.rep



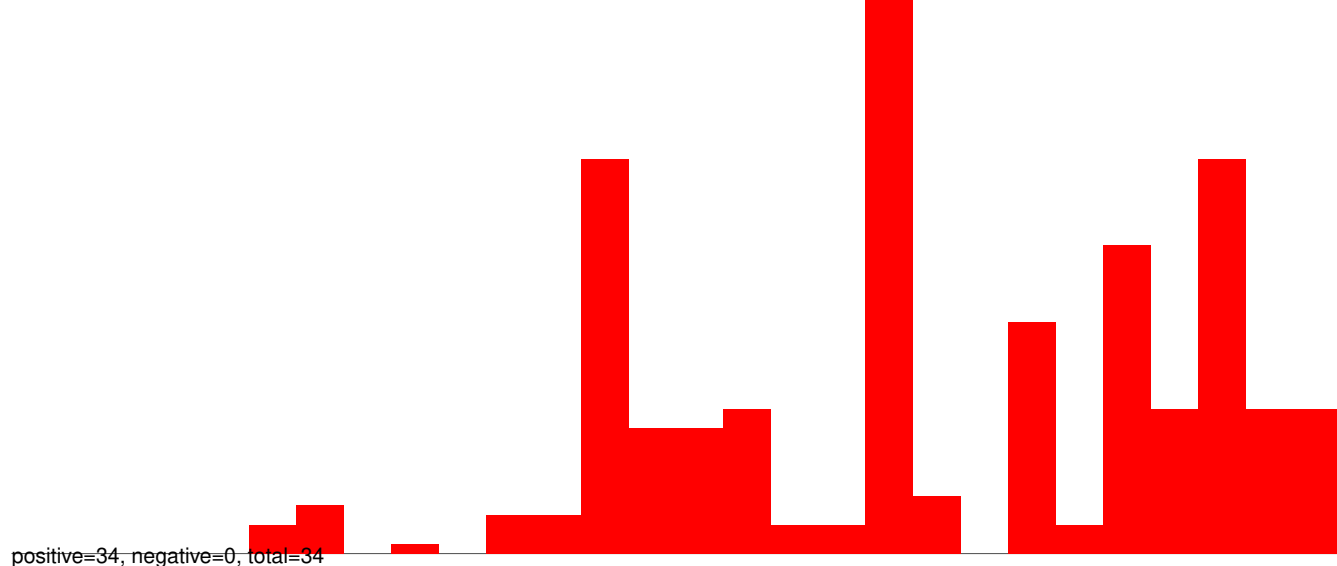
AeAeg_Aag2_Ago3_SINV_RA.rep



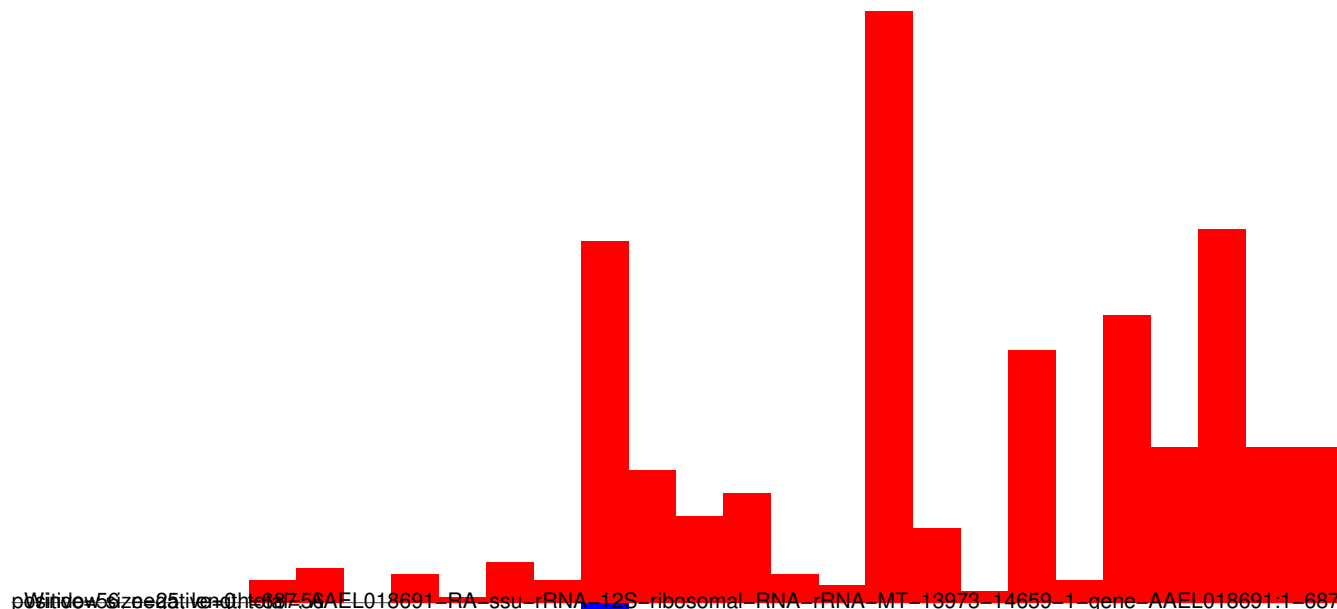
AeAeg_Aag2_Ago3_SINV_RA.18_23.rep



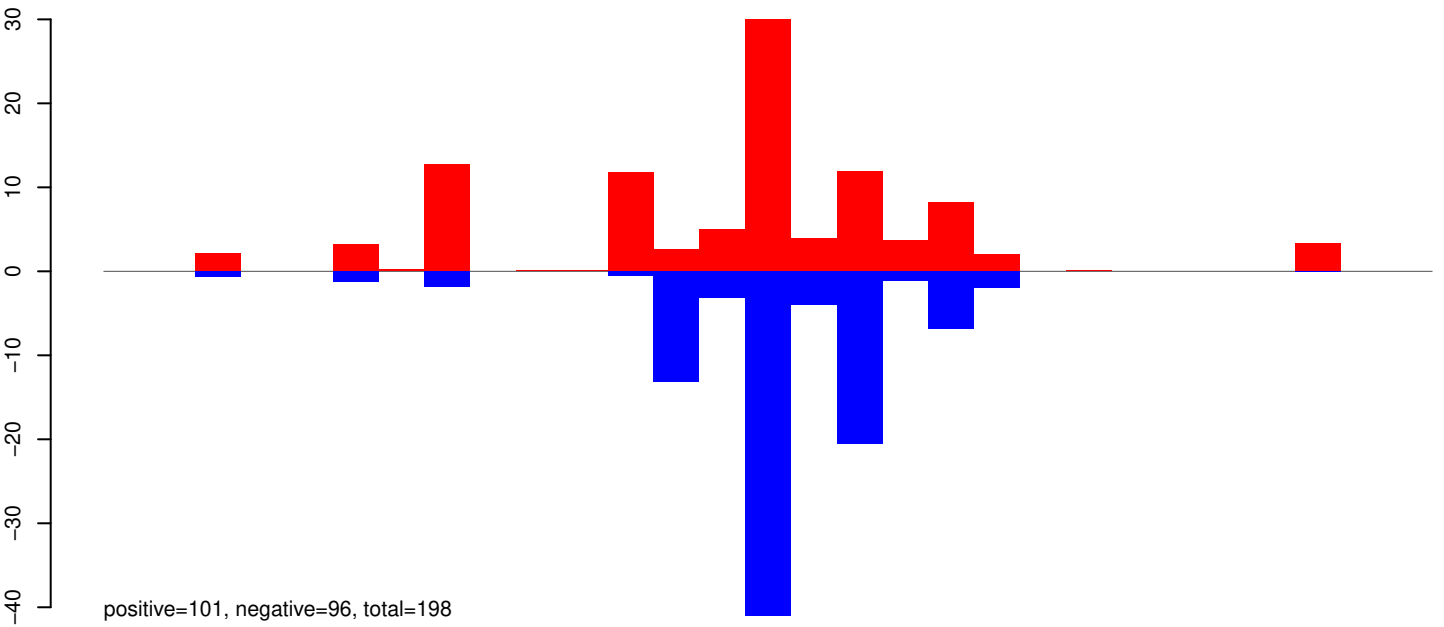
AeAeg_Aag2_Ago3_SINV_RA.24_35.rep



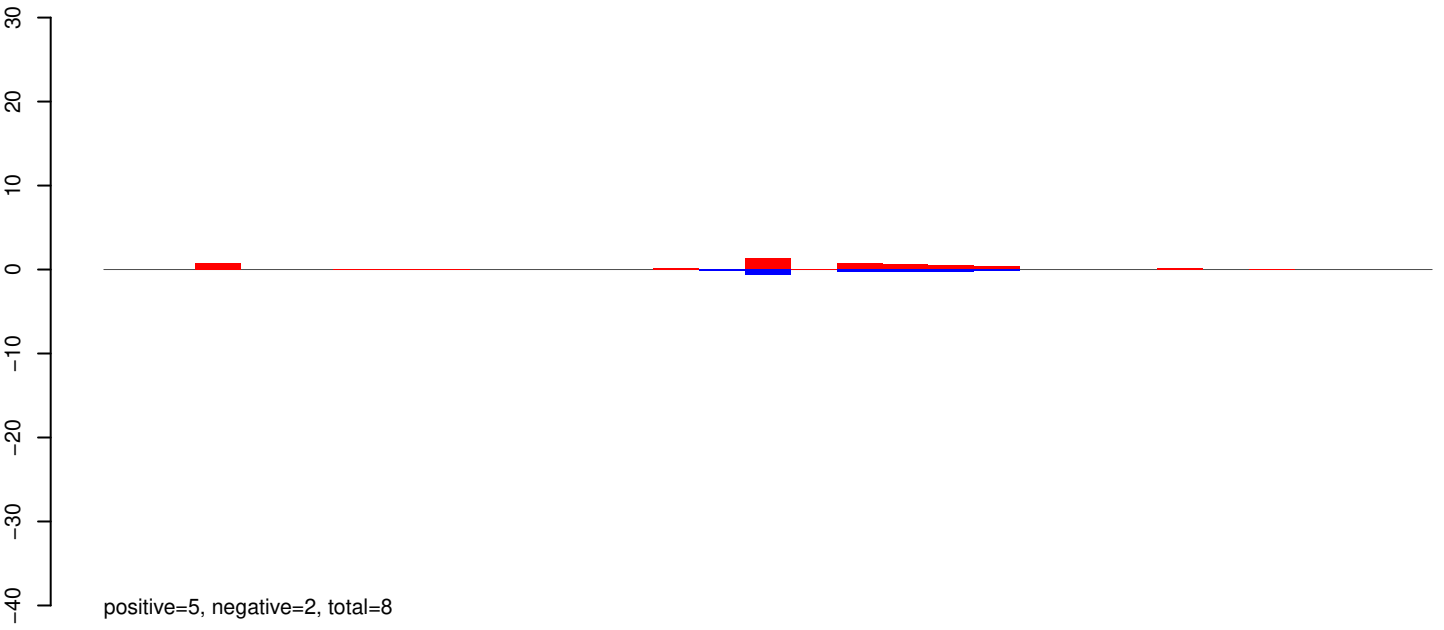
AeAeg_Aag2_Ago3_SINV_RA.rep



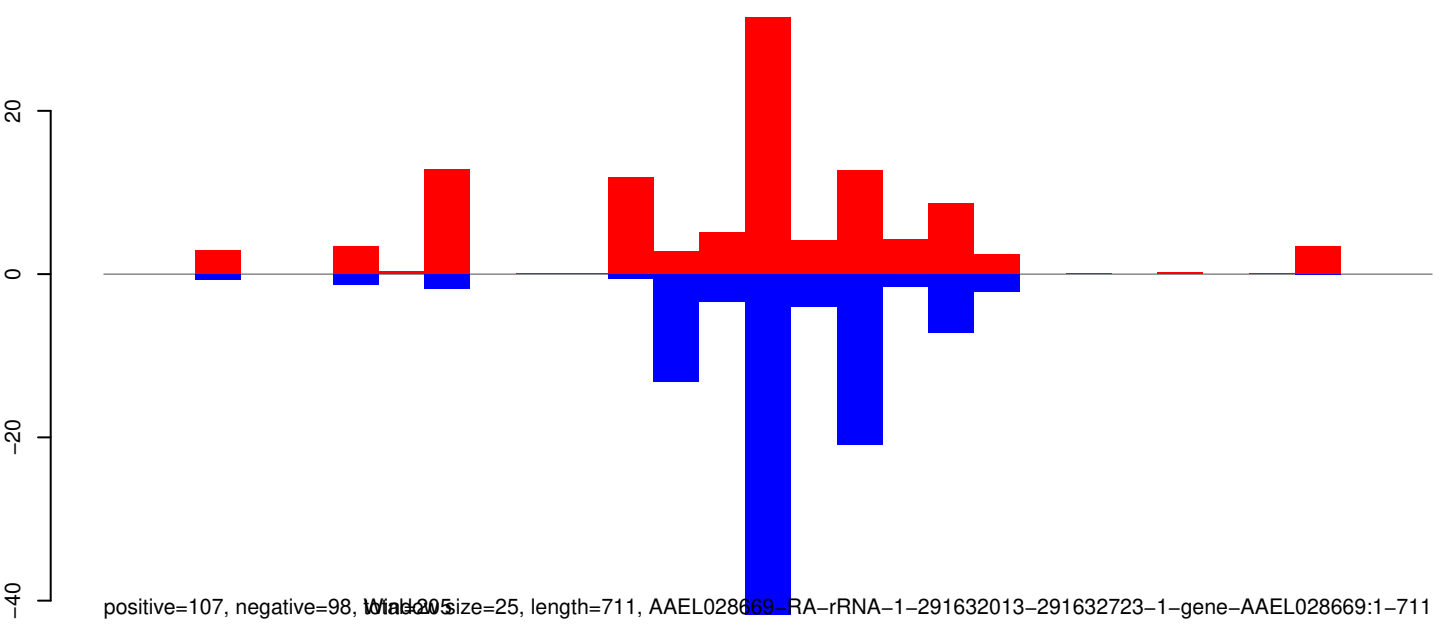
AeAeg_Aag2_Ago3_SINV_RA.18_23.rep



AeAeg_Aag2_Ago3_SINV_RA.24_35.rep



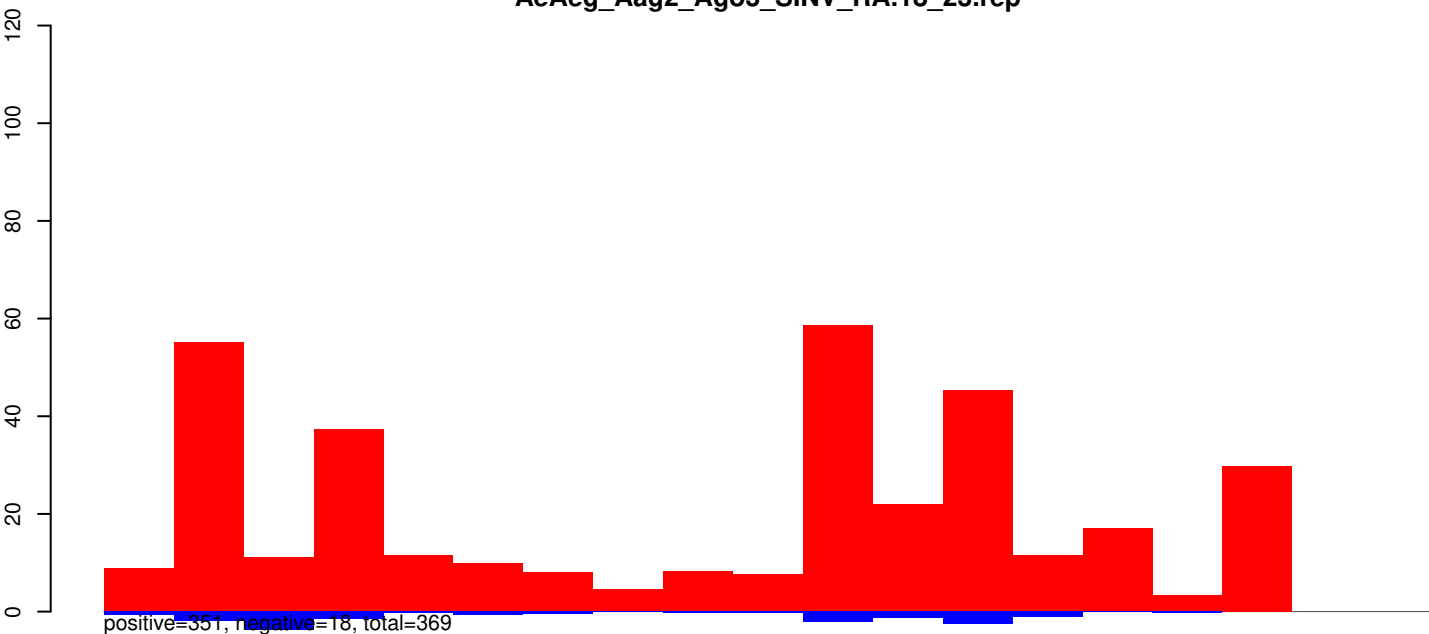
AeAeg_Aag2_Ago3_SINV_RA.rep



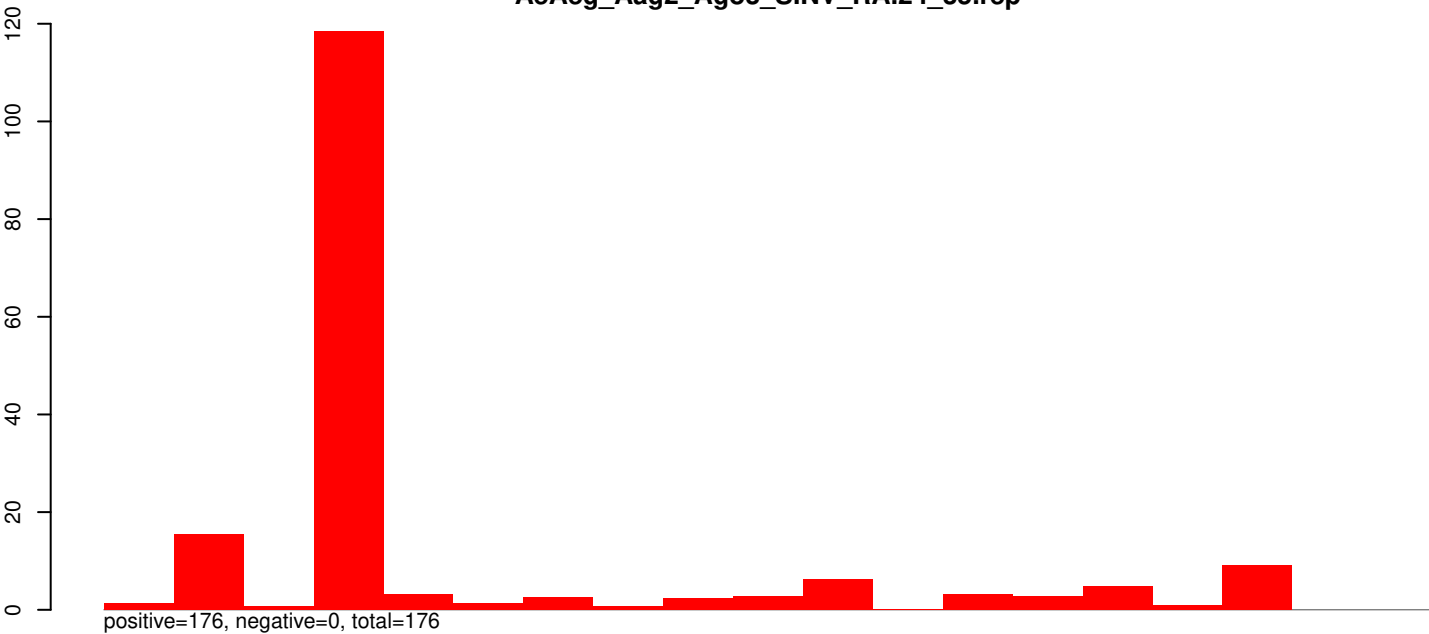
Waco size=25, length=711, AAEL028669-RA-rRNA-1-291632013-291632723-1-gene-AAEL028669:1-711

0 200 400 600

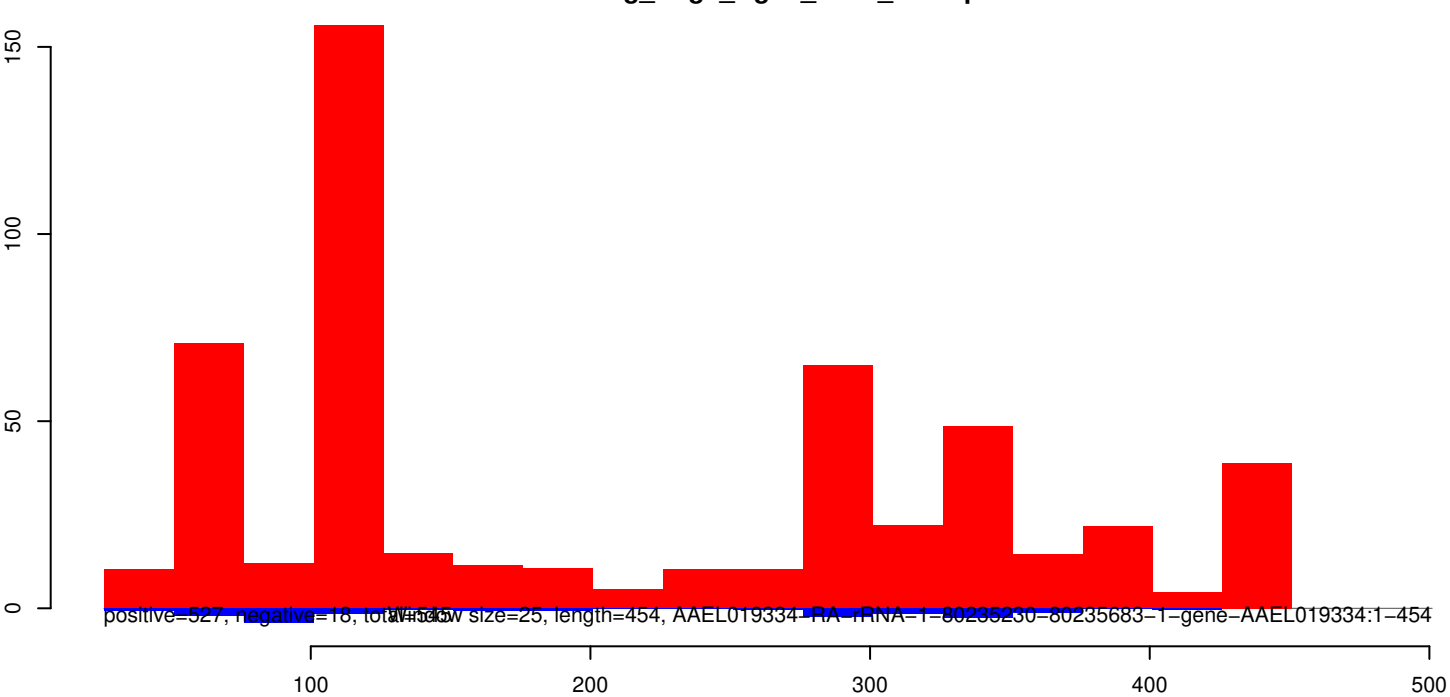
AeAeg_Aag2_Ago3_SINV_RA.18_23.rep



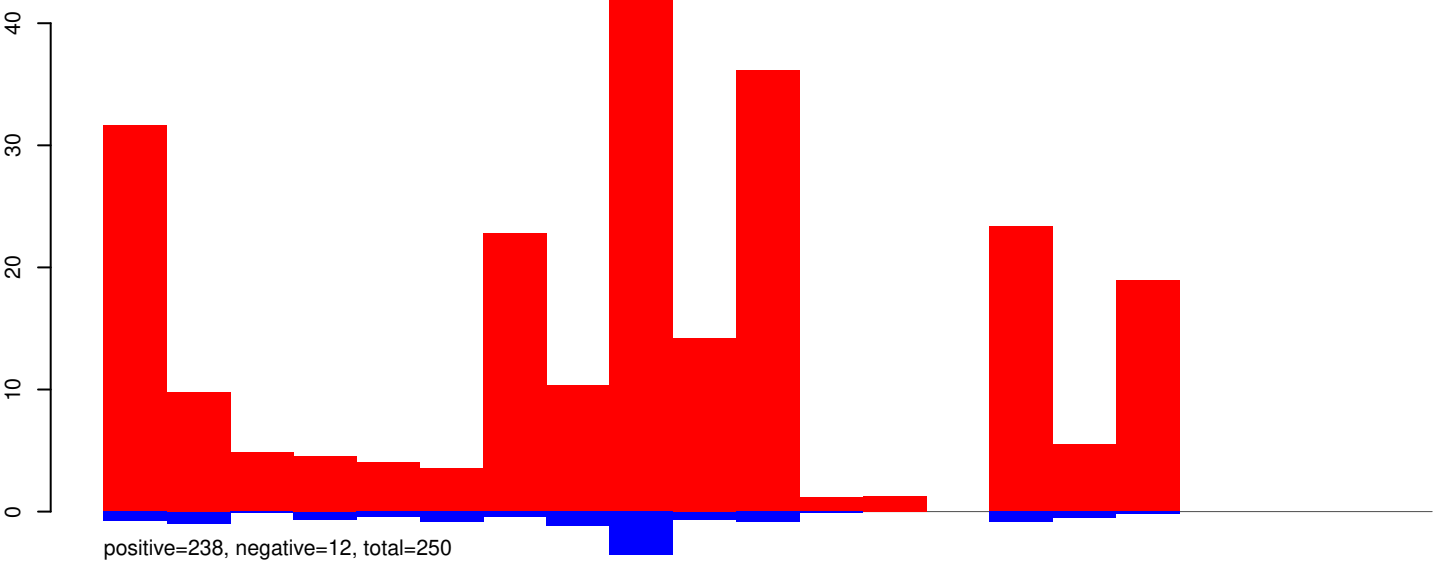
AeAeg_Aag2_Ago3_SINV_RA.24_35.rep



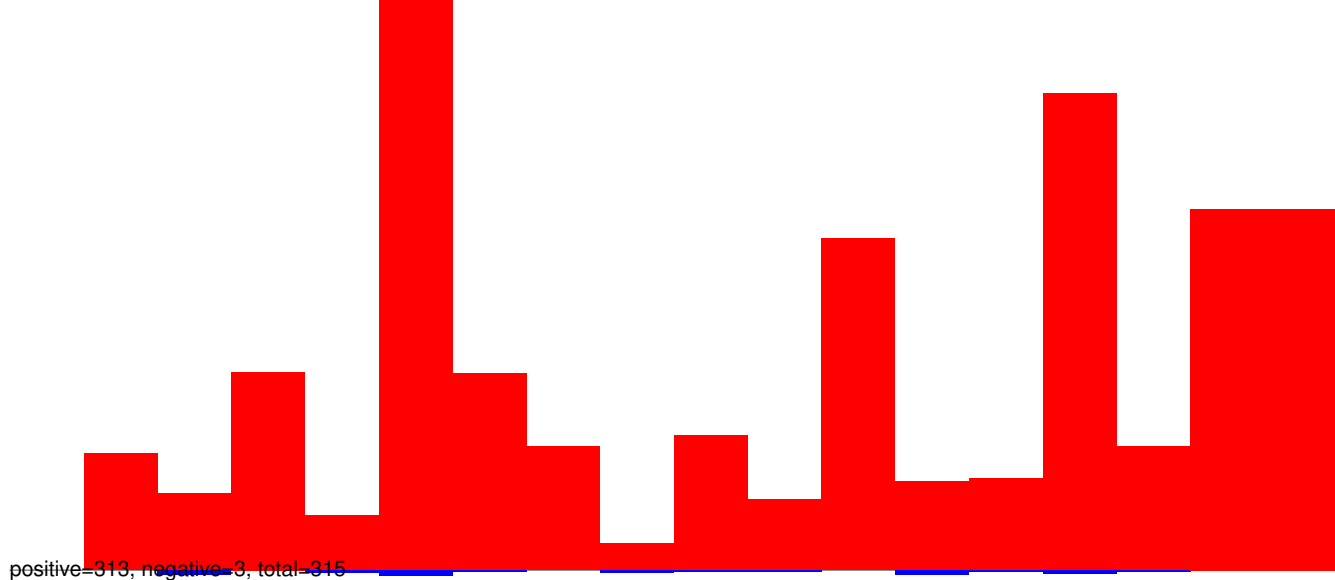
AeAeg_Aag2_Ago3_SINV_RA.rep



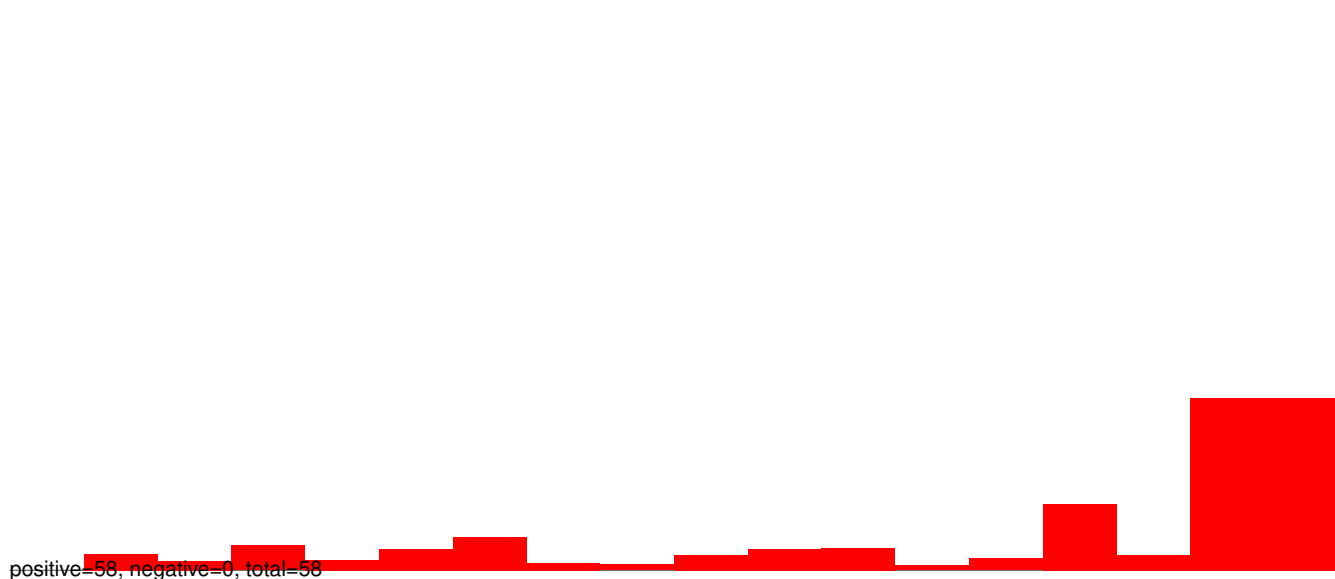
AeAeg_Aag2_Ago3_SINV_RA.18_23.rep



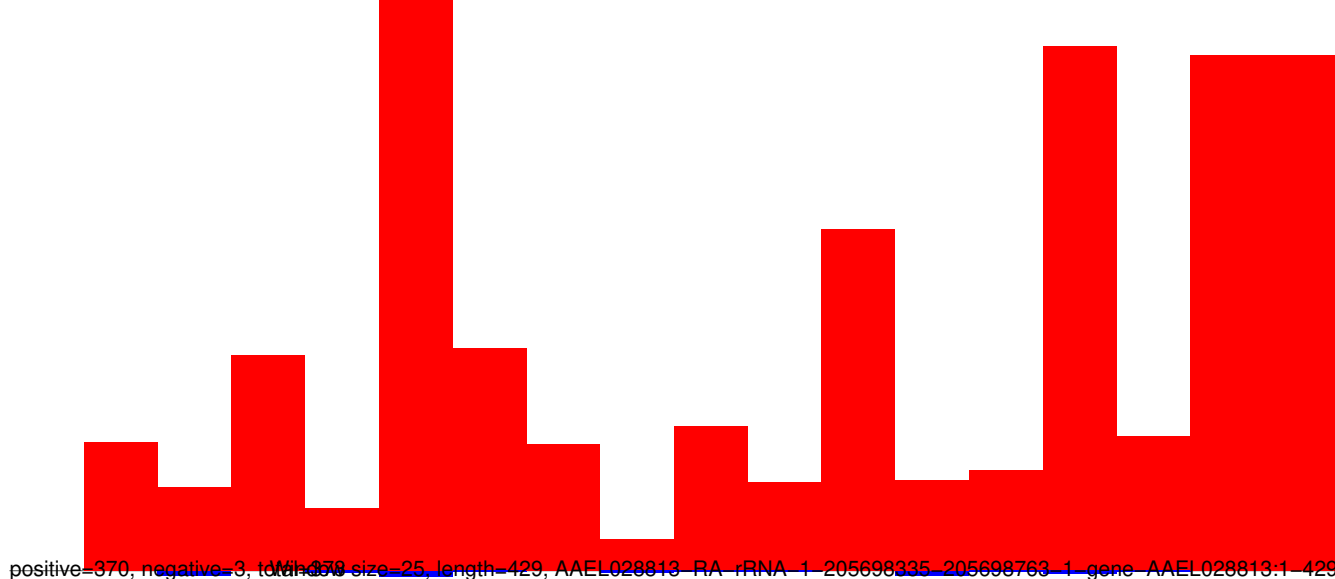
AeAeg_Aag2_Ago3_SINV_RA.18_23.rep



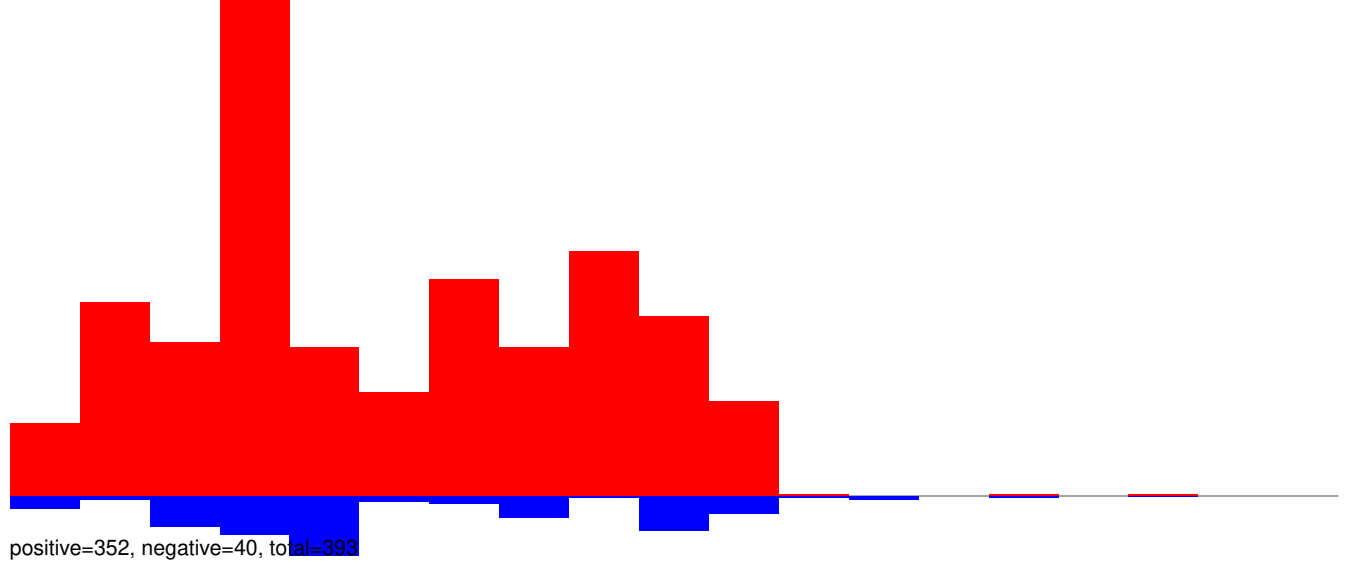
AeAeg_Aag2_Ago3_SINV_RA.24_35.rep



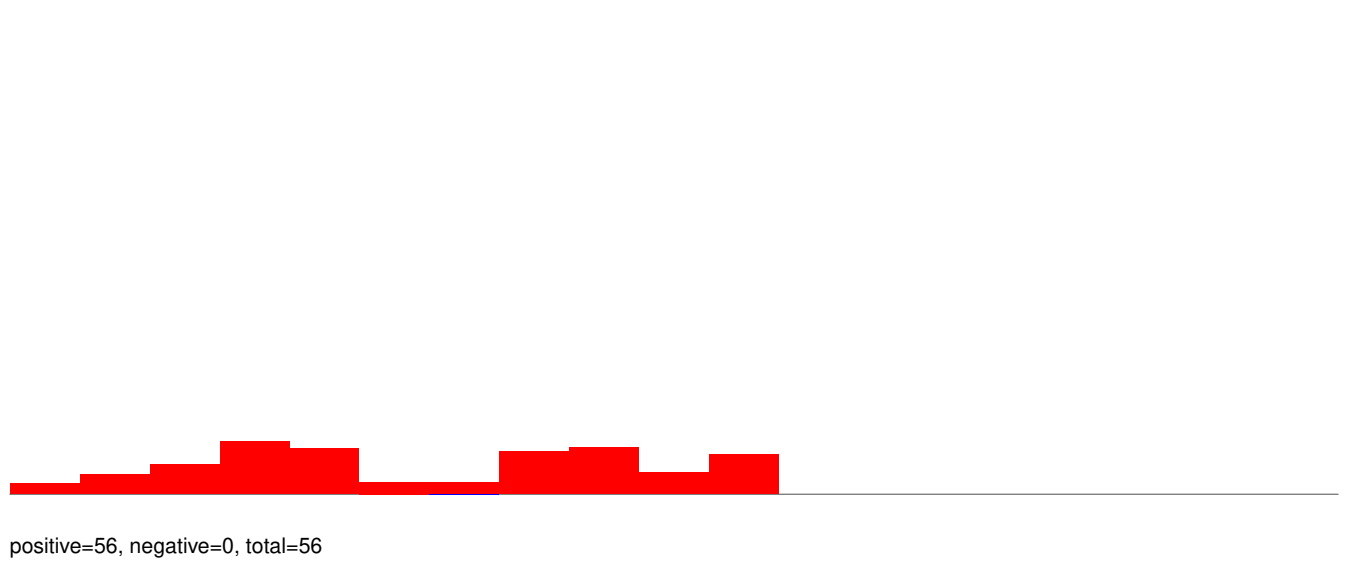
AeAeg_Aag2_Ago3_SINV_RA.rep



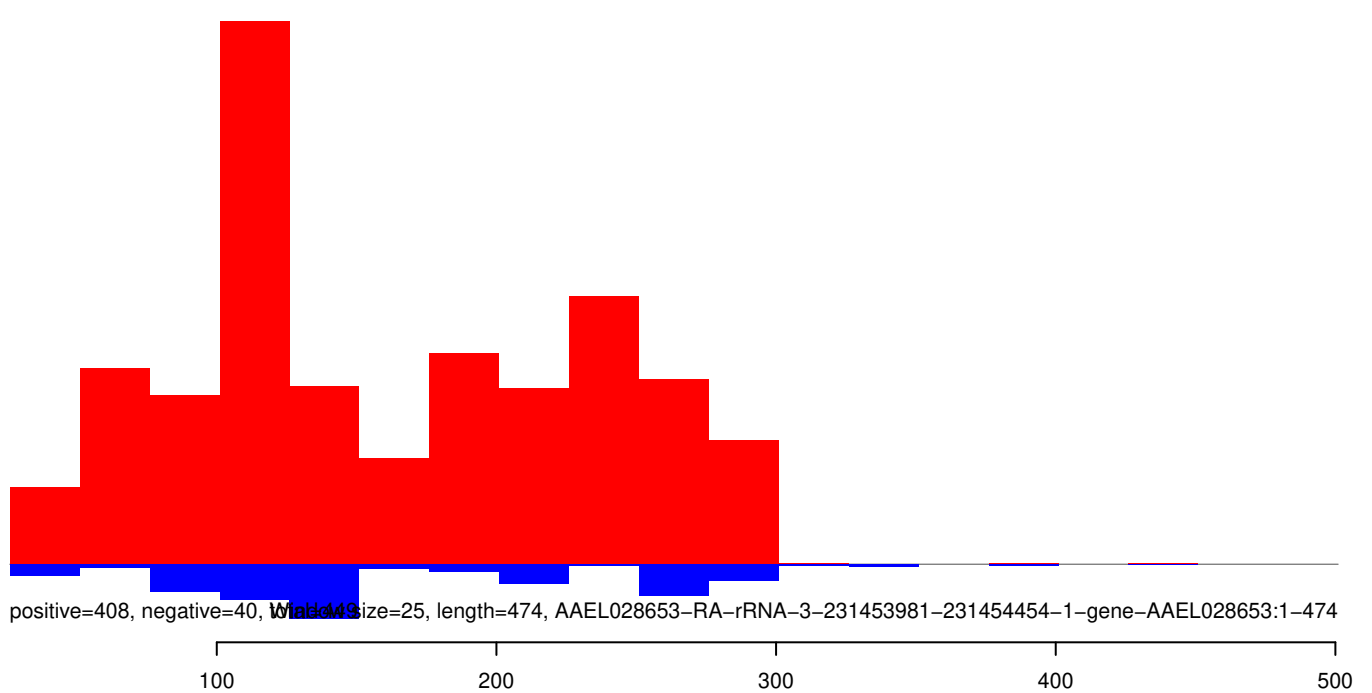
AeAeg_Aag2_Ago3_SINV_RA.18_23.rep



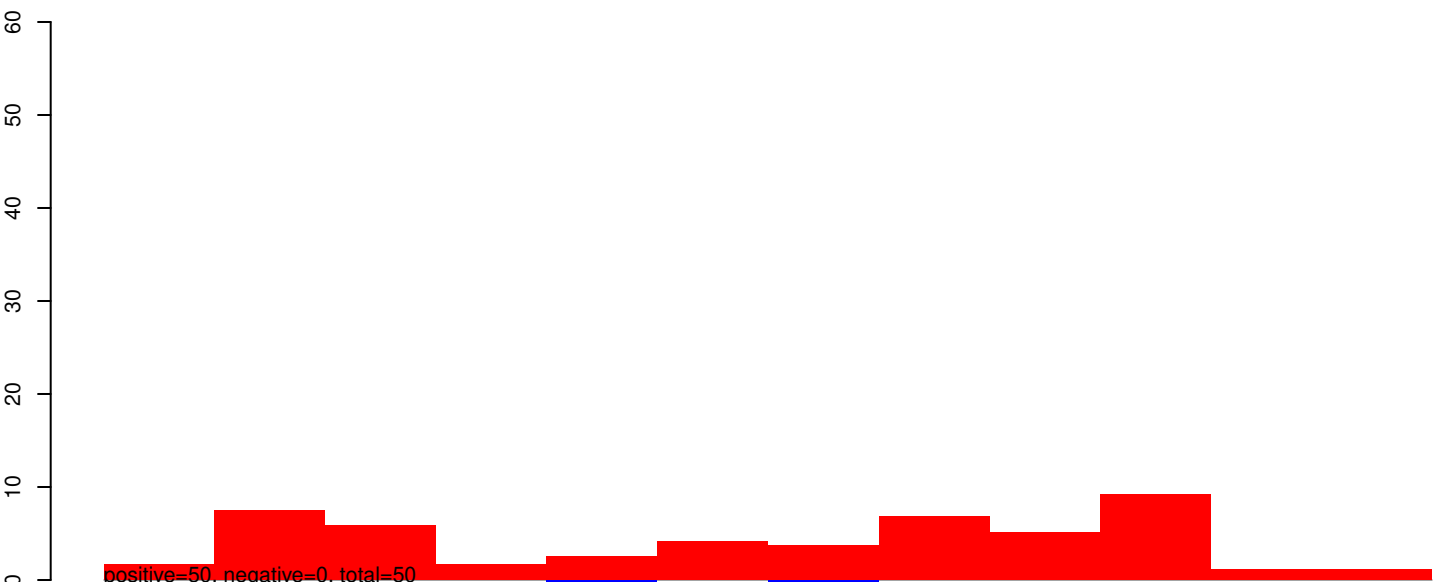
AeAeg_Aag2_Ago3_SINV_RA.24_35.rep



AeAeg_Aag2_Ago3_SINV_RA.rep



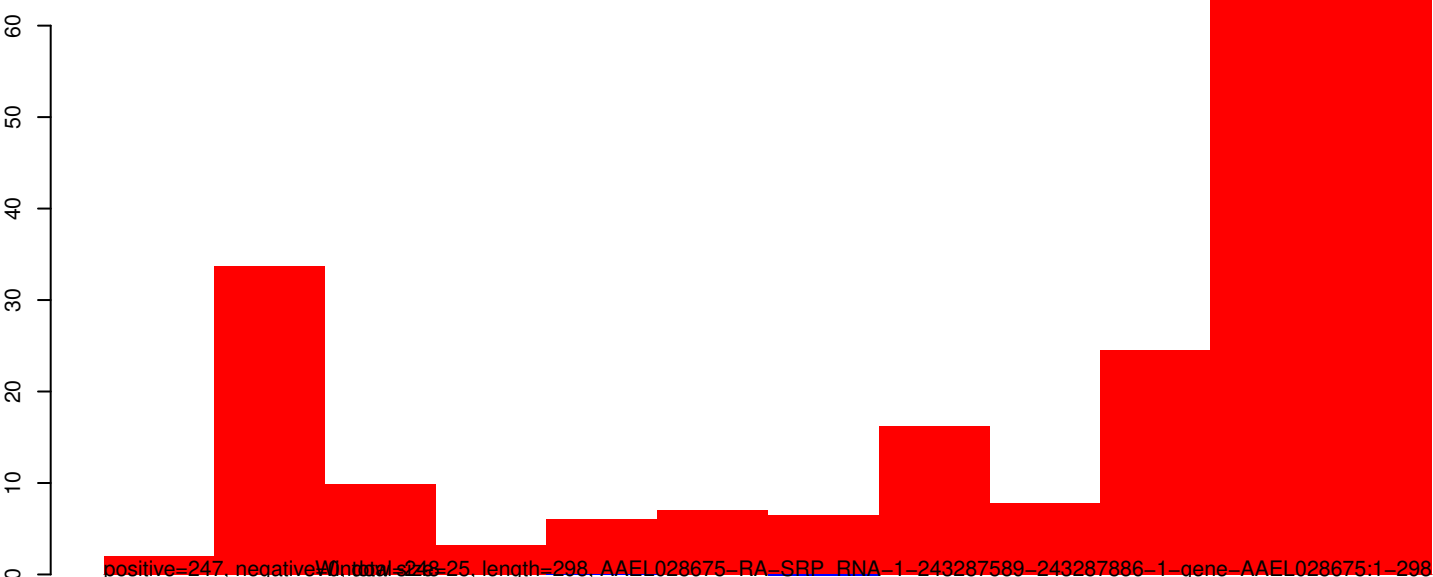
AeAeg_Aag2_Ago3_SINV_RA.18_23.rep



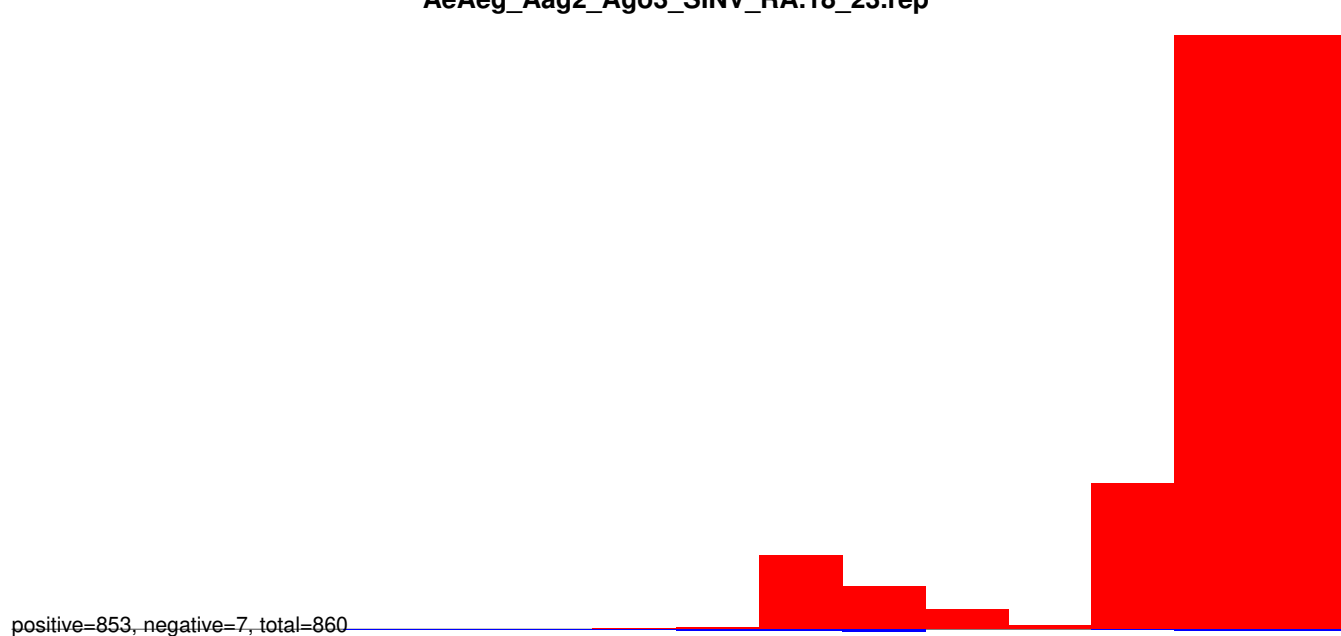
AeAeg_Aag2_Ago3_SINV_RA.24_35.rep



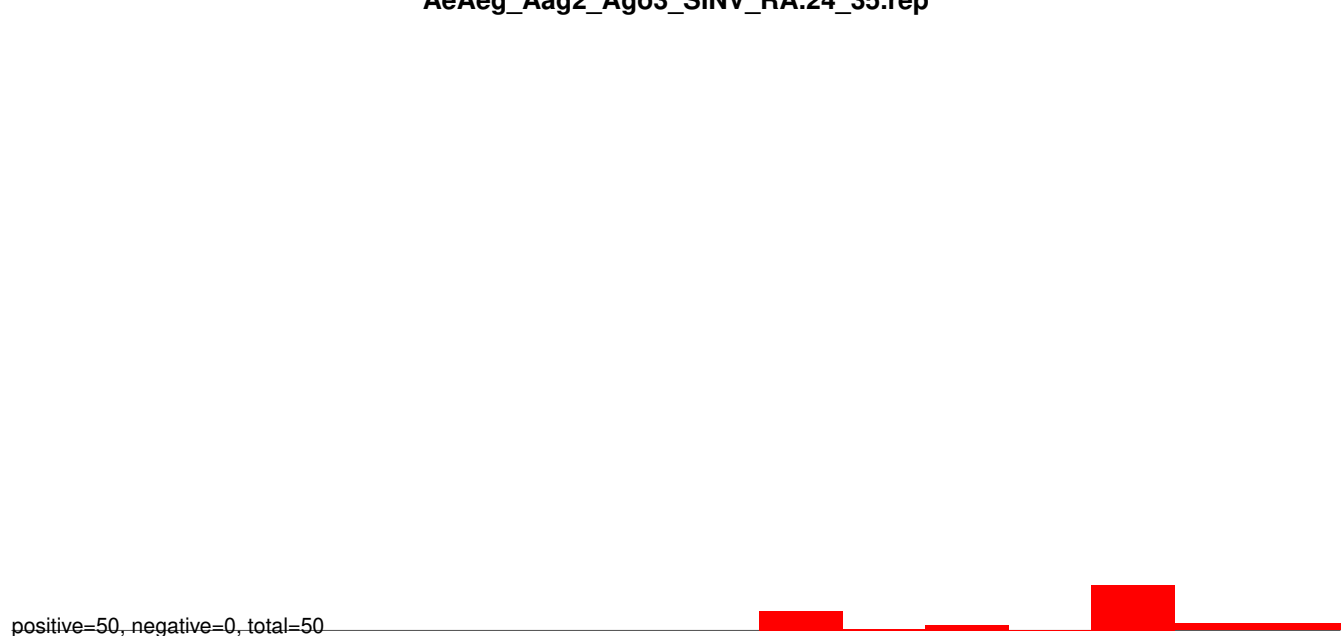
AeAeg_Aag2_Ago3_SINV_RA.rep



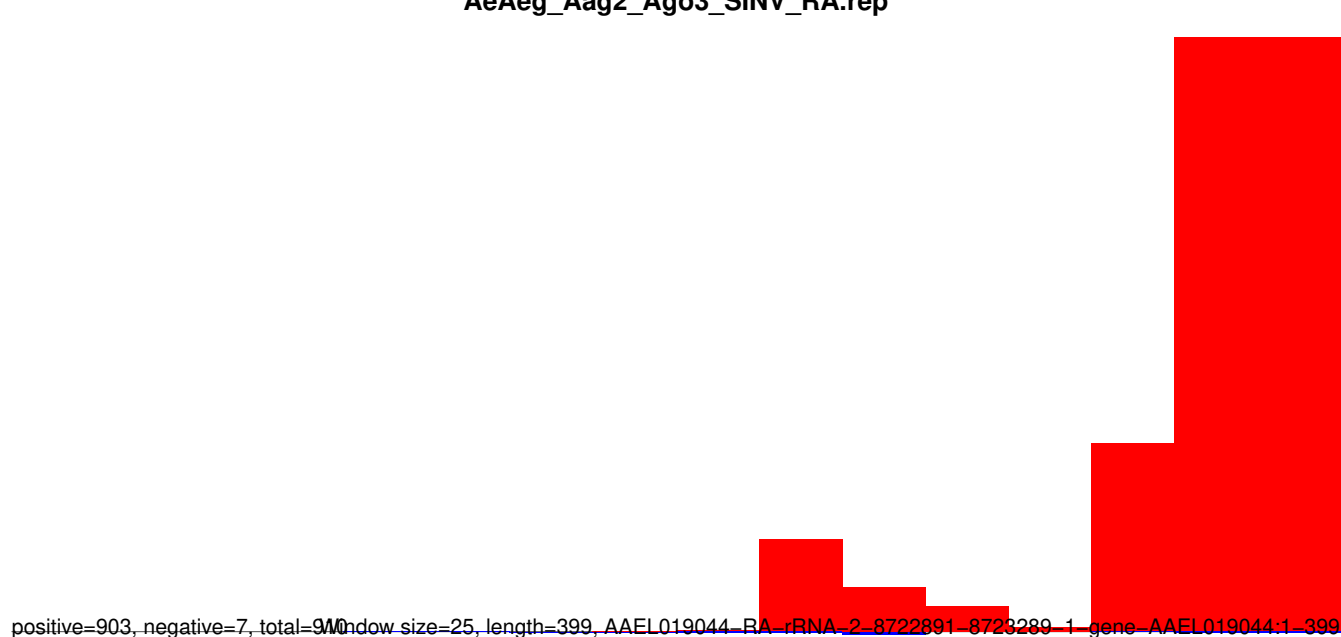
AeAeg_Aag2_Ago3_SINV_RA.18_23.rep



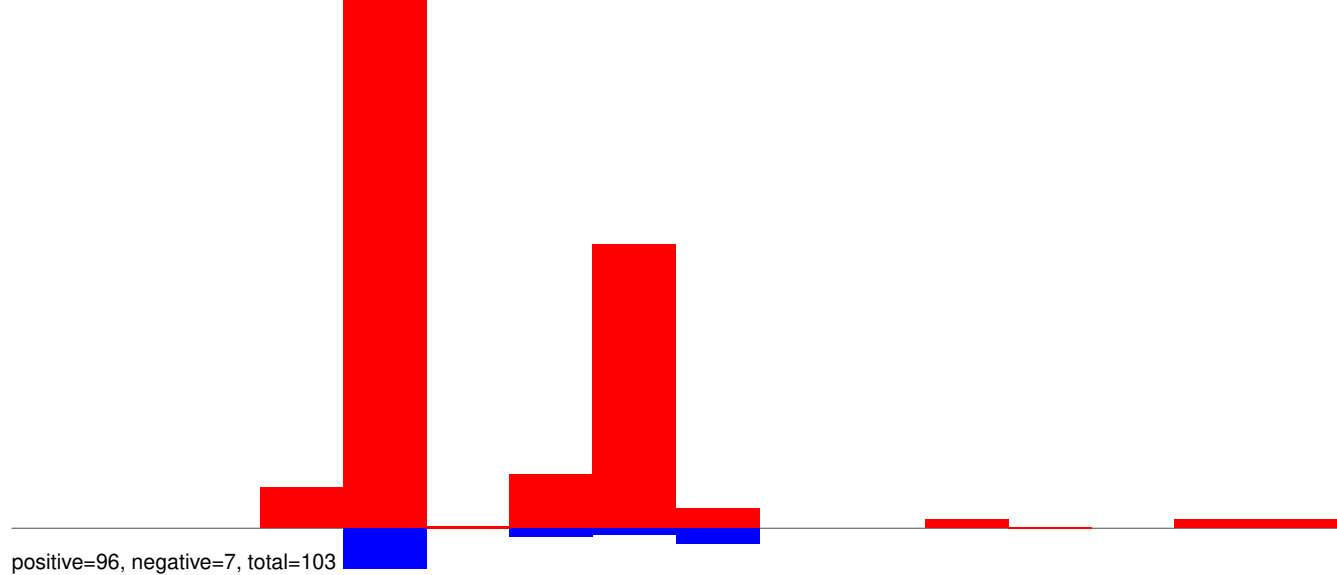
AeAeg_Aag2_Ago3_SINV_RA.24_35.rep



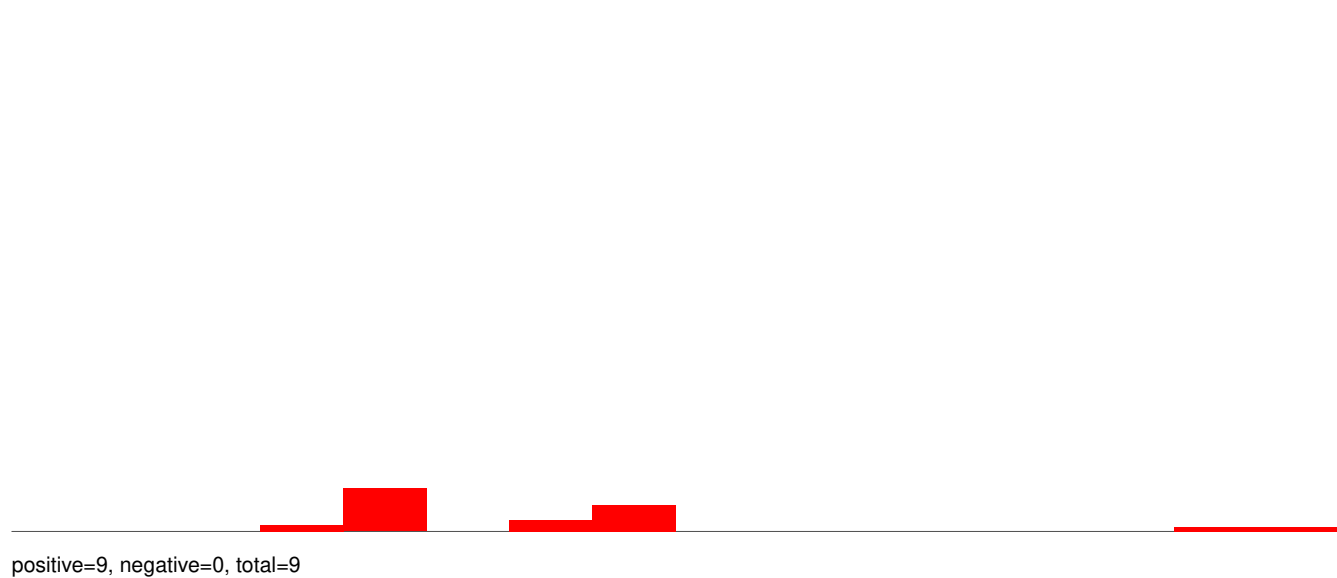
AeAeg_Aag2_Ago3_SINV_RA.rep



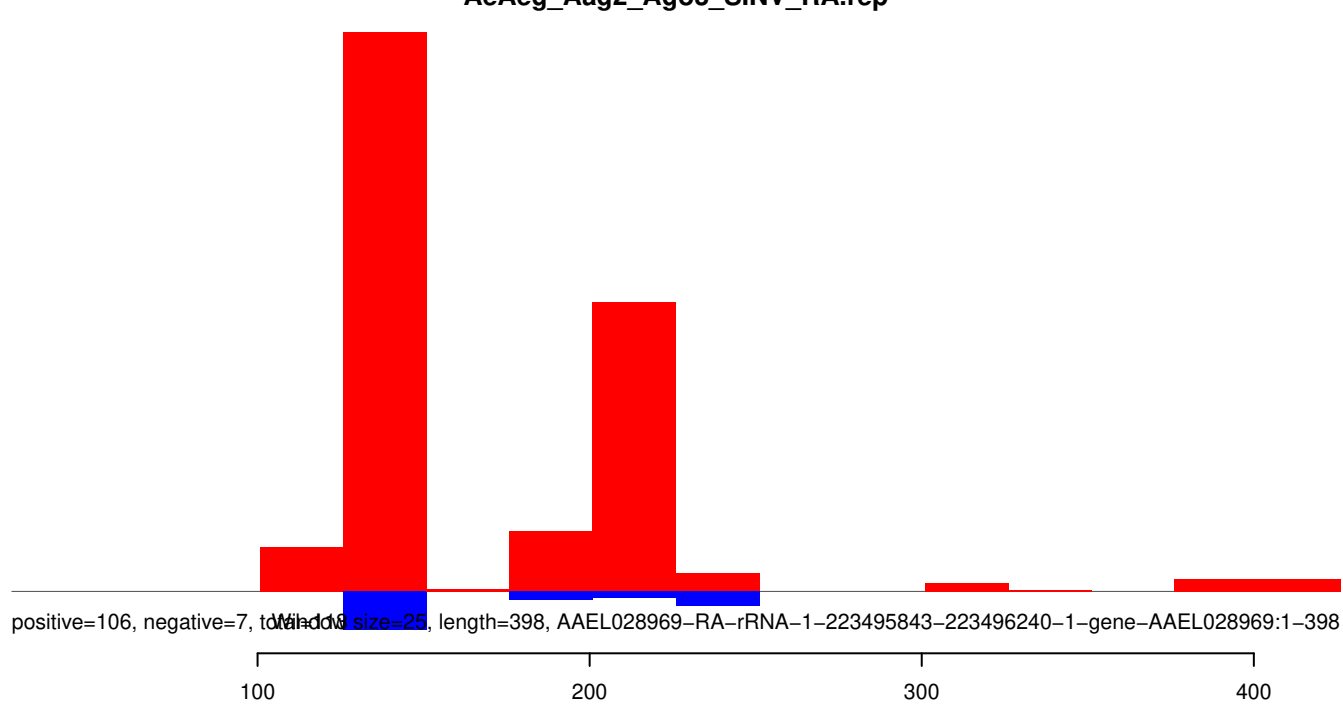
AeAeg_Aag2_Ago3_SINV_RA.18_23.rep



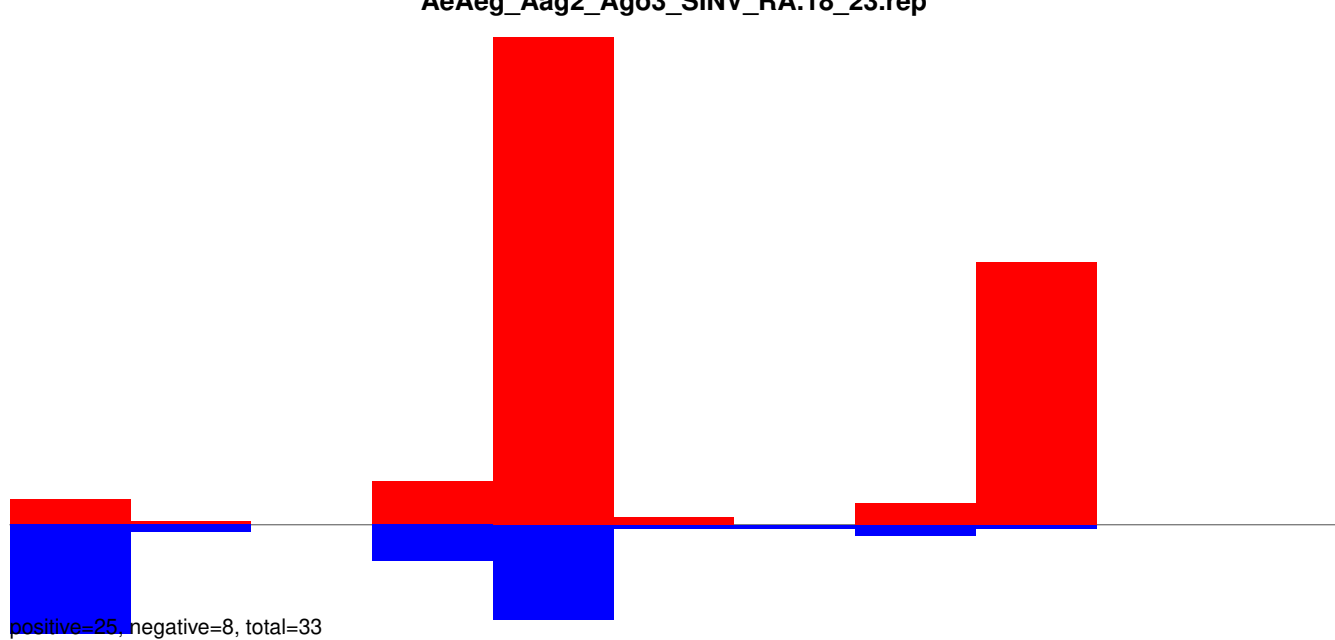
AeAeg_Aag2_Ago3_SINV_RA.24_35.rep



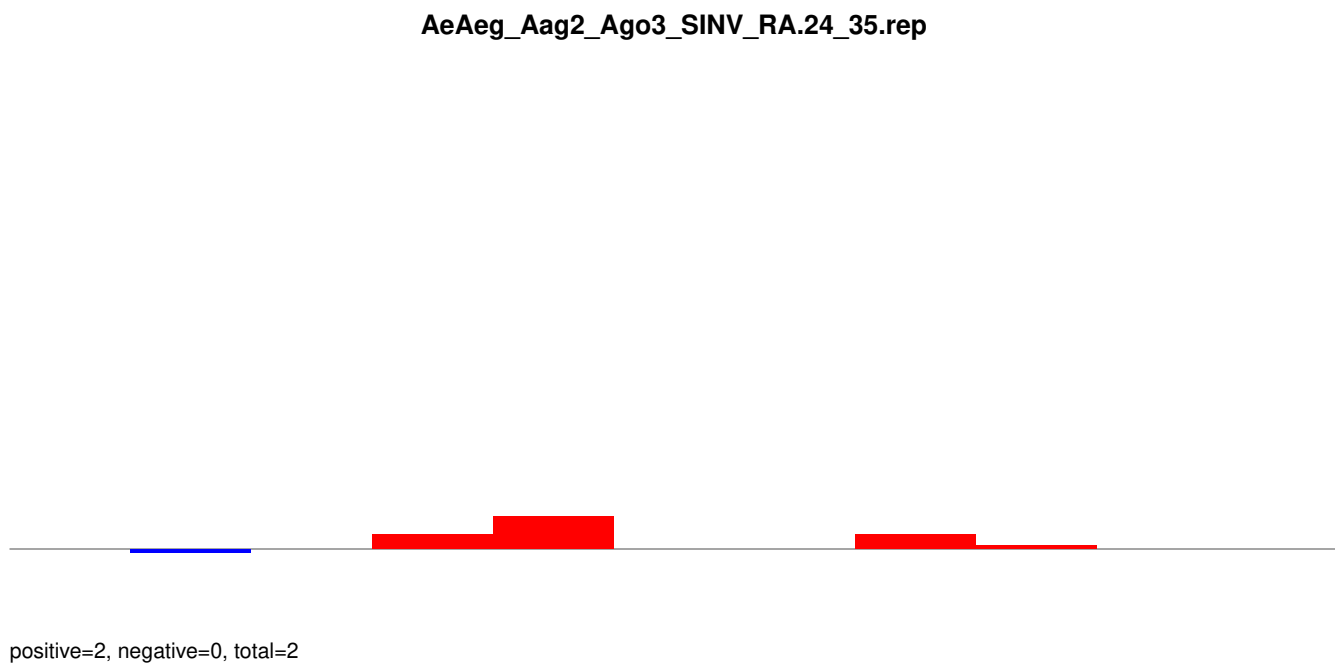
AeAeg_Aag2_Ago3_SINV_RA.rep



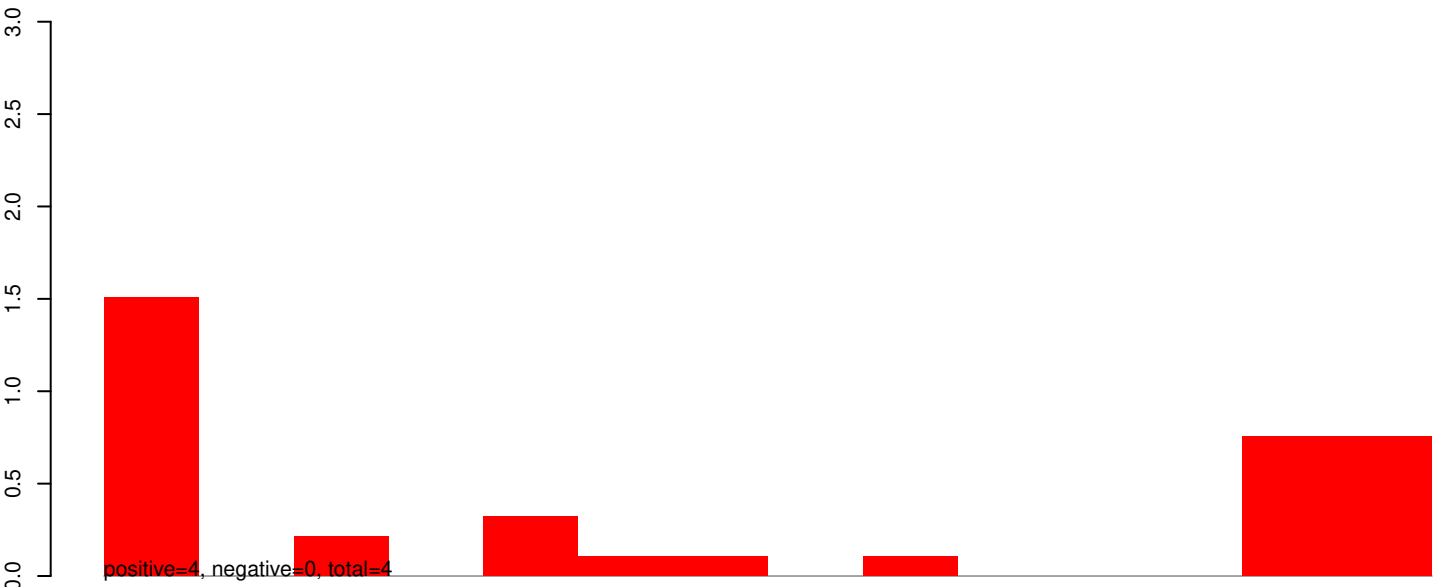
AeAeg_Aag2_Ago3_SINV_RA.18_23.rep



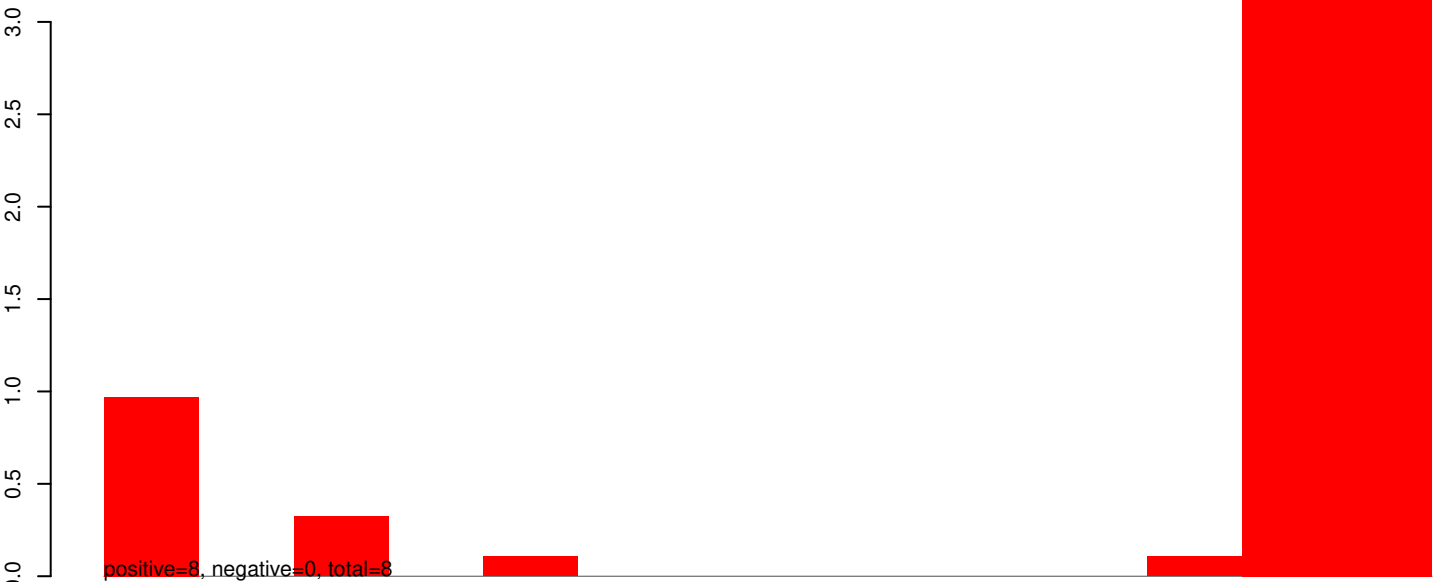
AeAeg_Aag2_Ago3_SINV_RA.24_35.rep



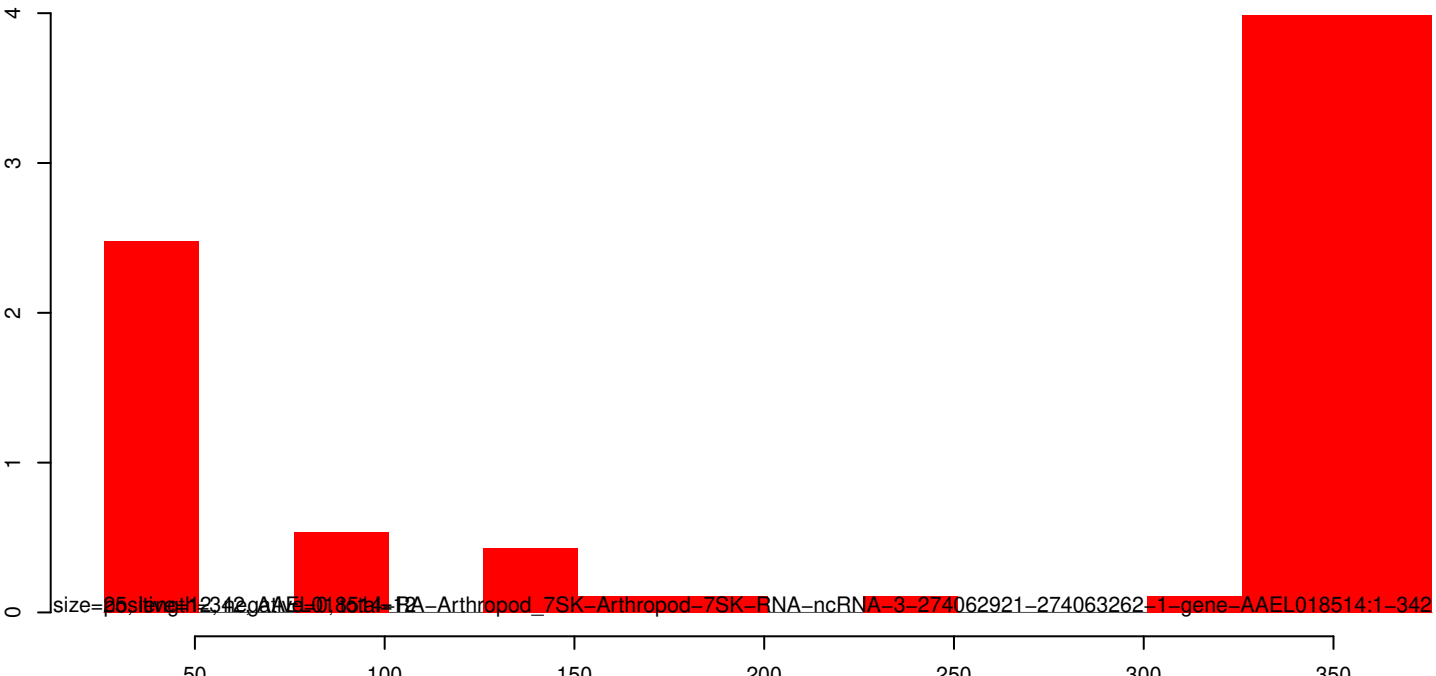
AeAeg_Aag2_Ago3_SINV_RA.18_23.rep



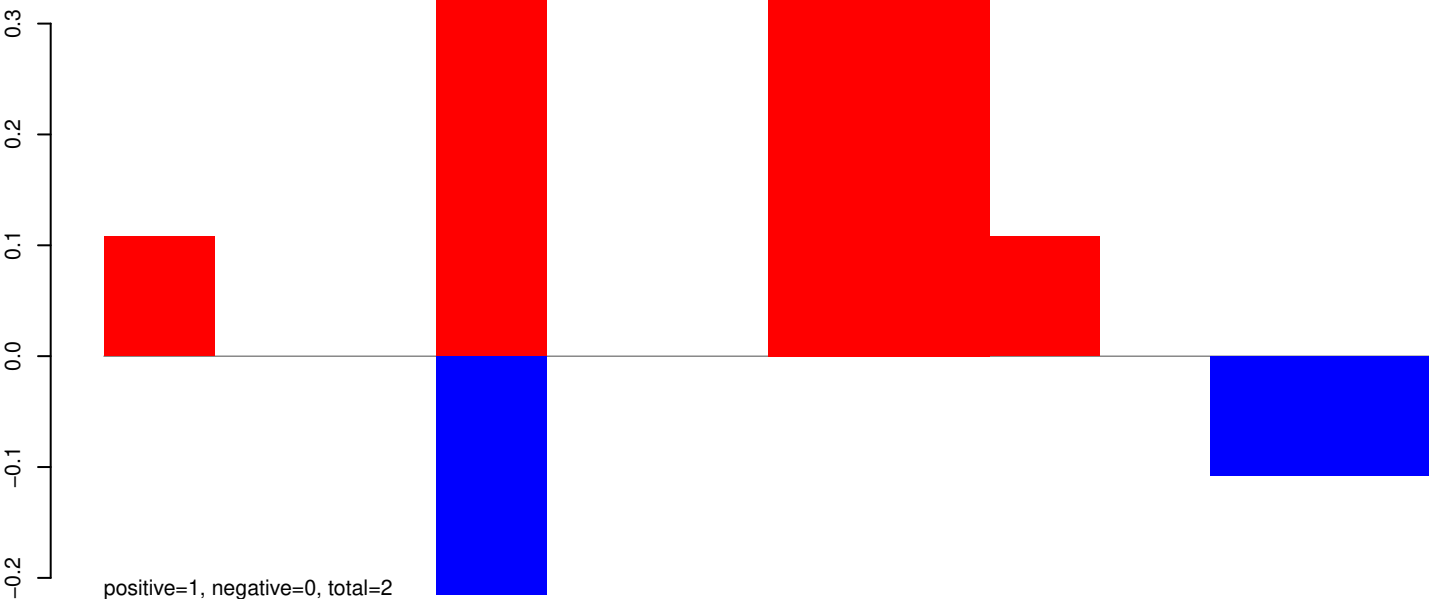
AeAeg_Aag2_Ago3_SINV_RA.24_35.rep



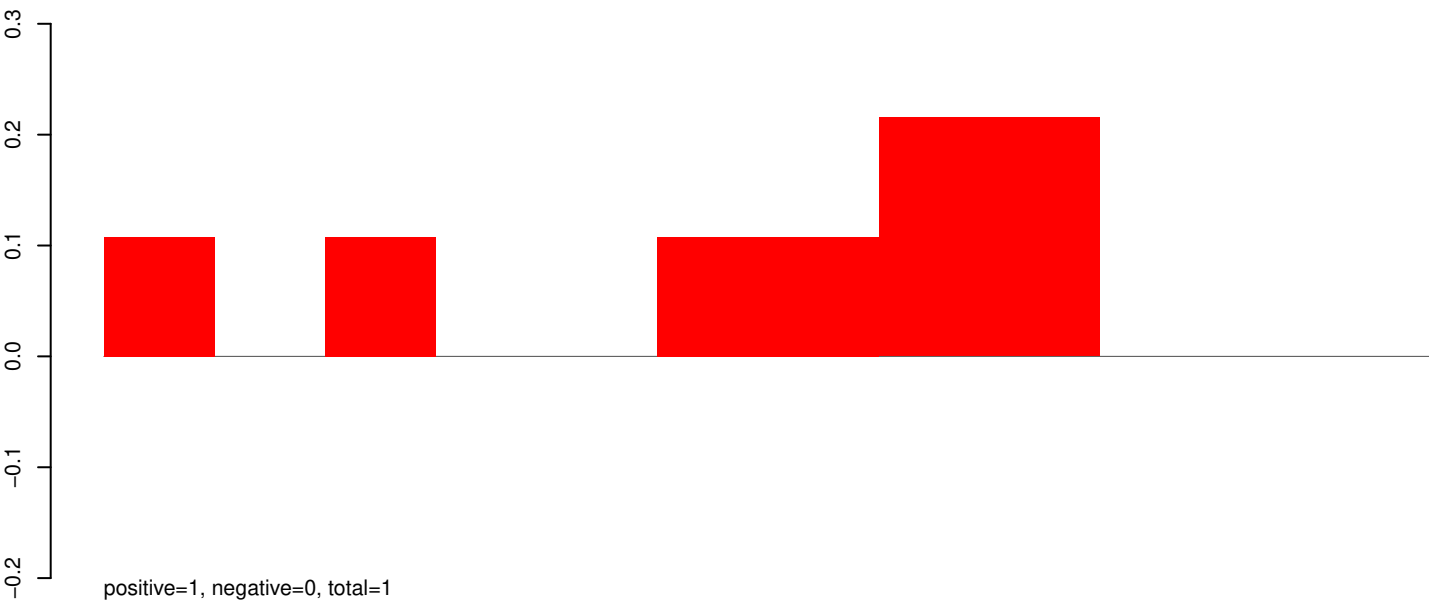
AeAeg_Aag2_Ago3_SINV_RA.rep



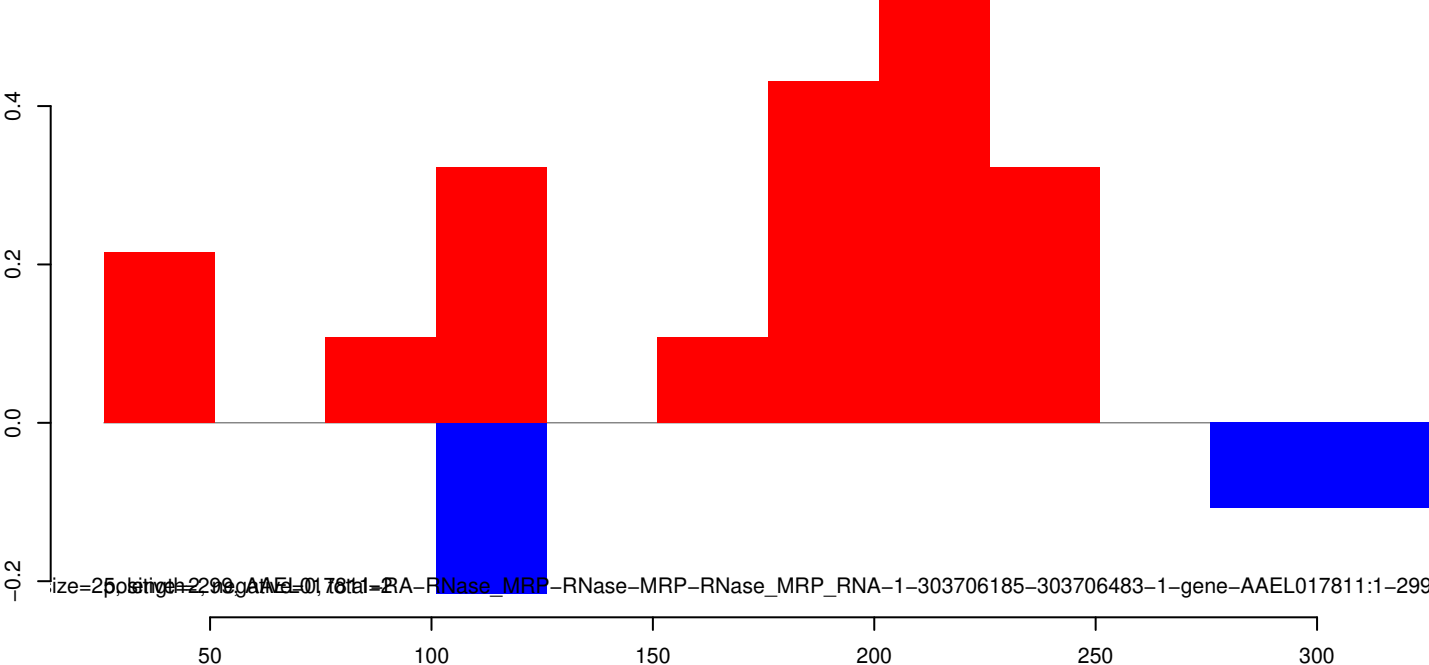
AeAeg_Aag2_Ago3_SINV_RA.18_23.rep



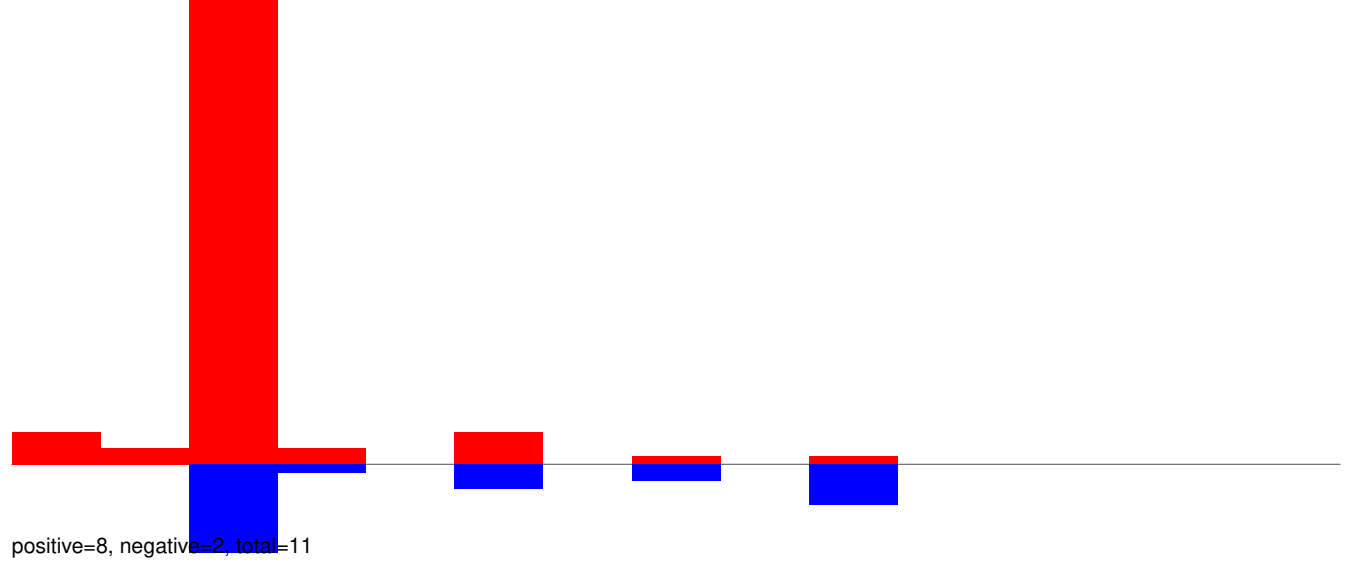
AeAeg_Aag2_Ago3_SINV_RA.24_35.rep



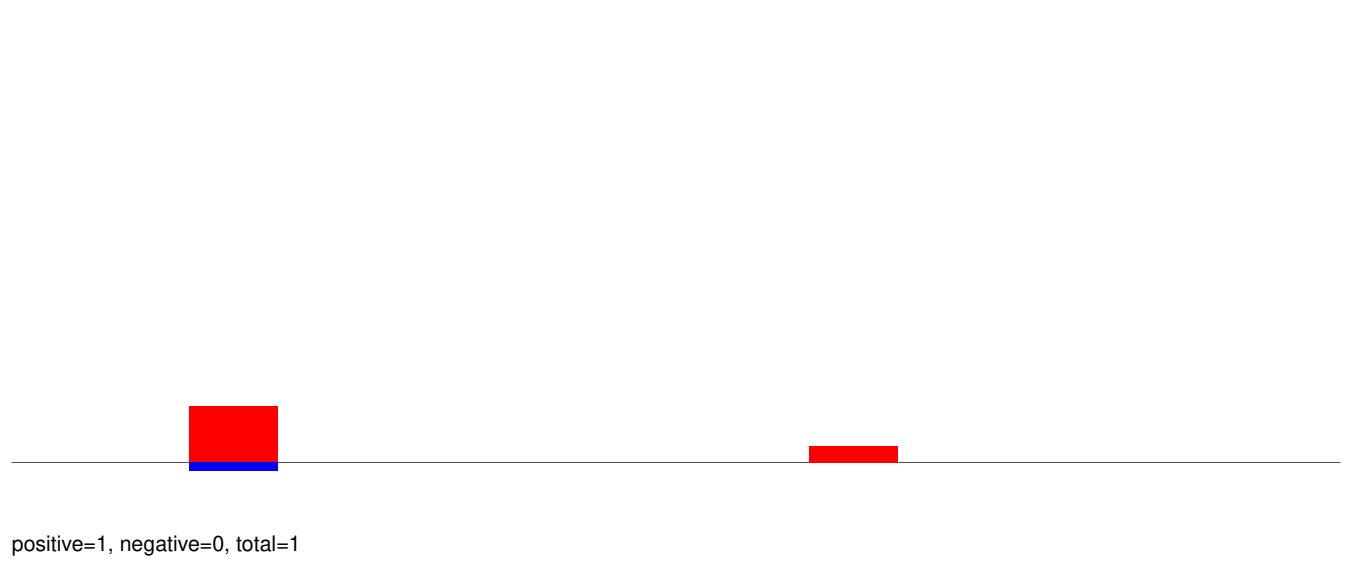
AeAeg_Aag2_Ago3_SINV_RA.rep



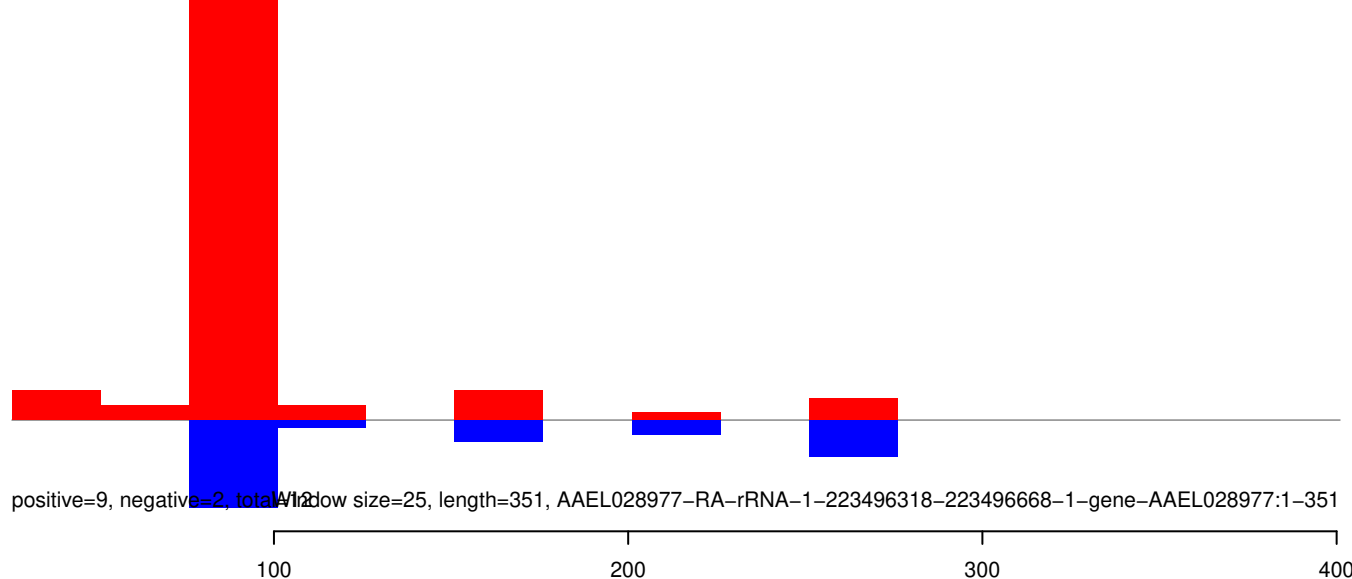
AeAeg_Aag2_Ago3_SINV_RA.18_23.rep



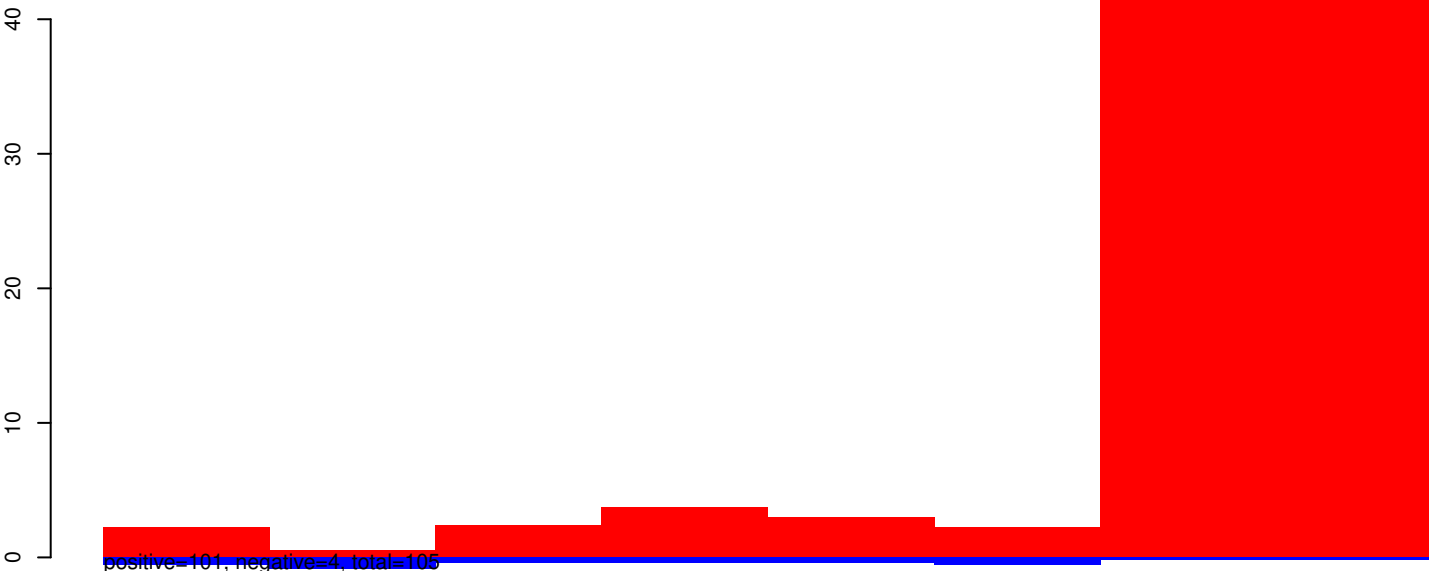
AeAeg_Aag2_Ago3_SINV_RA.24_35.rep



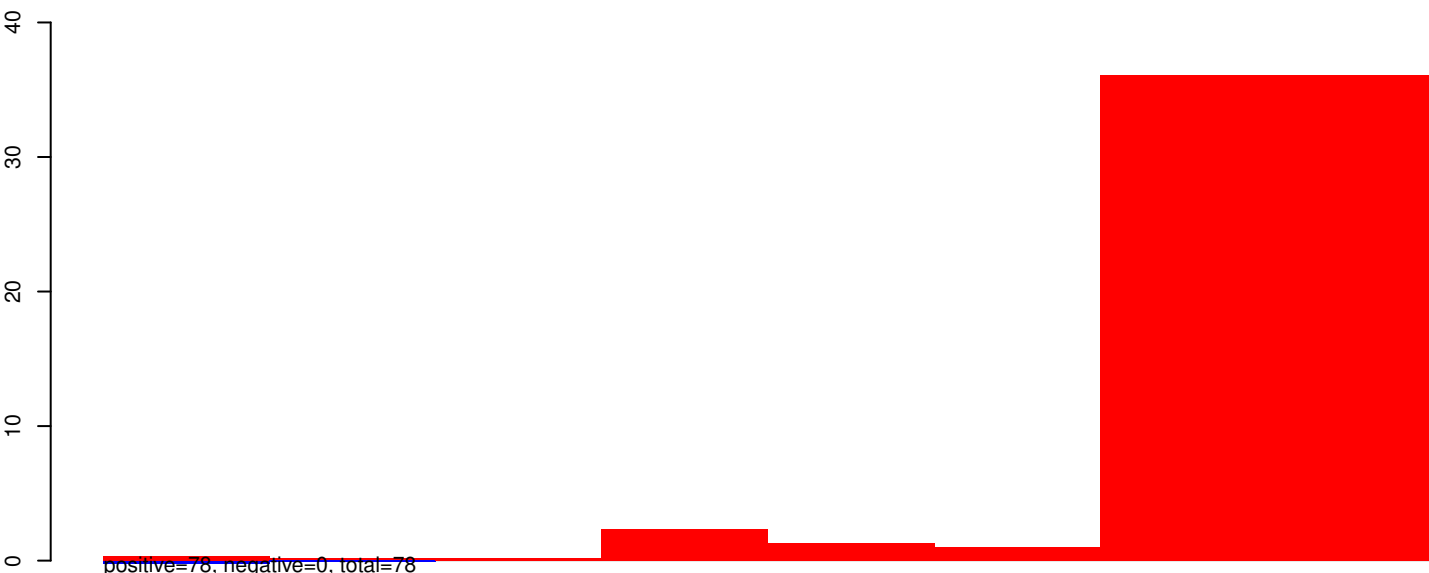
AeAeg_Aag2_Ago3_SINV_RA.rep



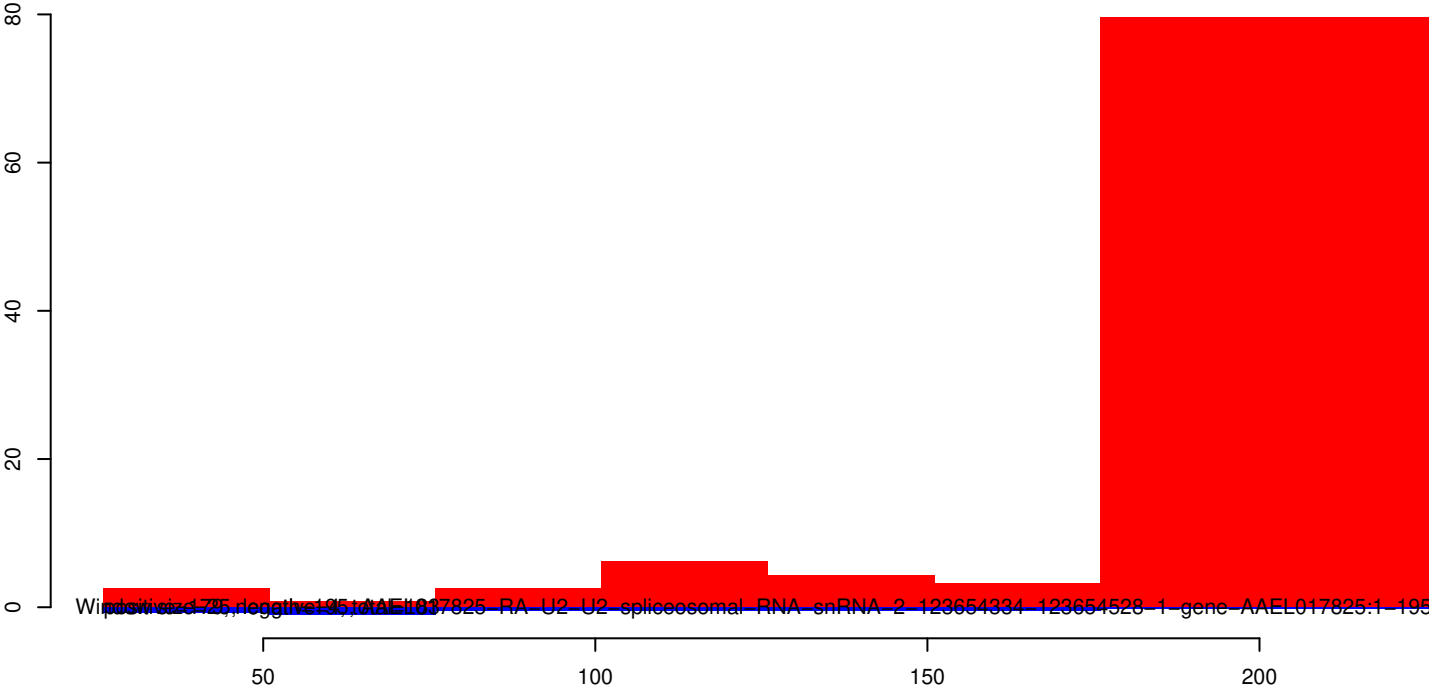
AeAeg_Aag2_Ago3_SINV_RA.18_23.rep



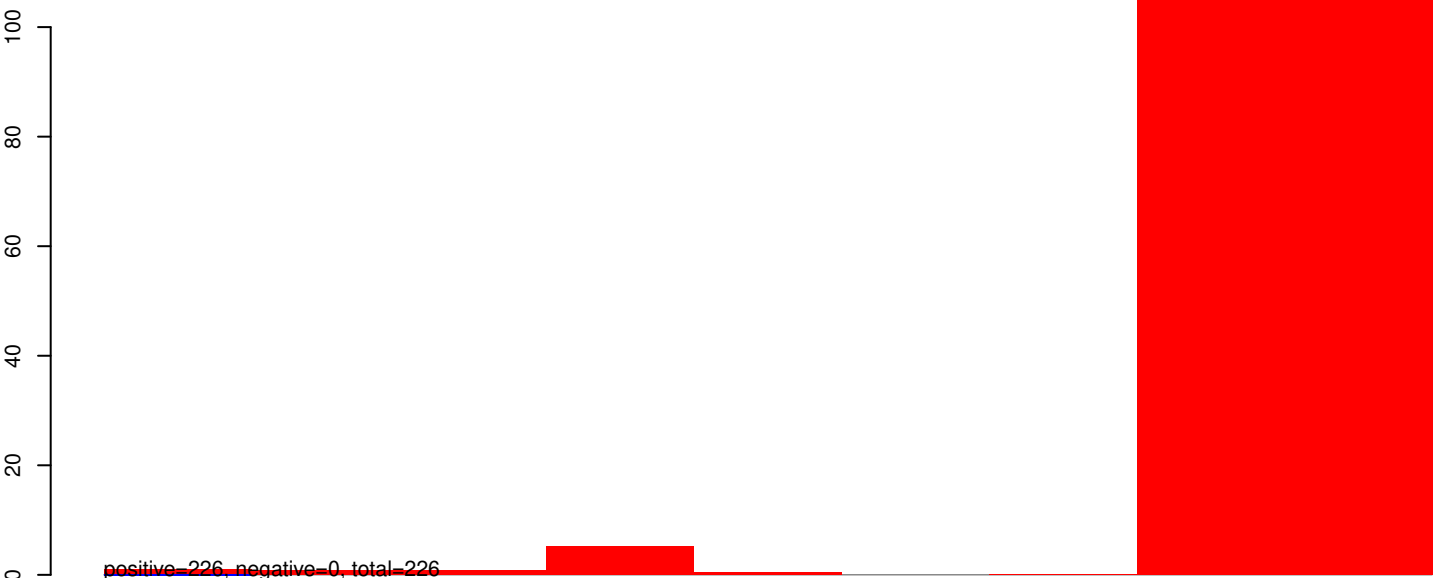
AeAeg_Aag2_Ago3_SINV_RA.24_35.rep



AeAeg_Aag2_Ago3_SINV_RA.rep



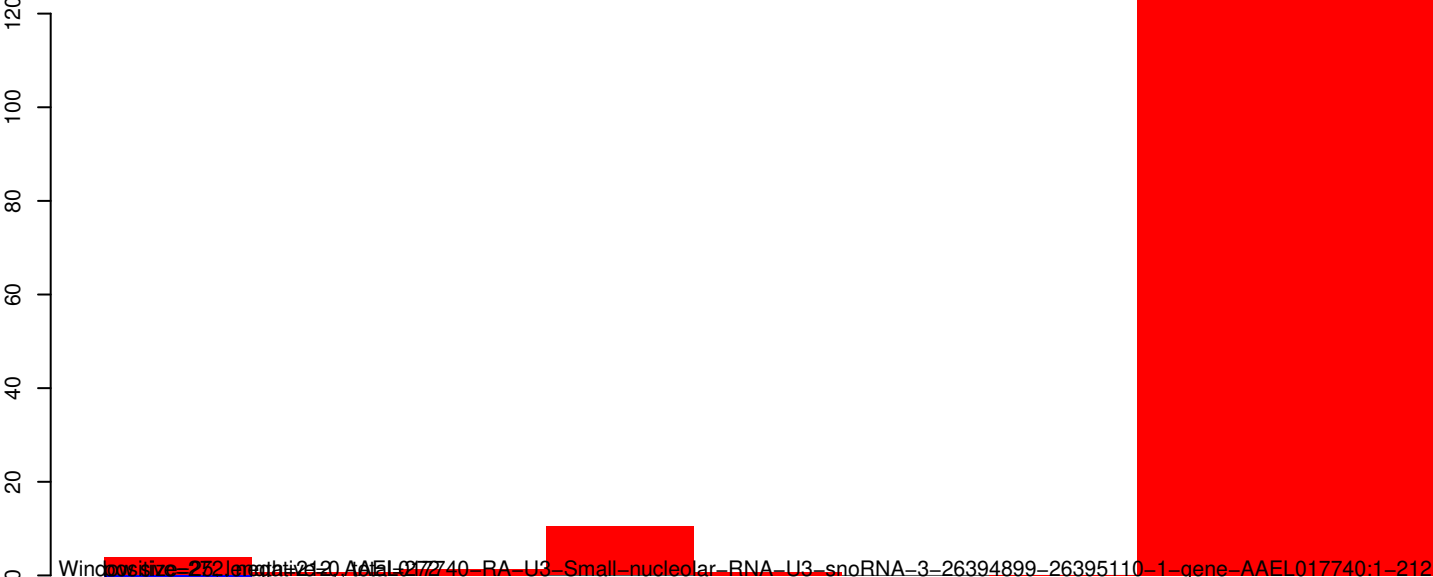
AeAeg_Aag2_Ago3_SINV_RA.18_23.rep



AeAeg_Aag2_Ago3_SINV_RA.24_35.rep



AeAeg_Aag2_Ago3_SINV_RA.rep



Window size=252, length=21-20, AEL017740-RA-U3-Small-nucleolar-RNA-U3-snoRNA-3-26394899-26395110-1-gene-AAEL017740:1-212

50

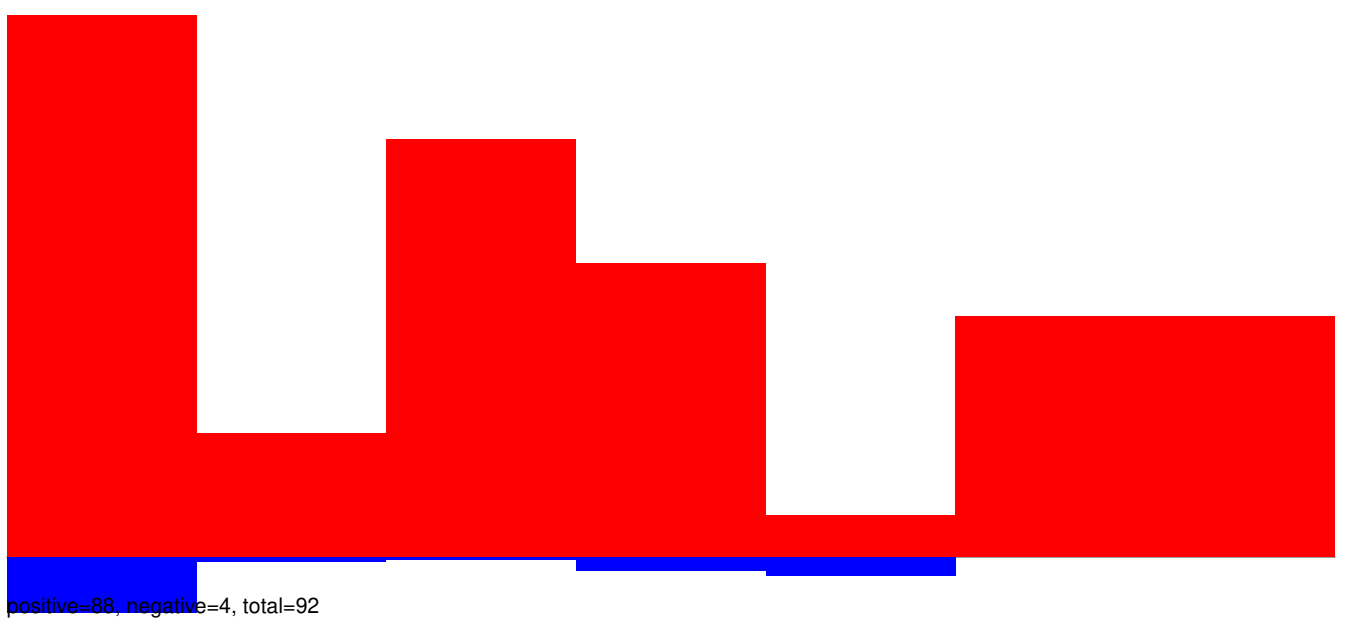
100

150

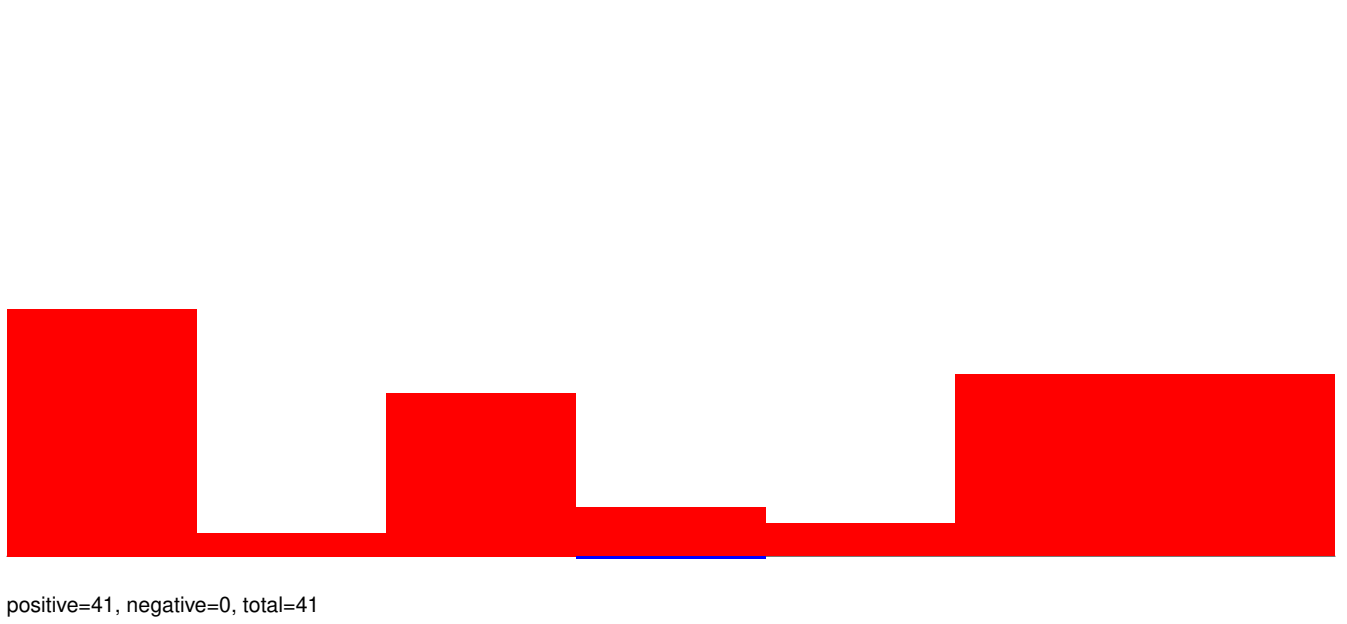
200

250

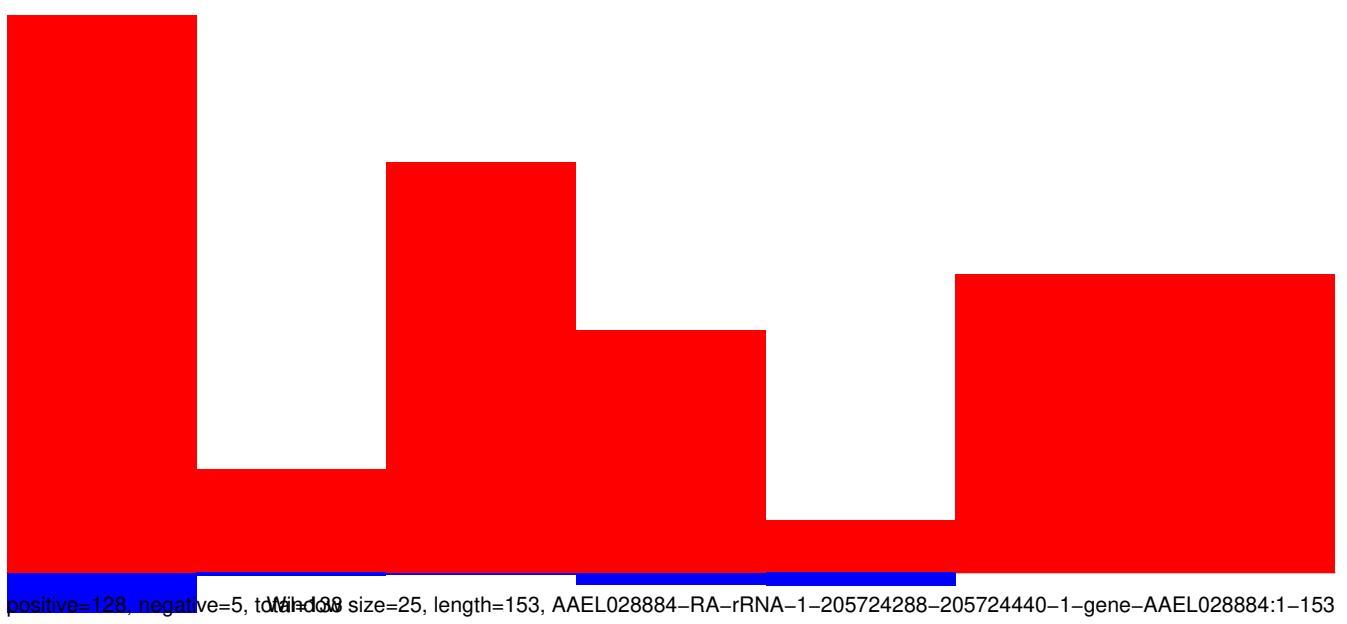
AeAeg_Aag2_Ago3_SINV_RA.18_23.rep



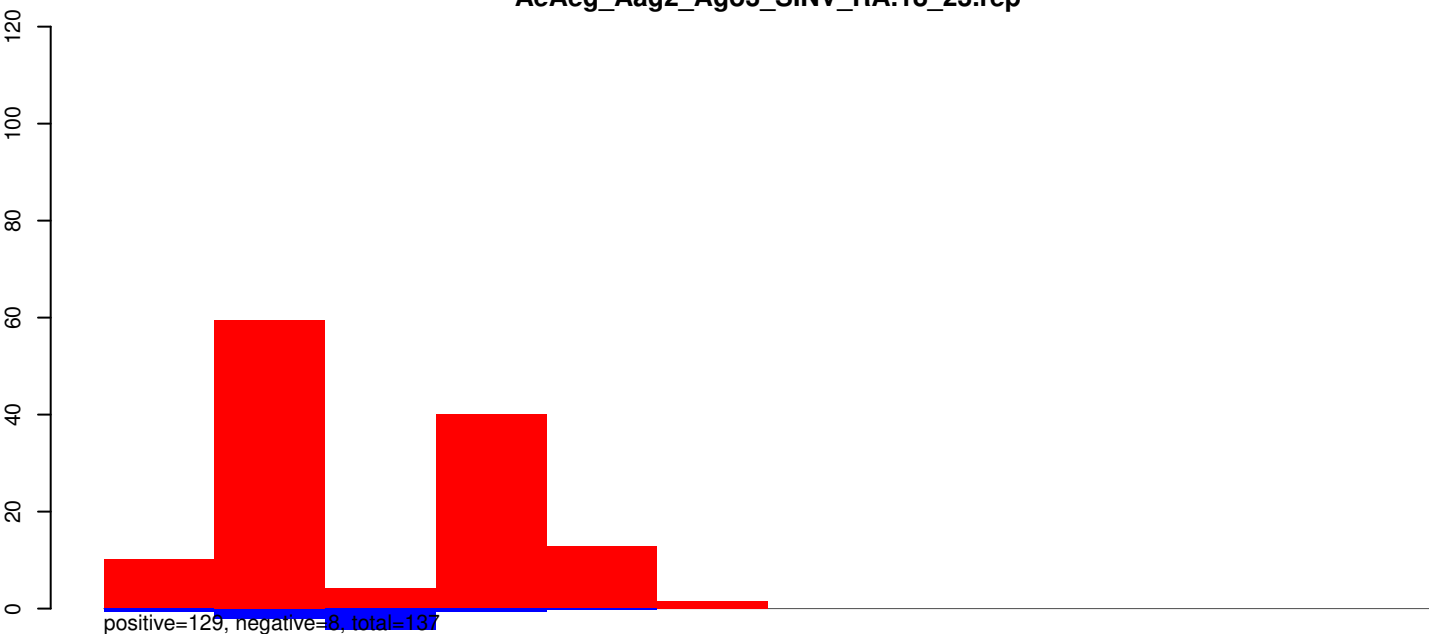
AeAeg_Aag2_Ago3_SINV_RA.24_35.rep



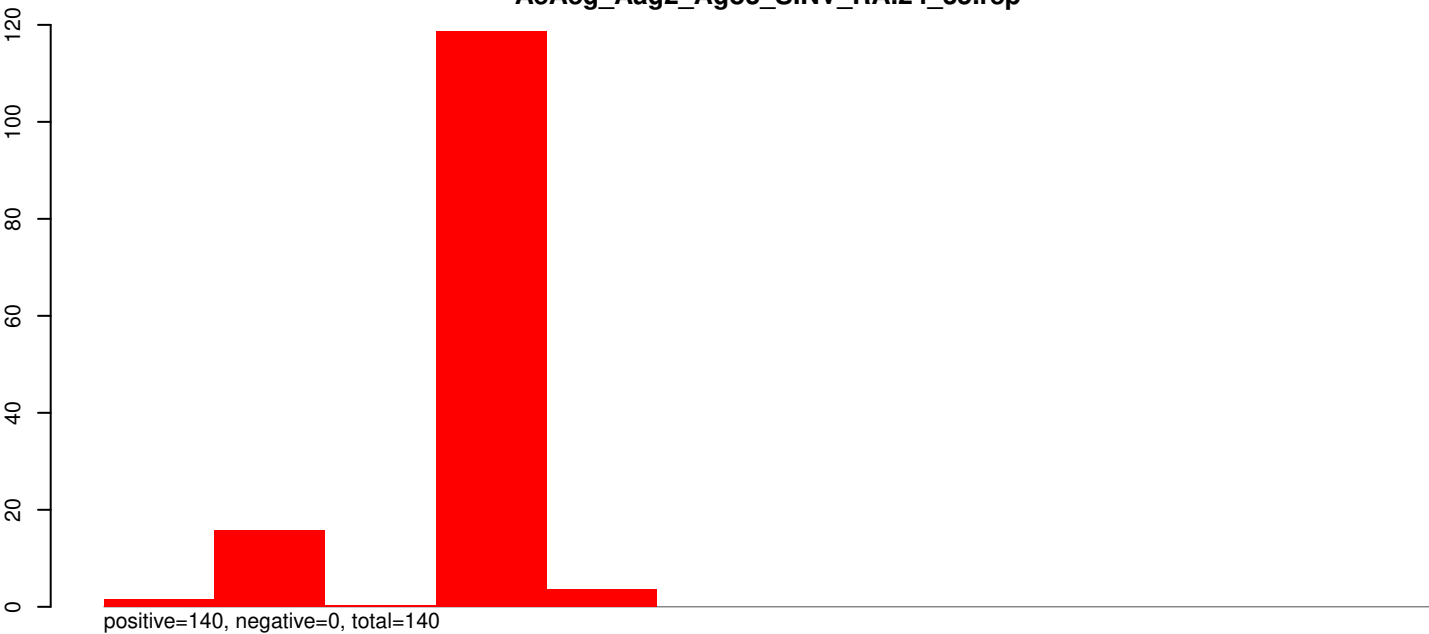
AeAeg_Aag2_Ago3_SINV_RA.rep



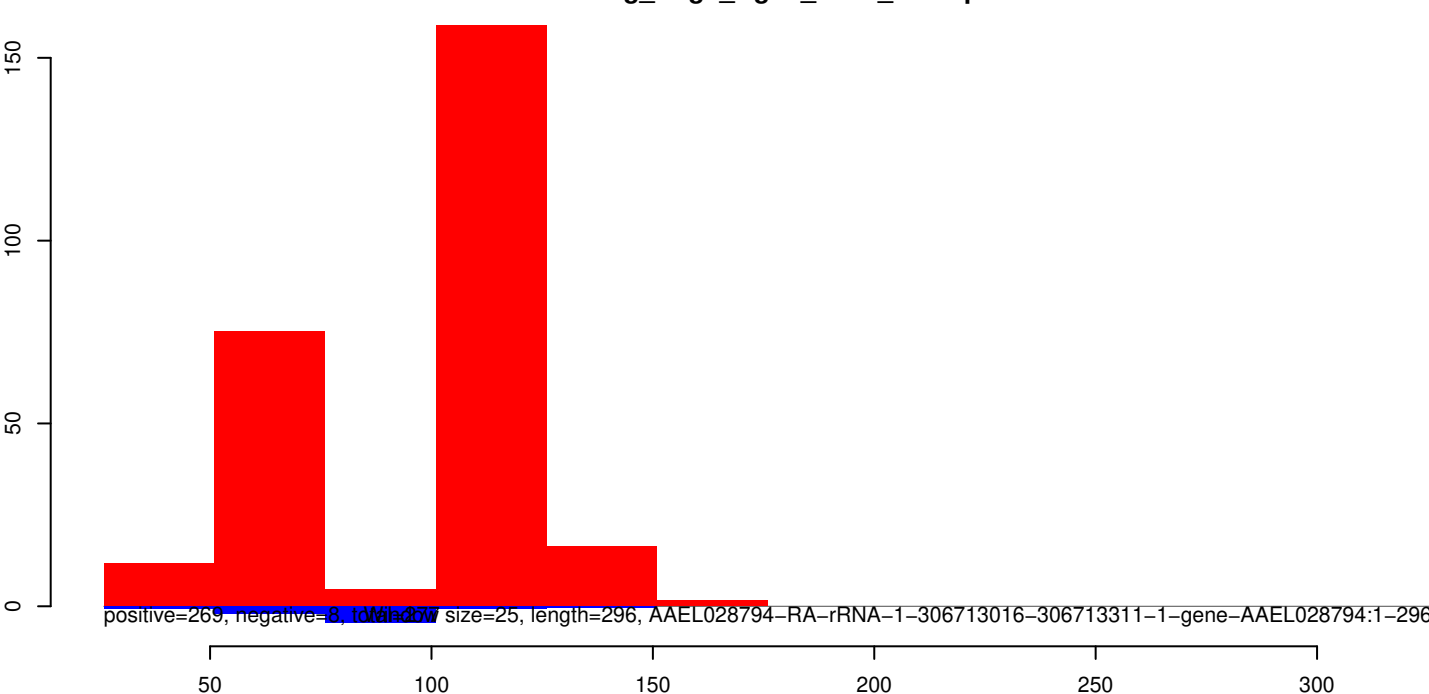
AeAeg_Aag2_Ago3_SINV_RA.18_23.rep



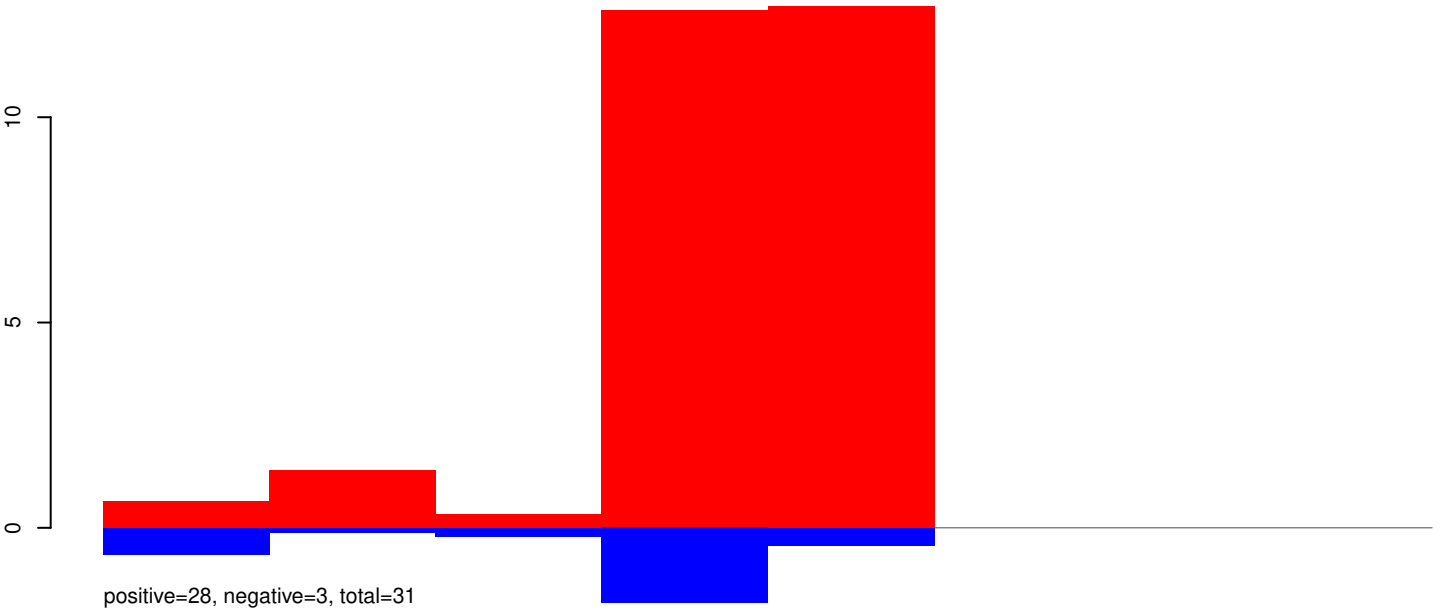
AeAeg_Aag2_Ago3_SINV_RA.24_35.rep



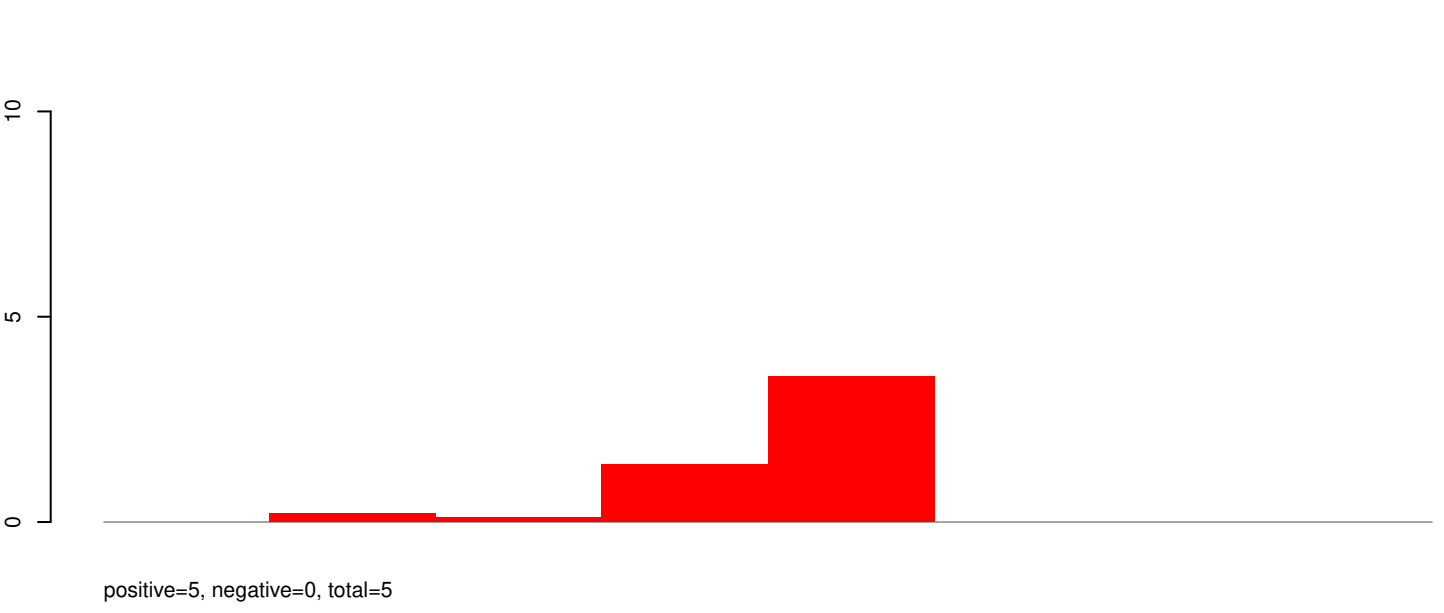
AeAeg_Aag2_Ago3_SINV_RA.rep



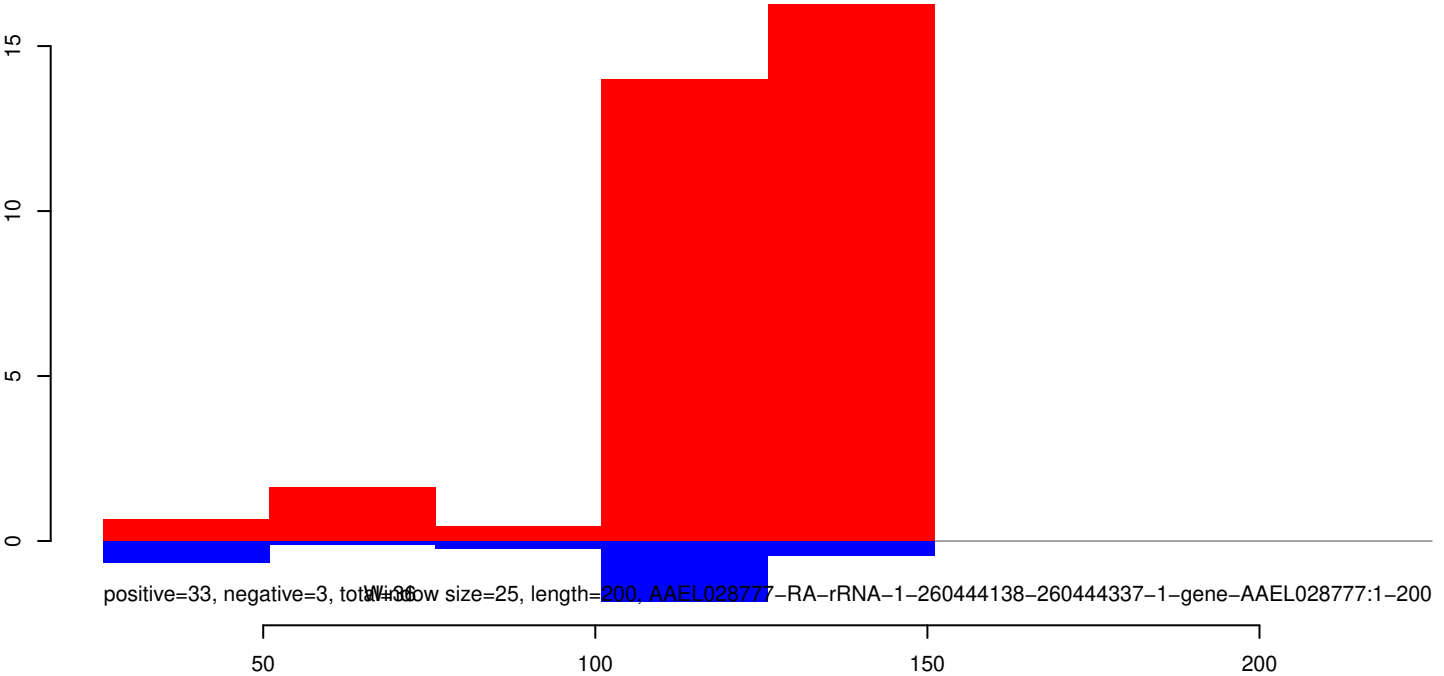
AeAeg_Aag2_Ago3_SINV_RA.18_23.rep



AeAeg_Aag2_Ago3_SINV_RA.24_35.rep

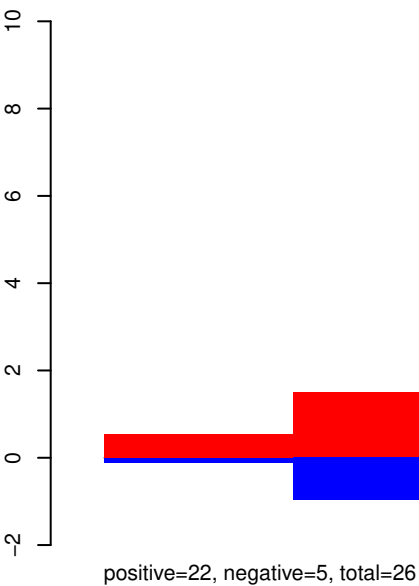


AeAeg_Aag2_Ago3_SINV_RA.rep

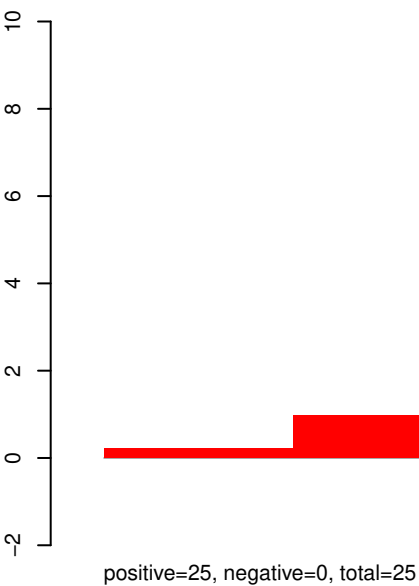


Window size=25, length=200, AAEL028777-RA-rRNA-1-260444138-260444337-1-gene-AAEL028777:1-200

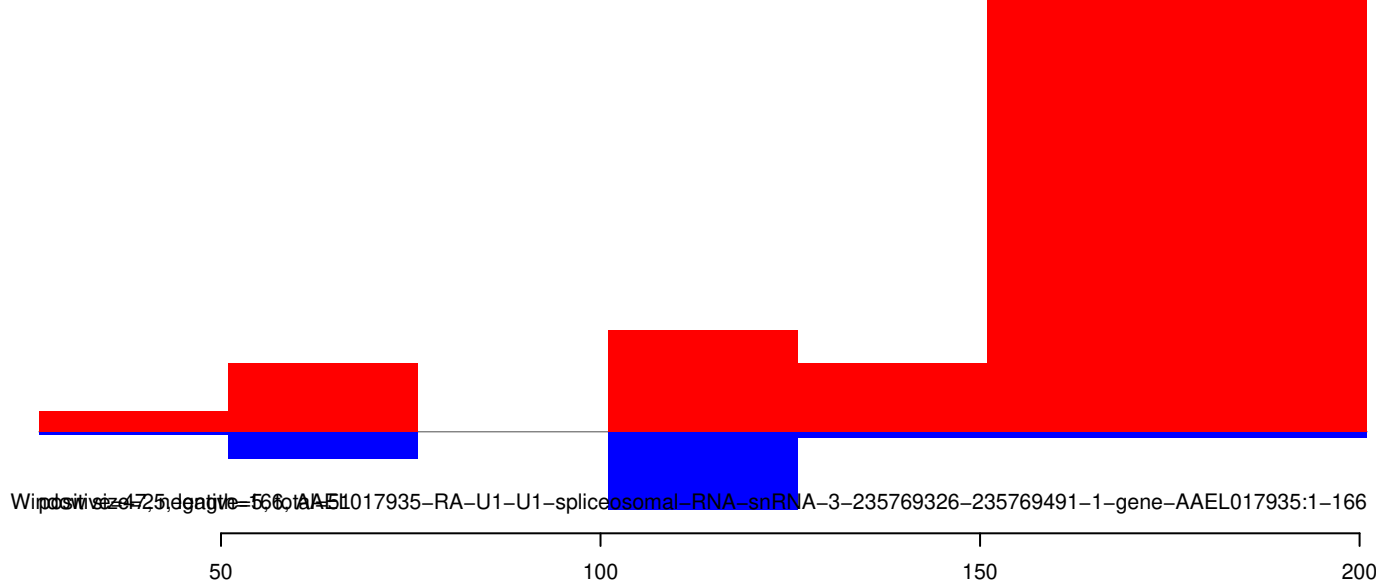
AeAeg_Aag2_Ago3_SINV_RA.18_23.rep



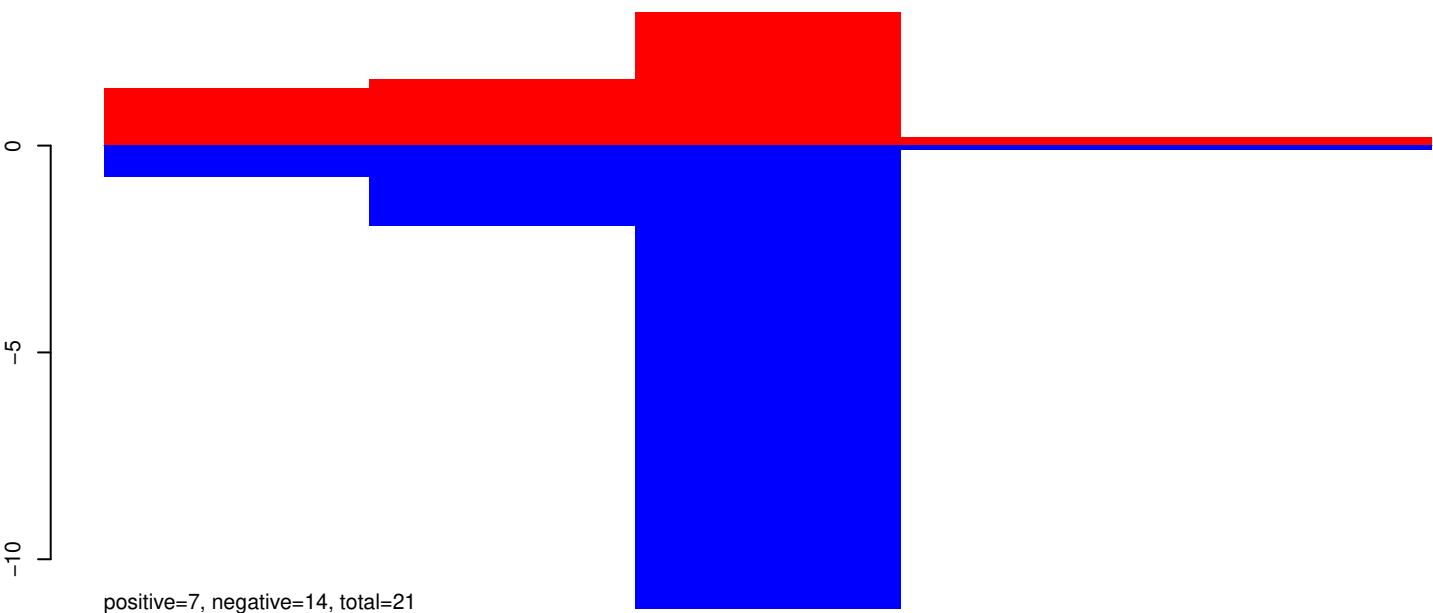
AeAeg_Aag2_Ago3_SINV_RA.24_35.rep



AeAeg_Aag2_Ago3_SINV_RA.rep



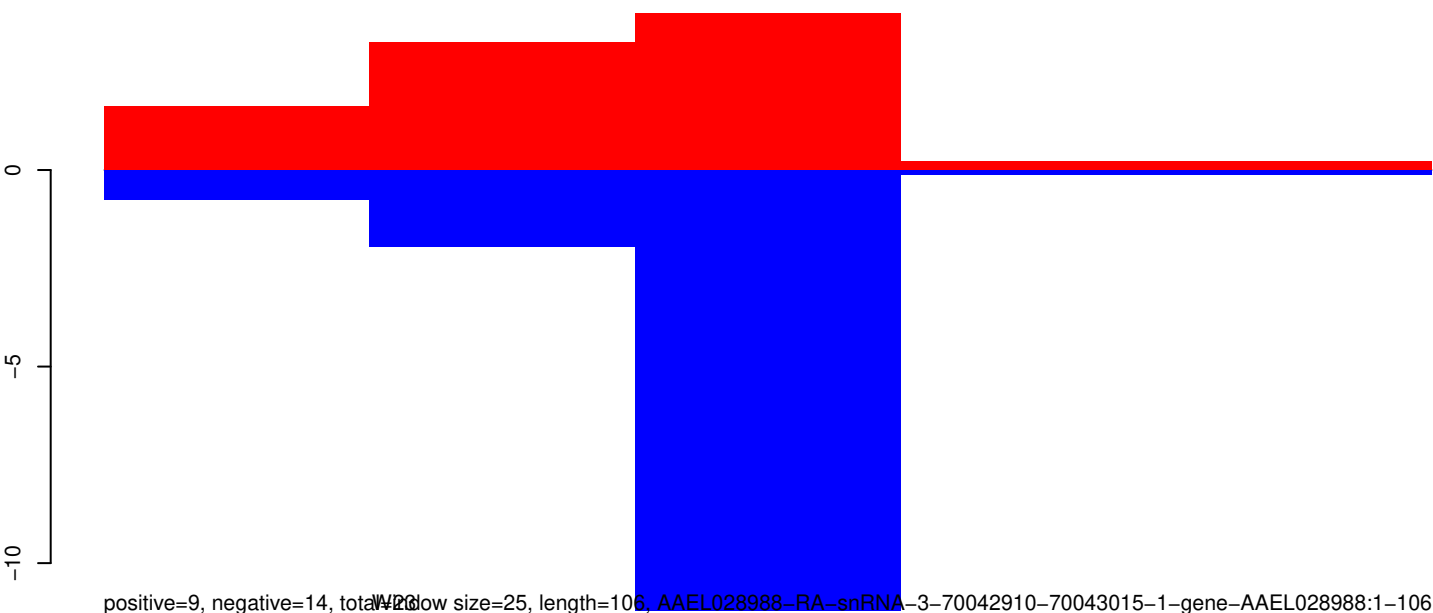
AeAeg_Aag2_Ago3_SINV_RA.18_23.rep



AeAeg_Aag2_Ago3_SINV_RA.24_35.rep



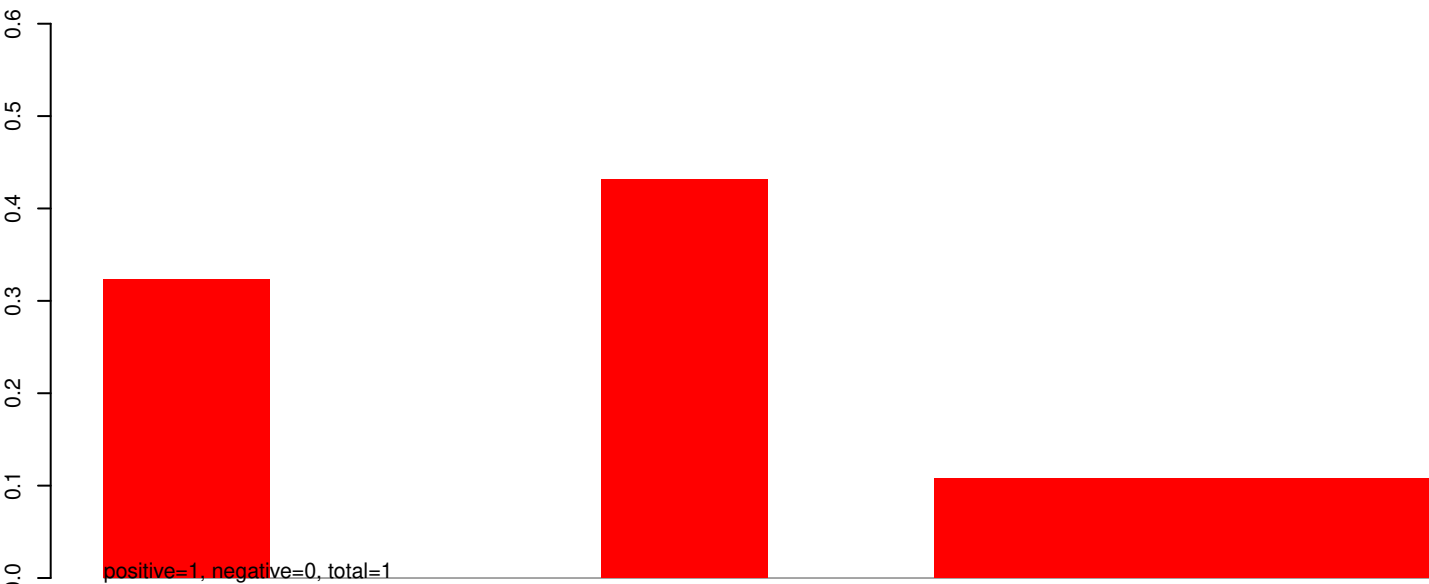
AeAeg_Aag2_Ago3_SINV_RA.rep



Window size=25, length=106, AAEL028988-RA-siRNA-3-70042910-70043015-1-gene-AAEL028988:1-106

40 60 80 100 120 140

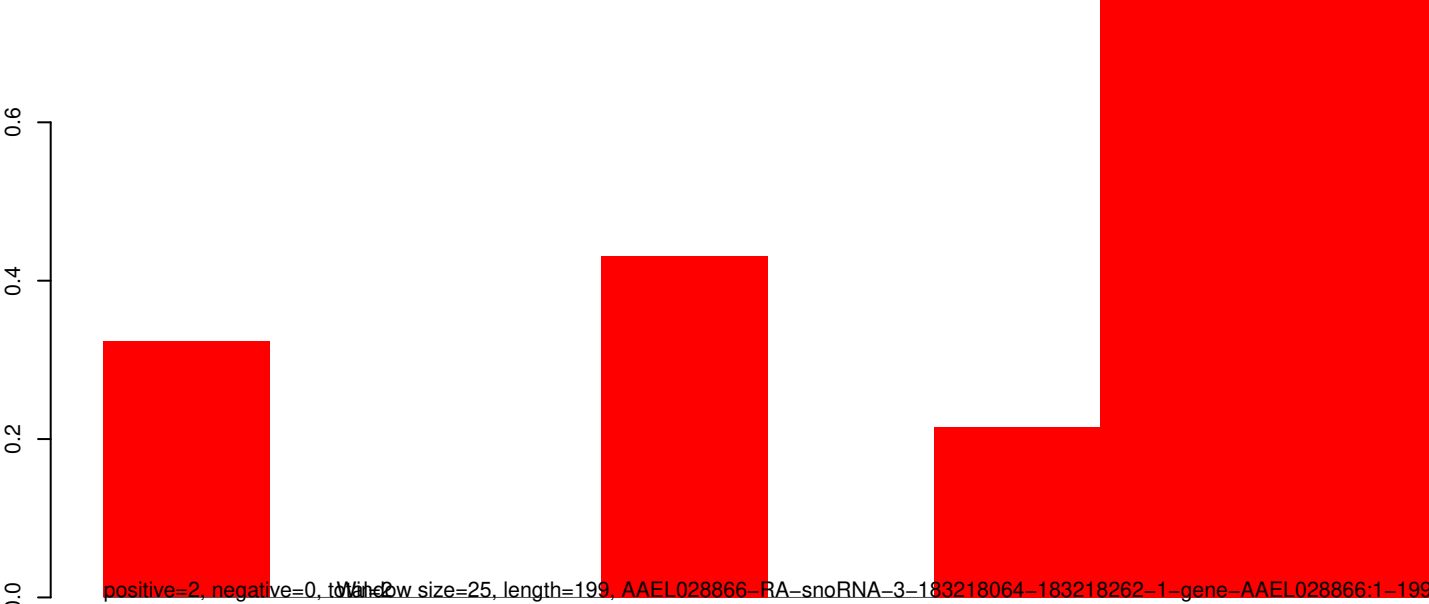
AeAeg_Aag2_Ago3_SINV_RA.18_23.rep



AeAeg_Aag2_Ago3_SINV_RA.24_35.rep



AeAeg_Aag2_Ago3_SINV_RA.rep



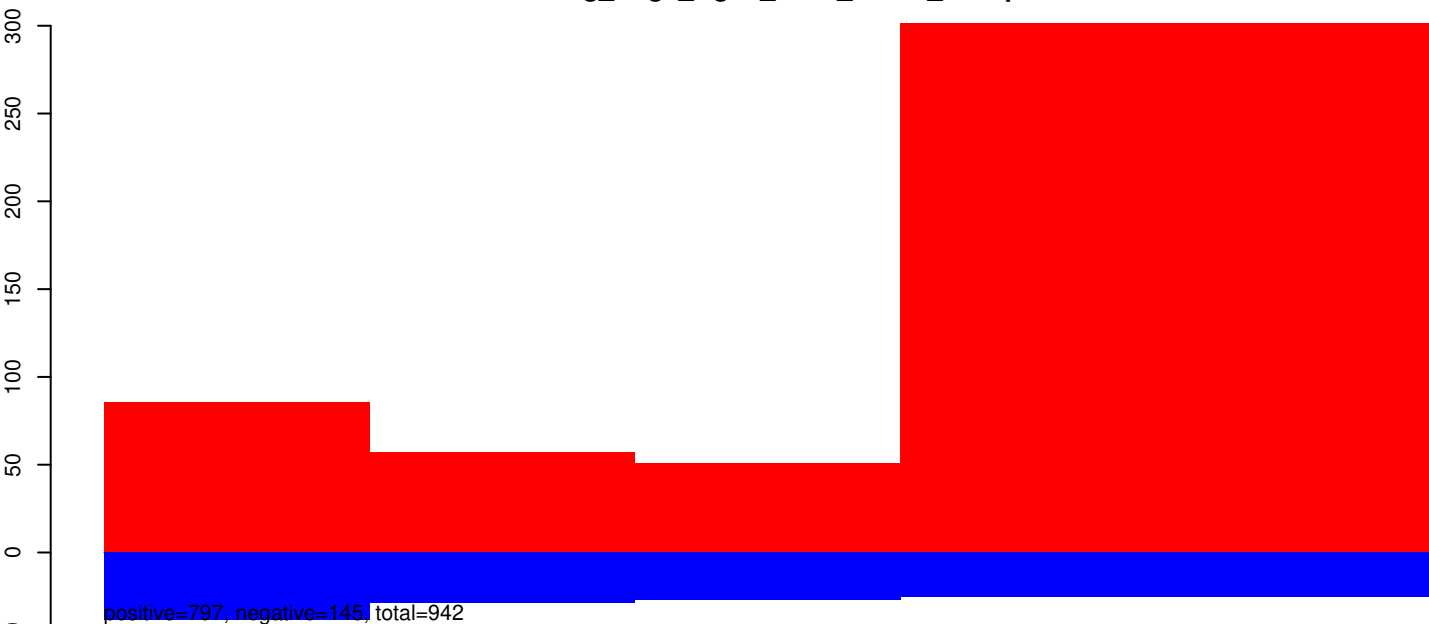
50

100

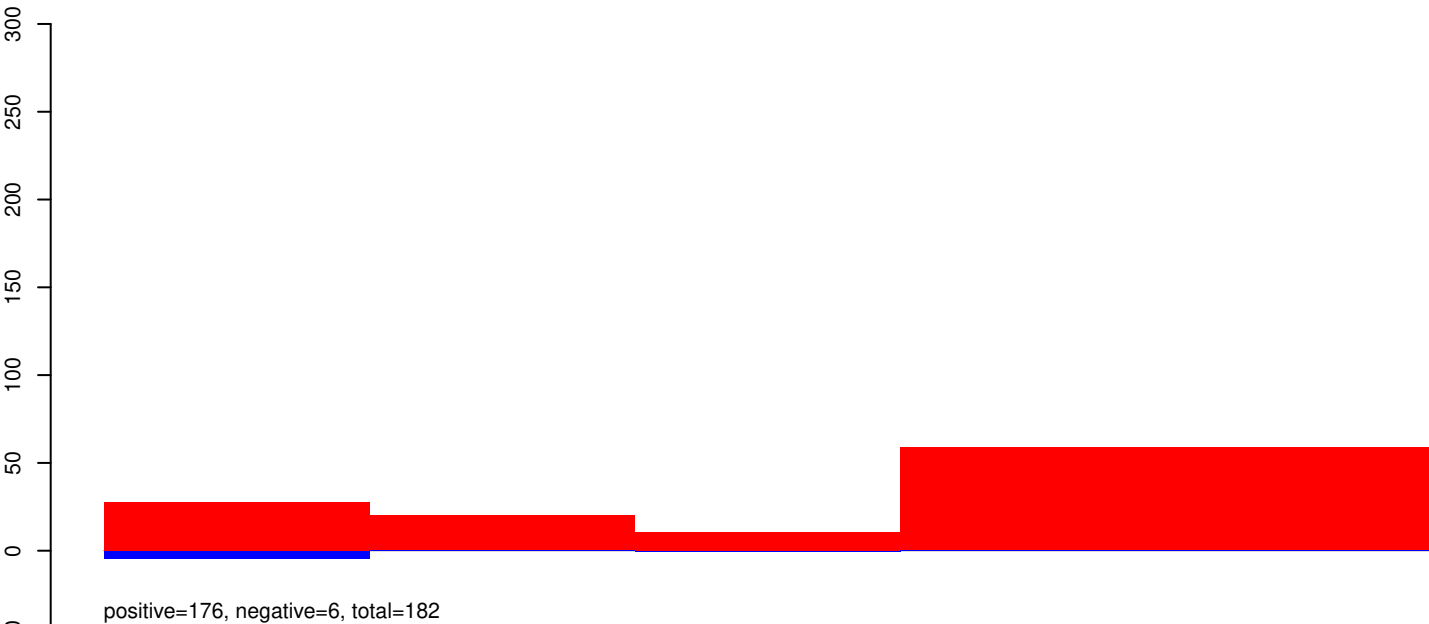
150

200

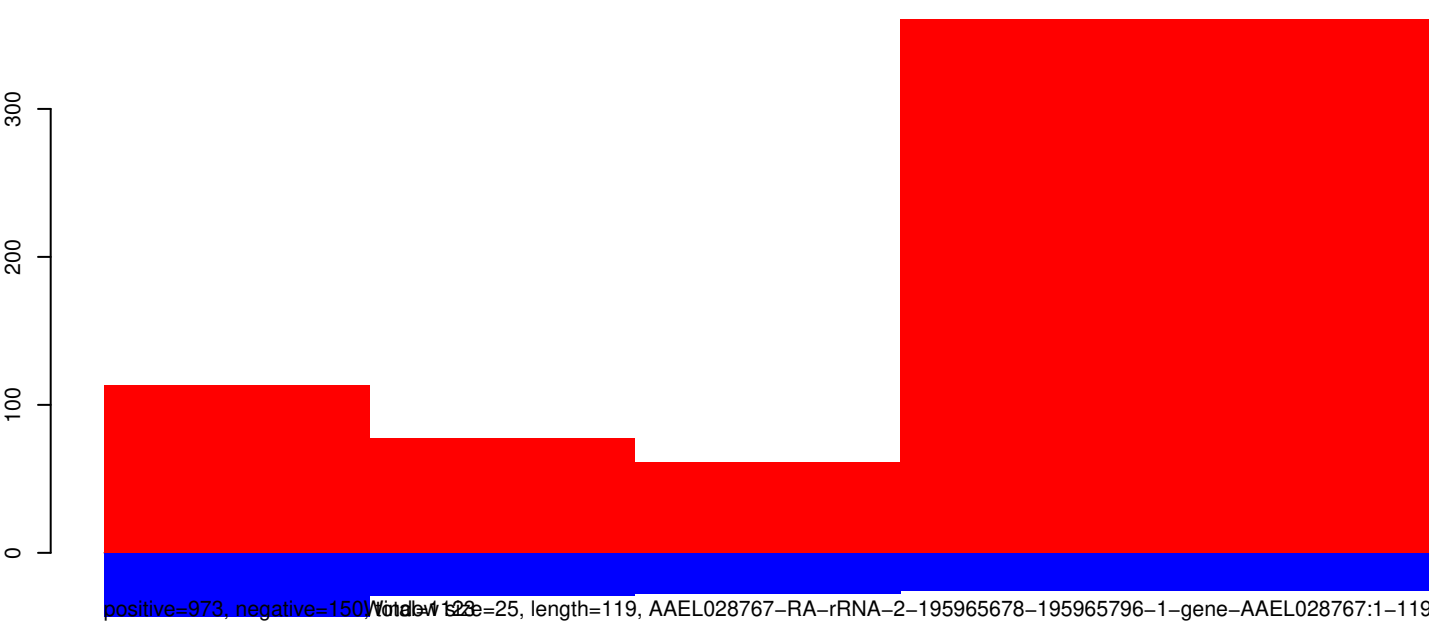
AeAeg_Aag2_Ago3_SINV_RA.18_23.rep



AeAeg_Aag2_Ago3_SINV_RA.24_35.rep

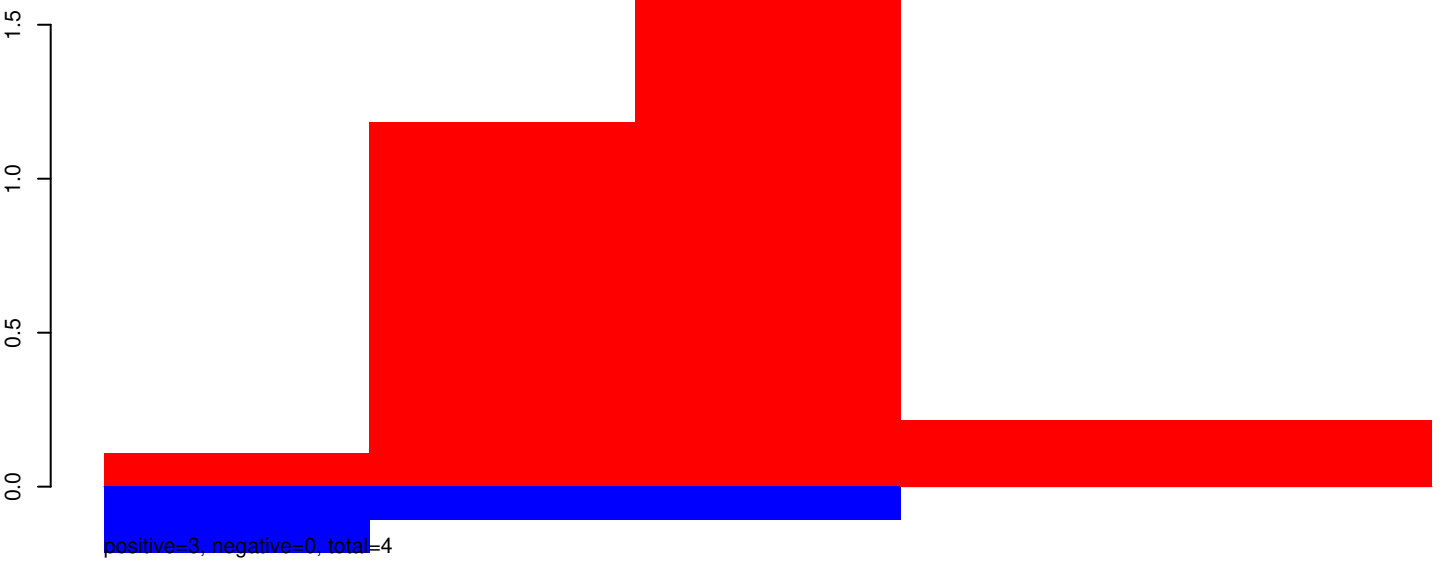


AeAeg_Aag2_Ago3_SINV_RA.rep

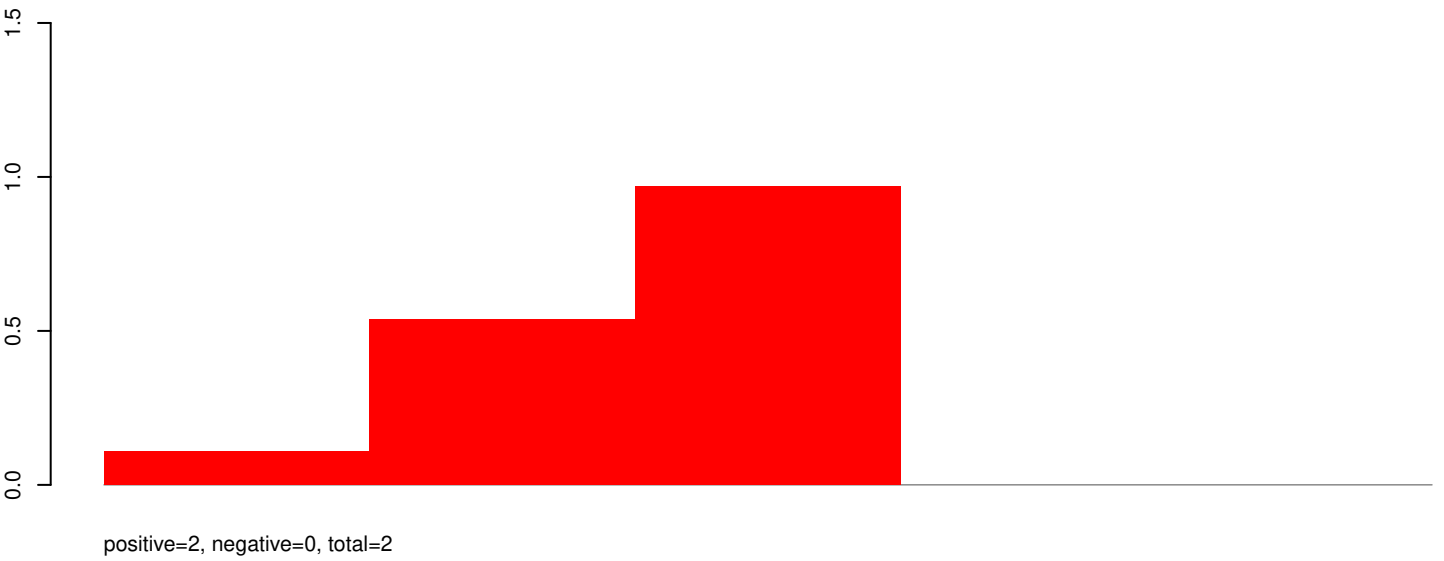


Window size=25, length=119, AAEL028767-RA-rRNA-2-195965678-195965796-1-gene-AAEL028767:1-119

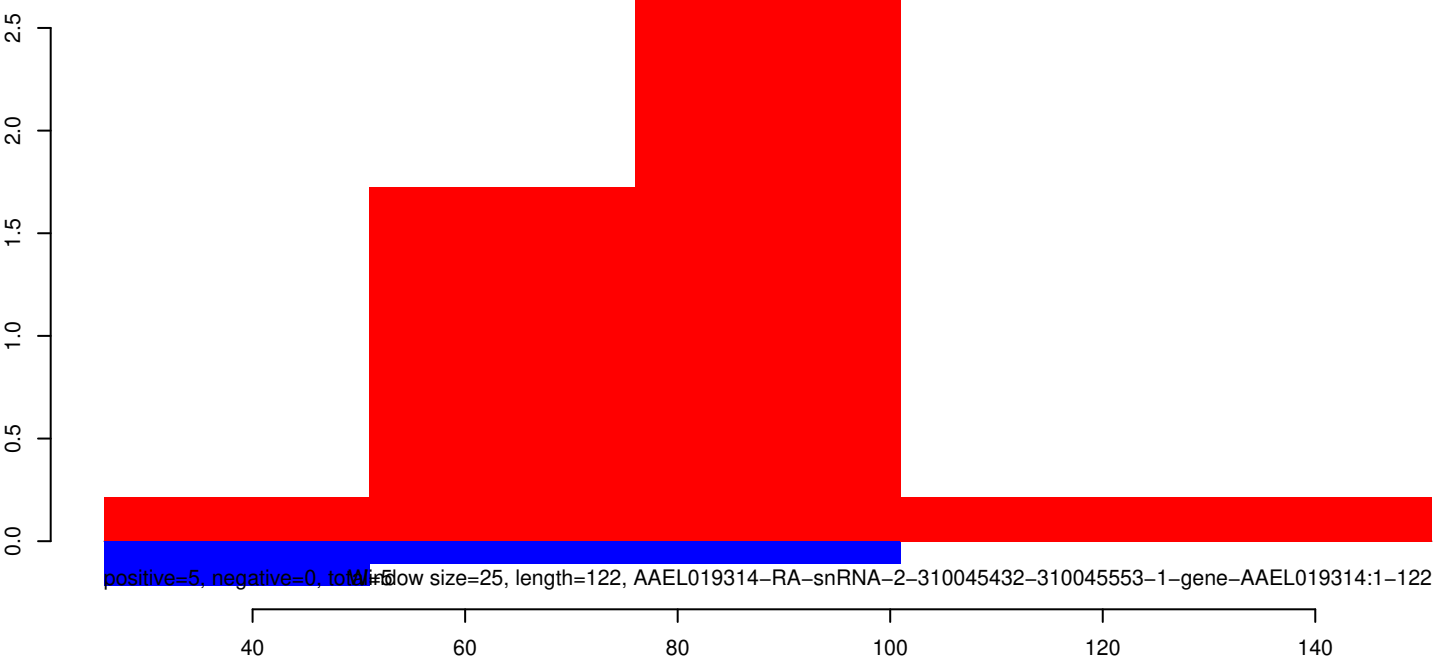
AeAeg_Aag2_Ago3_SINV_RA.18_23.rep



AeAeg_Aag2_Ago3_SINV_RA.24_35.rep



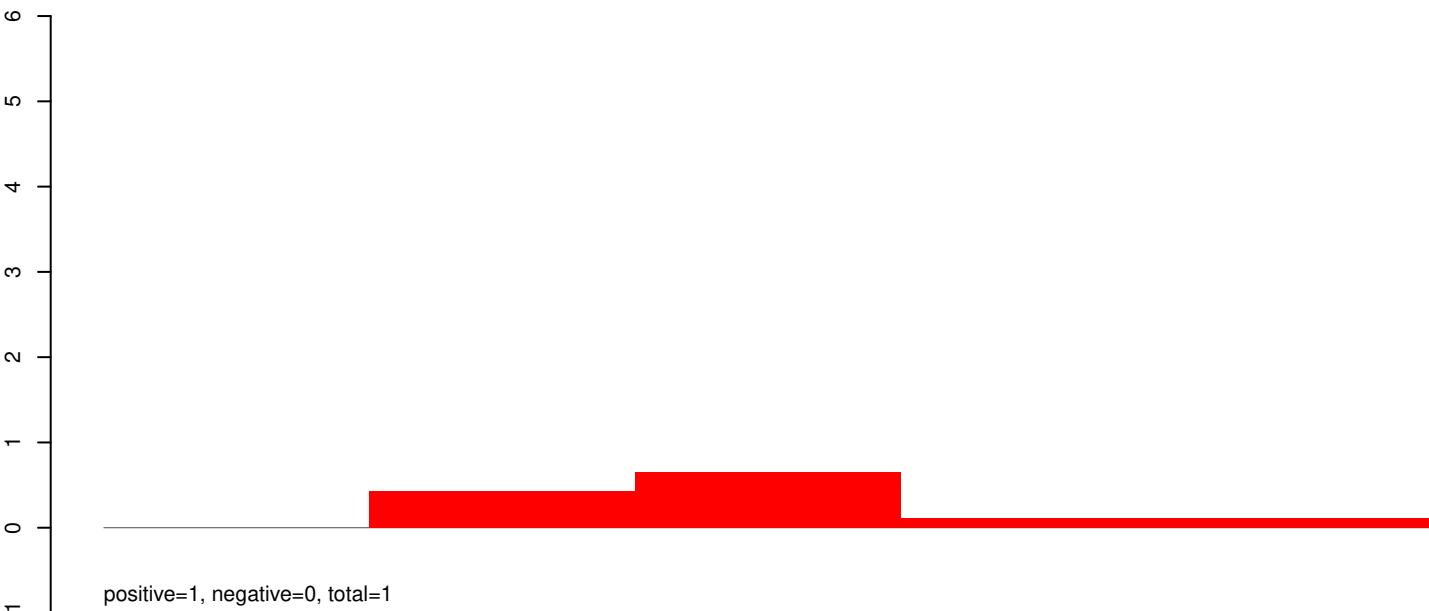
AeAeg_Aag2_Ago3_SINV_RA.rep



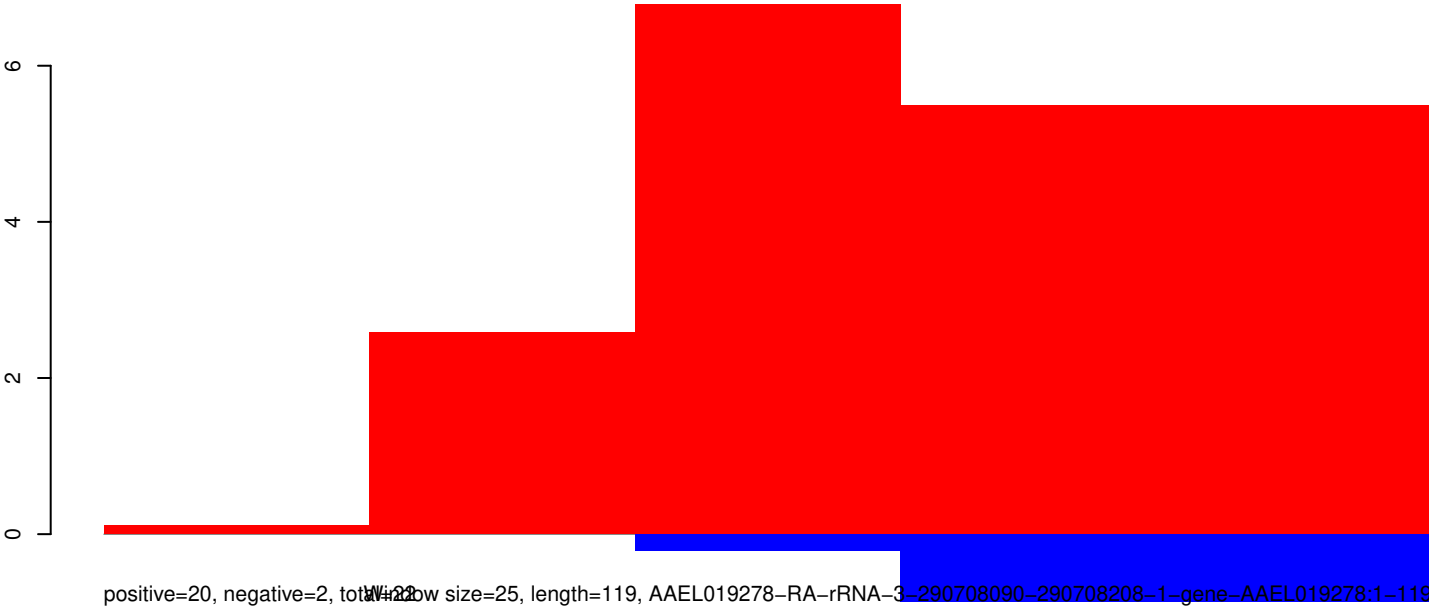
AeAeg_Aag2_Ago3_SINV_RA.18_23.rep



AeAeg_Aag2_Ago3_SINV_RA.24_35.rep

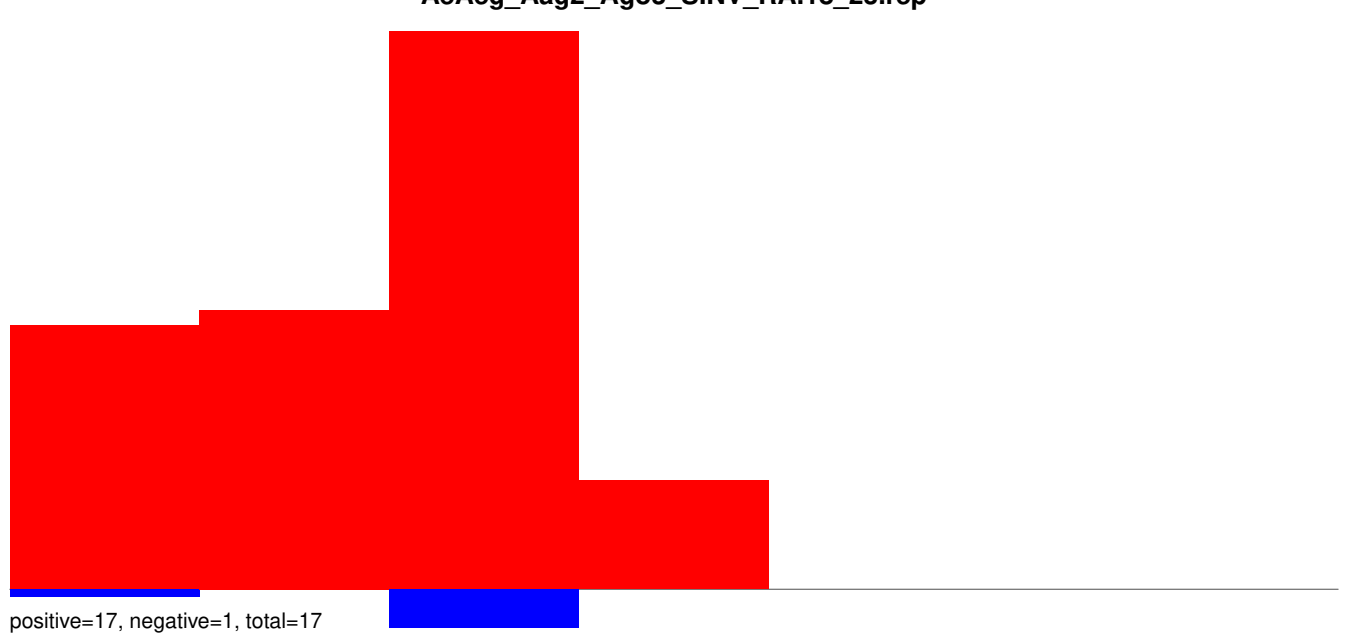


AeAeg_Aag2_Ago3_SINV_RA.rep

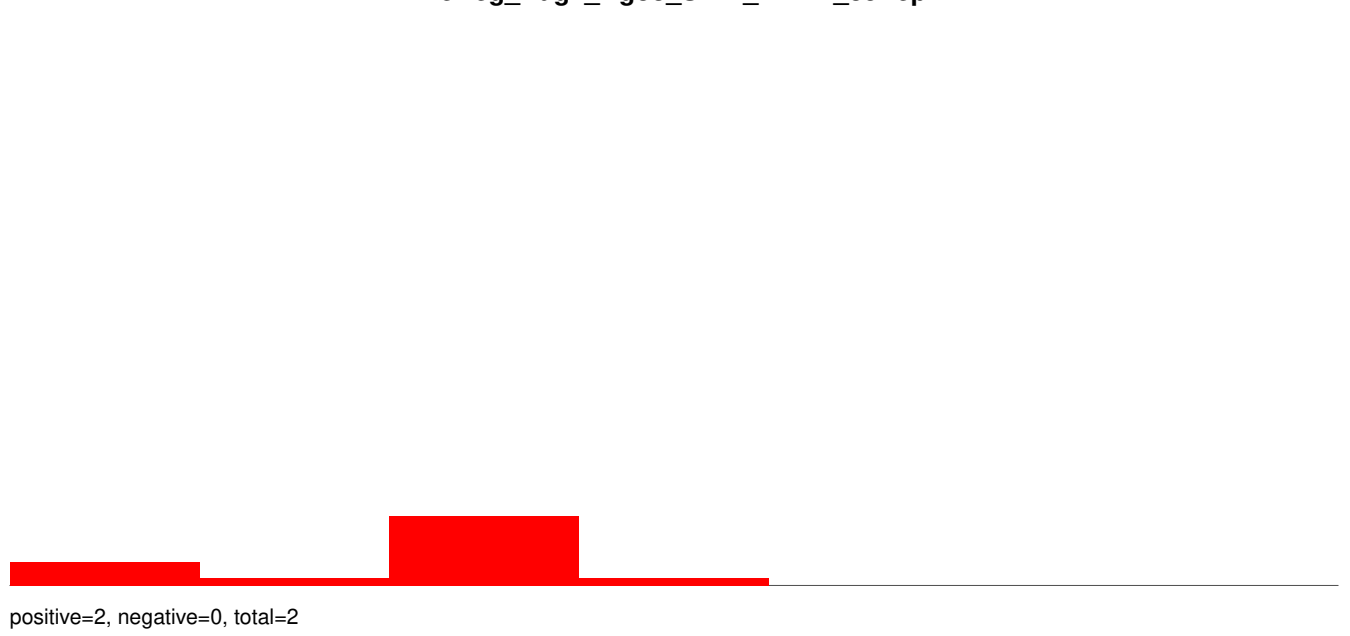


Window size=25, length=119, AAEL019278-RA-rRNA-3-290708090-290708208-1-gene-AAEL019278:1-119

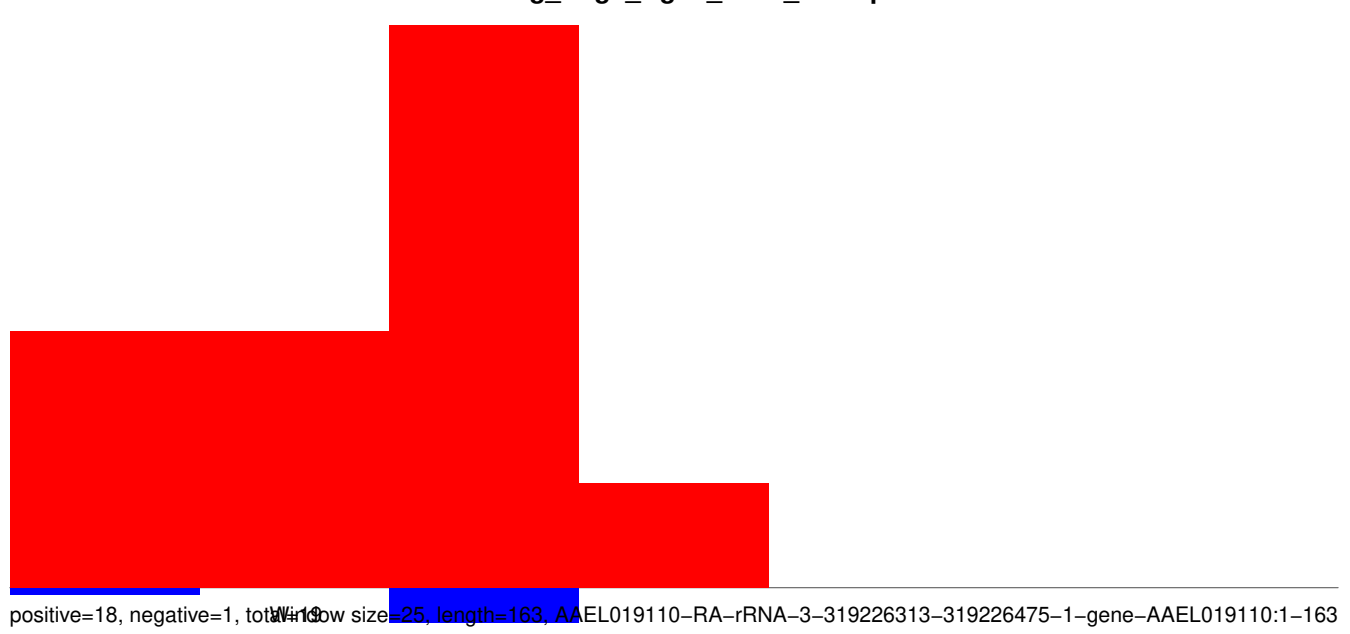
AeAeg_Aag2_Ago3_SINV_RA.18_23.rep



AeAeg_Aag2_Ago3_SINV_RA.24_35.rep

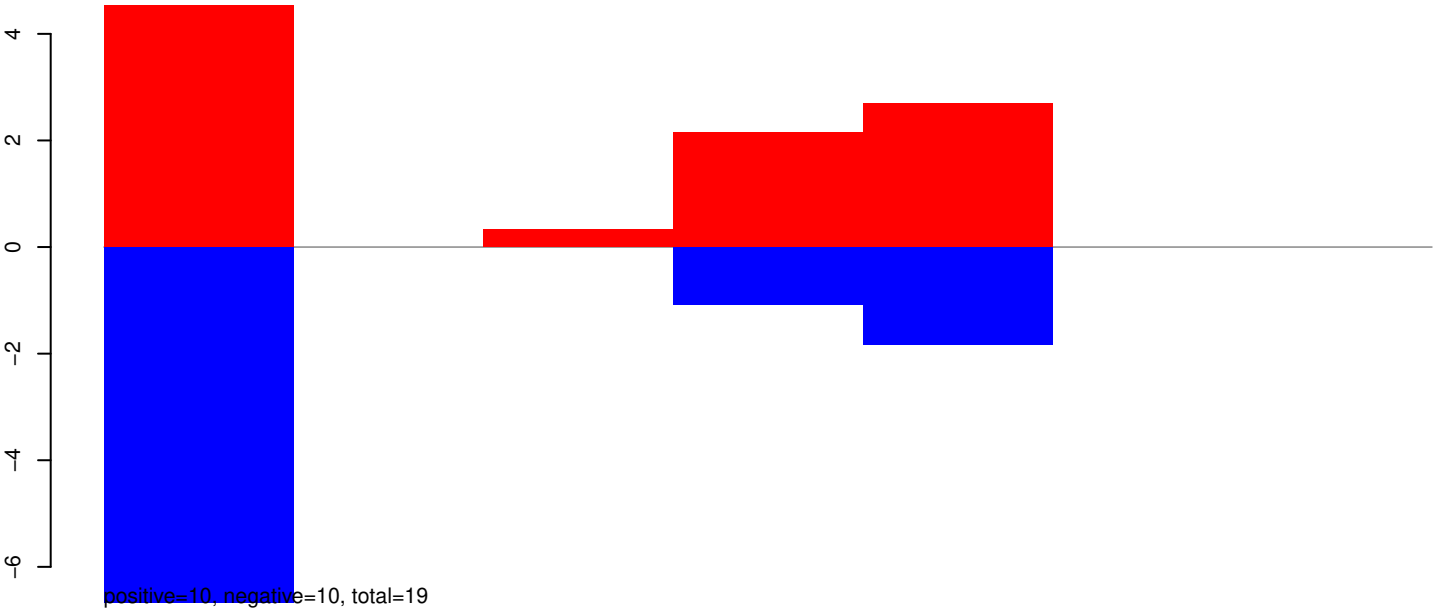


AeAeg_Aag2_Ago3_SINV_RA.rep

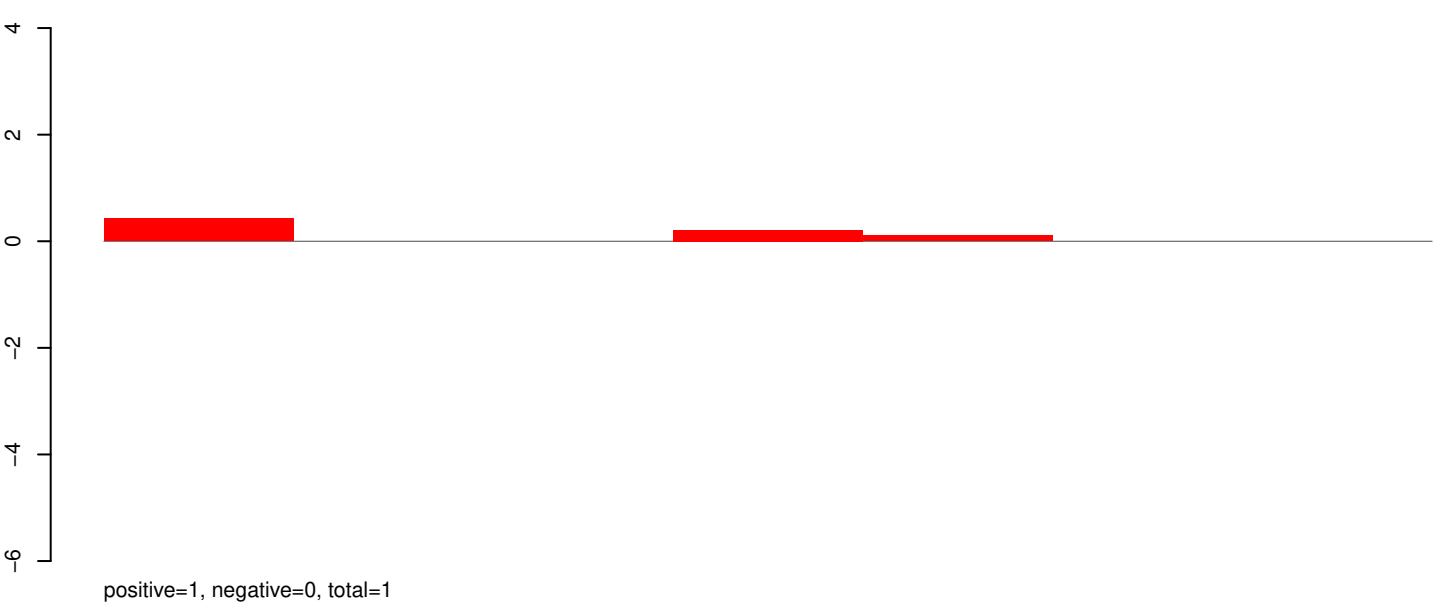


Window size=25, length=163, AAEL019110-RA-rRNA-3-319226313-319226475-1-gene-AAEL019110:1-163

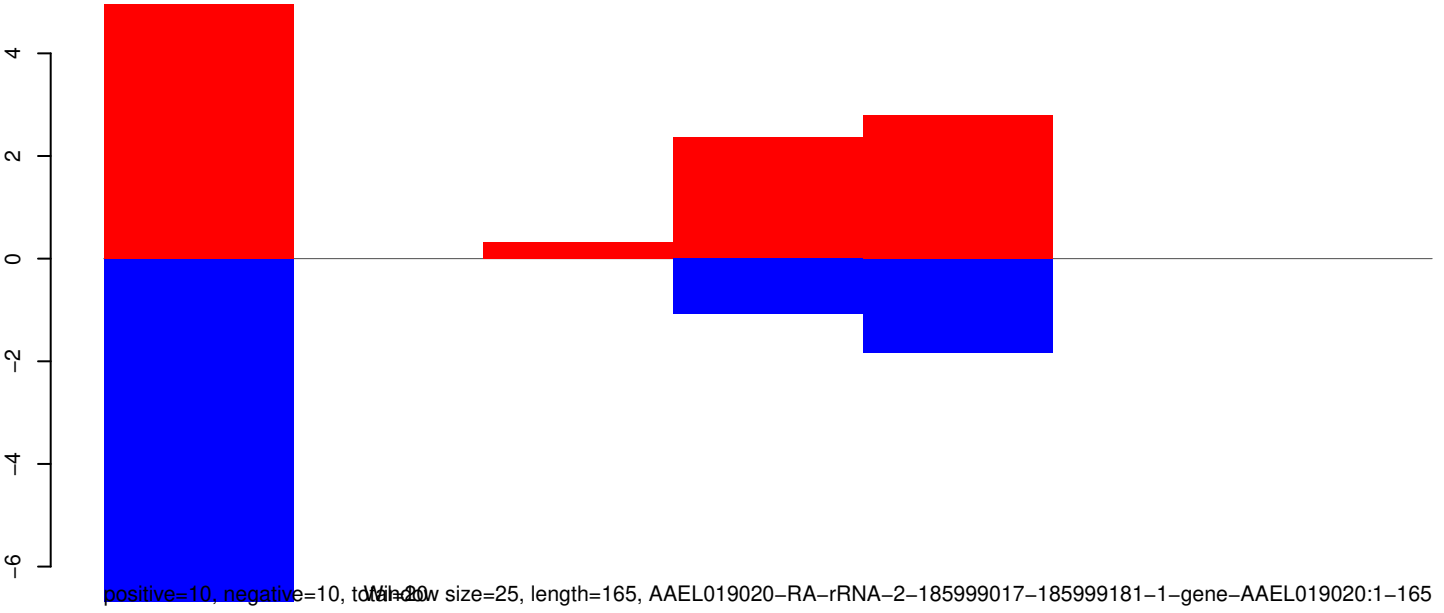
AeAeg_Aag2_Ago3_SINV_RA.18_23.rep



AeAeg_Aag2_Ago3_SINV_RA.24_35.rep

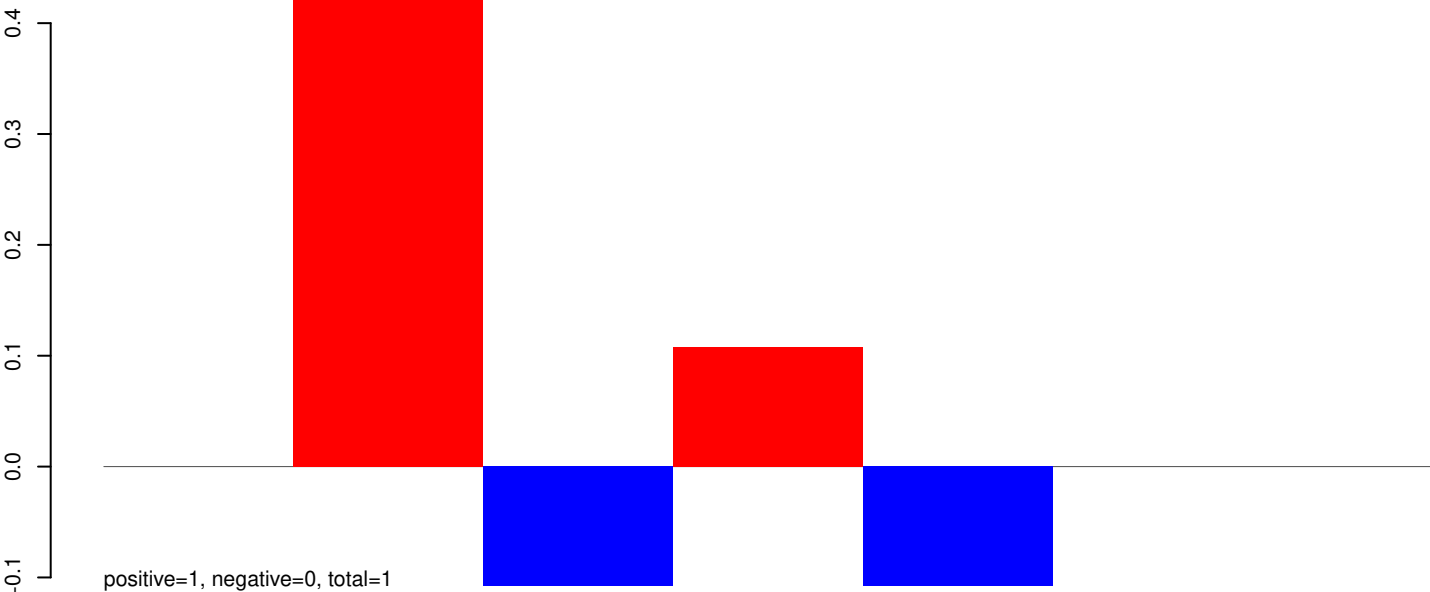


AeAeg_Aag2_Ago3_SINV_RA.rep

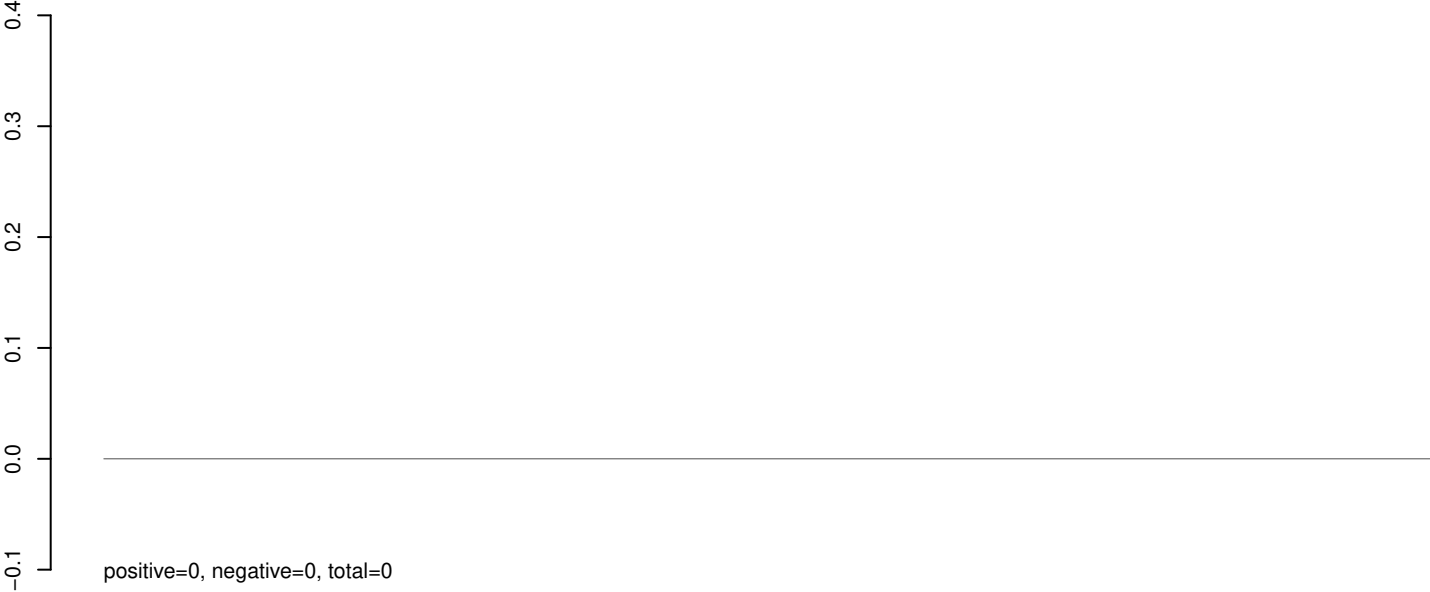


Window size=25, length=165, AAEL019020-RA-rRNA-2-185999017-185999181-1-gene-AAEL019020:1-165

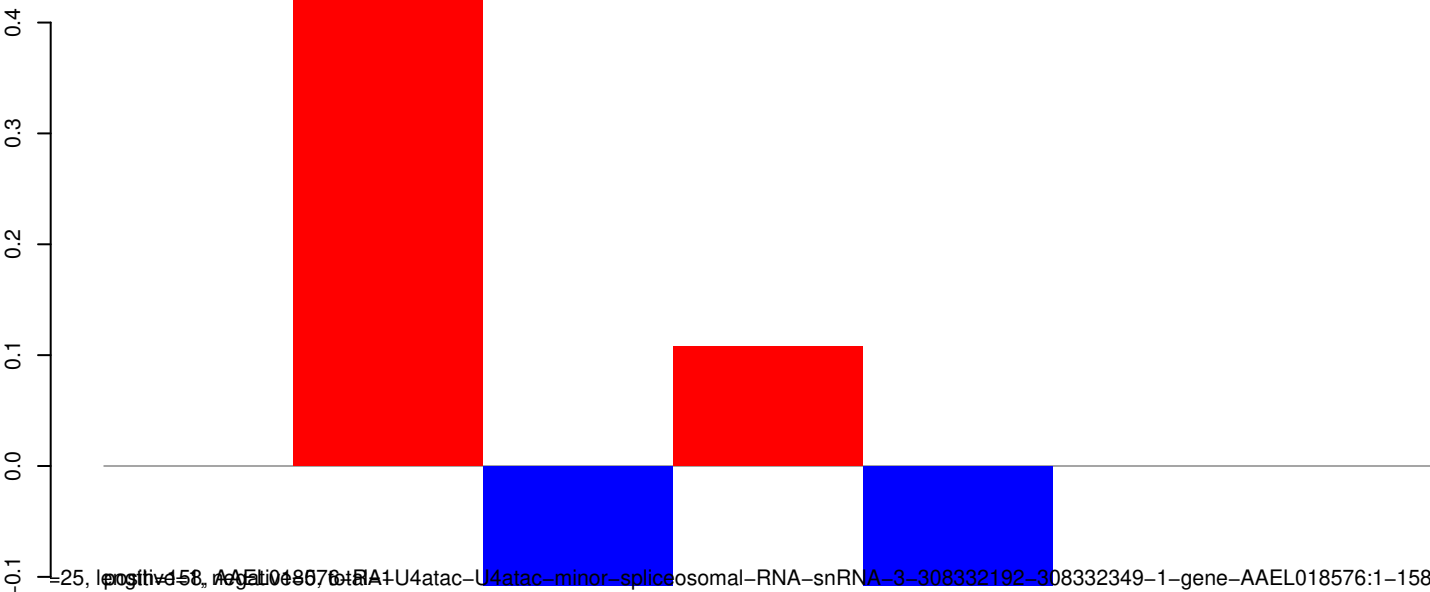
AeAeg_Aag2_Ago3_SINV_RA.18_23.rep



AeAeg_Aag2_Ago3_SINV_RA.24_35.rep



AeAeg_Aag2_Ago3_SINV_RA.rep



-25, positive=58, negative=10, total=68, AeAeg_Aag2_Ago3_SINV_RA.18_23.rep, AeAeg_Aag2_Ago3_SINV_RA.24_35.rep, AeAeg_Aag2_Ago3_SINV_RA.rep, U4atac-U4atac-minor-spliceosomal-RNA-snrRNA-3-308332192-308332349-1-gene-AAEL018576:1-158

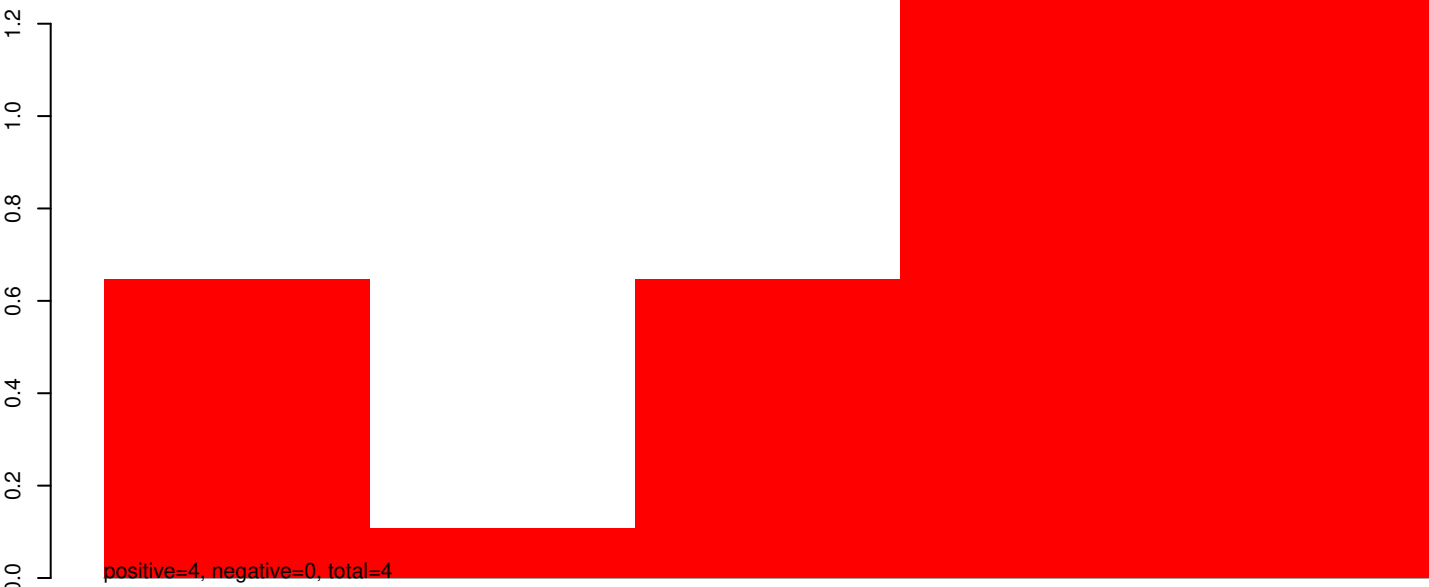
50

100

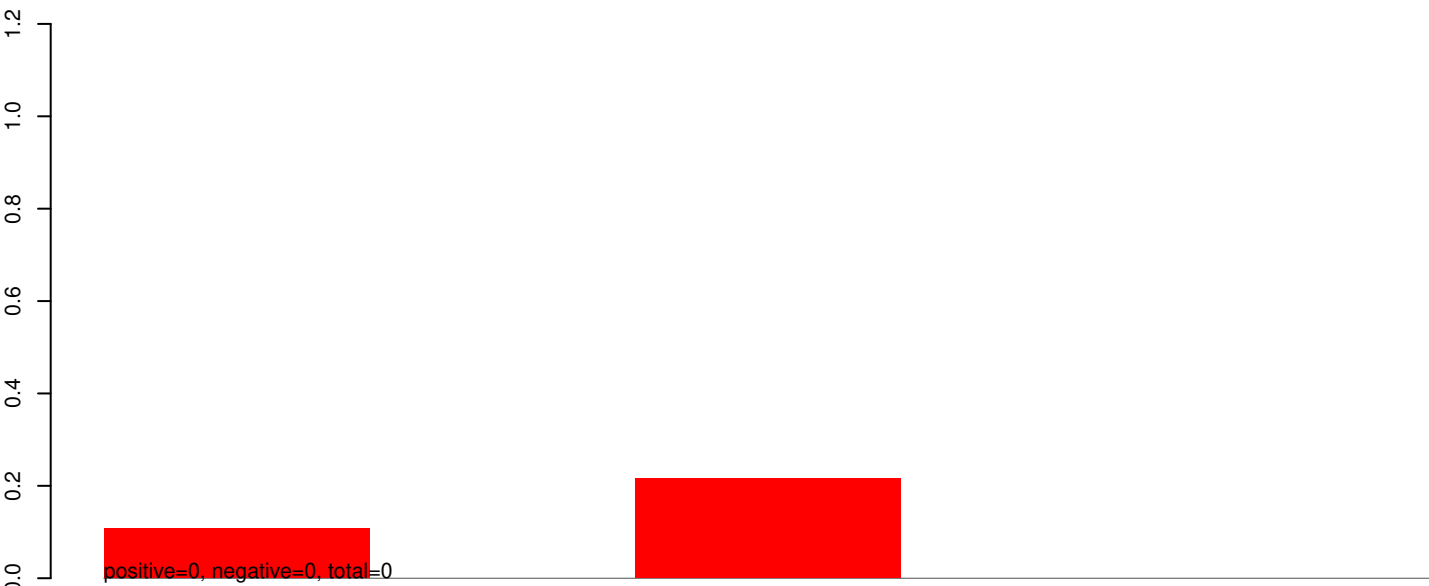
150

200

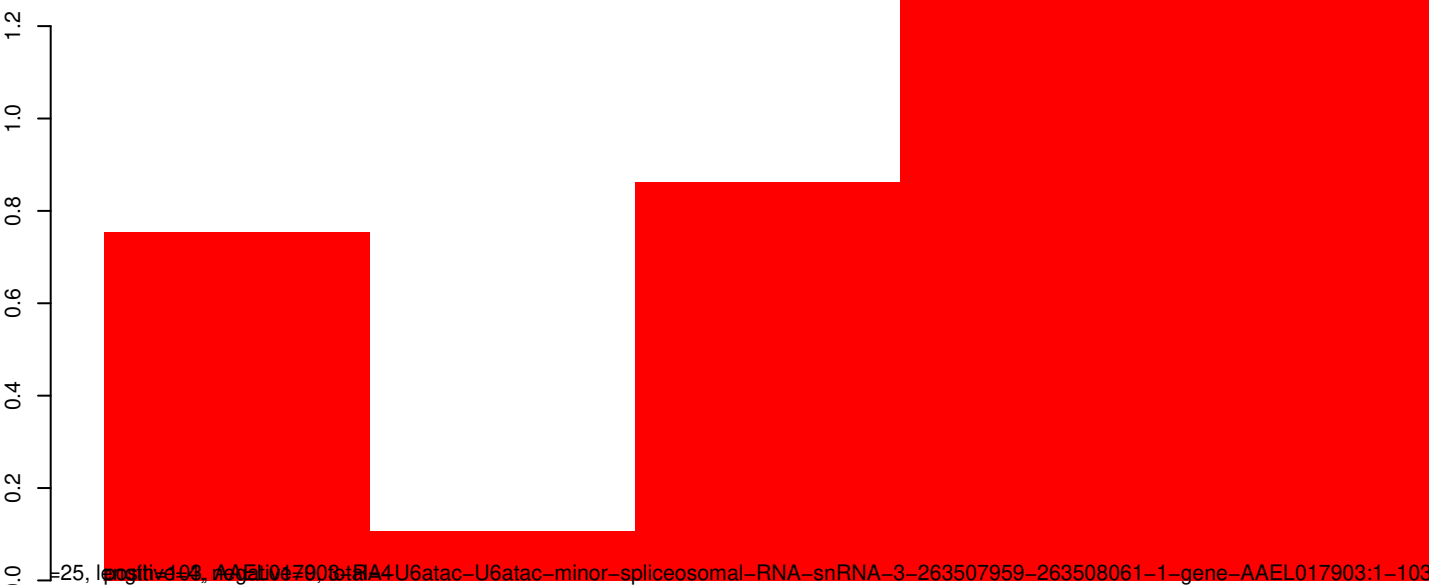
AeAeg_Aag2_Ago3_SINV_RA.18_23.rep



AeAeg_Aag2_Ago3_SINV_RA.24_35.rep

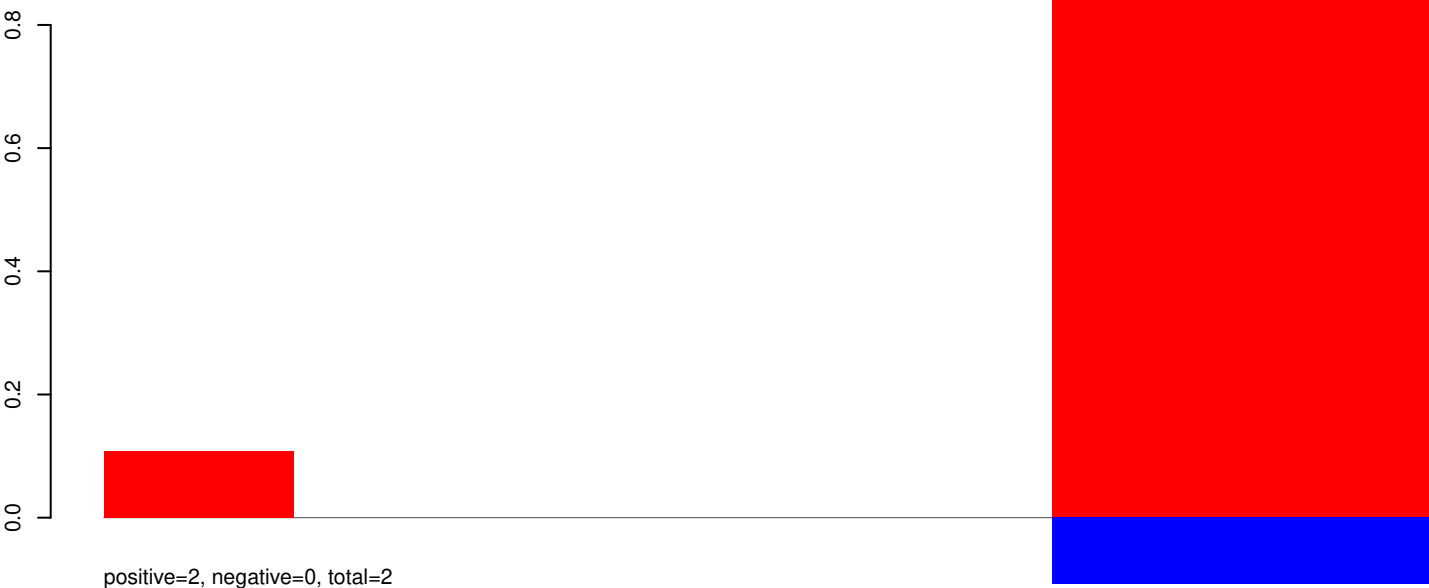


AeAeg_Aag2_Ago3_SINV_RA.rep

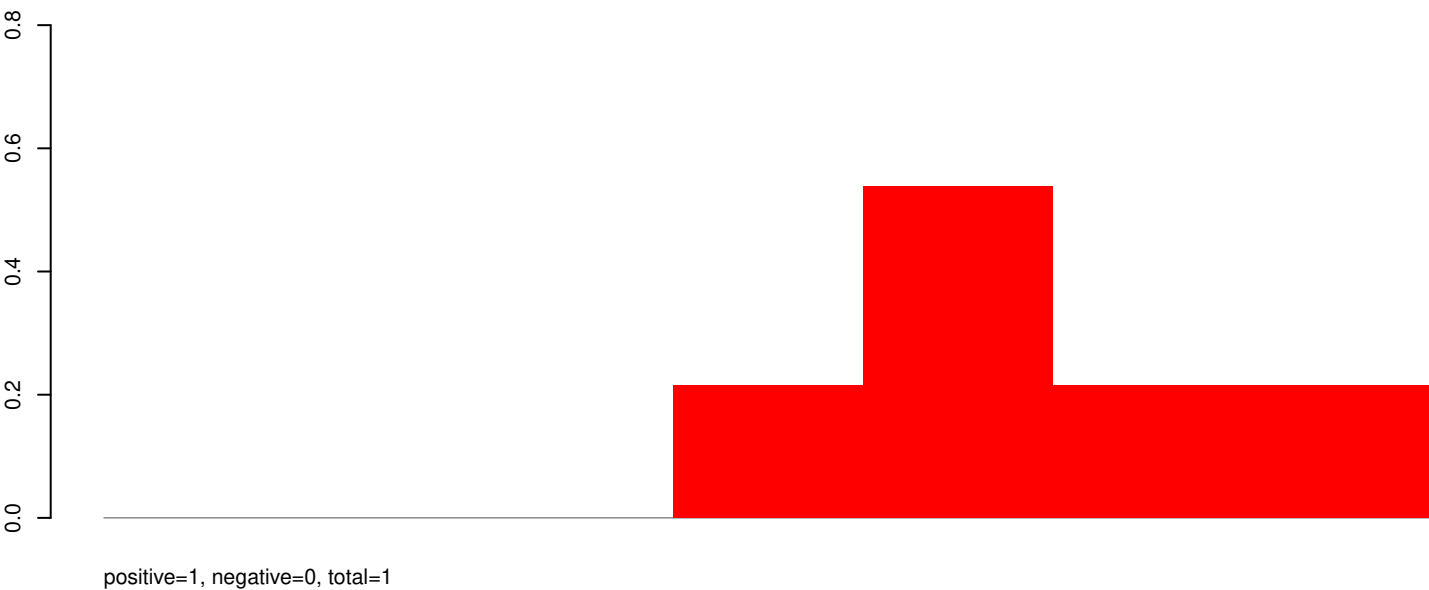


-25, length=93, ref=1047906:RA4U6atac-U6atac-minor-spliceosomal-RNA-snRNA-3-263507959-263508061-1-gene-AAEL017903:1-103

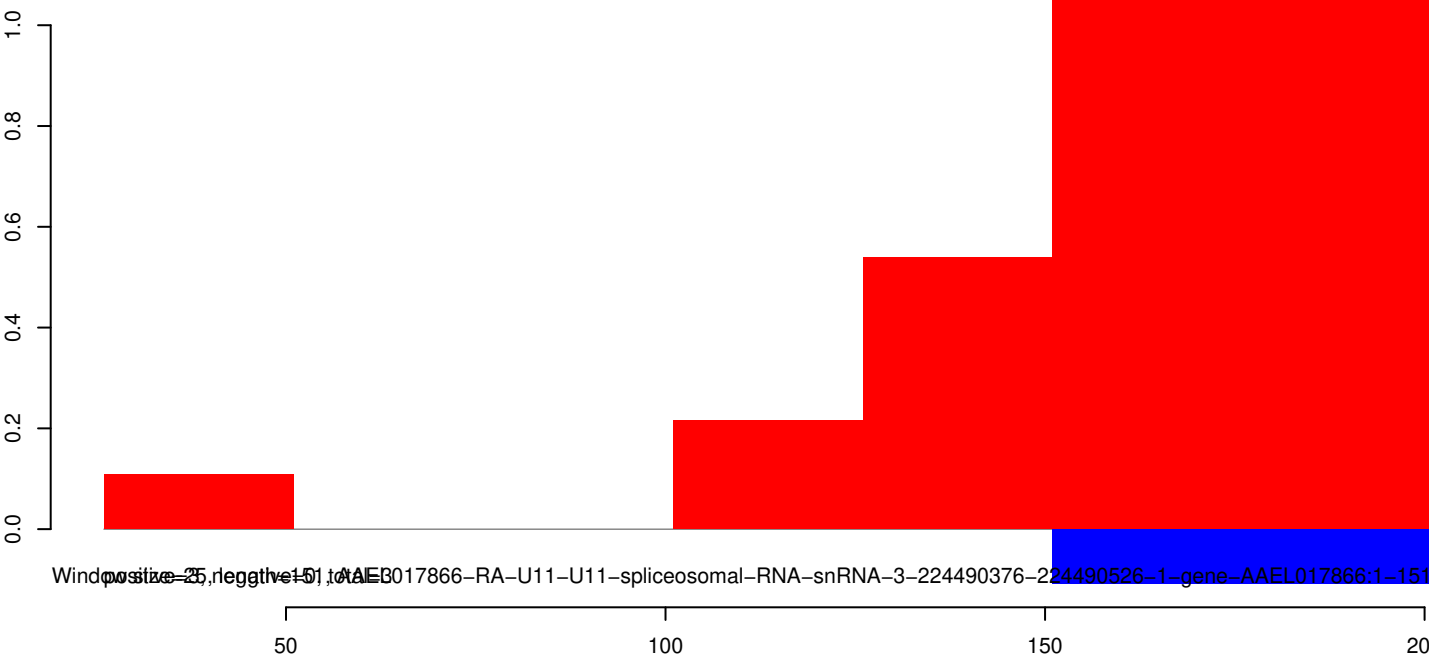
AeAeg_Aag2_Ago3_SINV_RA.18_23.rep



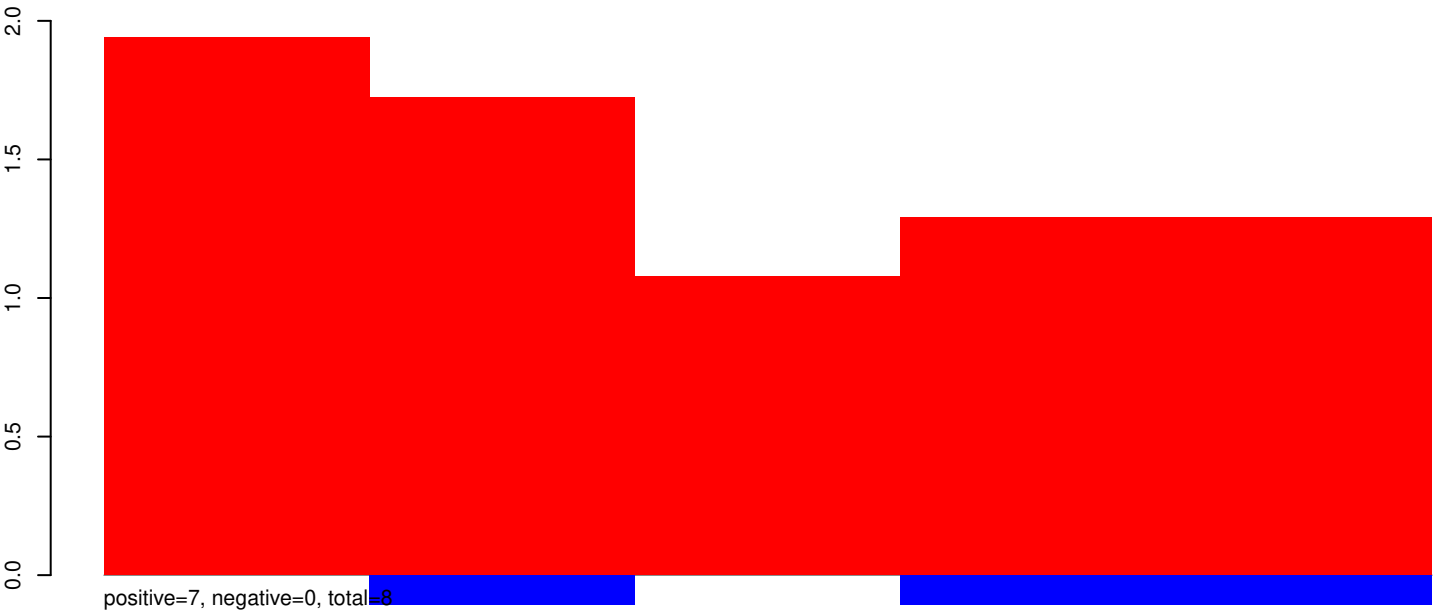
AeAeg_Aag2_Ago3_SINV_RA.24_35.rep



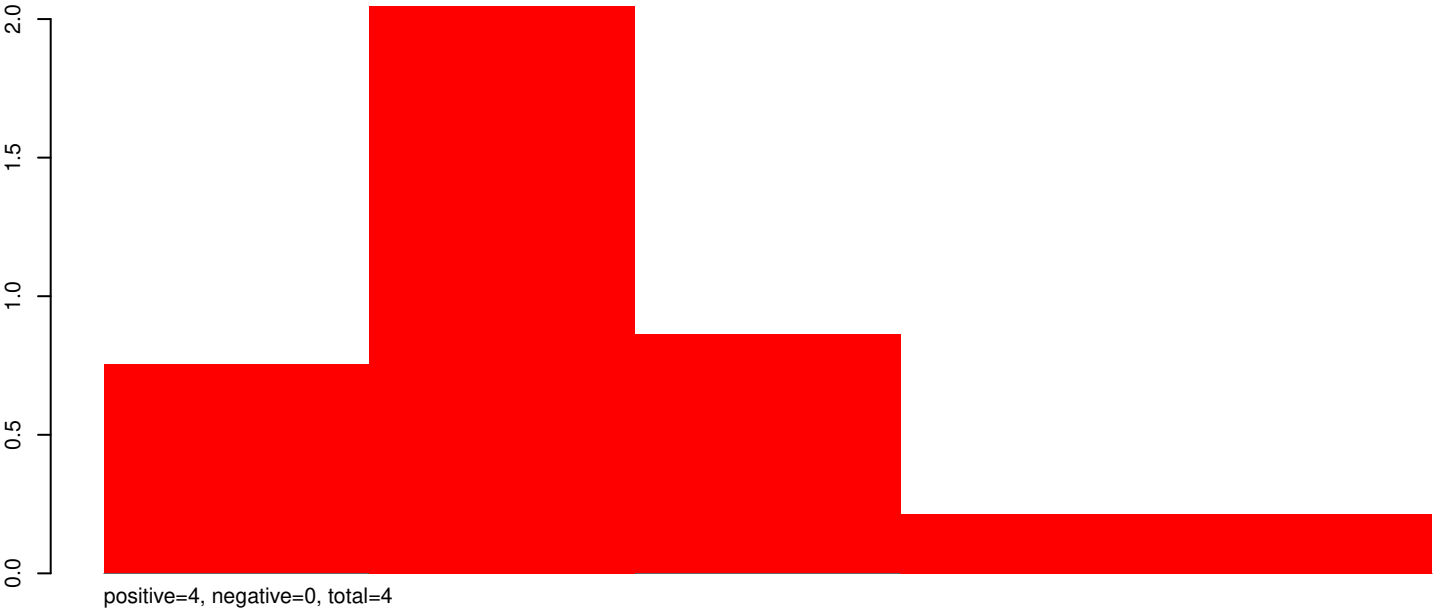
AeAeg_Aag2_Ago3_SINV_RA.rep



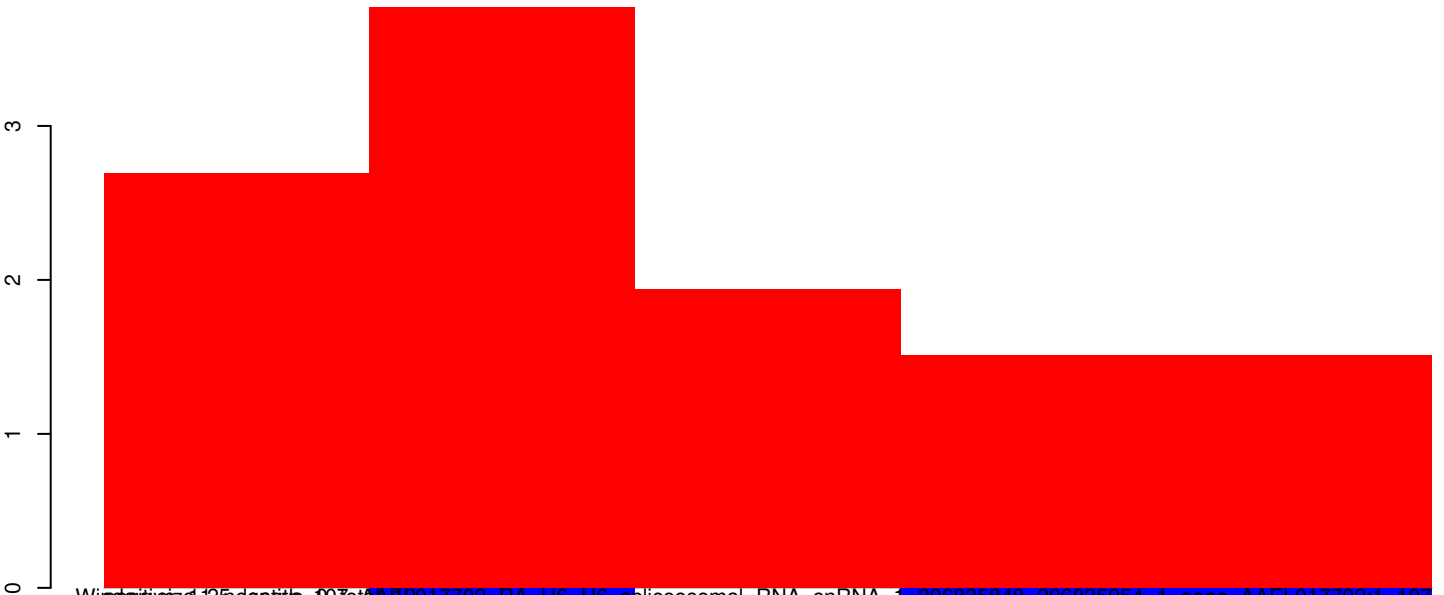
AeAeg_Aag2_Ago3_SINV_RA.18_23.rep



AeAeg_Aag2_Ago3_SINV_RA.24_35.rep

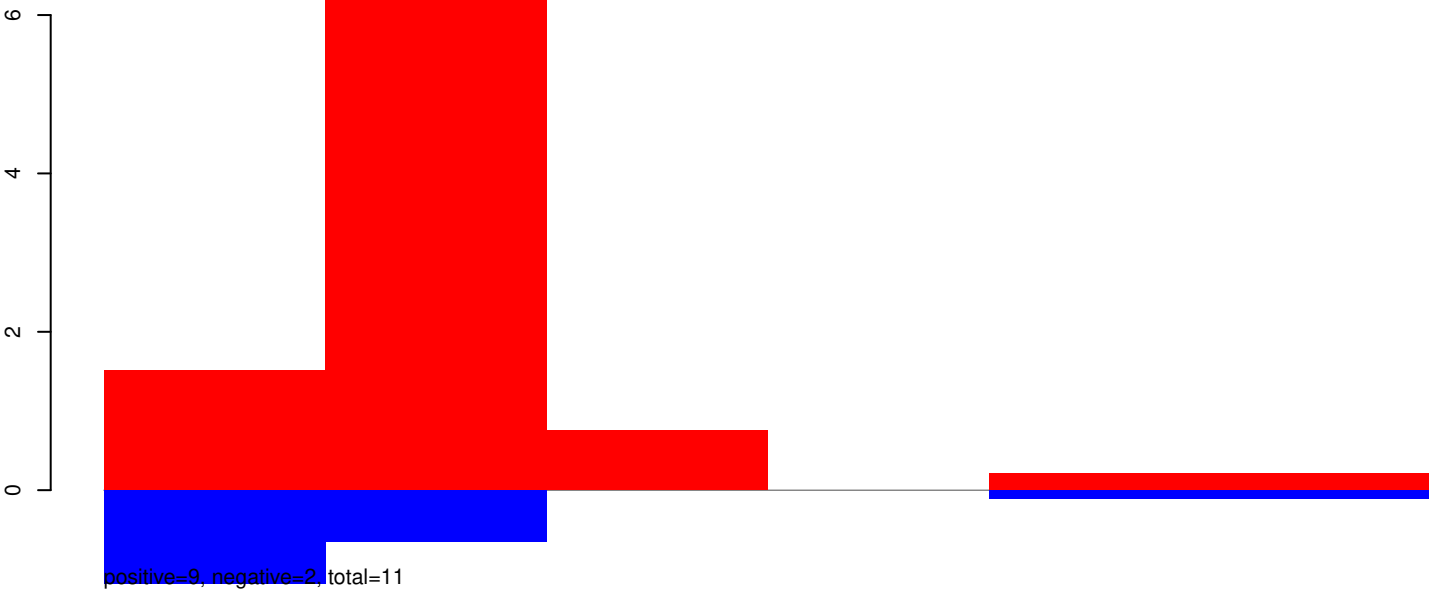


AeAeg_Aag2_Ago3_SINV_RA.rep

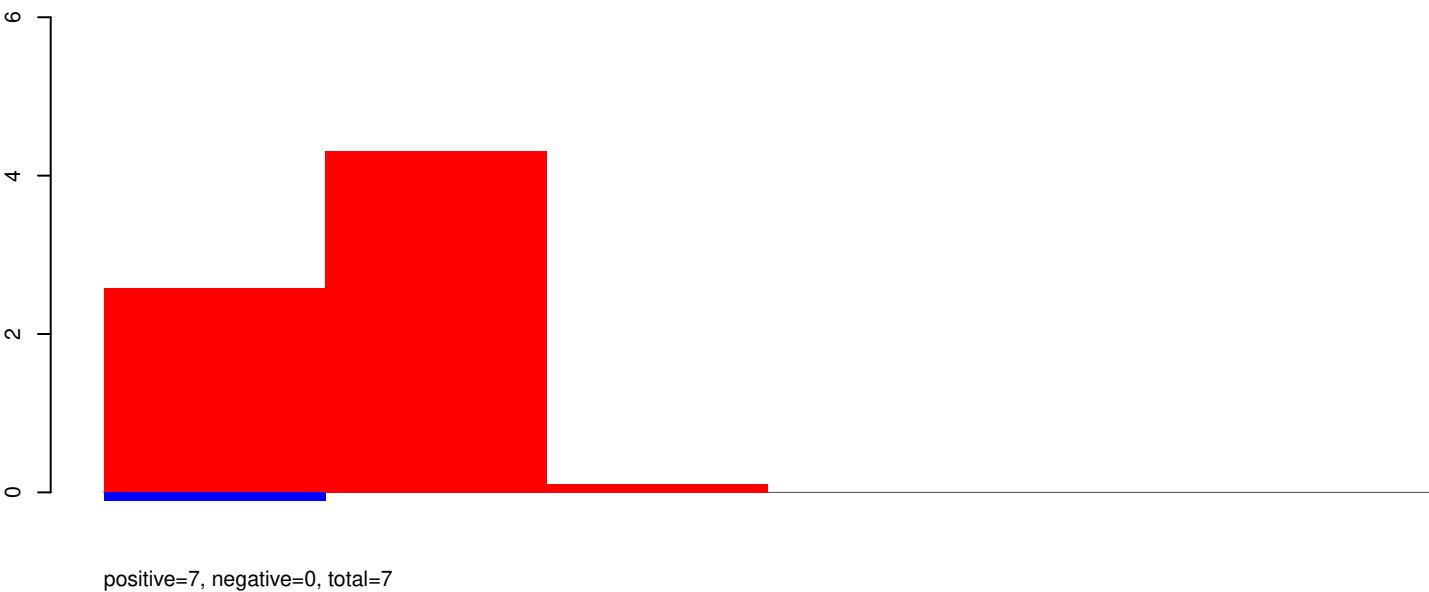


Winnipeg, Canada. 2017. <https://www.ncbi.nlm.nih.gov/Traces/trace/showFASTA?acc=AAEL017702.1-107>

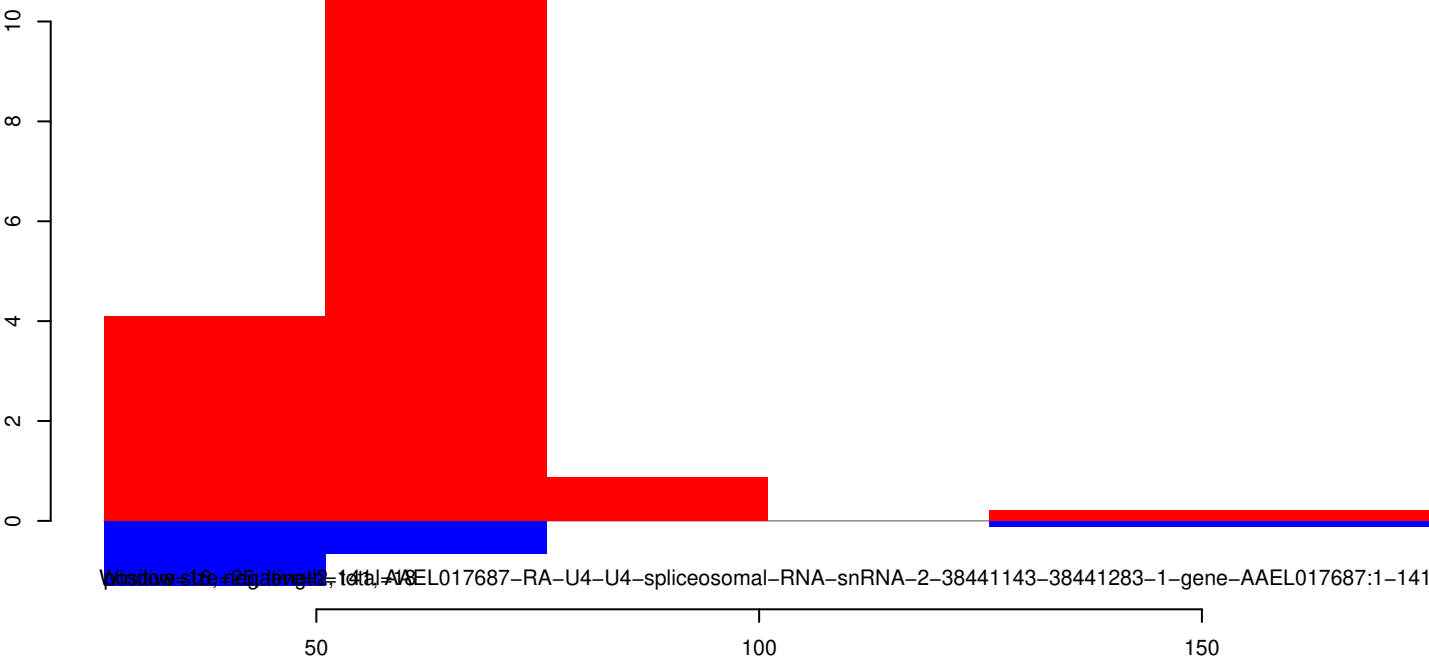
AeAeg_Aag2_Ago3_SINV_RA.18_23.rep



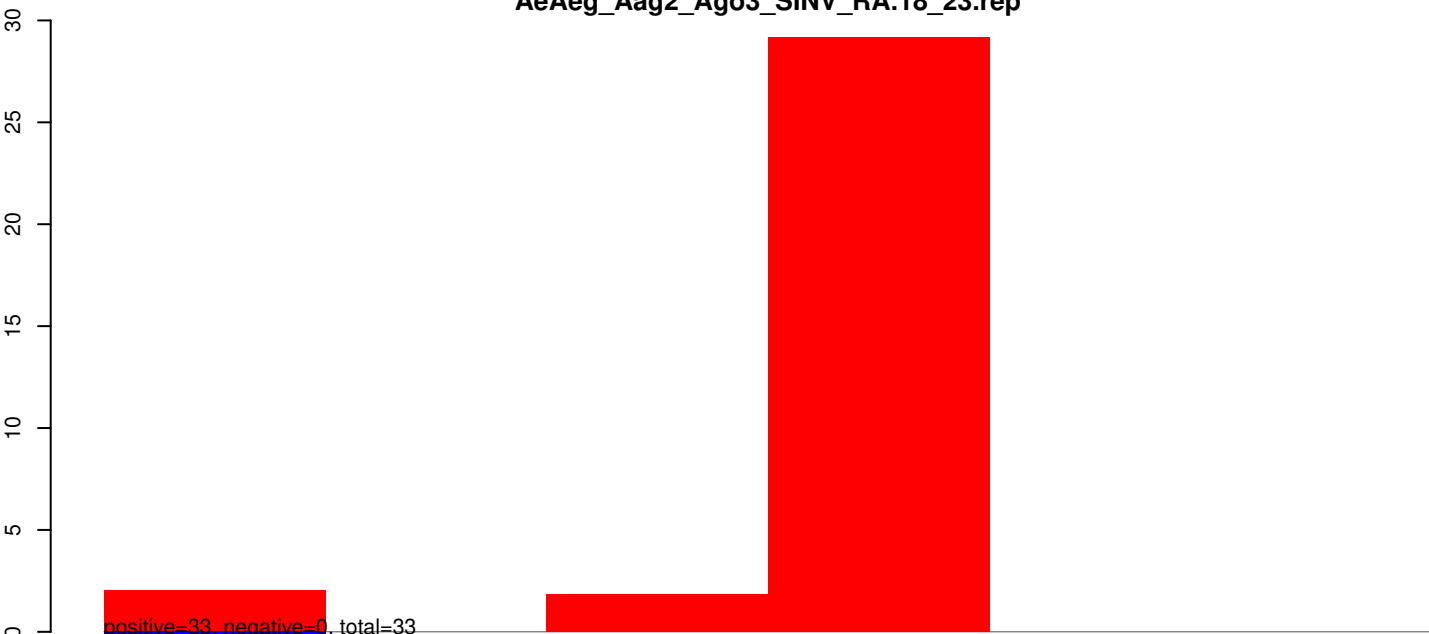
AeAeg_Aag2_Ago3_SINV_RA.24_35.rep



AeAeg_Aag2_Ago3_SINV_RA.rep



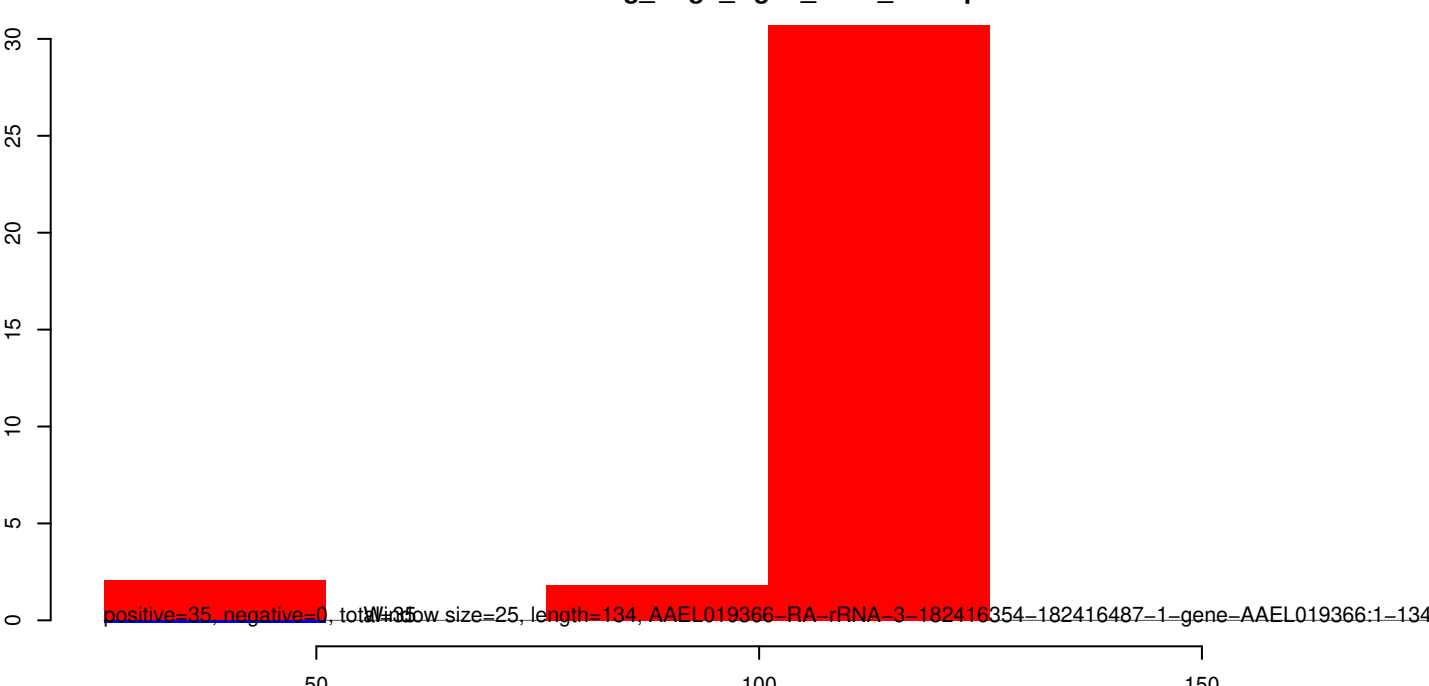
AeAeg_Aag2_Ago3_SINV_RA.18_23.rep



AeAeg_Aag2_Ago3_SINV_RA.24_35.rep



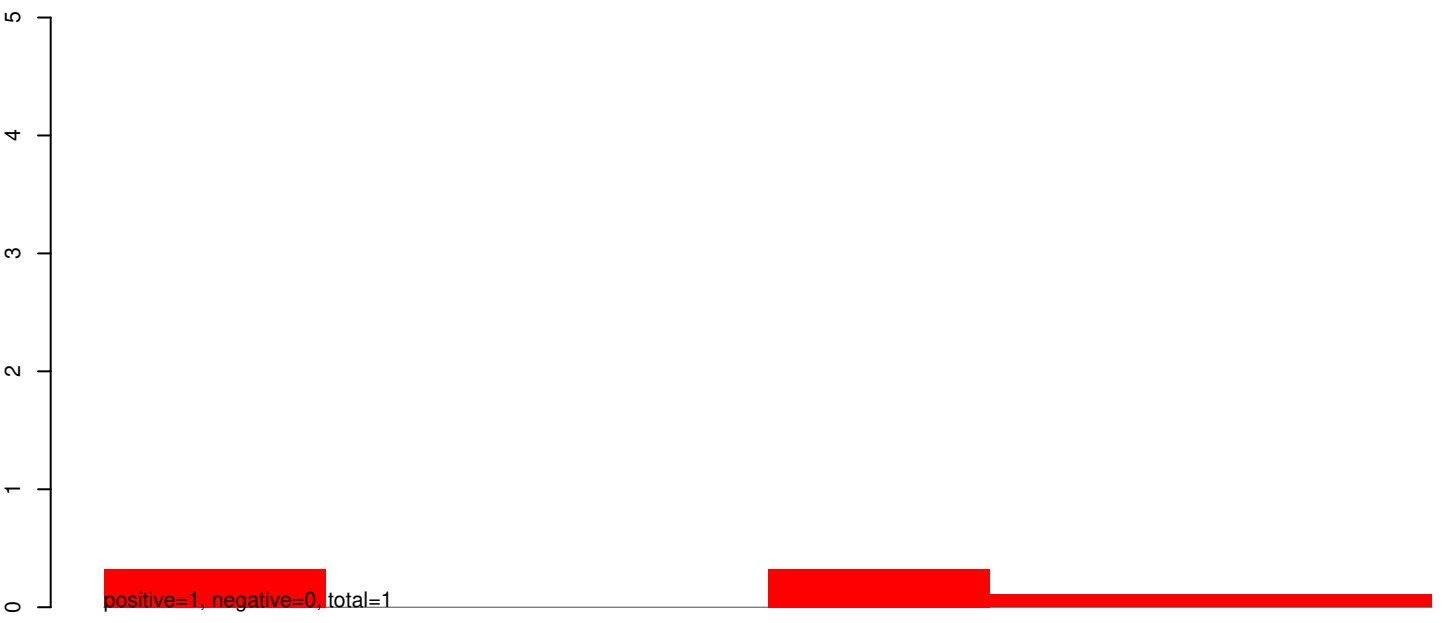
AeAeg_Aag2_Ago3_SINV_RA.rep



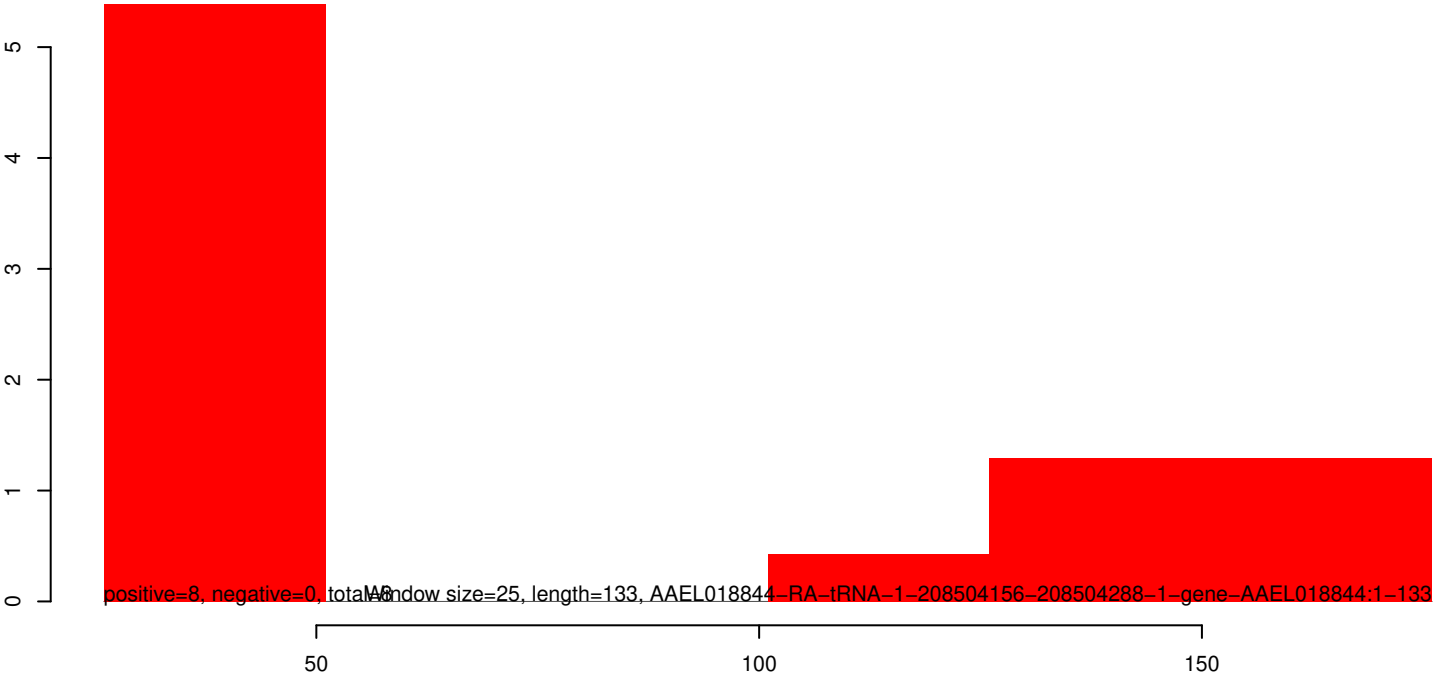
AeAeg_Aag2_Ago3_SINV_RA.18_23.rep



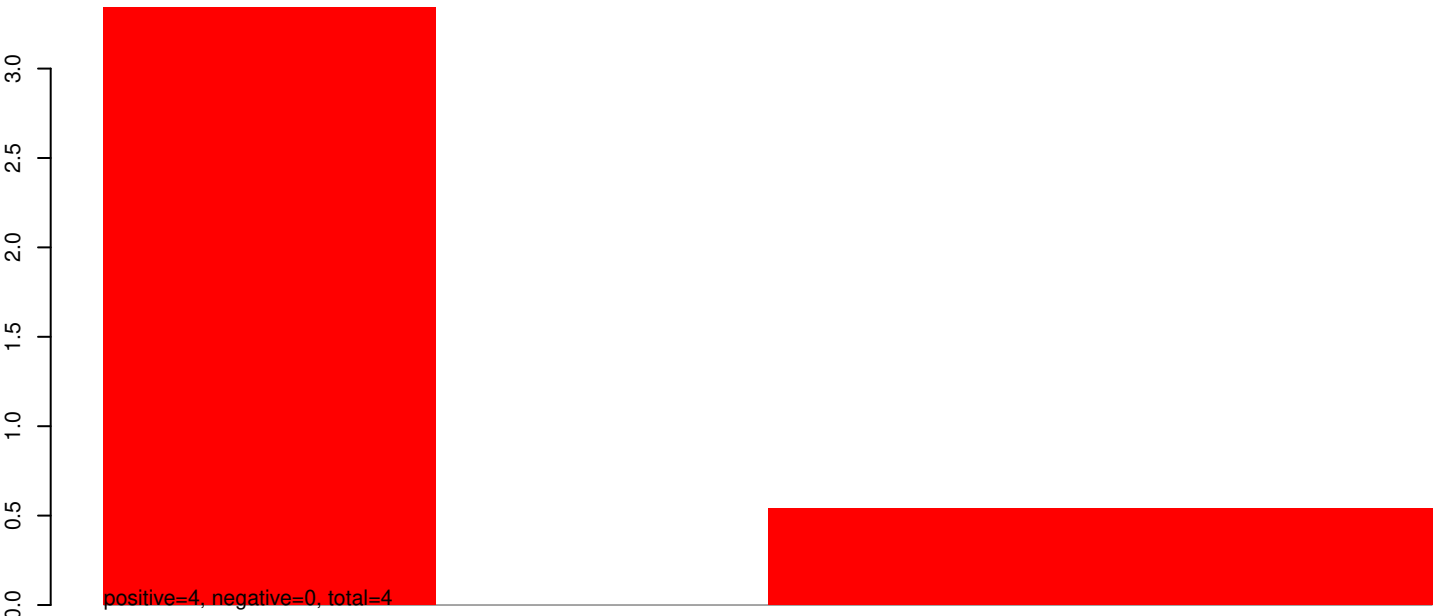
AeAeg_Aag2_Ago3_SINV_RA.24_35.rep



AeAeg_Aag2_Ago3_SINV_RA.rep



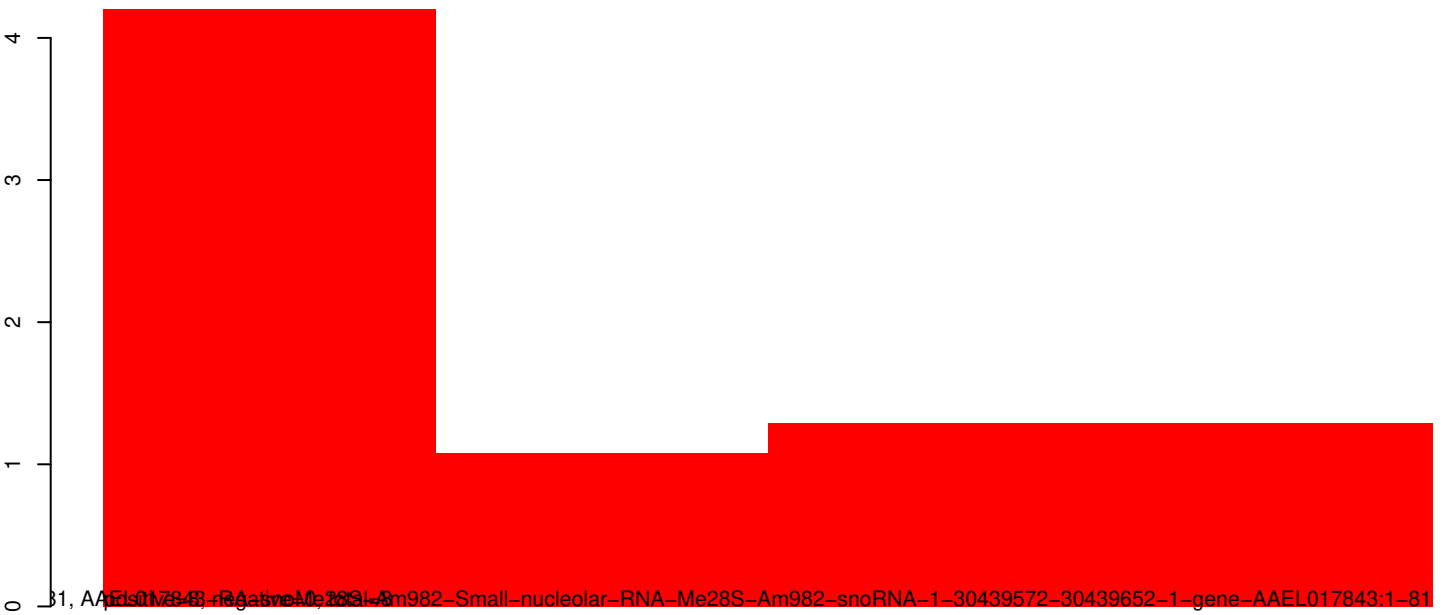
AeAeg_Aag2_Ago3_SINV_RA.18_23.rep



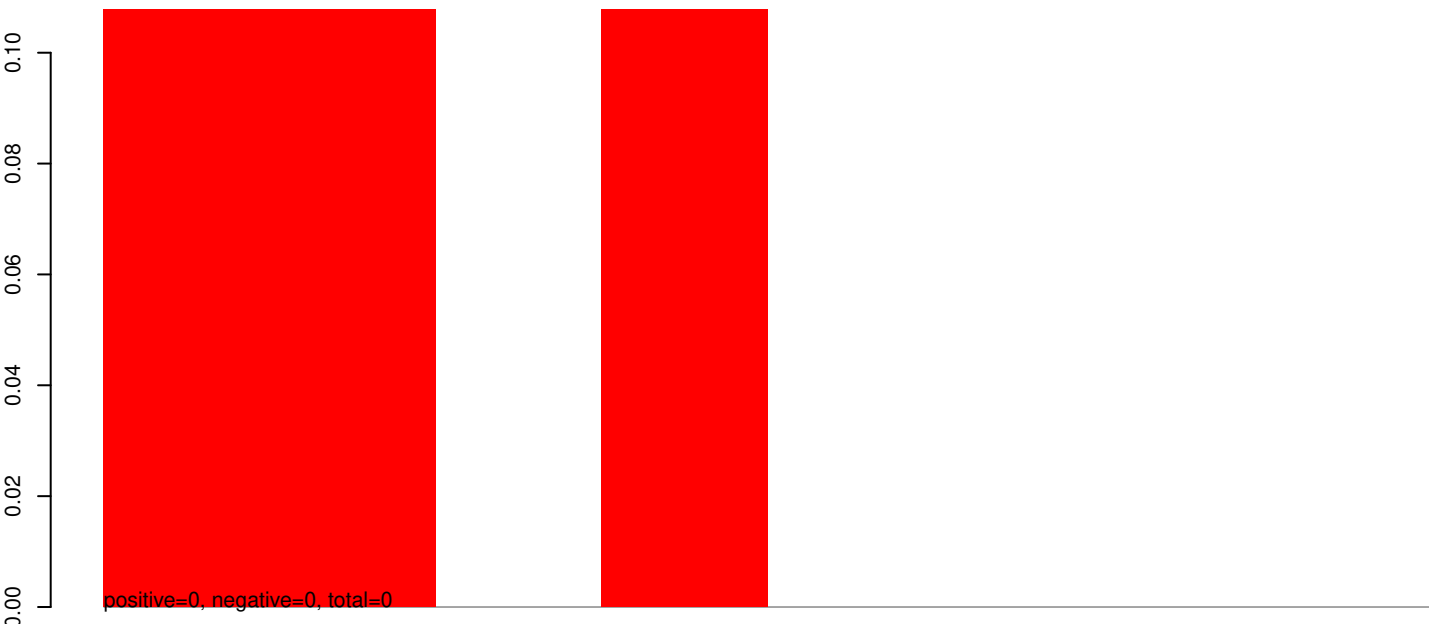
AeAeg_Aag2_Ago3_SINV_RA.24_35.rep



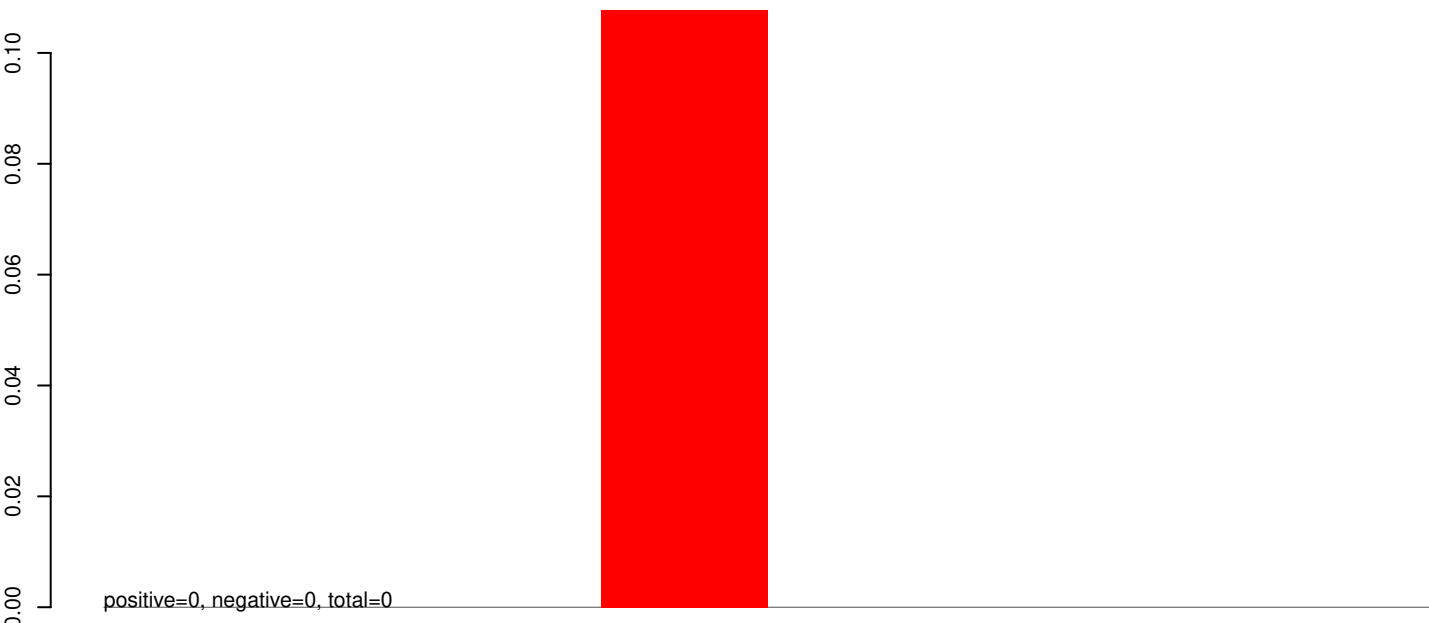
AeAeg_Aag2_Ago3_SINV_RA.rep



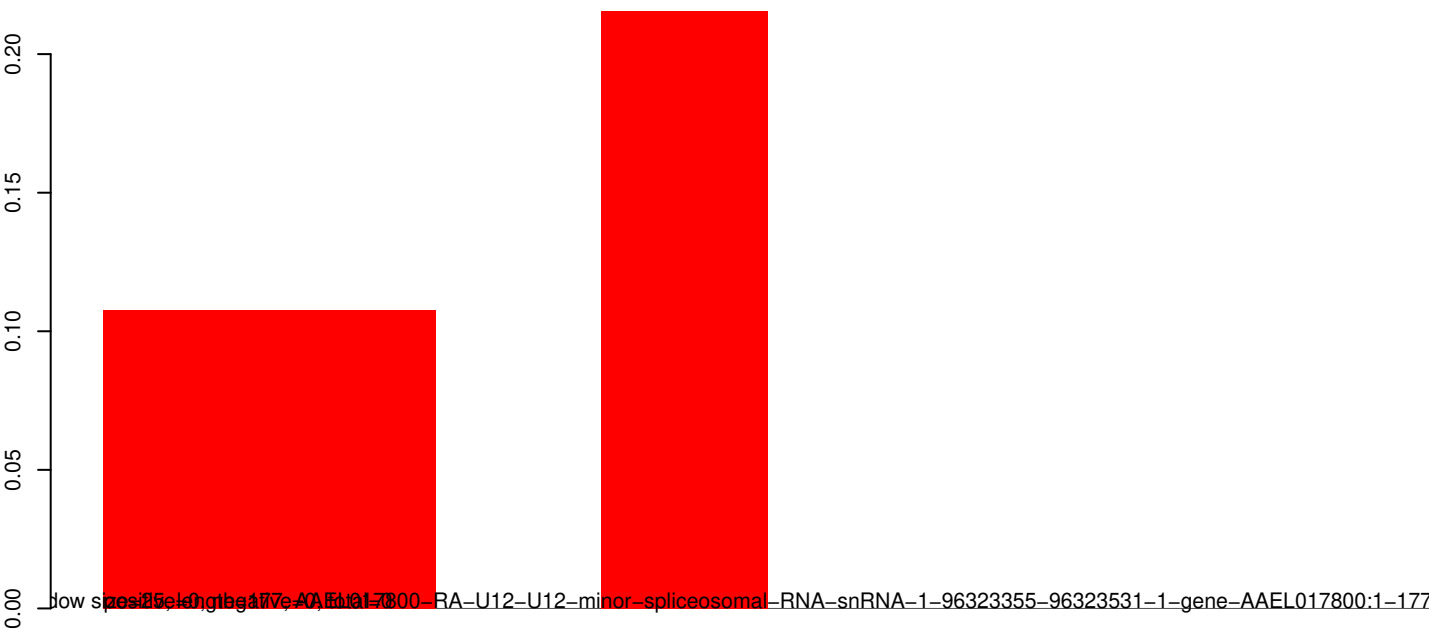
AeAeg_Aag2_Ago3_SINV_RA.18_23.rep



AeAeg_Aag2_Ago3_SINV_RA.24_35.rep



AeAeg_Aag2_Ago3_SINV_RA.rep



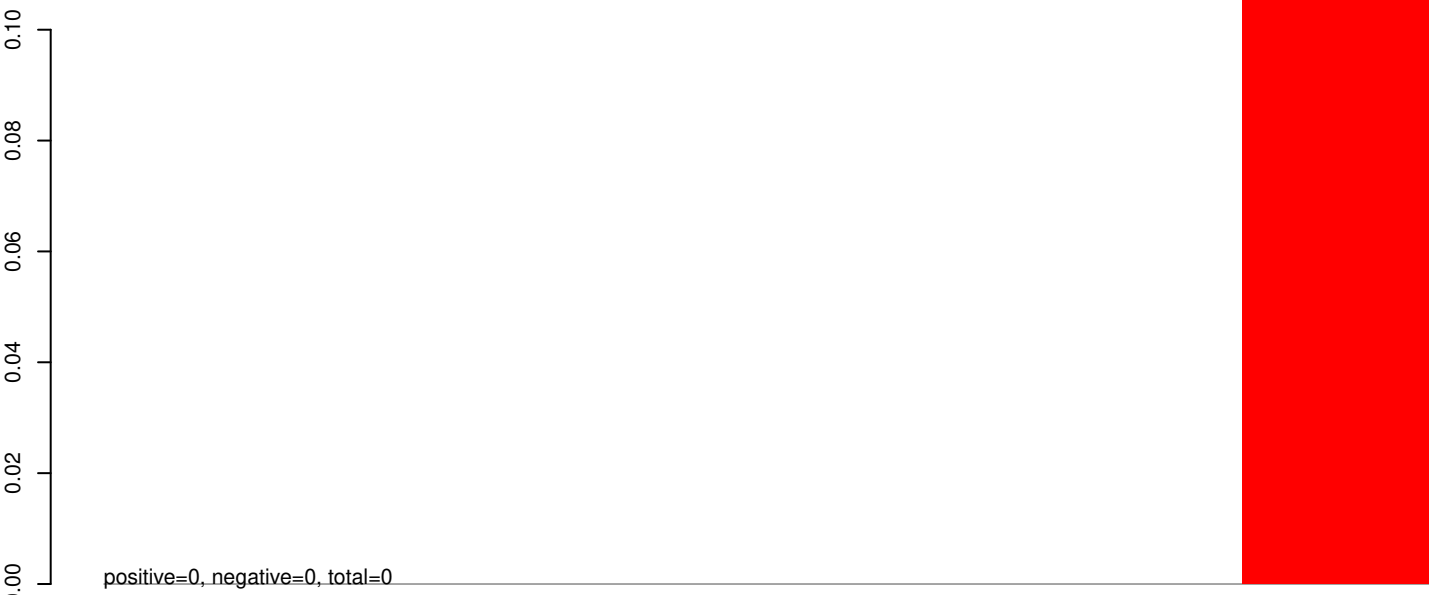
50

100

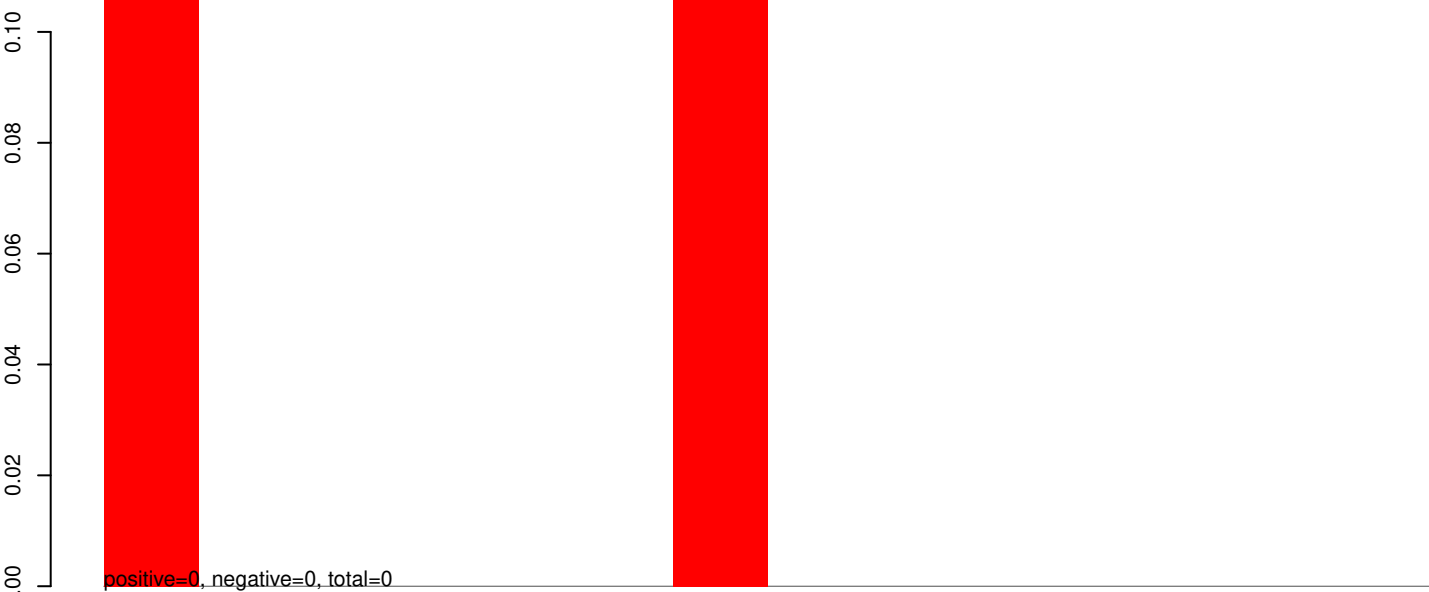
150

200

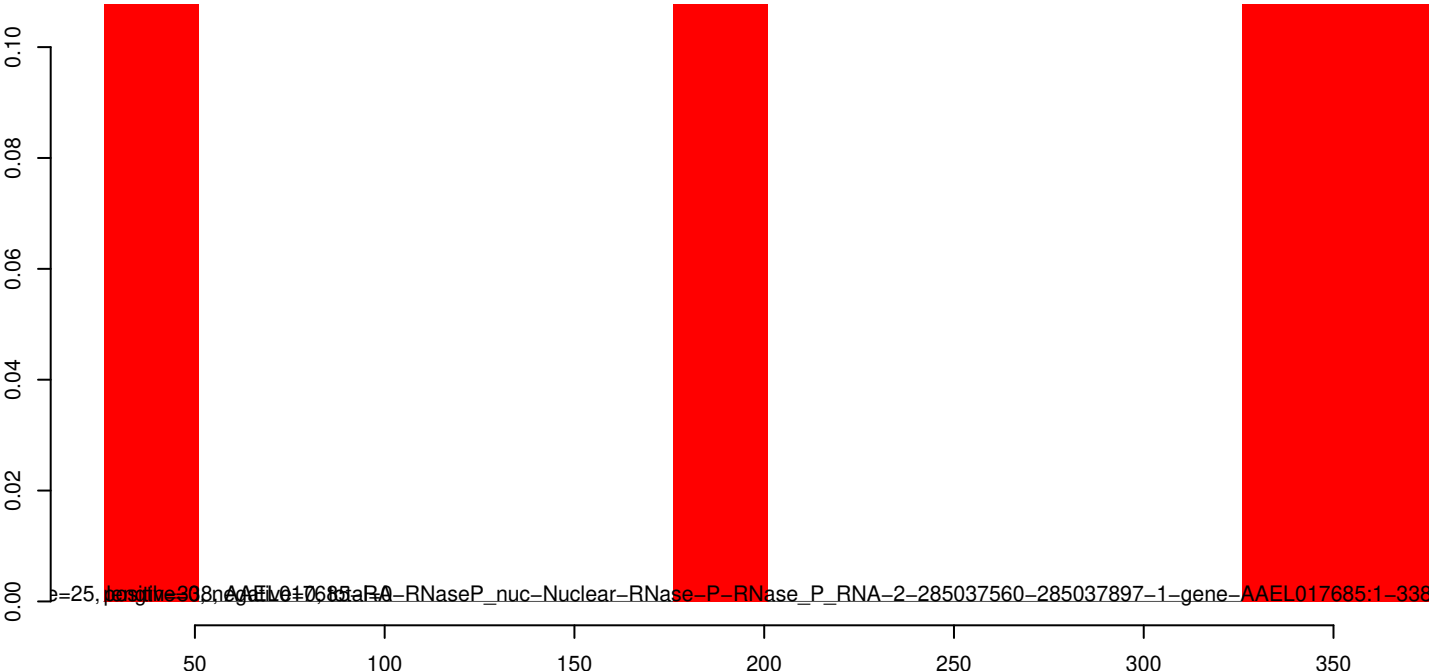
AeAeg_Aag2_Ago3_SINV_RA.18_23.rep



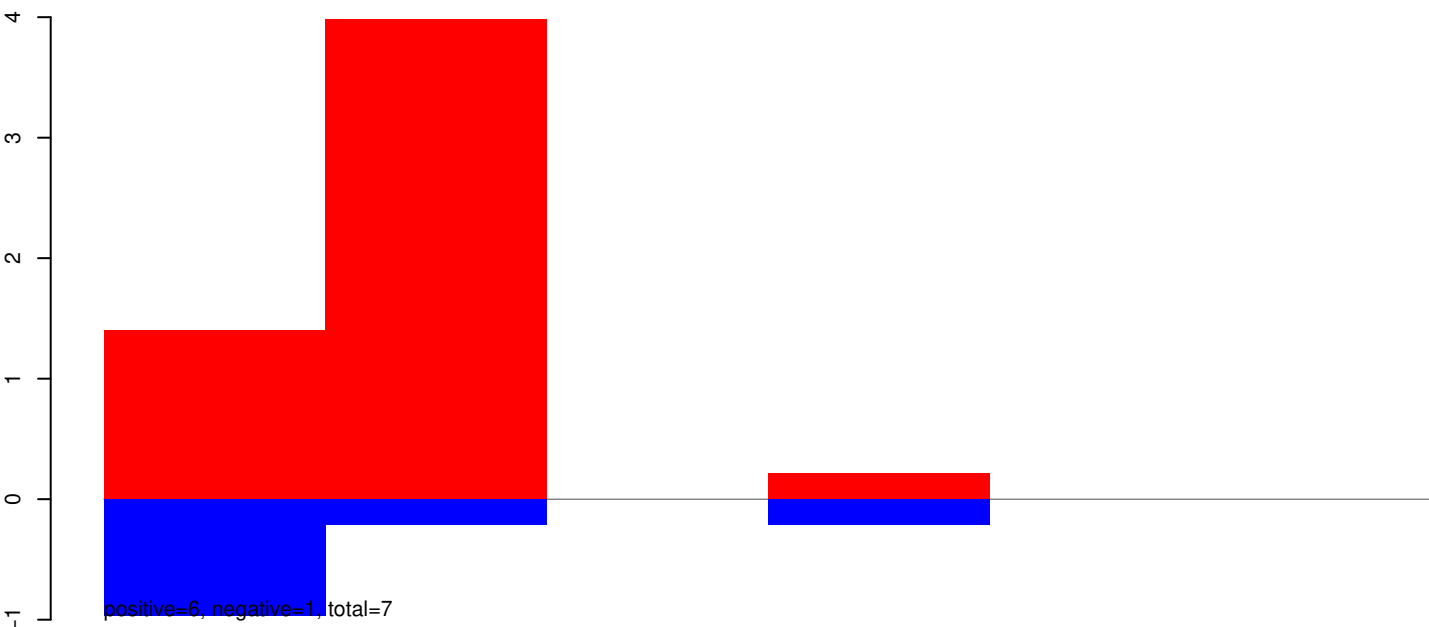
AeAeg_Aag2_Ago3_SINV_RA.24_35.rep



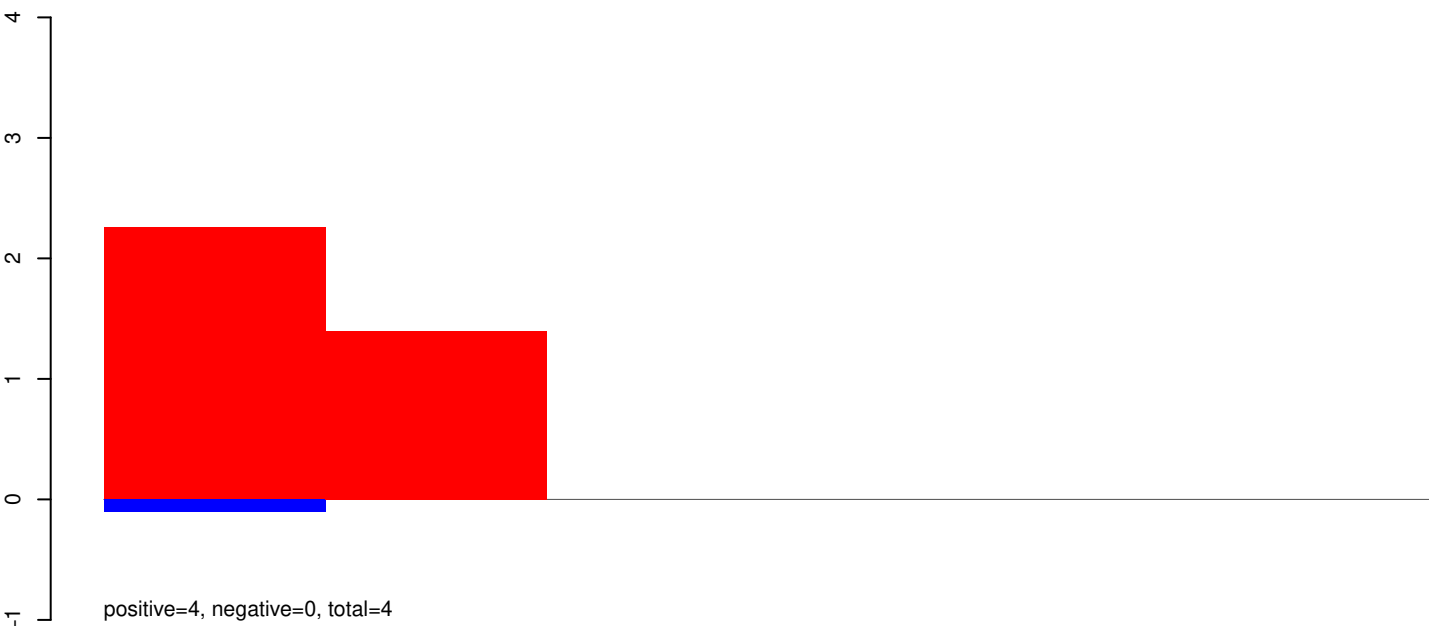
AeAeg_Aag2_Ago3_SINV_RA.rep



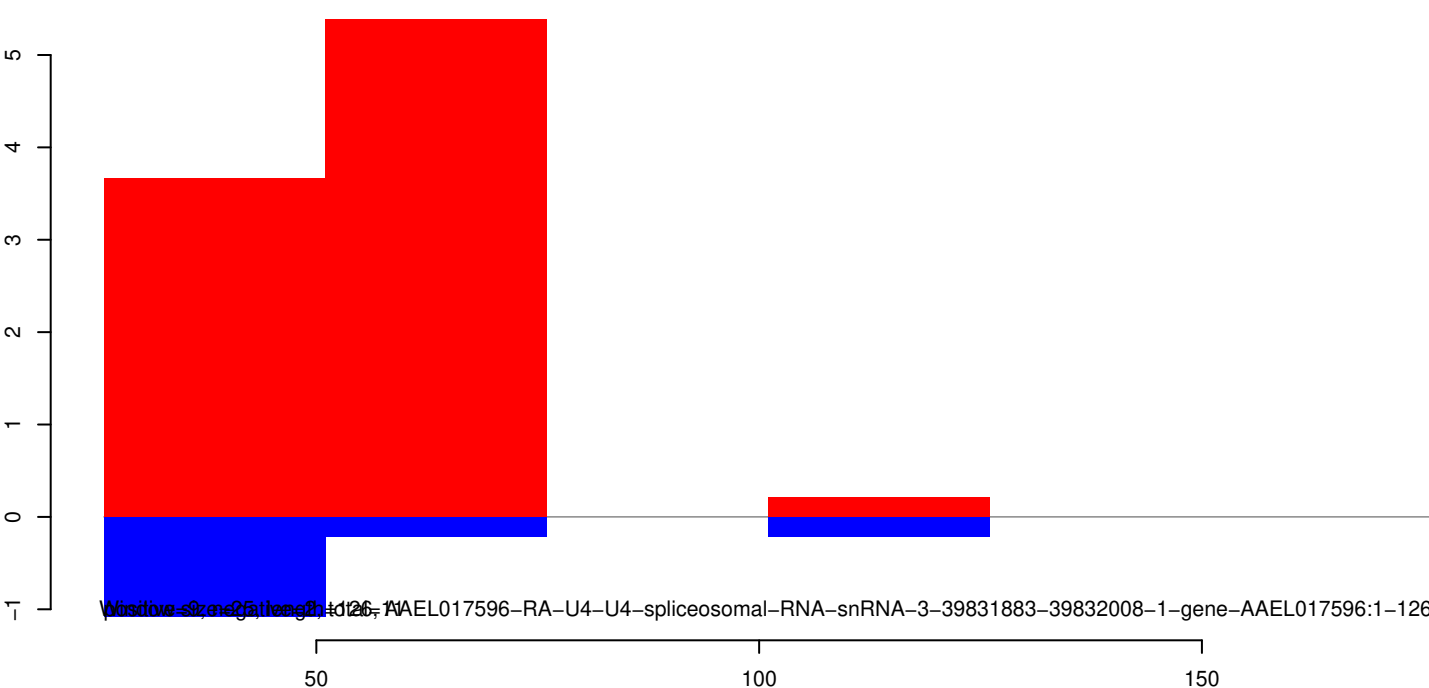
AeAeg_Aag2_Ago3_SINV_RA.18_23.rep



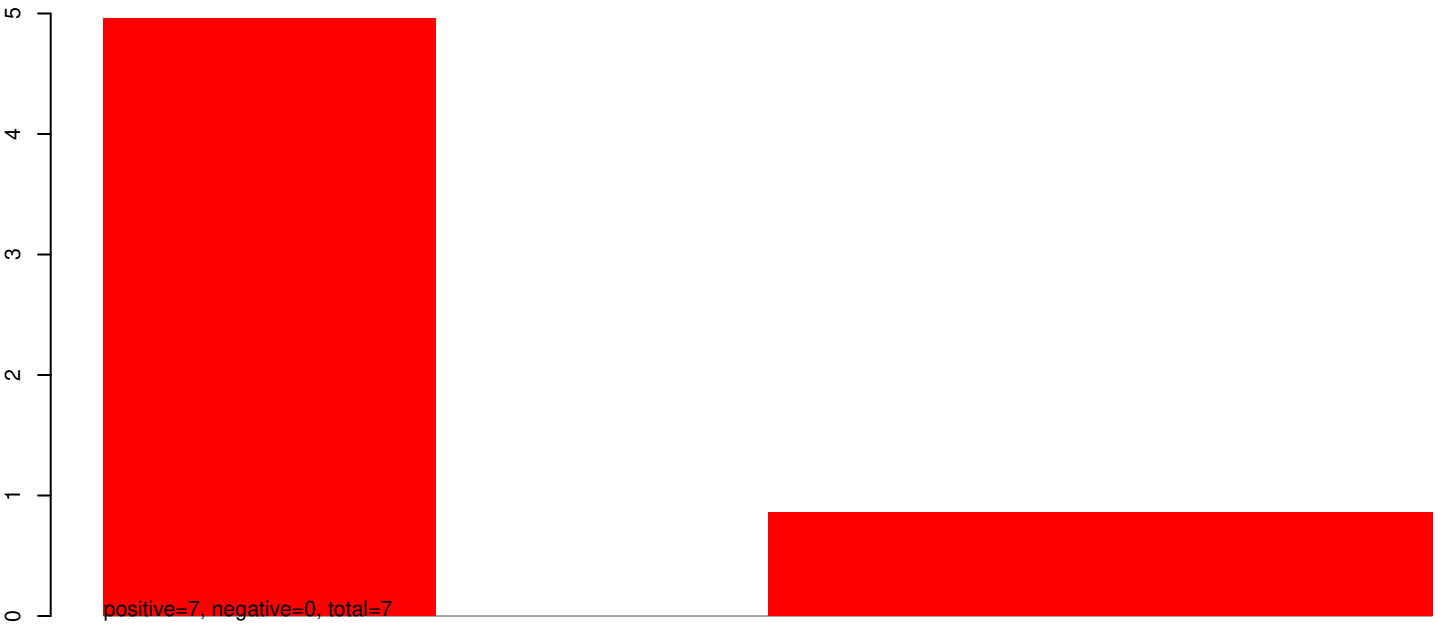
AeAeg_Aag2_Ago3_SINV_RA.24_35.rep



AeAeg_Aag2_Ago3_SINV_RA.rep



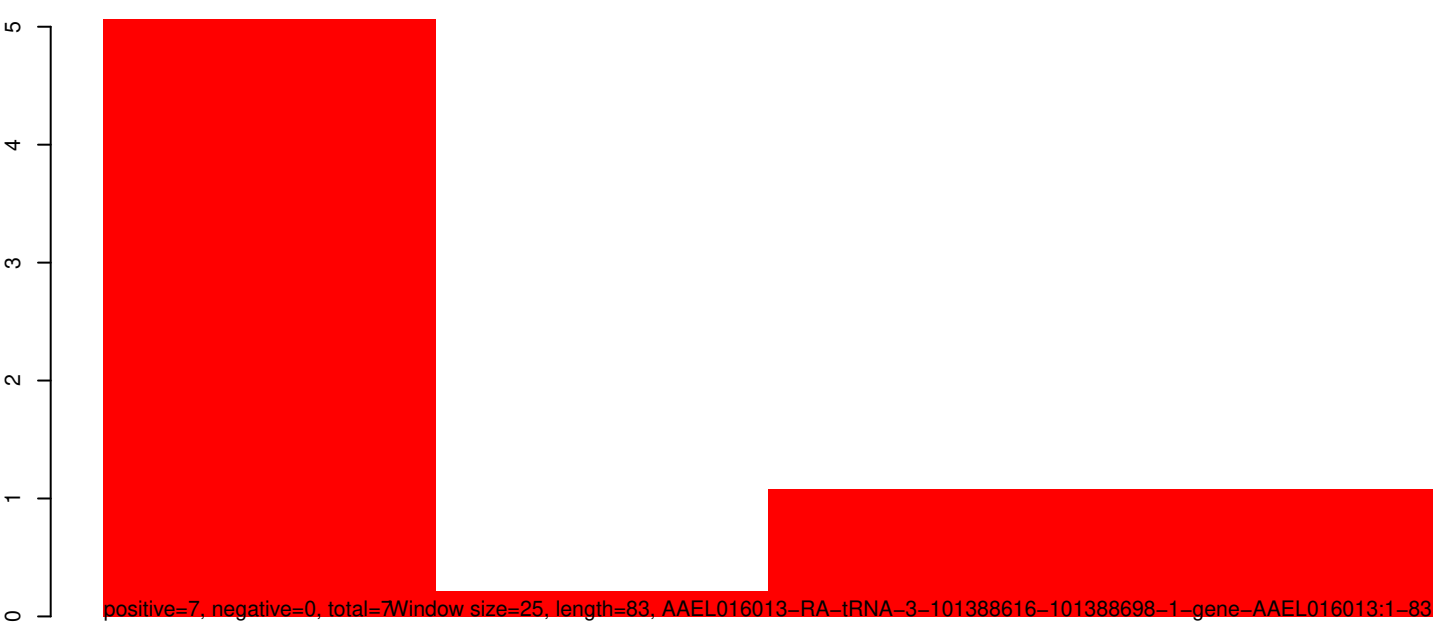
AeAeg_Aag2_Ago3_SINV_RA.18_23.rep



AeAeg_Aag2_Ago3_SINV_RA.24_35.rep

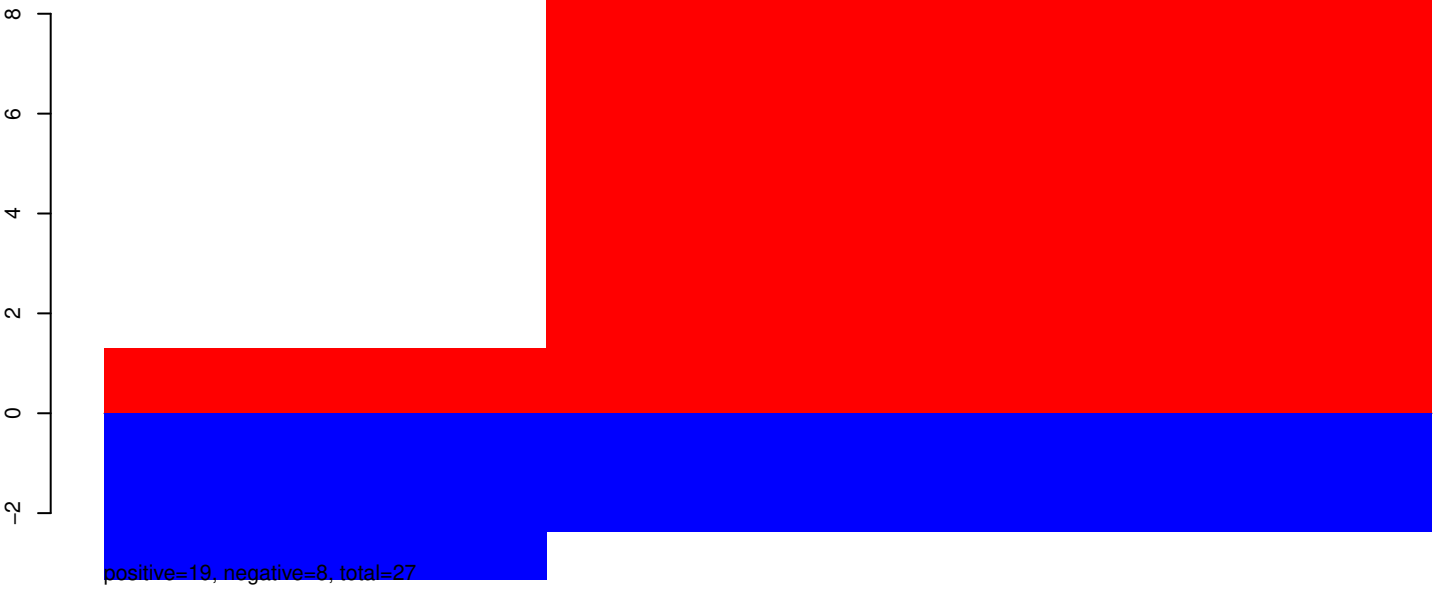


AeAeg_Aag2_Ago3_SINV_RA.rep

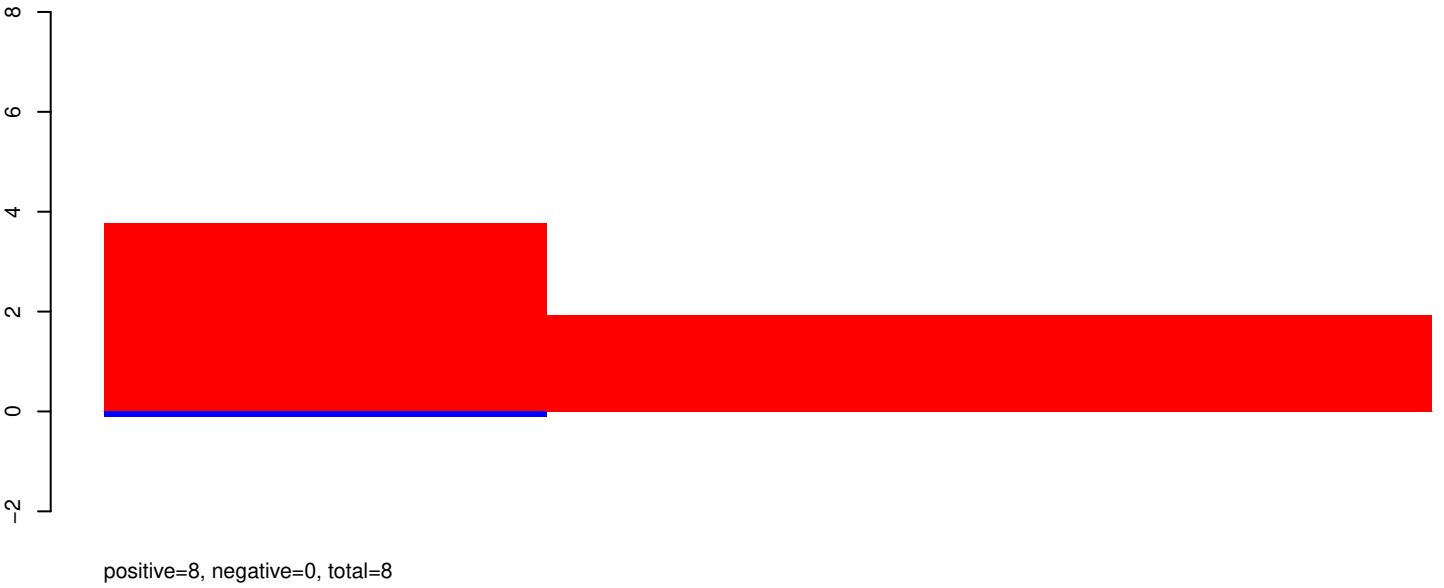


Window size=25, length=83, AAEL016013-RA-tRNA-3-101388616-101388698-1-gene-AAEL016013:1-83

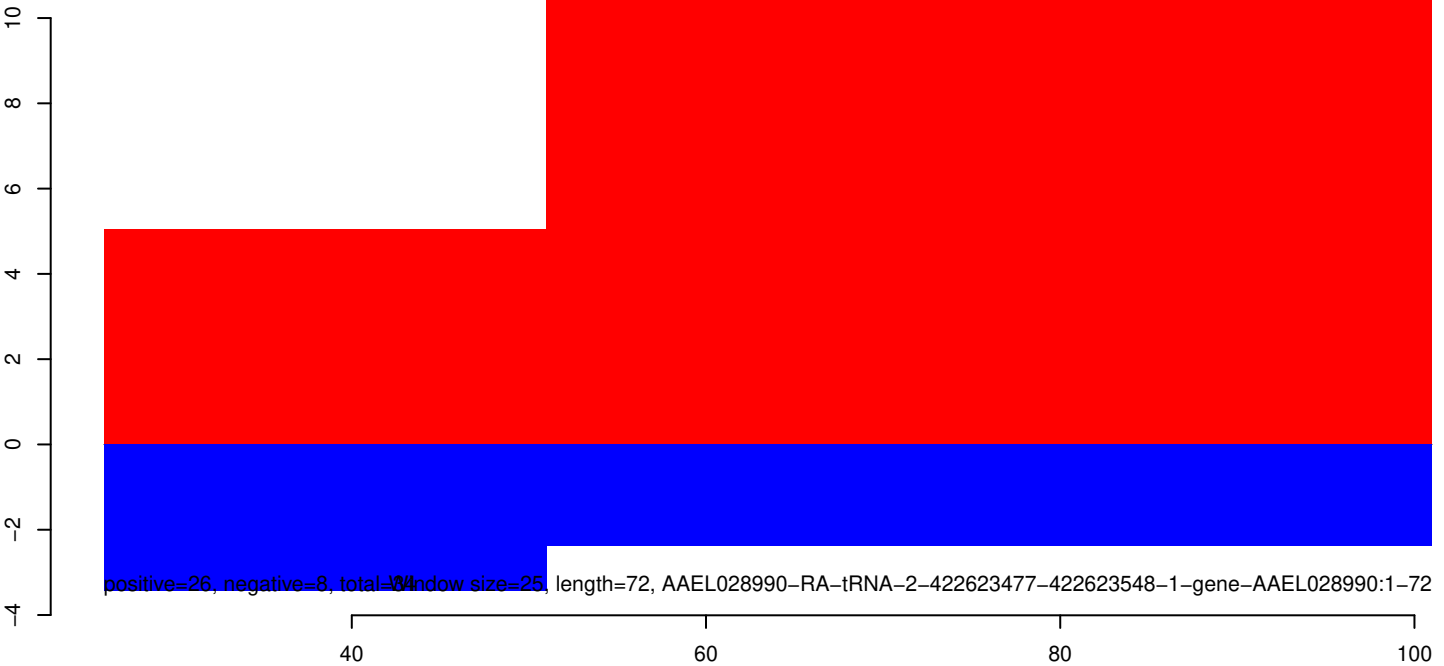
AeAeg_Aag2_Ago3_SINV_RA.18_23.rep



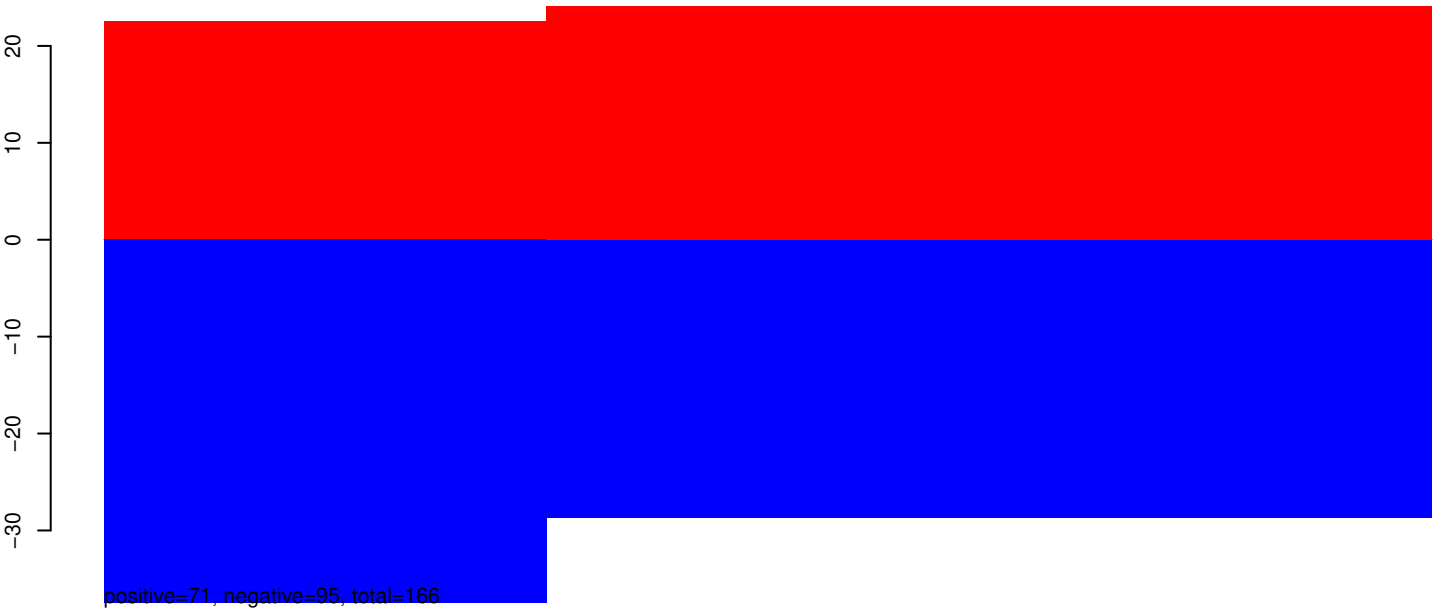
AeAeg_Aag2_Ago3_SINV_RA.24_35.rep



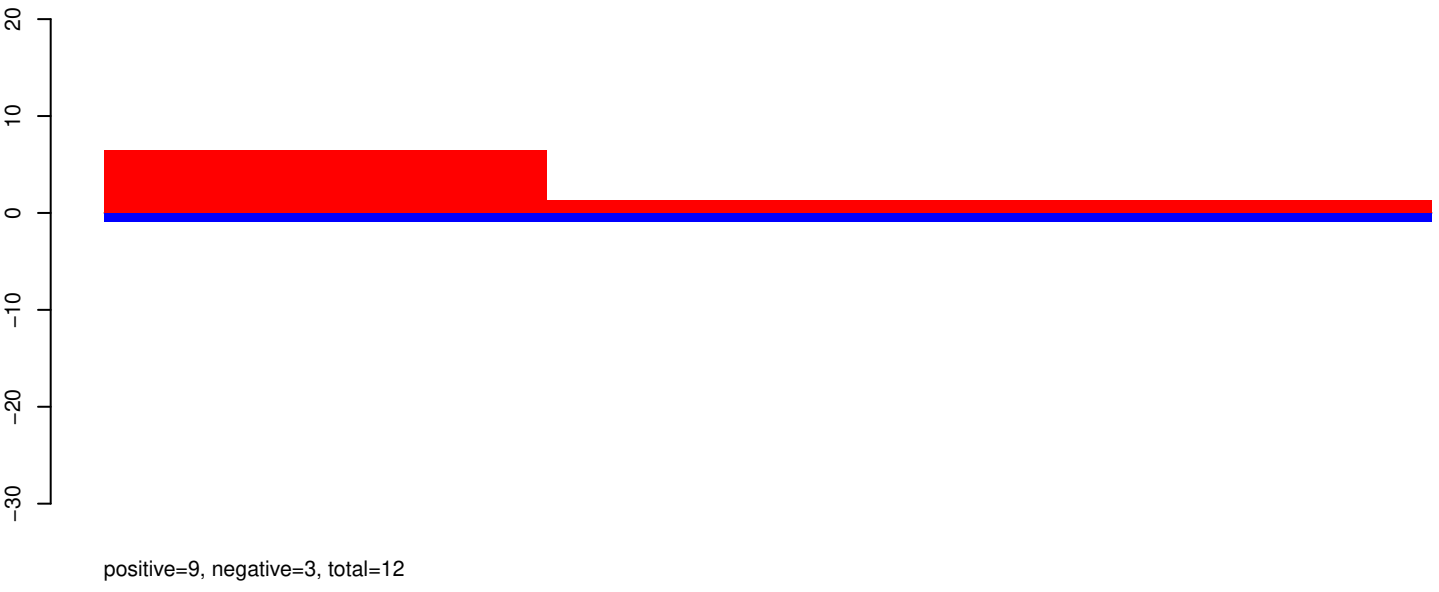
AeAeg_Aag2_Ago3_SINV_RA.rep



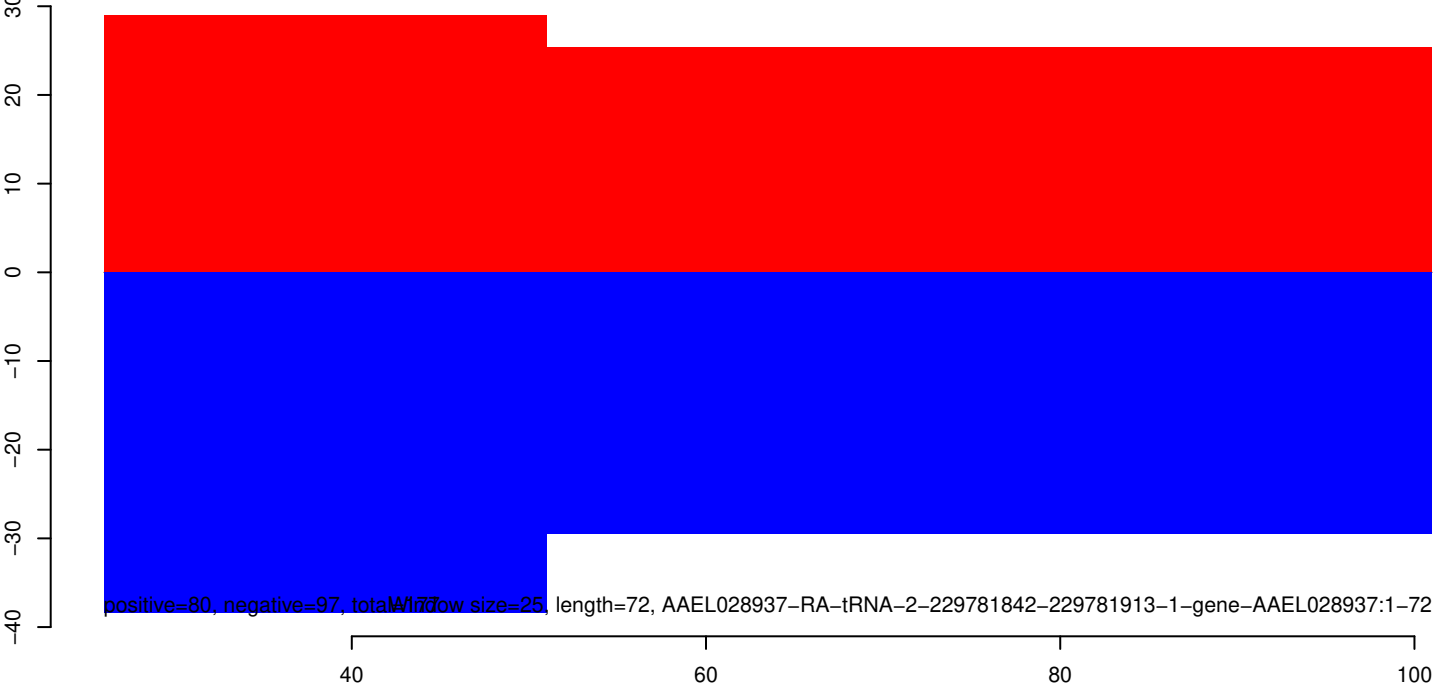
AeAeg_Aag2_Ago3_SINV_RA.18_23.rep



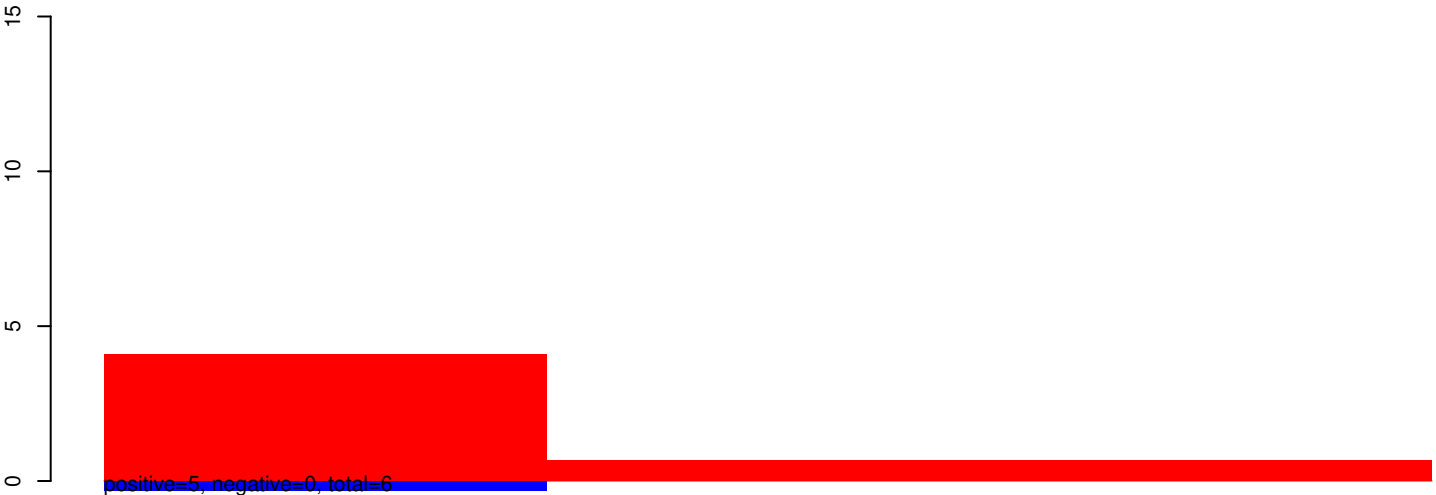
AeAeg_Aag2_Ago3_SINV_RA.24_35.rep



AeAeg_Aag2_Ago3_SINV_RA.rep



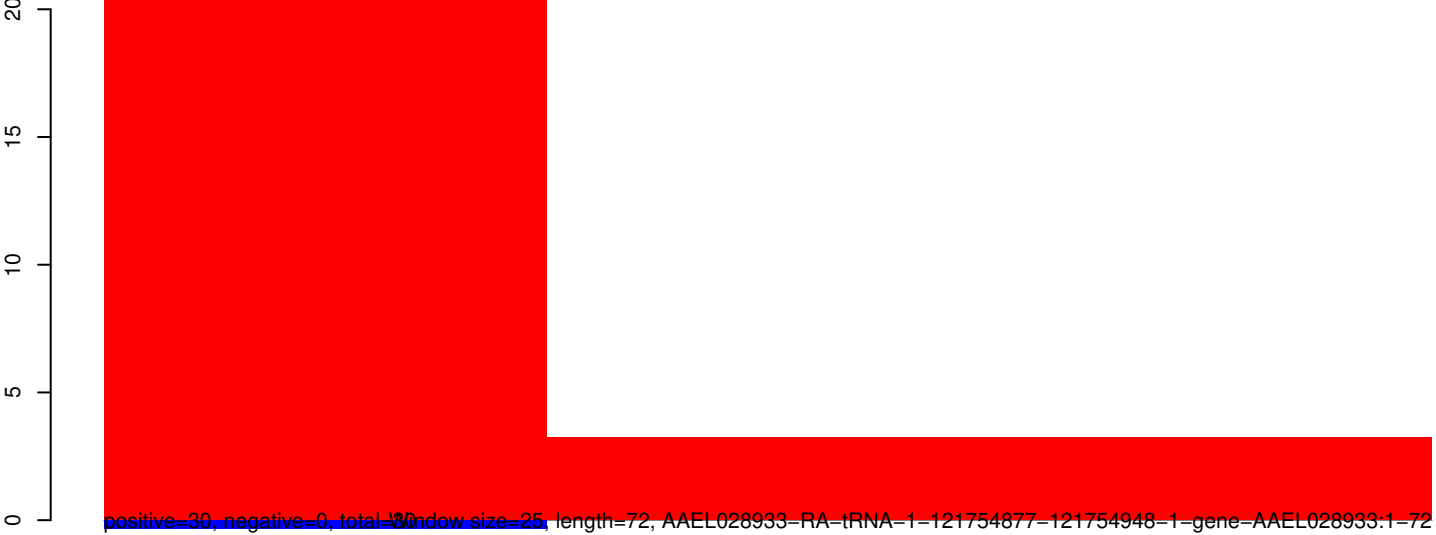
AeAeg_Aag2_Ago3_SINV_RA.18_23.rep



AeAeg_Aag2_Ago3_SINV_RA.24_35.rep

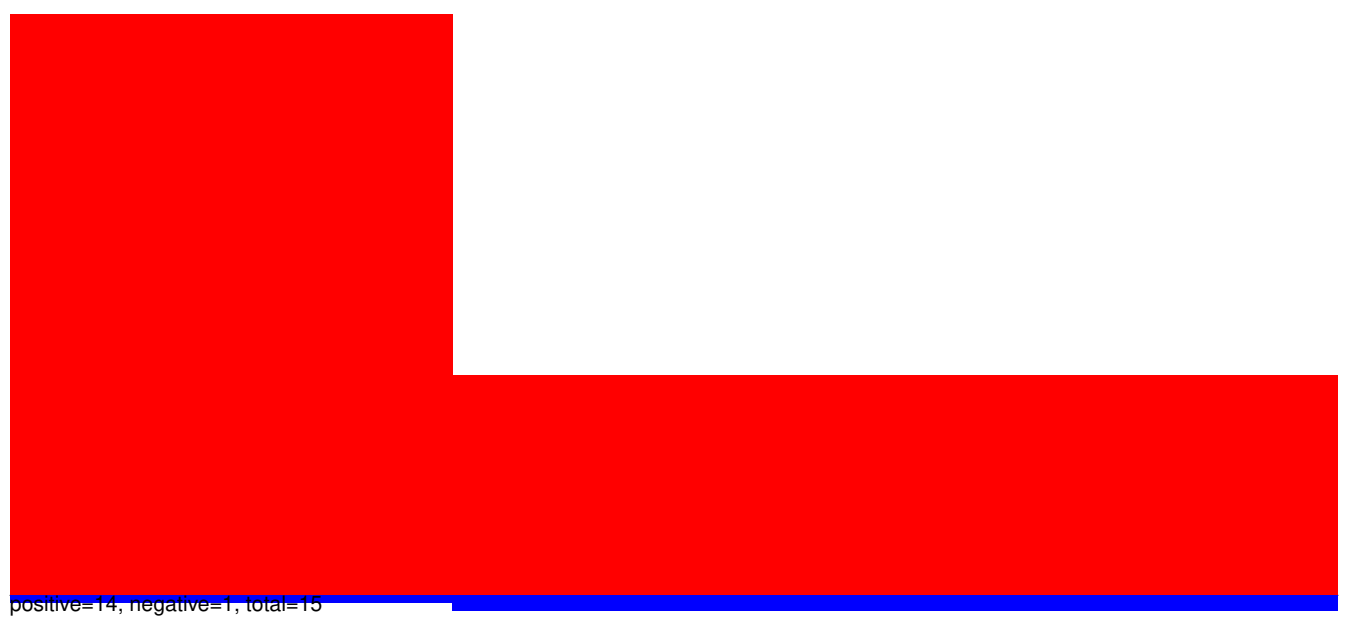


AeAeg_Aag2_Ago3_SINV_RA.rep



40 60 80 100

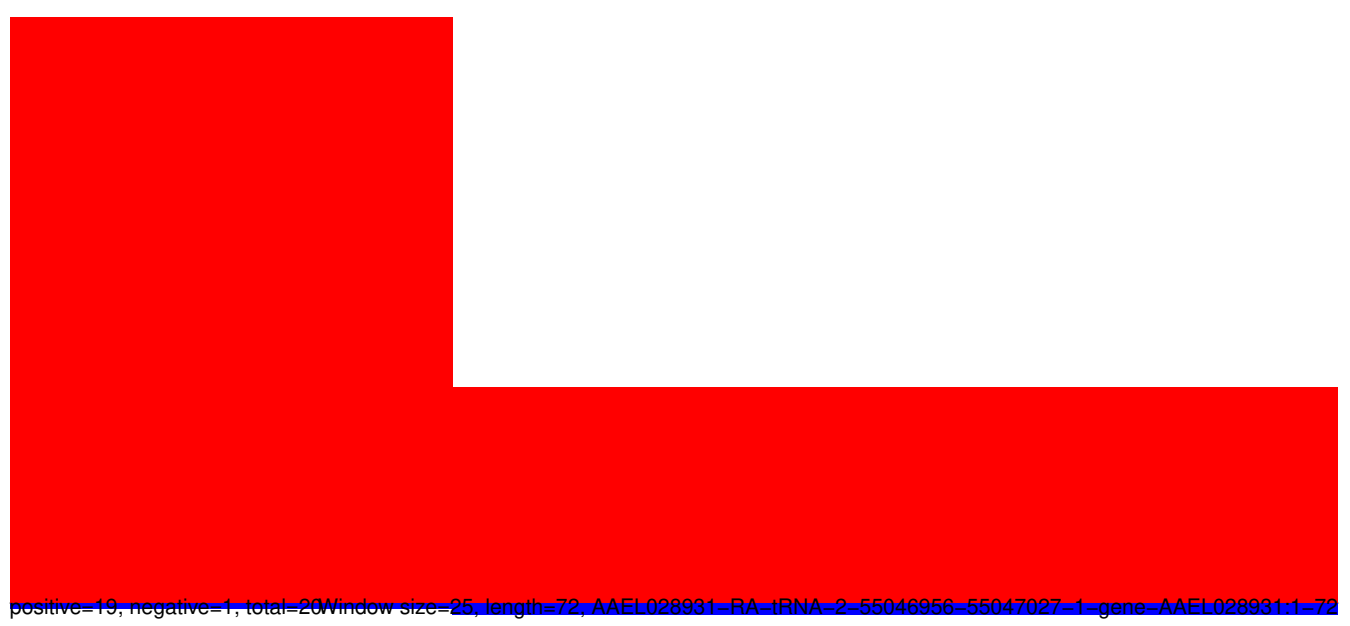
AeAeg_Aag2_Ago3_SINV_RA.18_23.rep



AeAeg_Aag2_Ago3_SINV_RA.24_35.rep

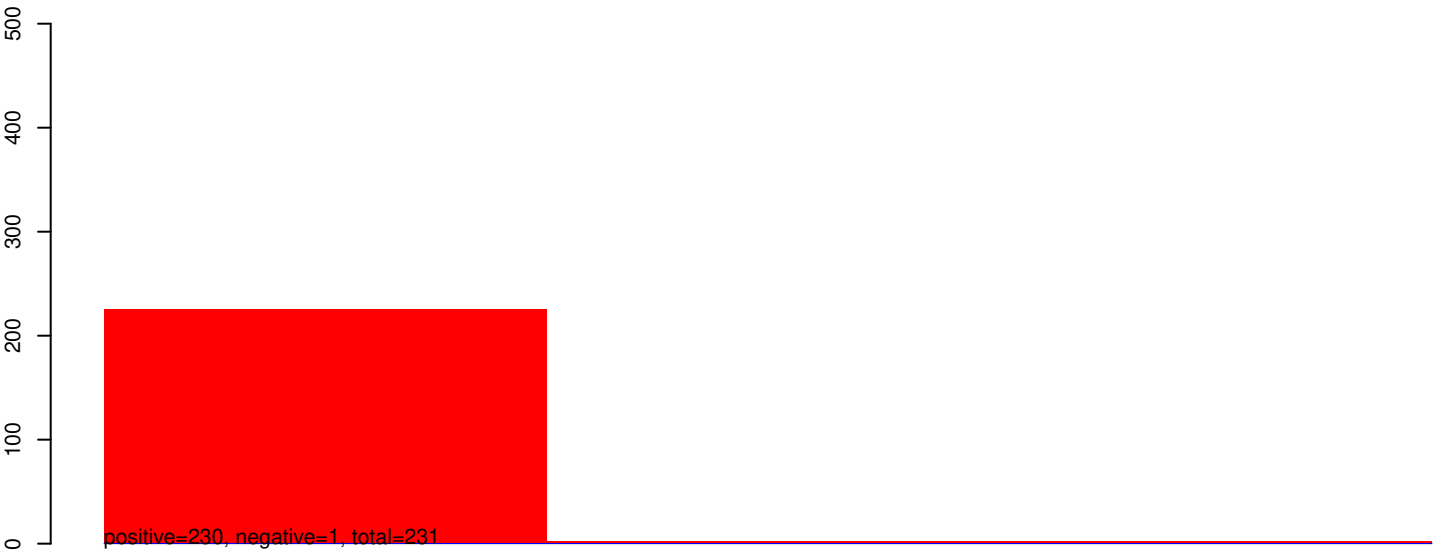


AeAeg_Aag2_Ago3_SINV_RA.rep

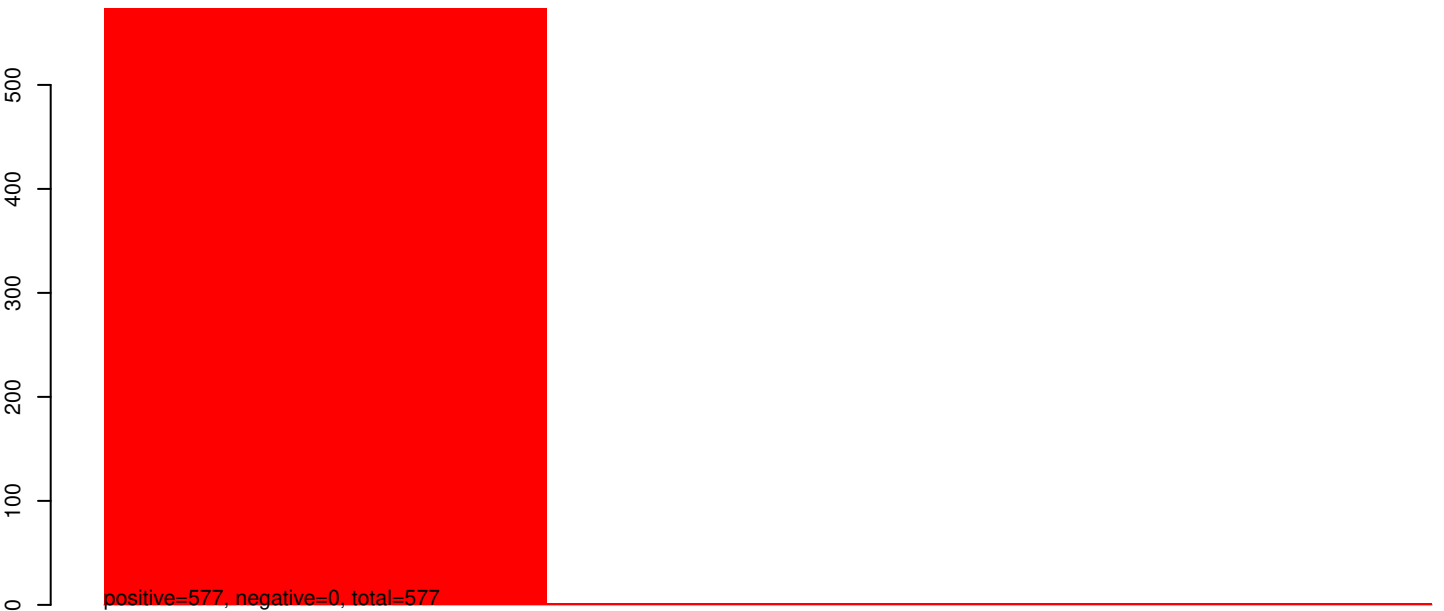


Window size=25, length=72, AAEL028931-RA-tRNA-2-55046956-55047027-1-gene-AAEL028931.1-72

AeAeg_Aag2_Ago3_SINV_RA.18_23.rep



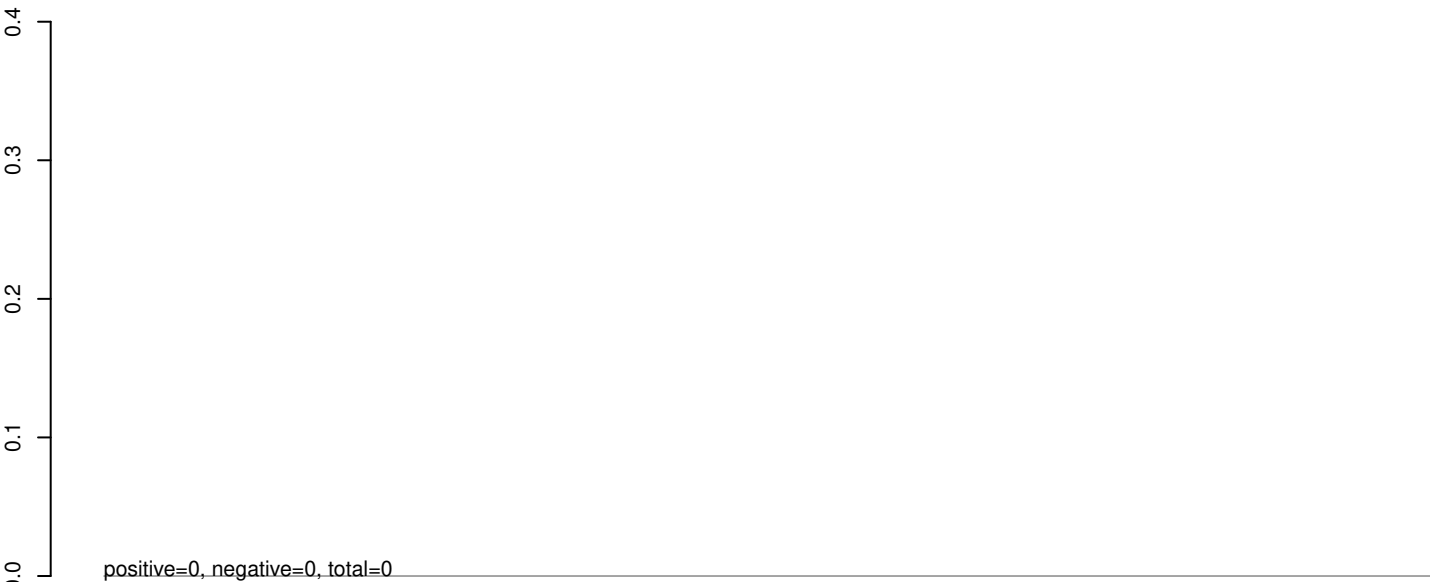
AeAeg_Aag2_Ago3_SINV_RA.24_35.rep



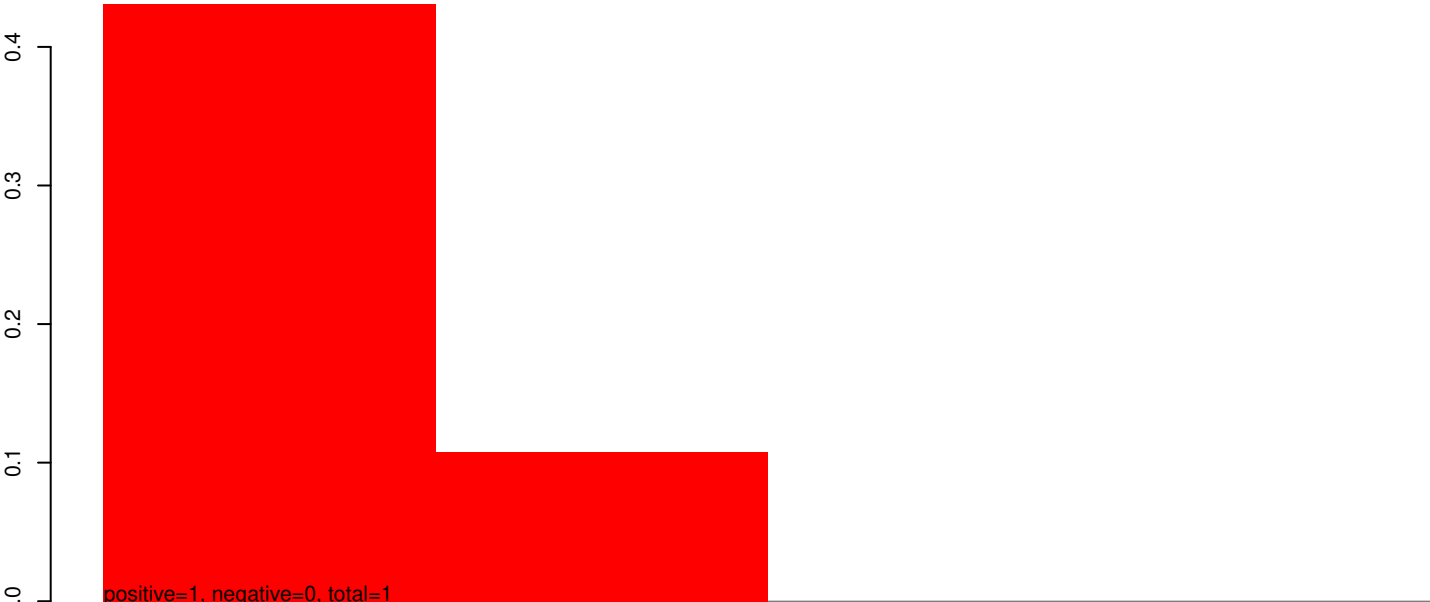
AeAeg_Aag2_Ago3_SINV_RA.rep



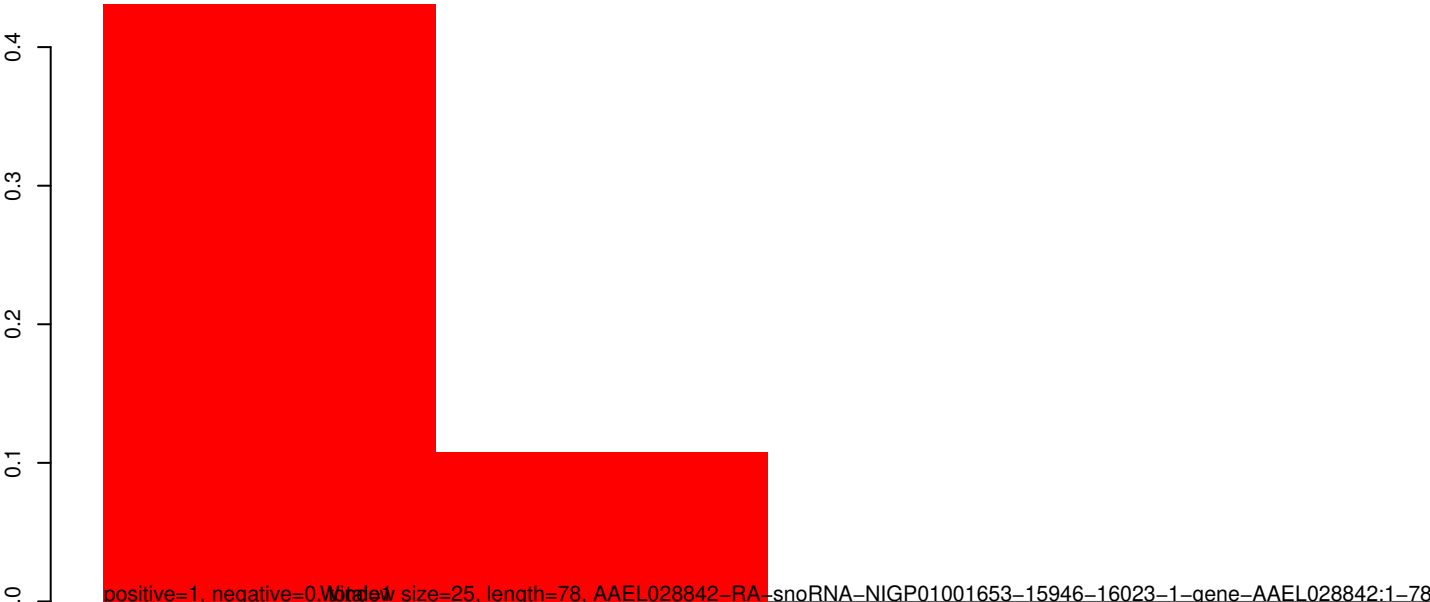
AeAeg_Aag2_Ago3_SINV_RA.18_23.rep



AeAeg_Aag2_Ago3_SINV_RA.24_35.rep



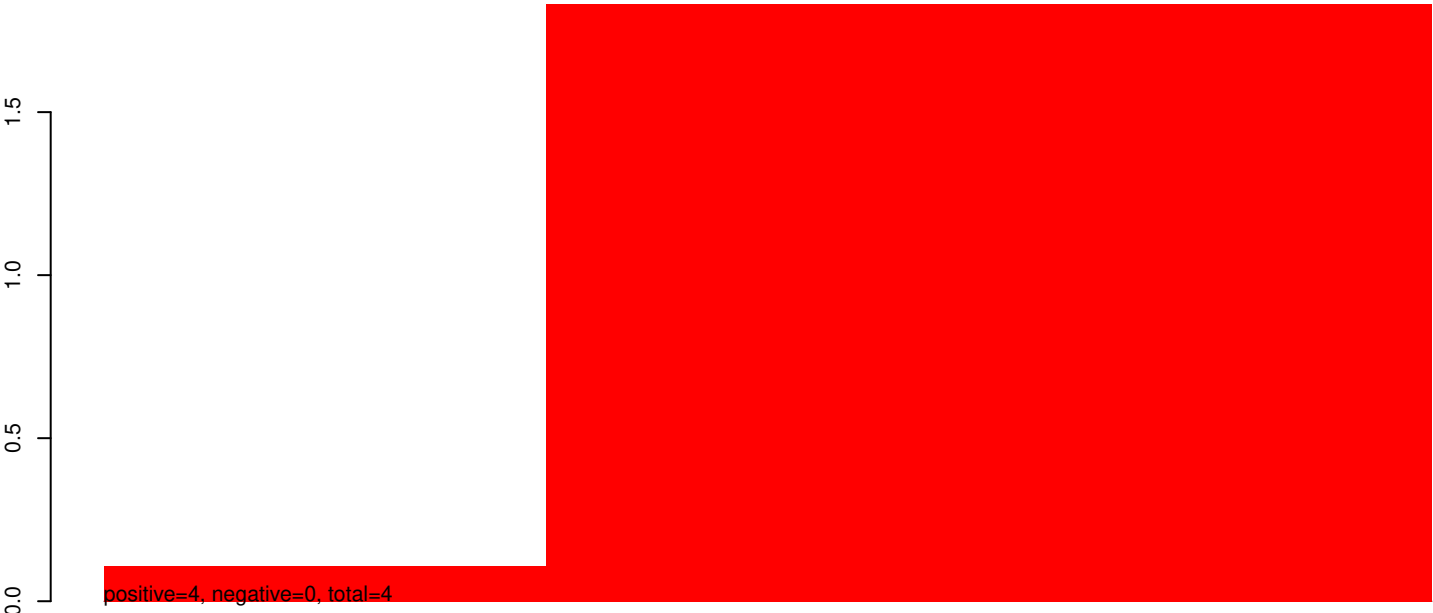
AeAeg_Aag2_Ago3_SINV_RA.rep



AeAeg_Aag2_Ago3_SINV_RA.18_23.rep



AeAeg_Aag2_Ago3_SINV_RA.24_35.rep

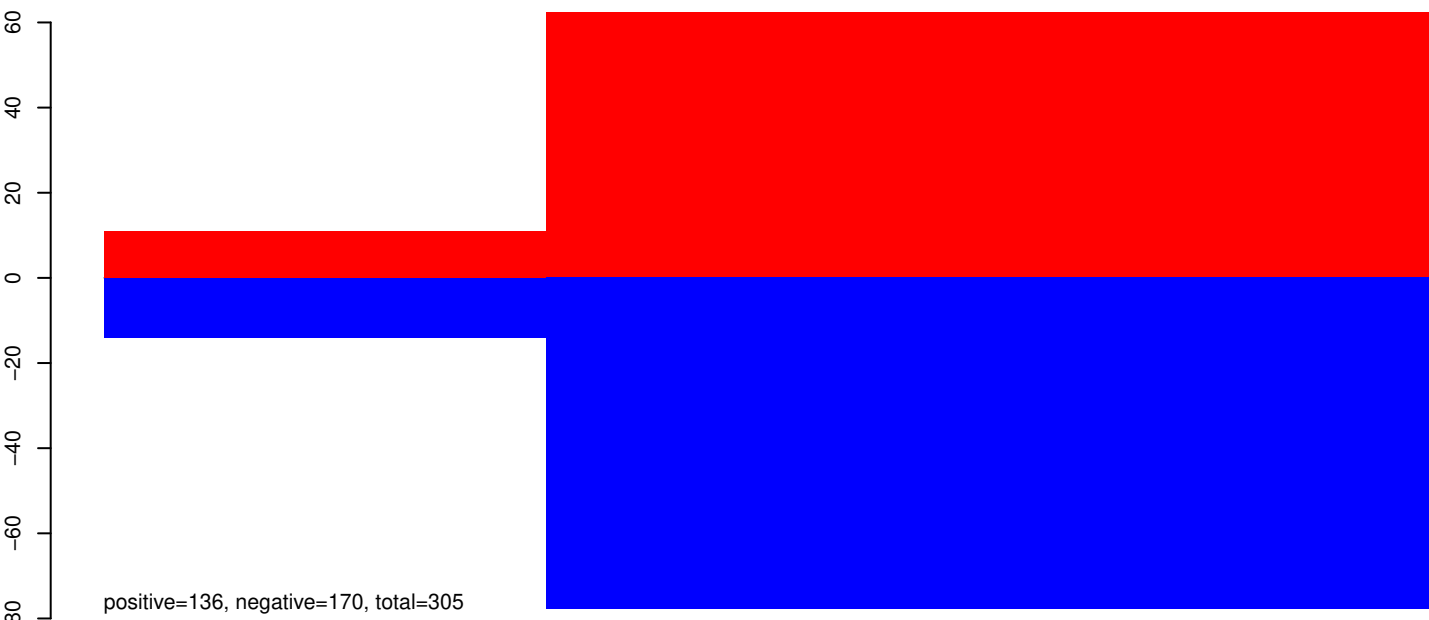


AeAeg_Aag2_Ago3_SINV_RA.rep

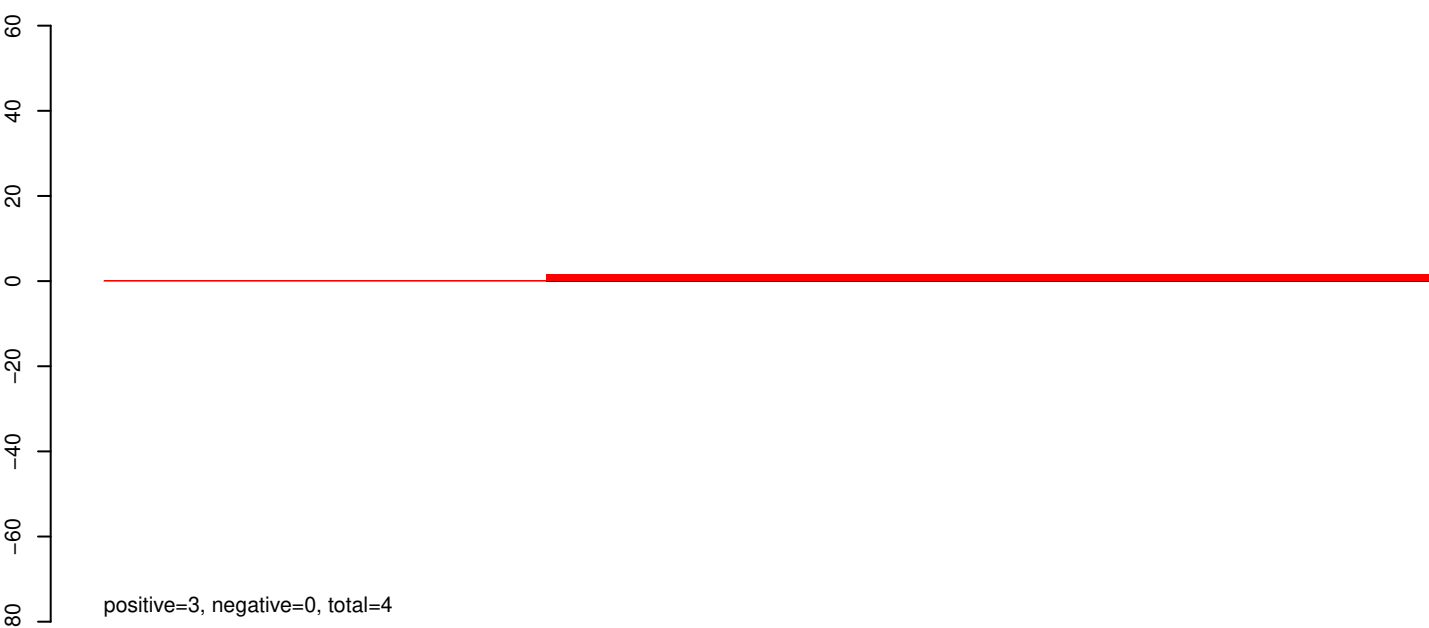


40 60 80 100

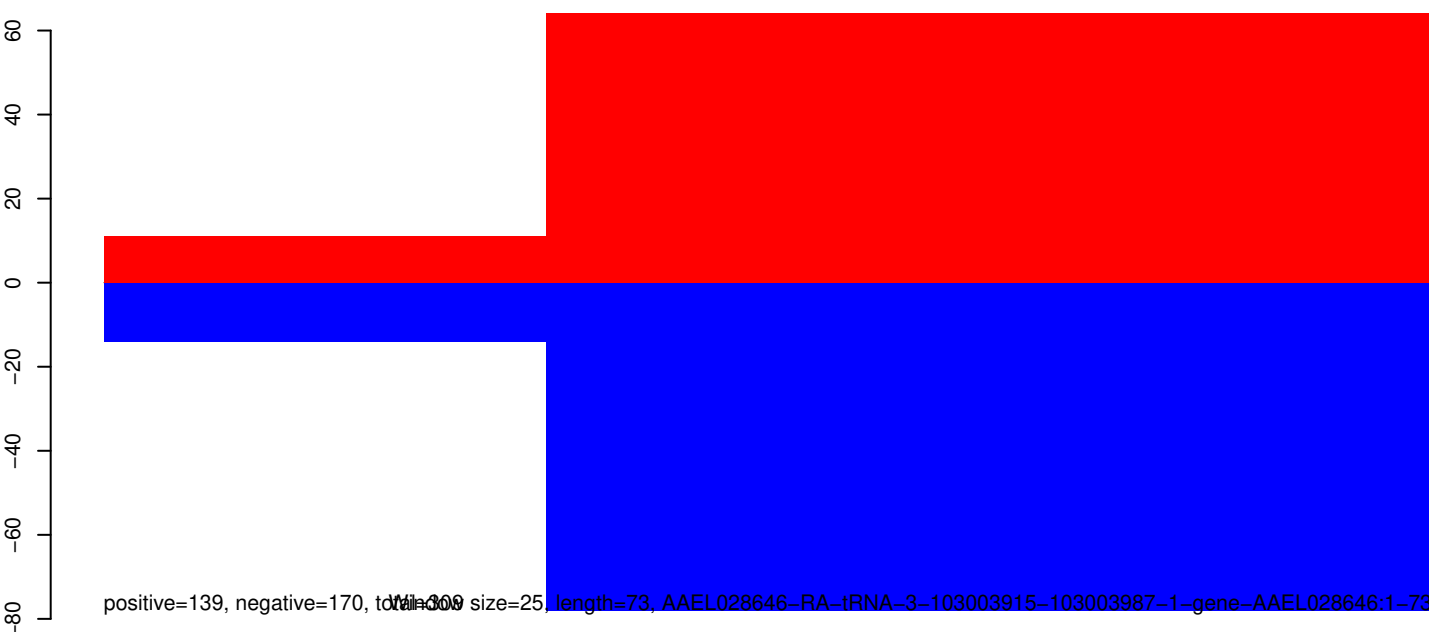
AeAeg_Aag2_Ago3_SINV_RA.18_23.rep



AeAeg_Aag2_Ago3_SINV_RA.24_35.rep



AeAeg_Aag2_Ago3_SINV_RA.rep

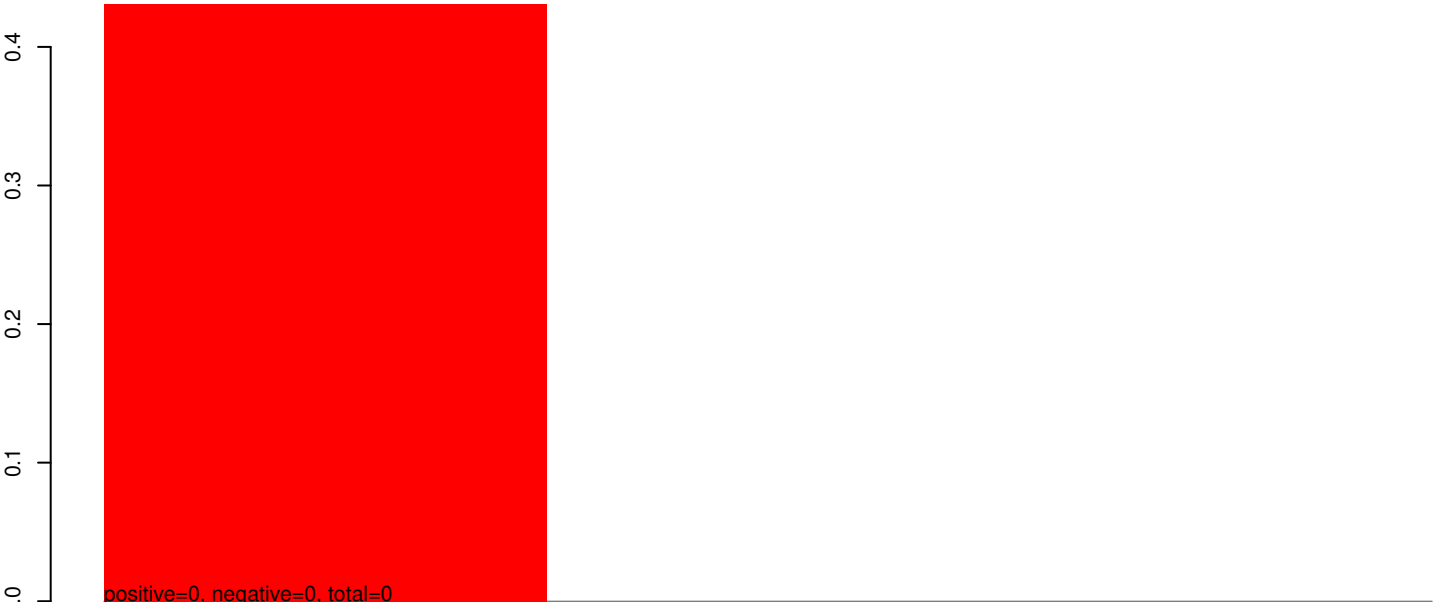


40 60 80 100
size=25 length=73, AAEL028646-RA-irna-3-103003915-103003987-1-gene-AAEL028646:1-73

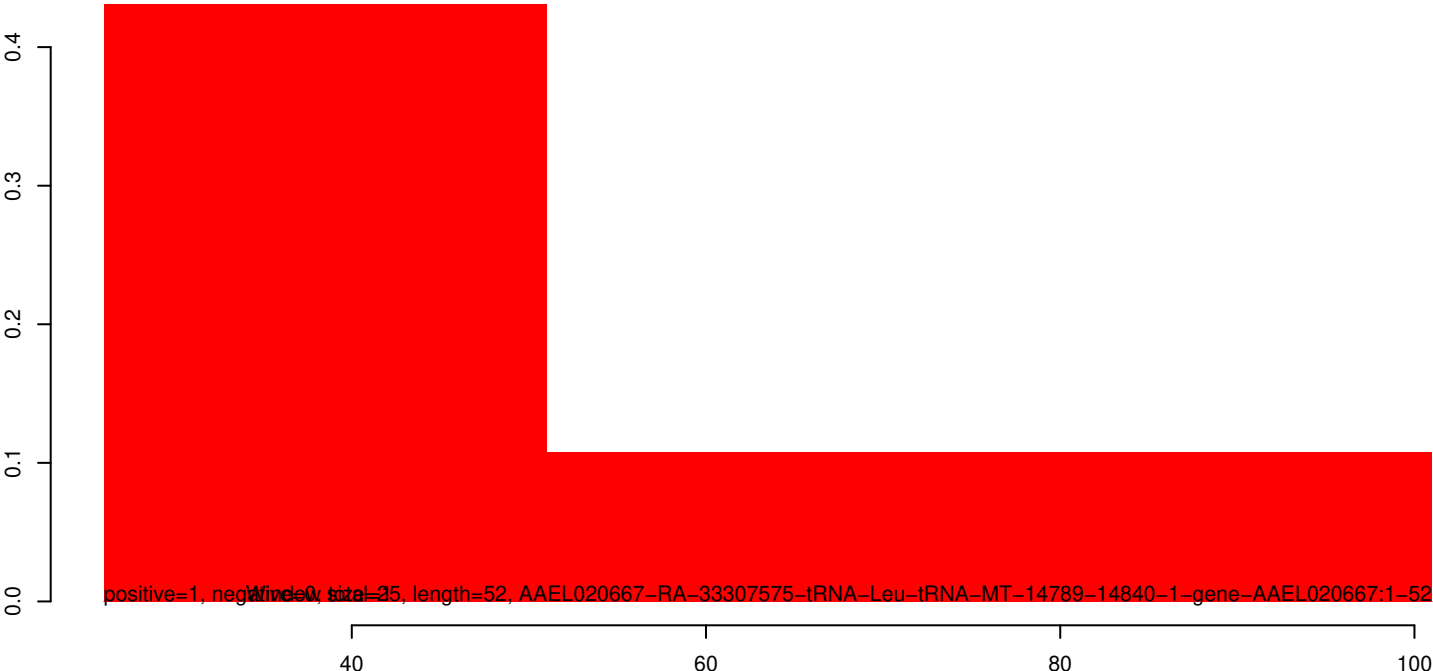
AeAeg_Aag2_Ago3_SINV_RA.18_23.rep



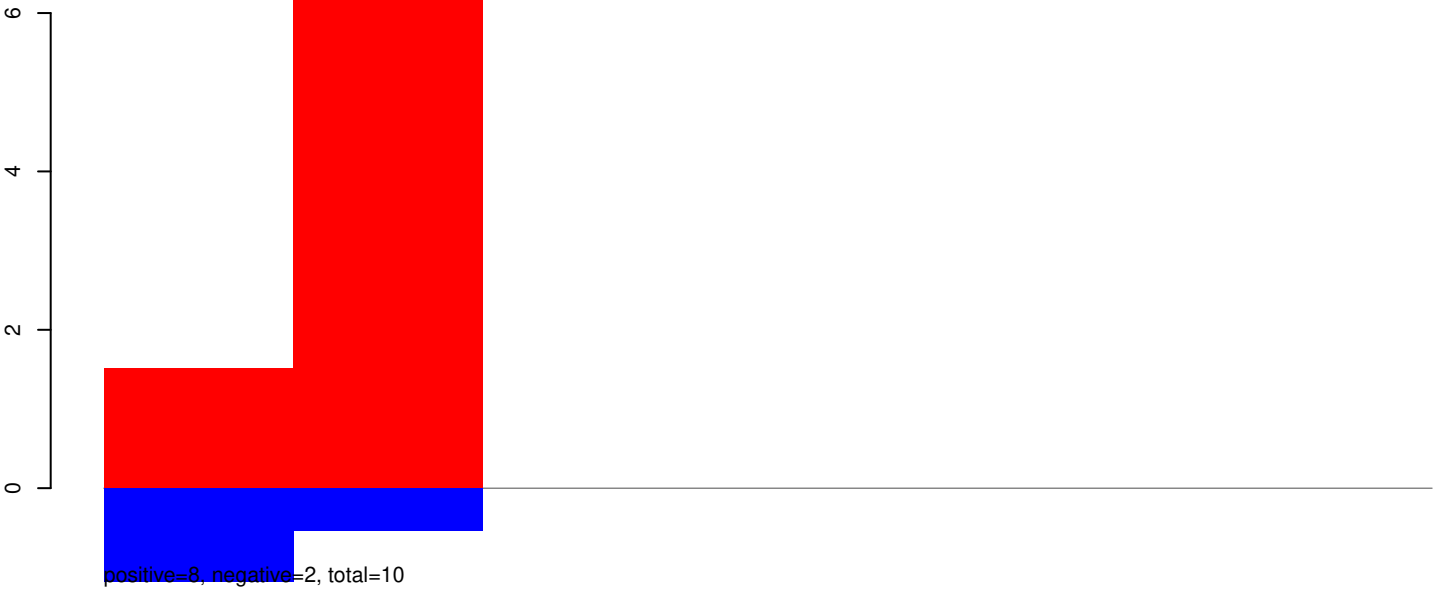
AeAeg_Aag2_Ago3_SINV_RA.24_35.rep



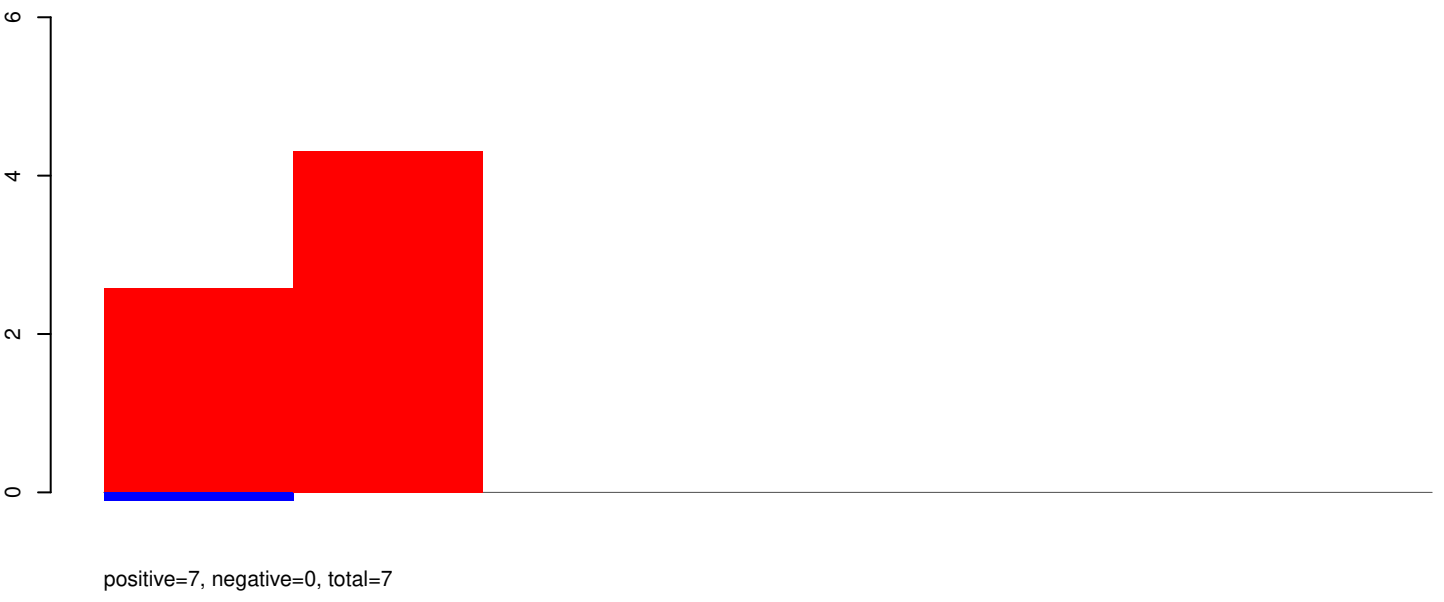
AeAeg_Aag2_Ago3_SINV_RA.rep



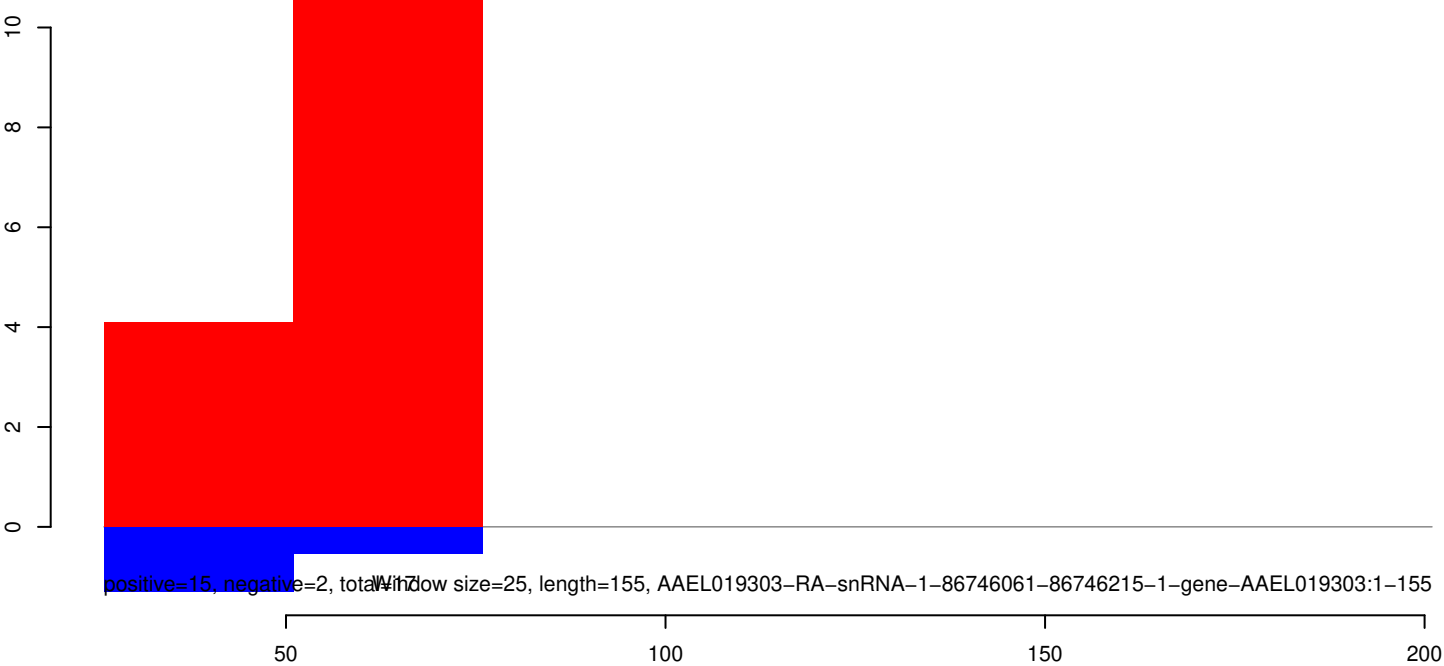
AeAeg_Aag2_Ago3_SINV_RA.18_23.rep



AeAeg_Aag2_Ago3_SINV_RA.24_35.rep



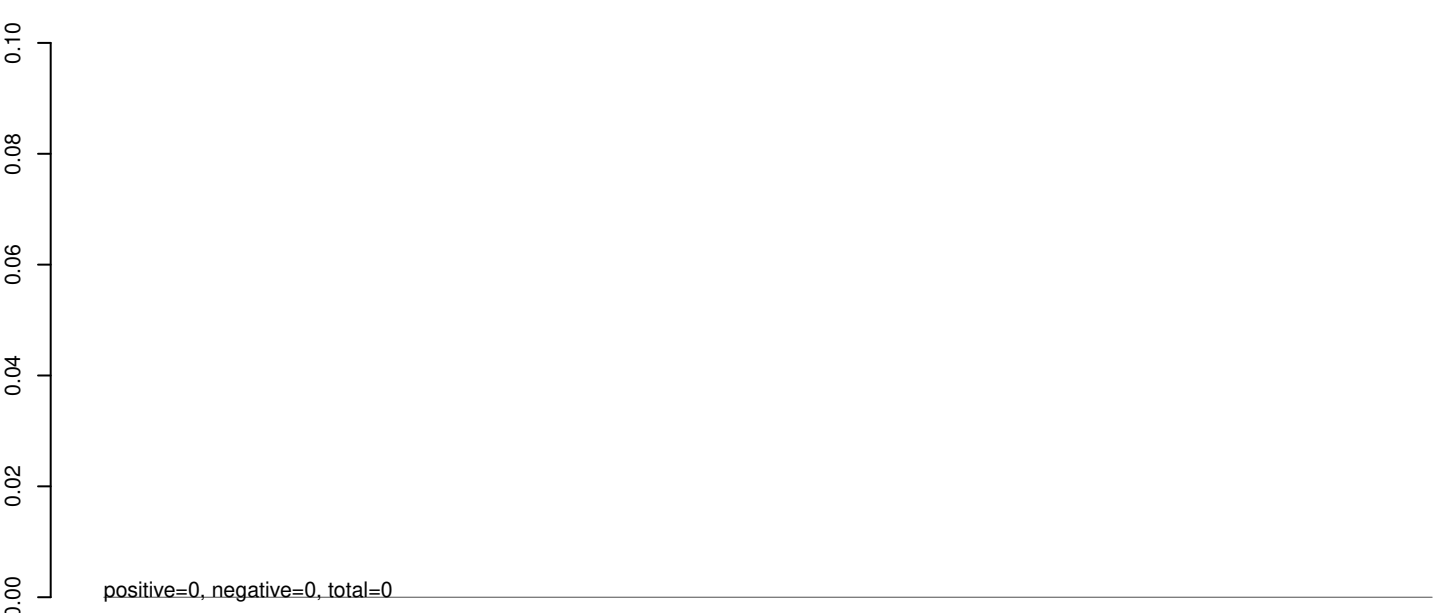
AeAeg_Aag2_Ago3_SINV_RA.rep



AeAeg_Aag2_Ago3_SINV_RA.18_23.rep



AeAeg_Aag2_Ago3_SINV_RA.24_35.rep



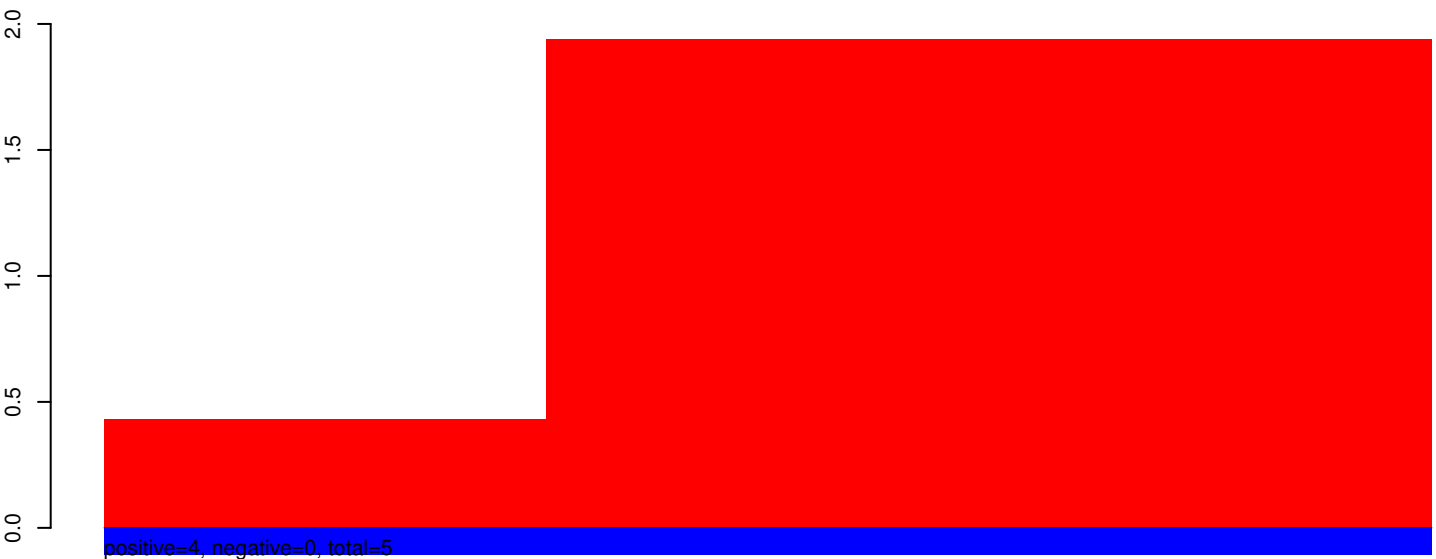
AeAeg_Aag2_Ago3_SINV_RA.rep



positive=0, negative=0, total=0 window size=25, length=142, AAEL019080-RA-snRNA-3-292583187-292583328-1-gene-AAEL019080:1-142

50 100 150

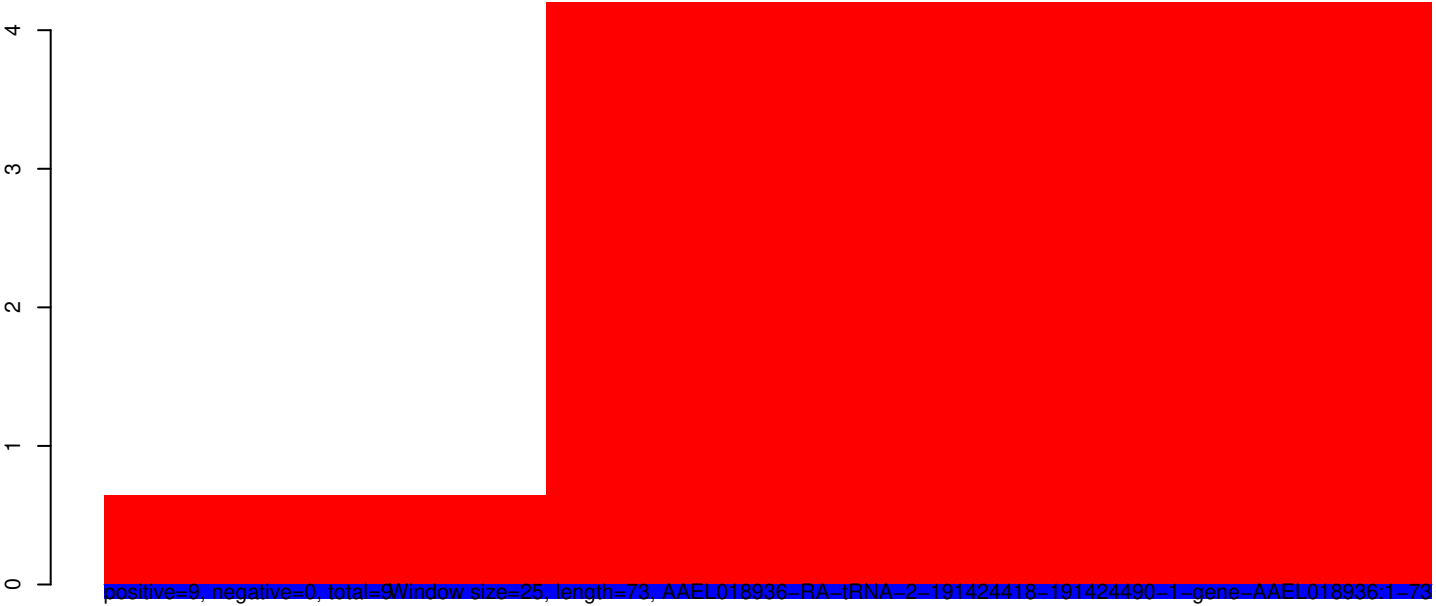
AeAeg_Aag2_Ago3_SINV_RA.18_23.rep



AeAeg_Aag2_Ago3_SINV_RA.24_35.rep

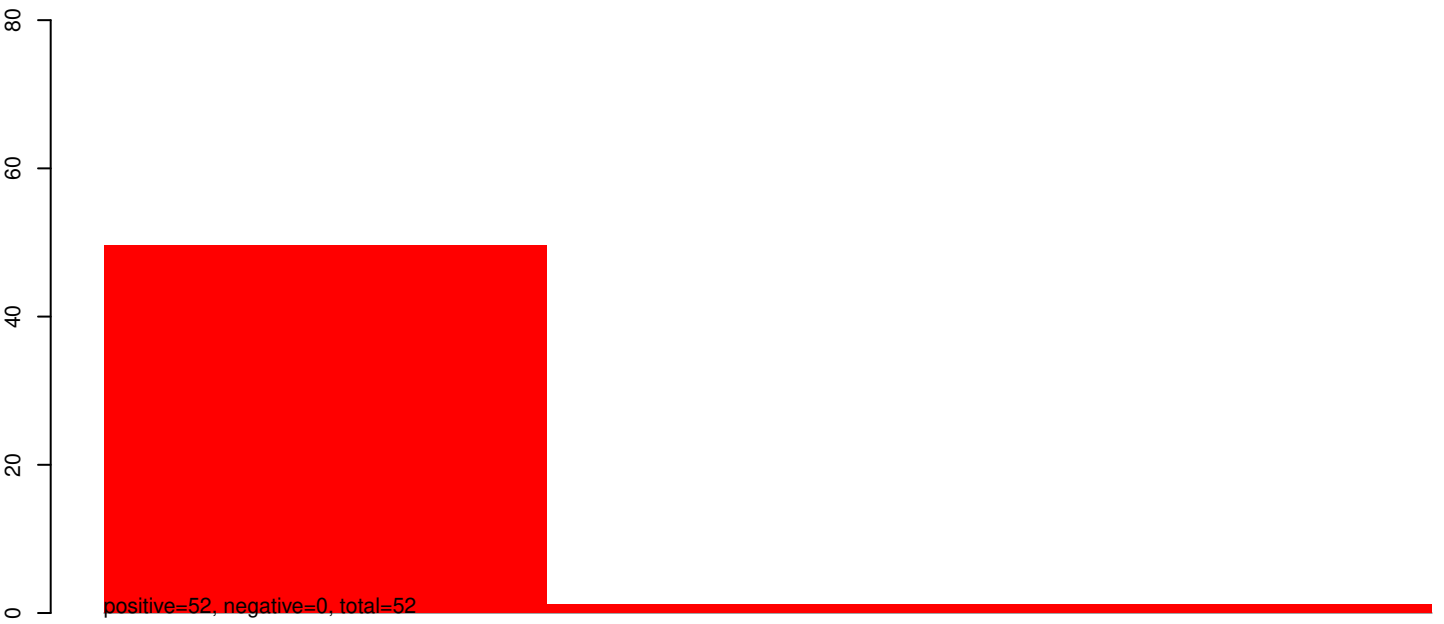


AeAeg_Aag2_Ago3_SINV_RA.rep

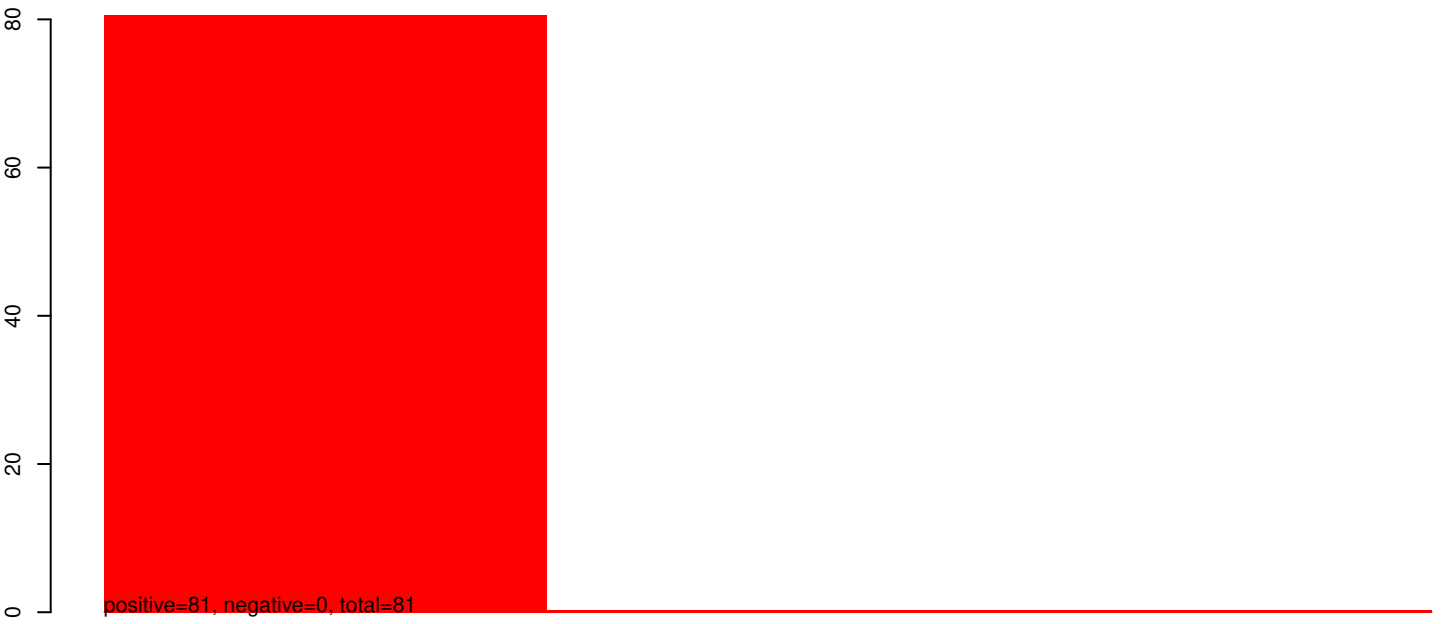


40 60 80 100

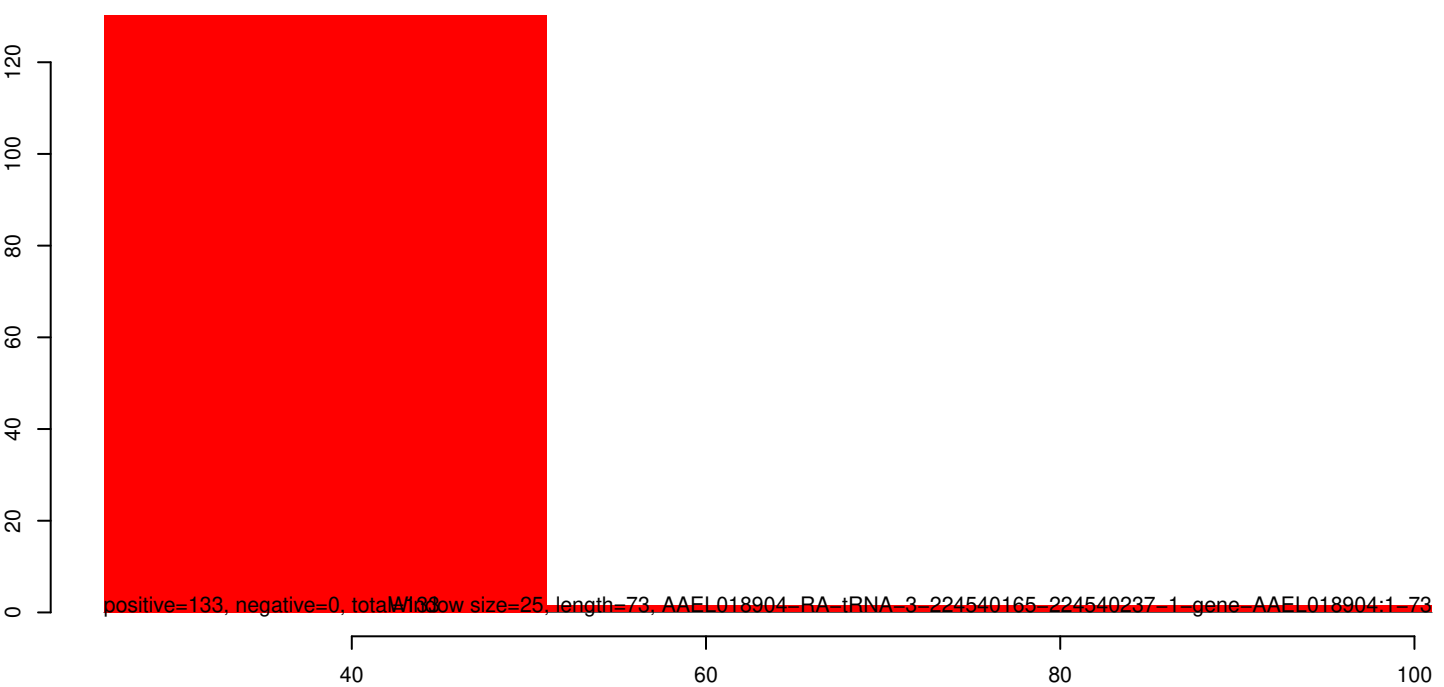
AeAeg_Aag2_Ago3_SINV_RA.18_23.rep



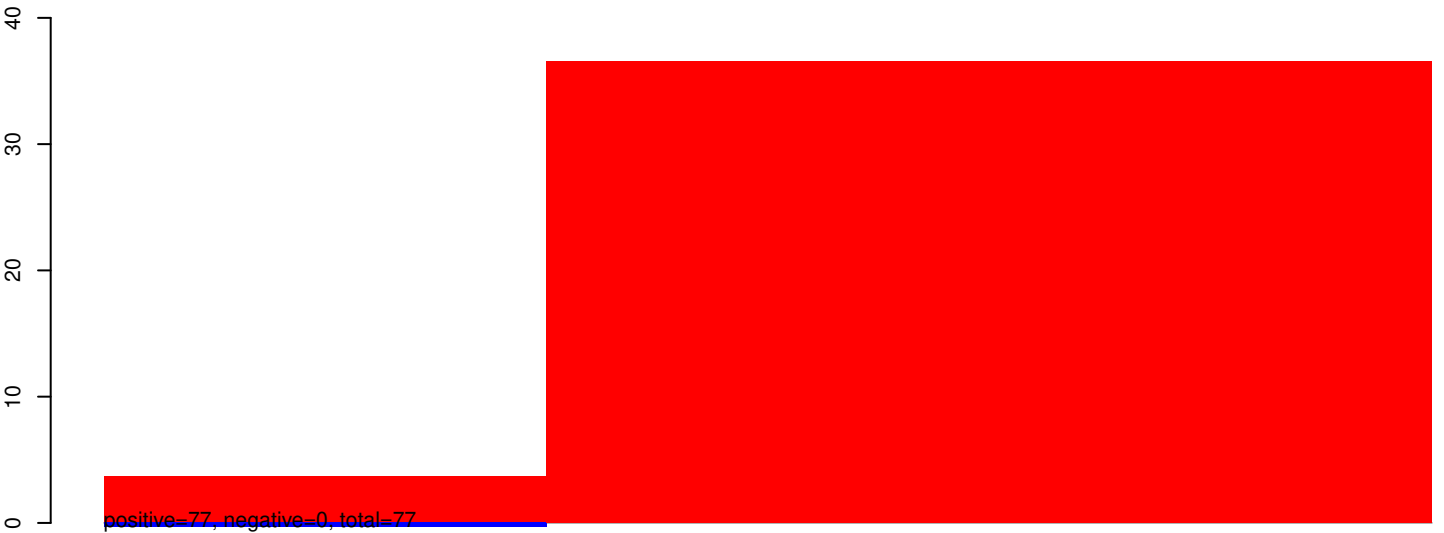
AeAeg_Aag2_Ago3_SINV_RA.24_35.rep



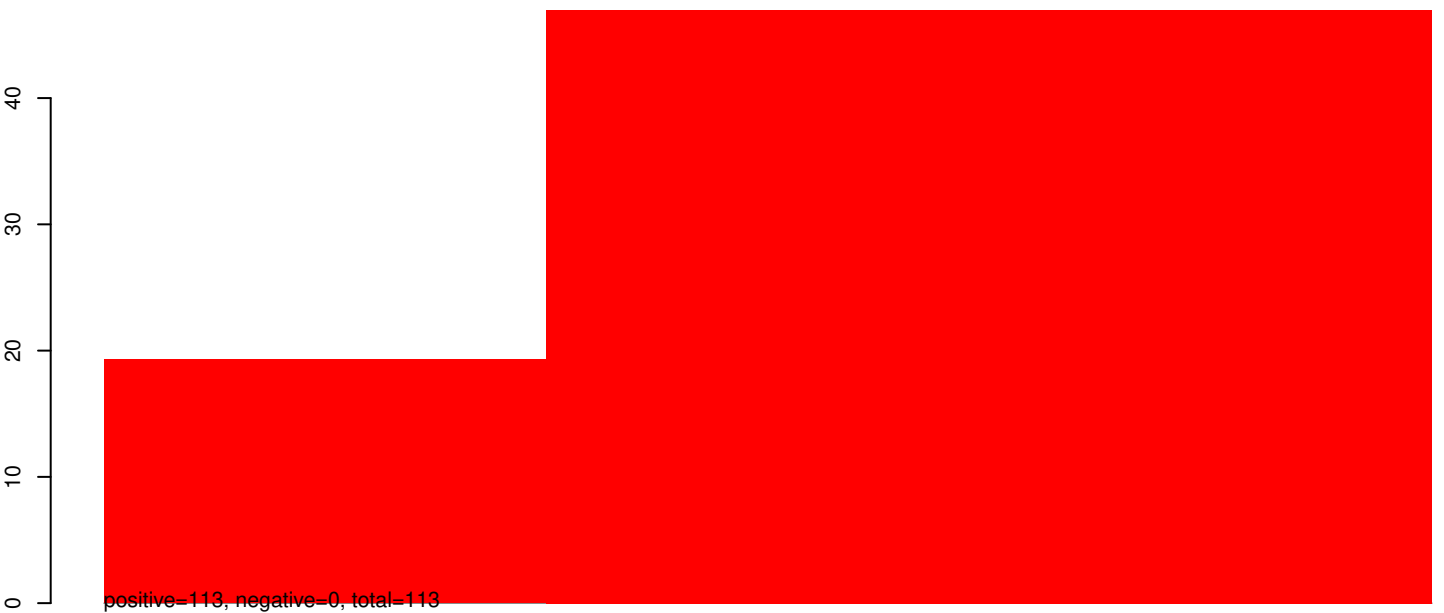
AeAeg_Aag2_Ago3_SINV_RA.rep



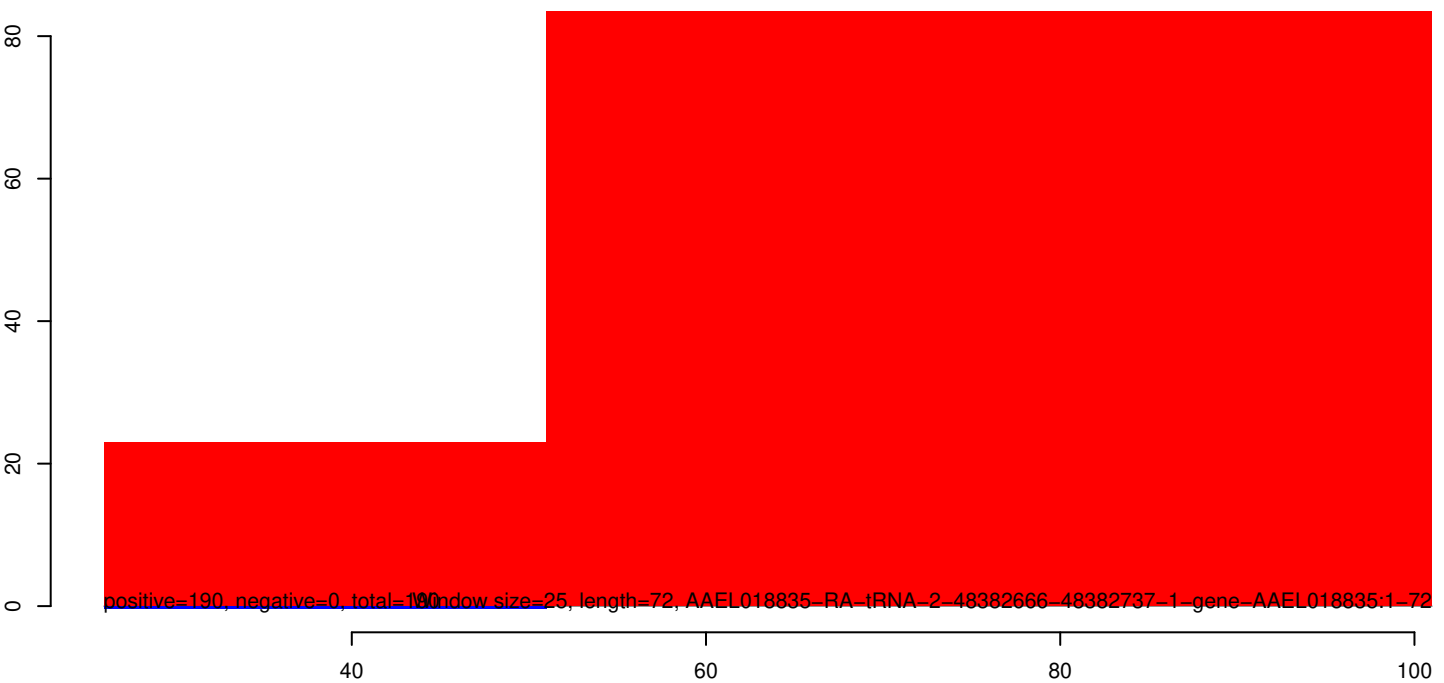
AeAeg_Aag2_Ago3_SINV_RA.18_23.rep



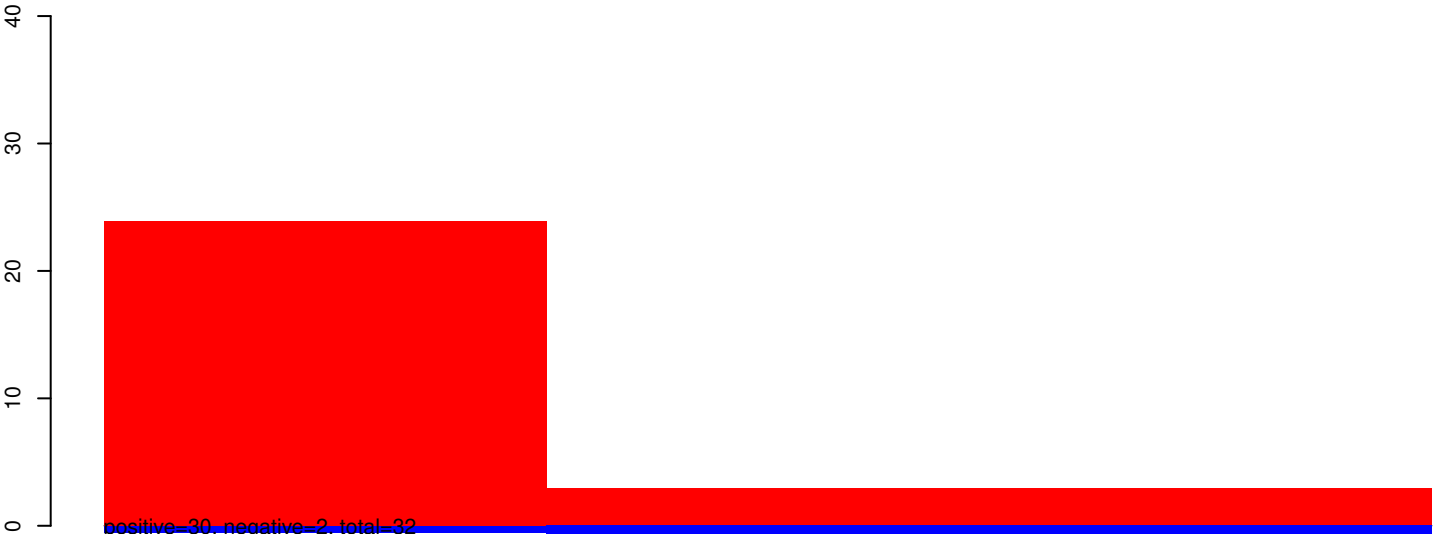
AeAeg_Aag2_Ago3_SINV_RA.24_35.rep



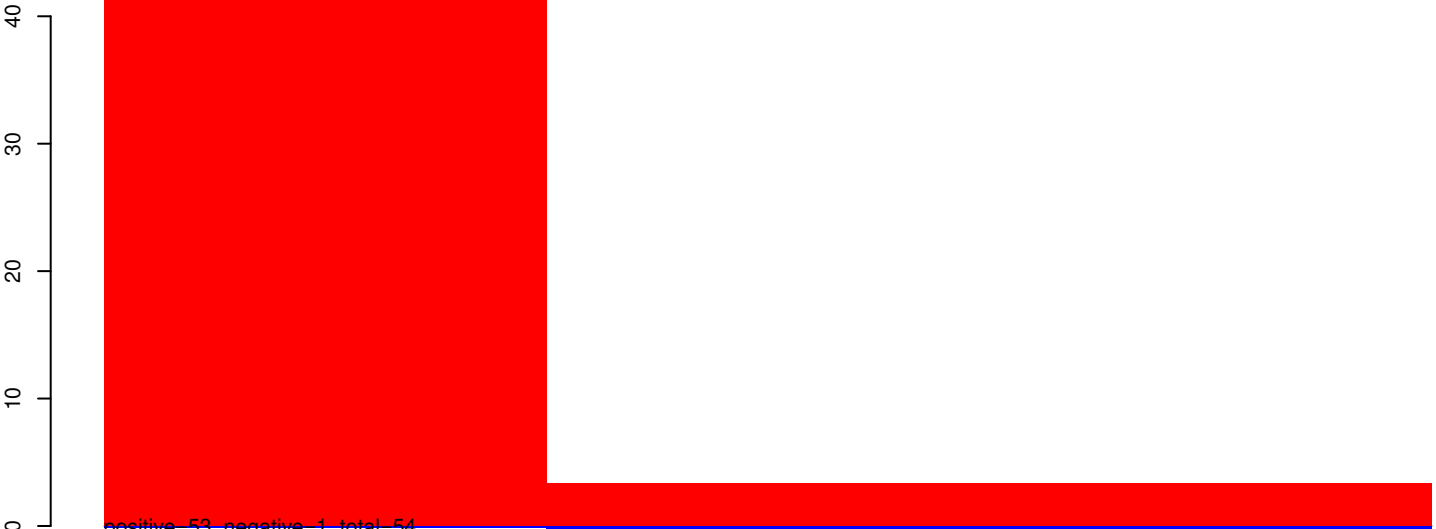
AeAeg_Aag2_Ago3_SINV_RA.rep



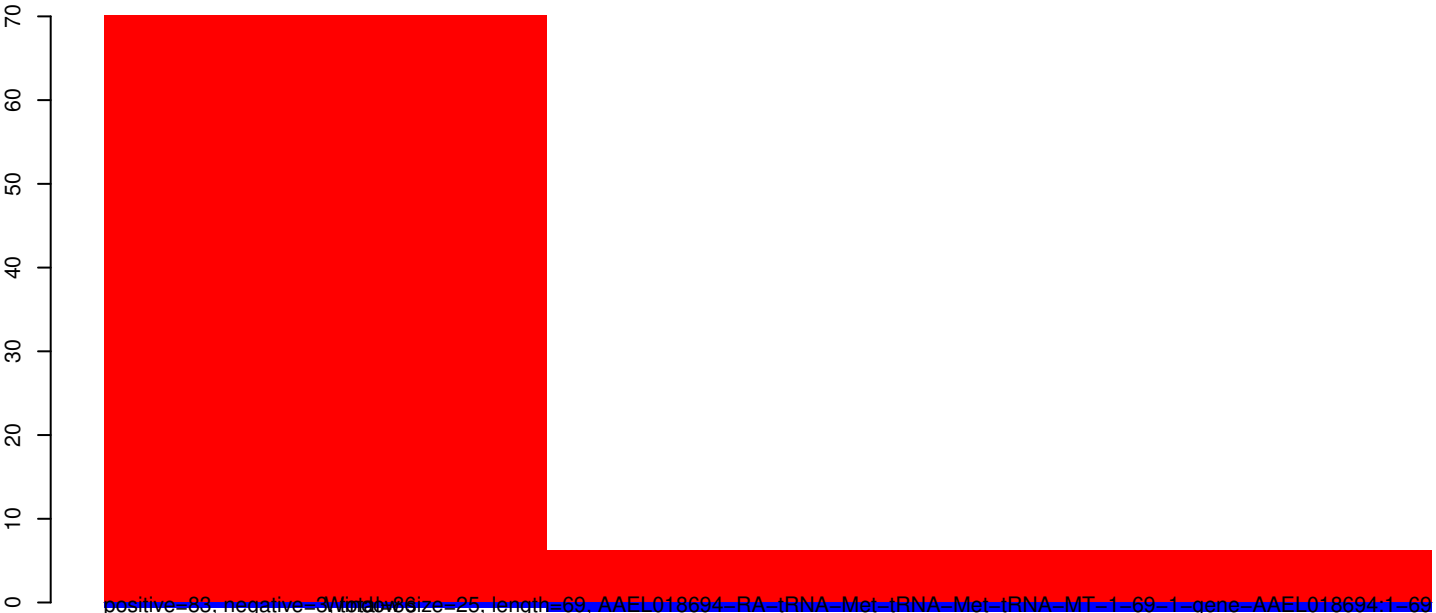
AeAeg_Aag2_Ago3_SINV_RA.18_23.rep



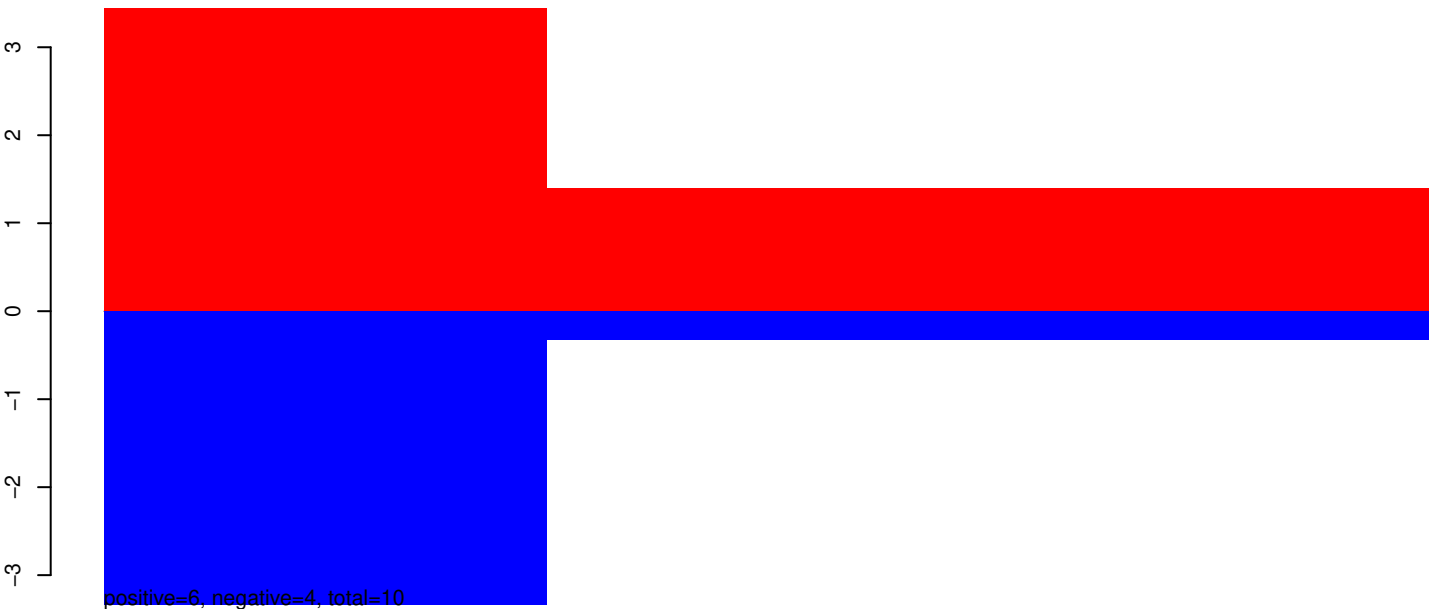
AeAeg_Aag2_Ago3_SINV_RA.24_35.rep



AeAeg_Aag2_Ago3_SINV_RA.rep



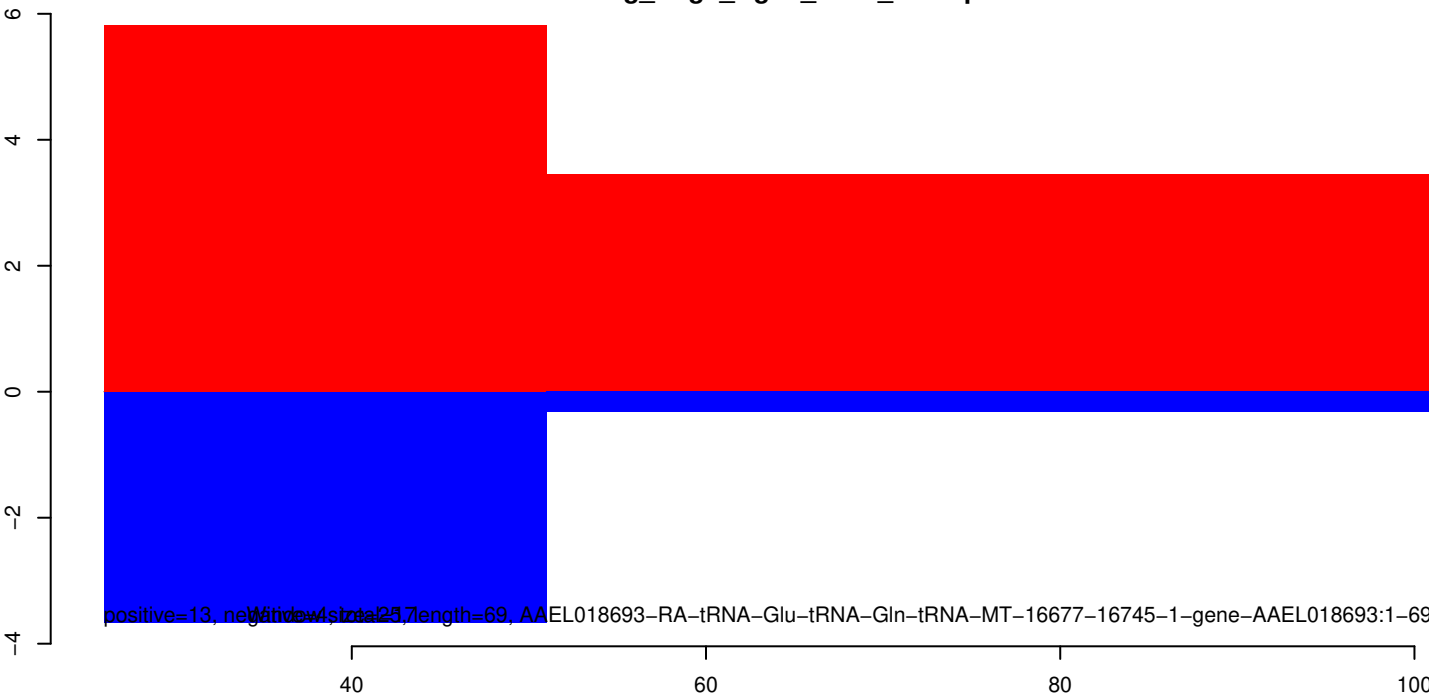
AeAeg_Aag2_Ago3_SINV_RA.18_23.rep



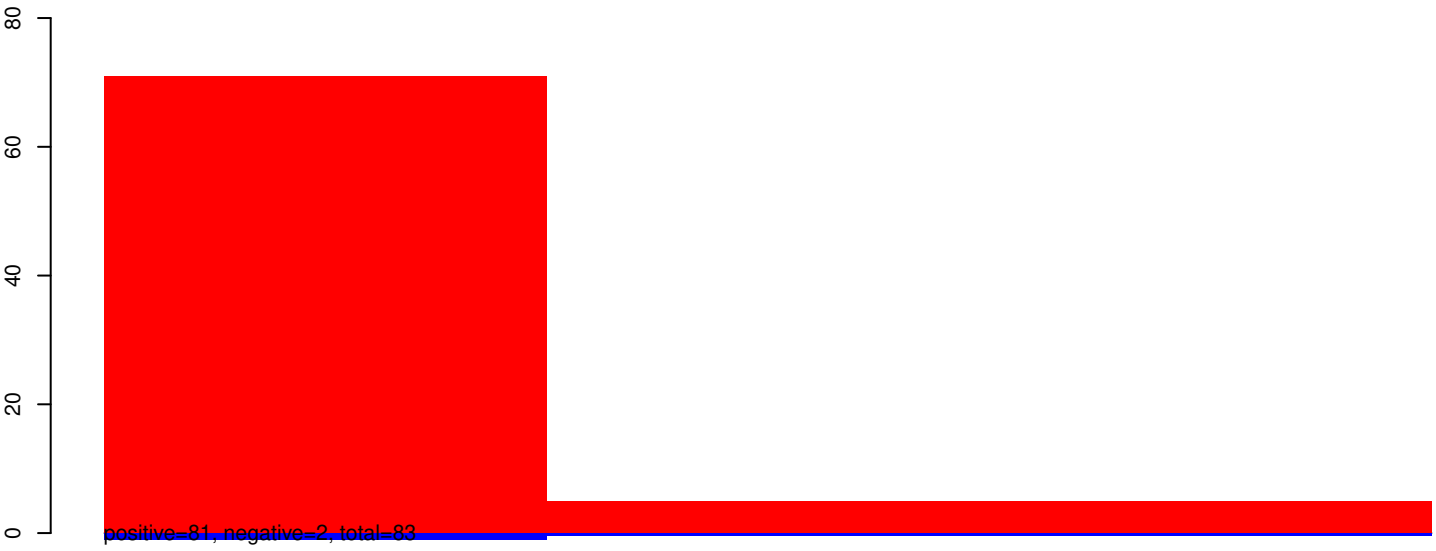
AeAeg_Aag2_Ago3_SINV_RA.24_35.rep



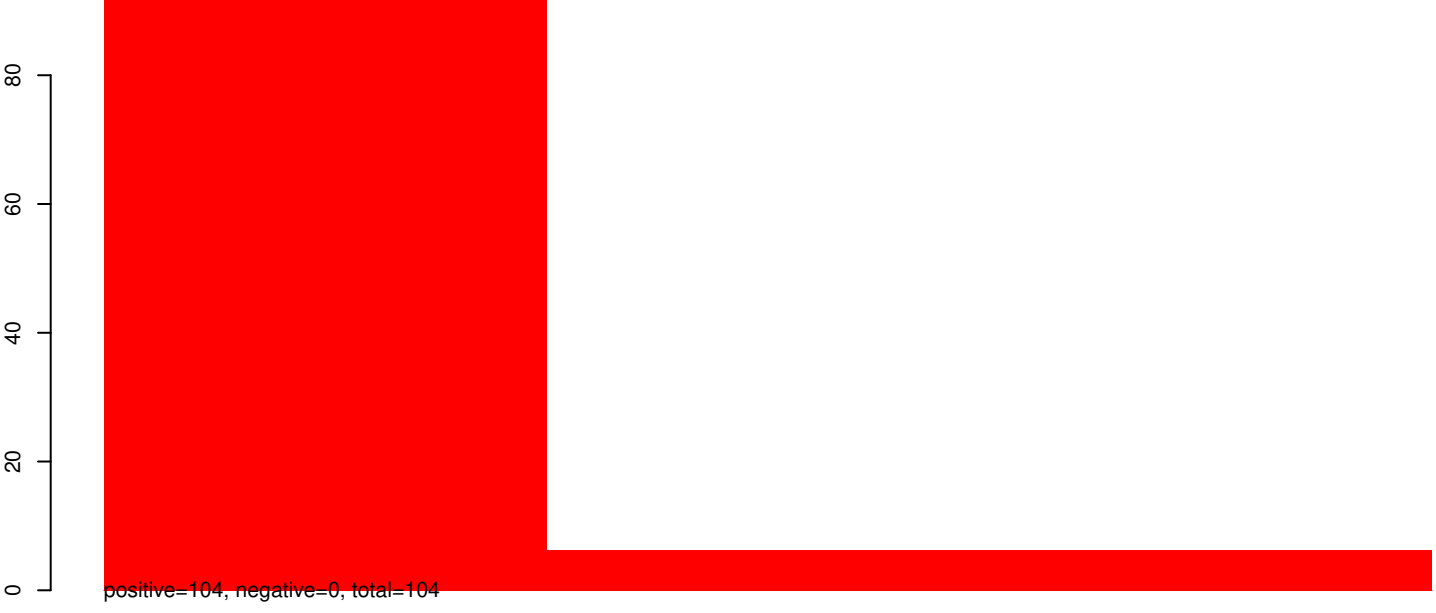
AeAeg_Aag2_Ago3_SINV_RA.rep



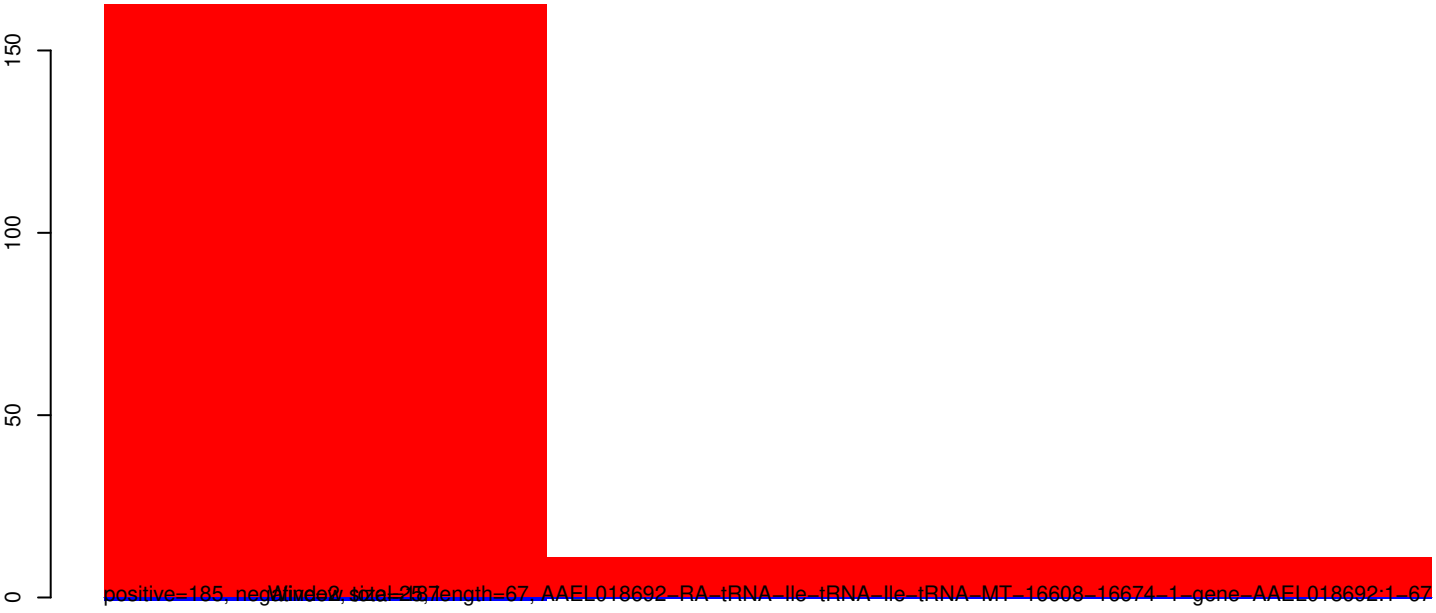
AeAeg_Aag2_Ago3_SINV_RA.18_23.rep



AeAeg_Aag2_Ago3_SINV_RA.24_35.rep



AeAeg_Aag2_Ago3_SINV_RA.rep

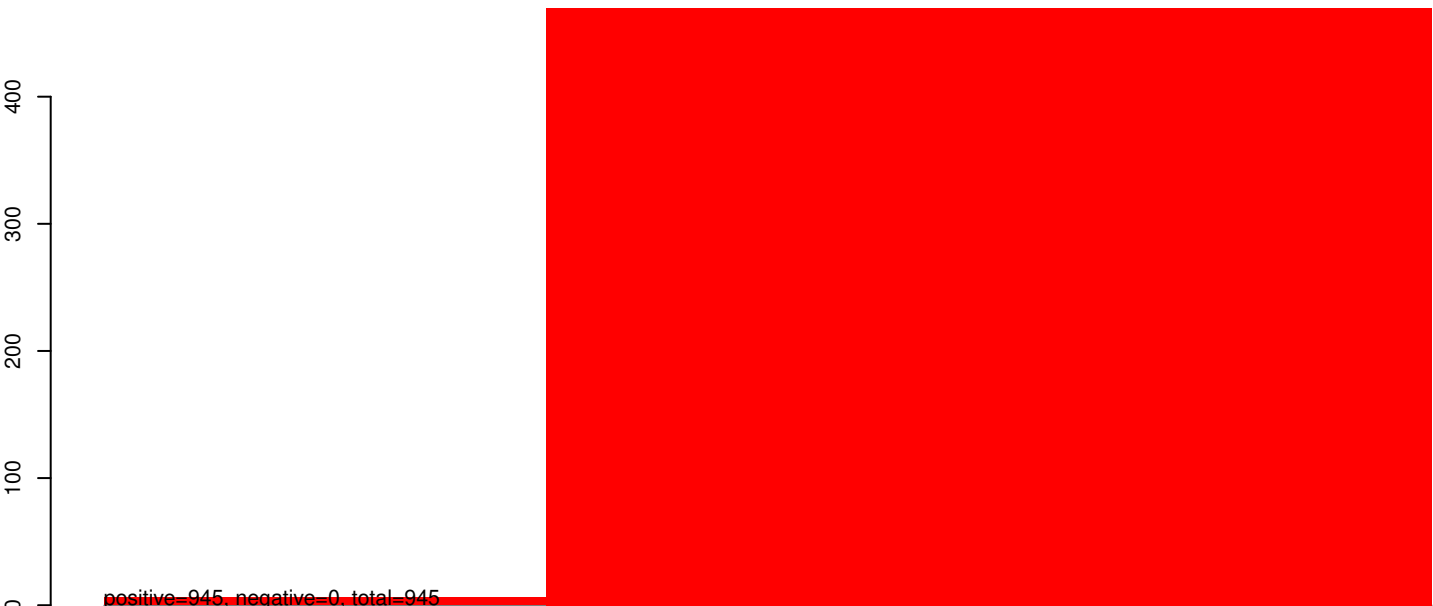


40 60 80 100

AeAeg_Aag2_Ago3_SINV_RA.18_23.rep



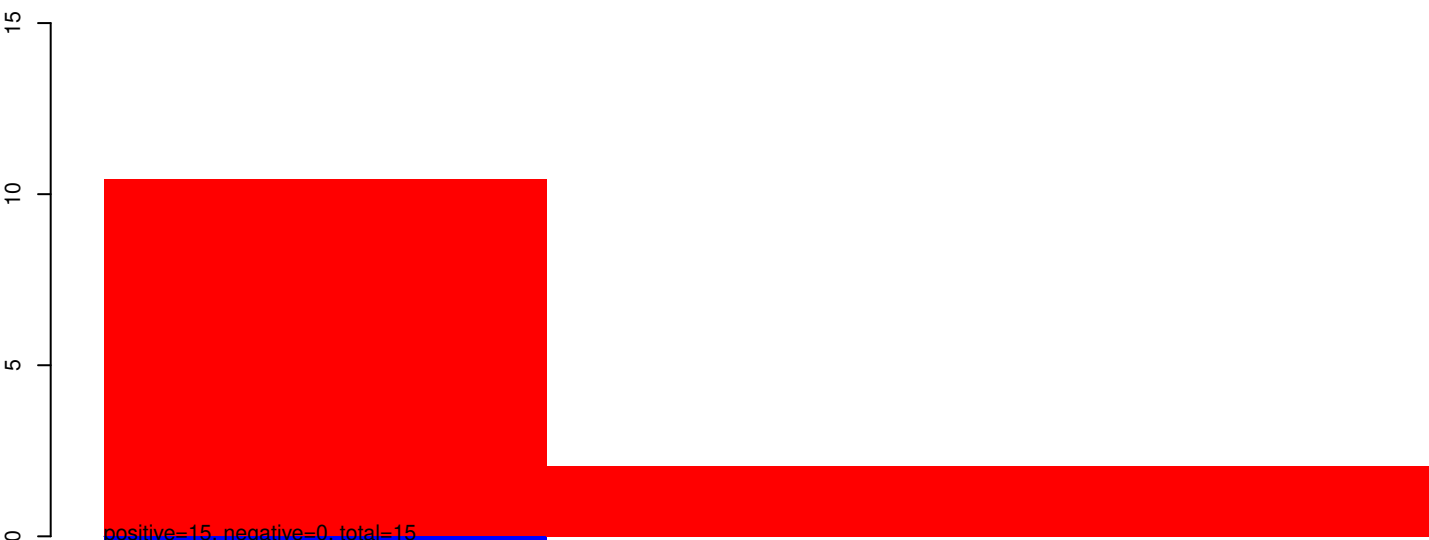
AeAeg_Aag2_Ago3_SINV_RA.24_35.rep



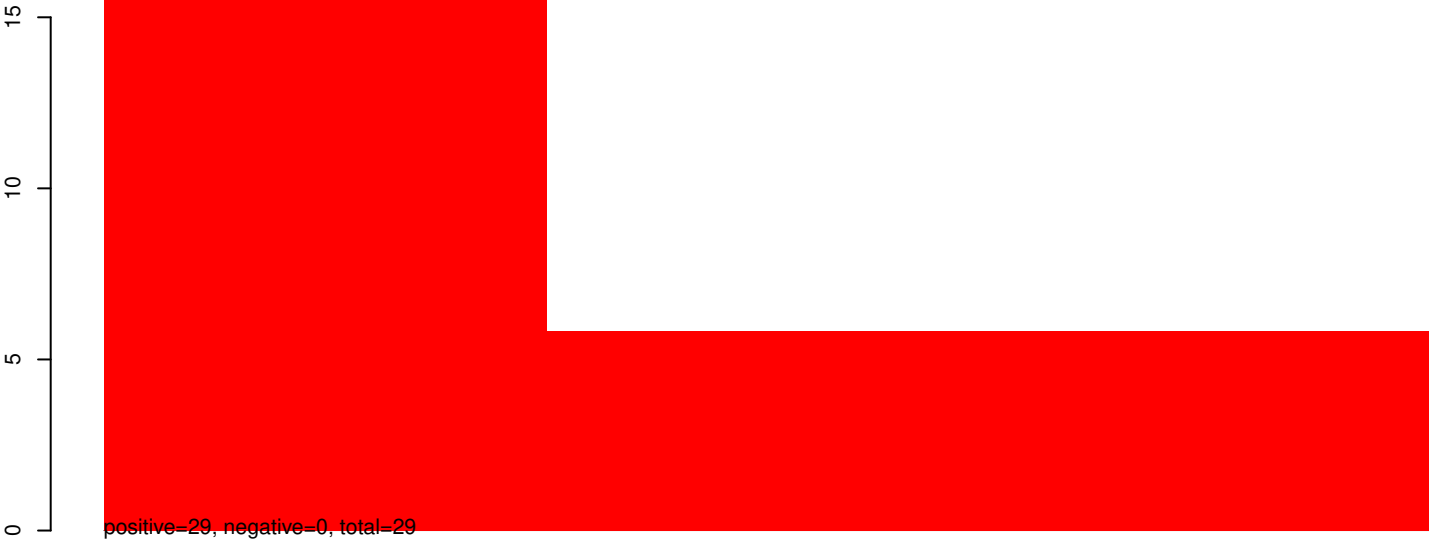
AeAeg_Aag2_Ago3_SINV_RA.rep



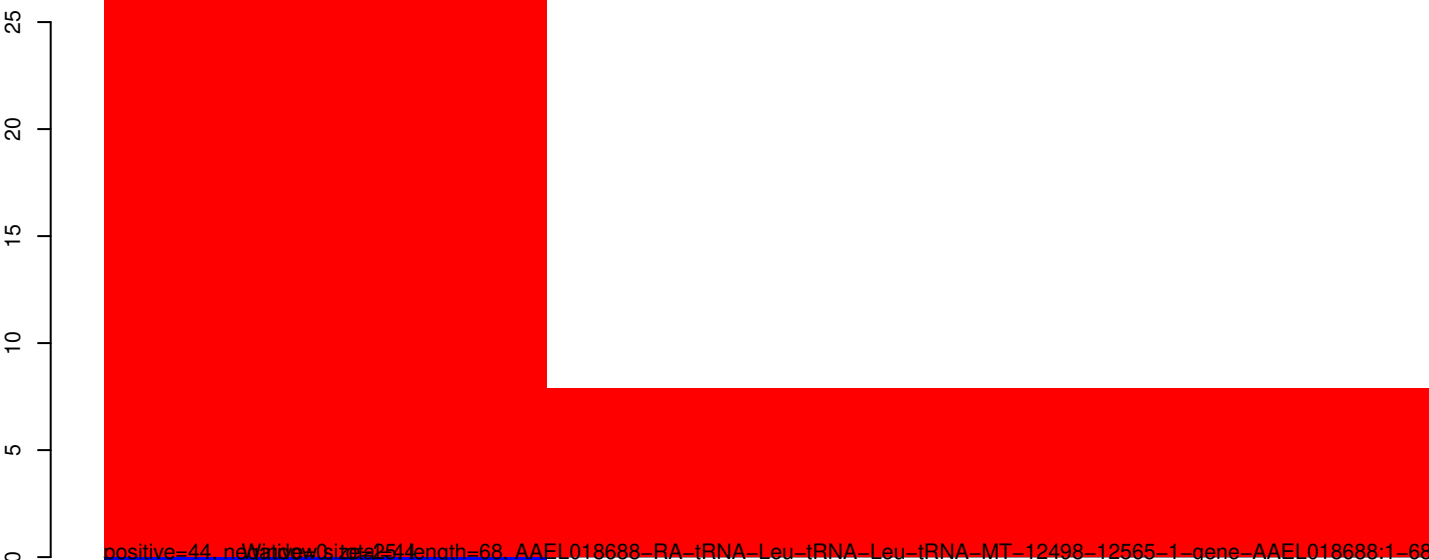
AeAeg_Aag2_Ago3_SINV_RA.18_23.rep



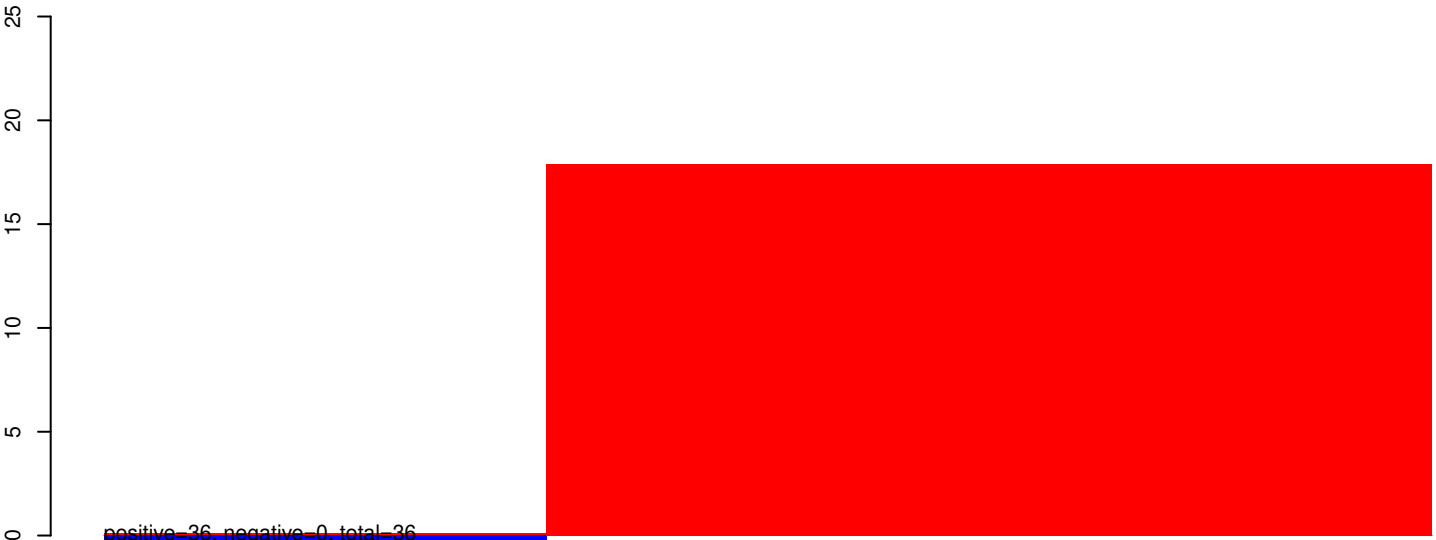
AeAeg_Aag2_Ago3_SINV_RA.24_35.rep



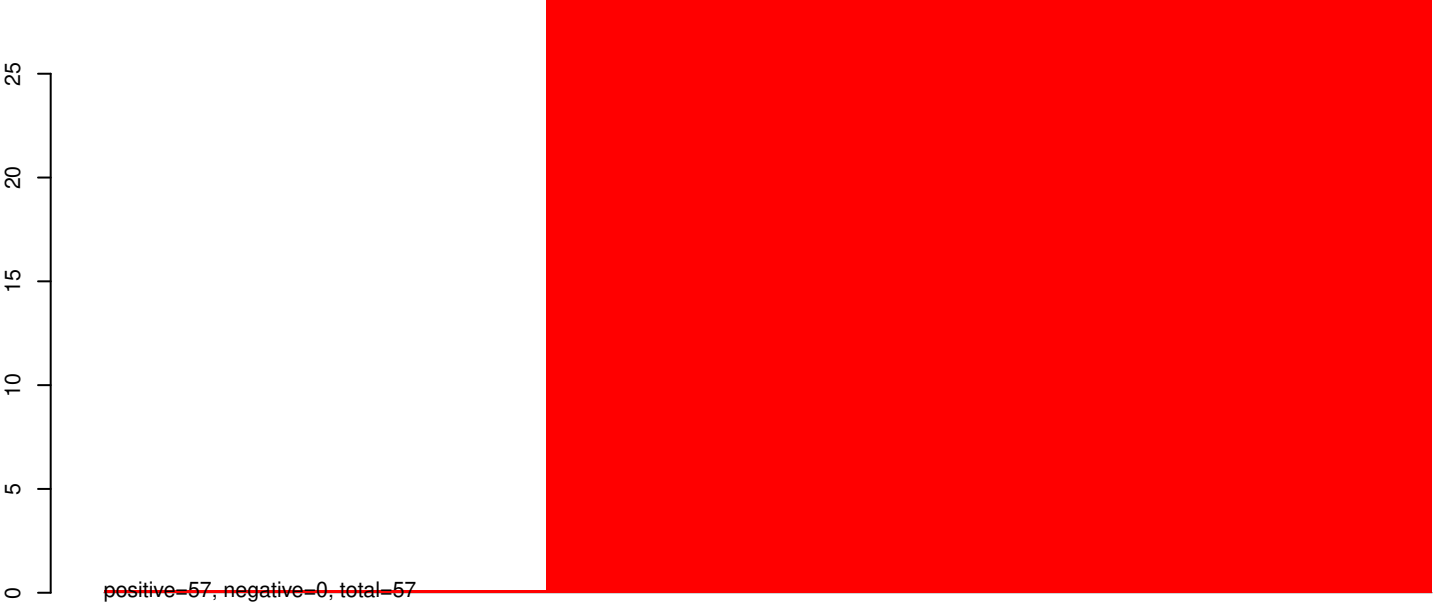
AeAeg_Aag2_Ago3_SINV_RA.rep



AeAeg_Aag2_Ago3_SINV_RA.18_23.rep



AeAeg_Aag2_Ago3_SINV_RA.24_35.rep



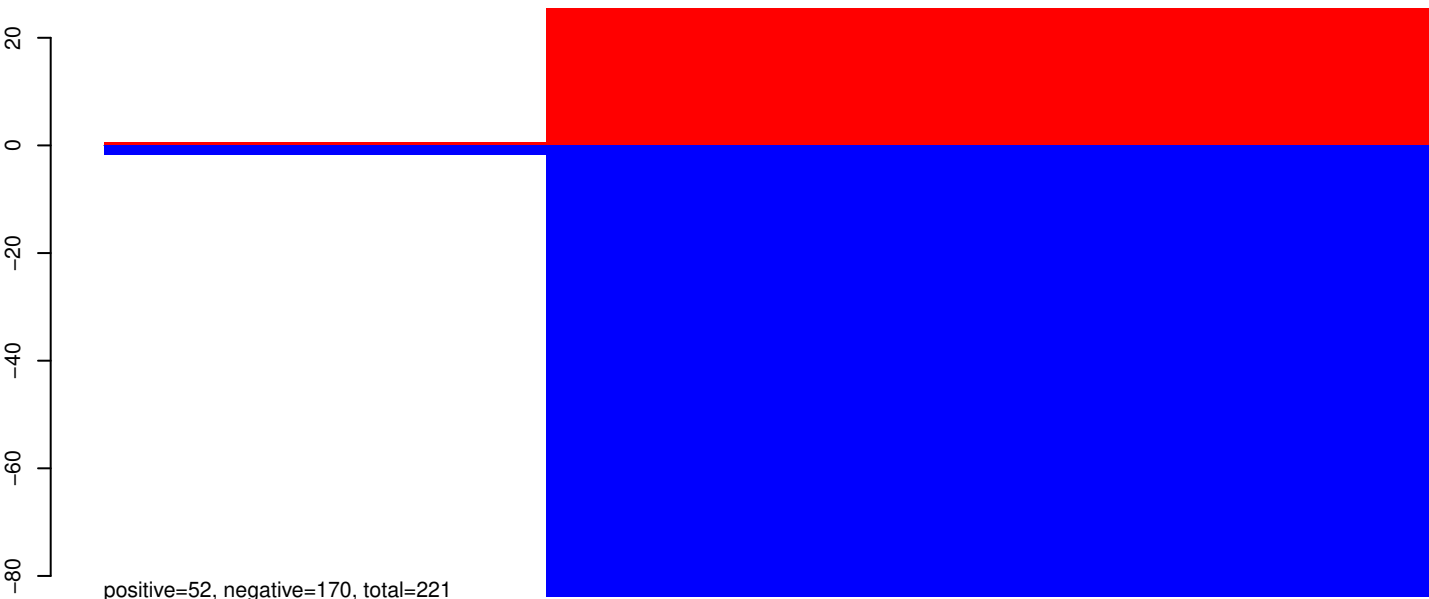
AeAeg_Aag2_Ago3_SINV_RA.rep



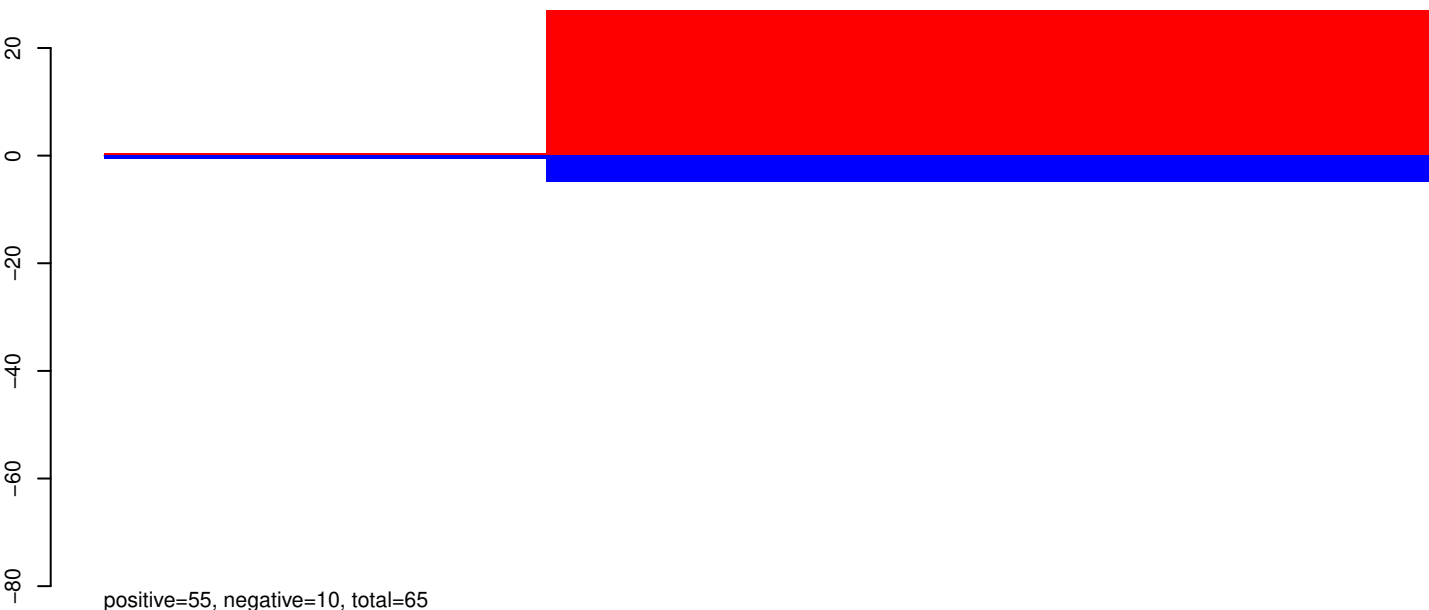
Window size=25, length=66, AAEL018686-RA-tRNA-Ser-tRNA-Ser-tRNA-MT-11458-11523-1-gene-AAEL018686:1-66

40 60 80 100

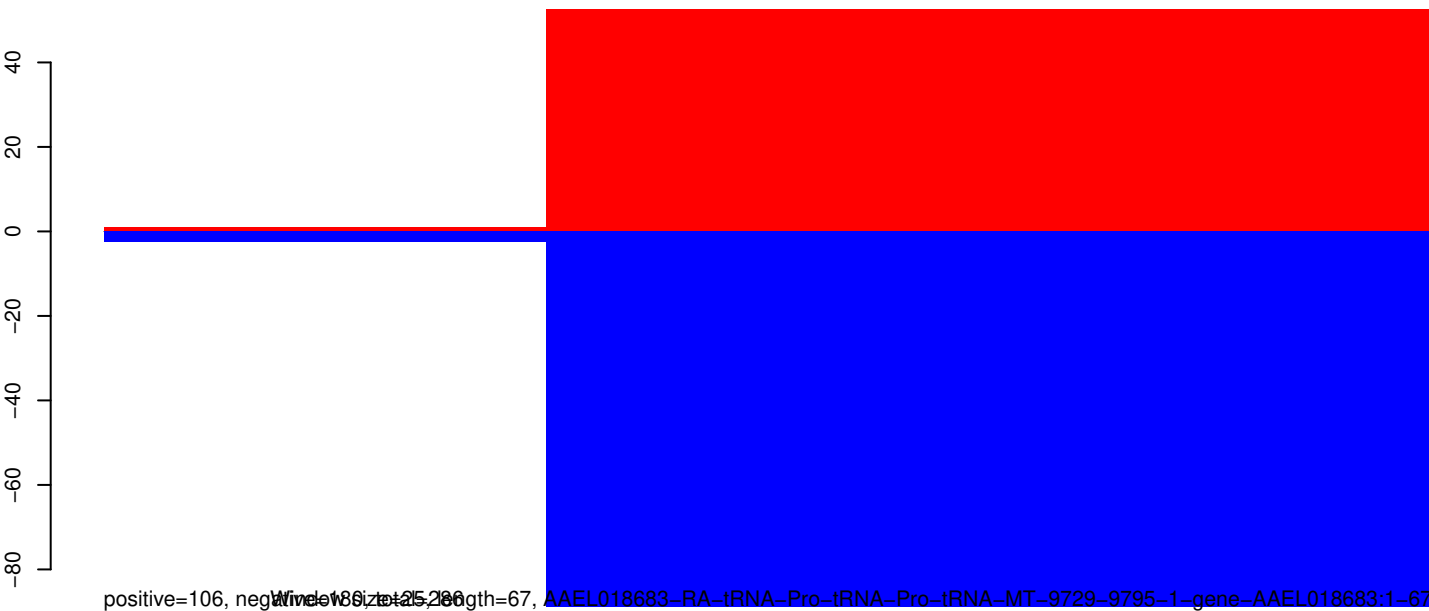
AeAeg_Aag2_Ago3_SINV_RA.18_23.rep



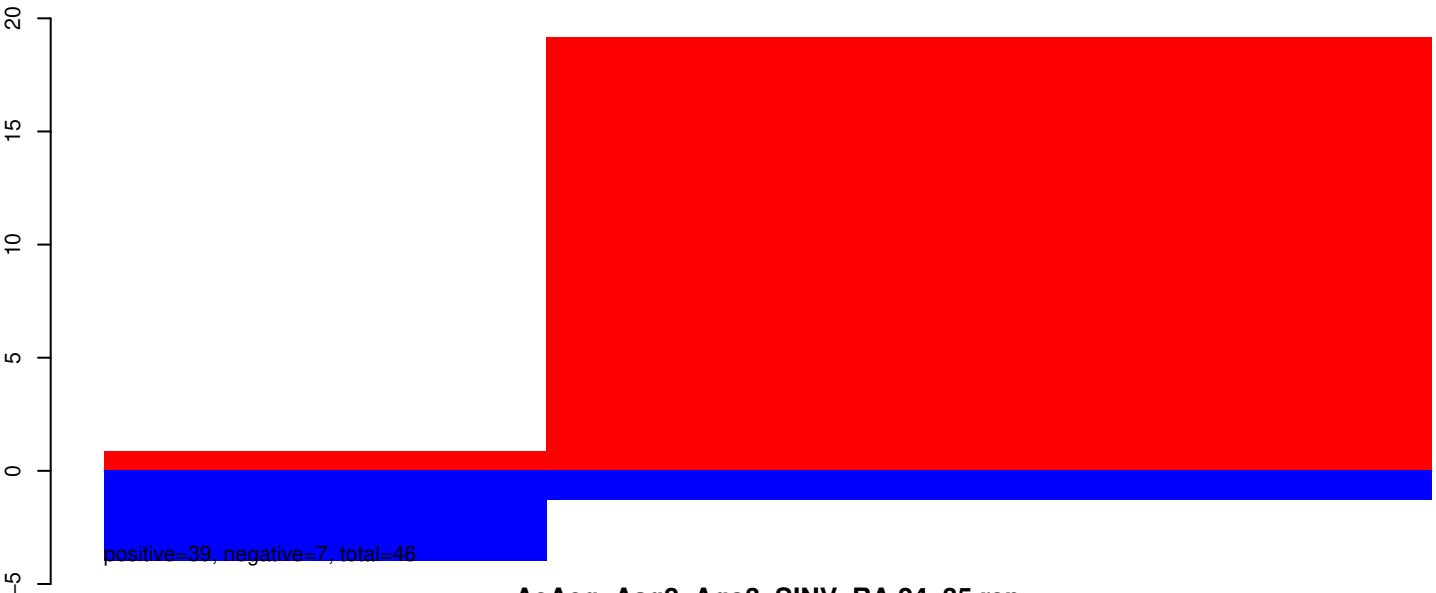
AeAeg_Aag2_Ago3_SINV_RA.24_35.rep



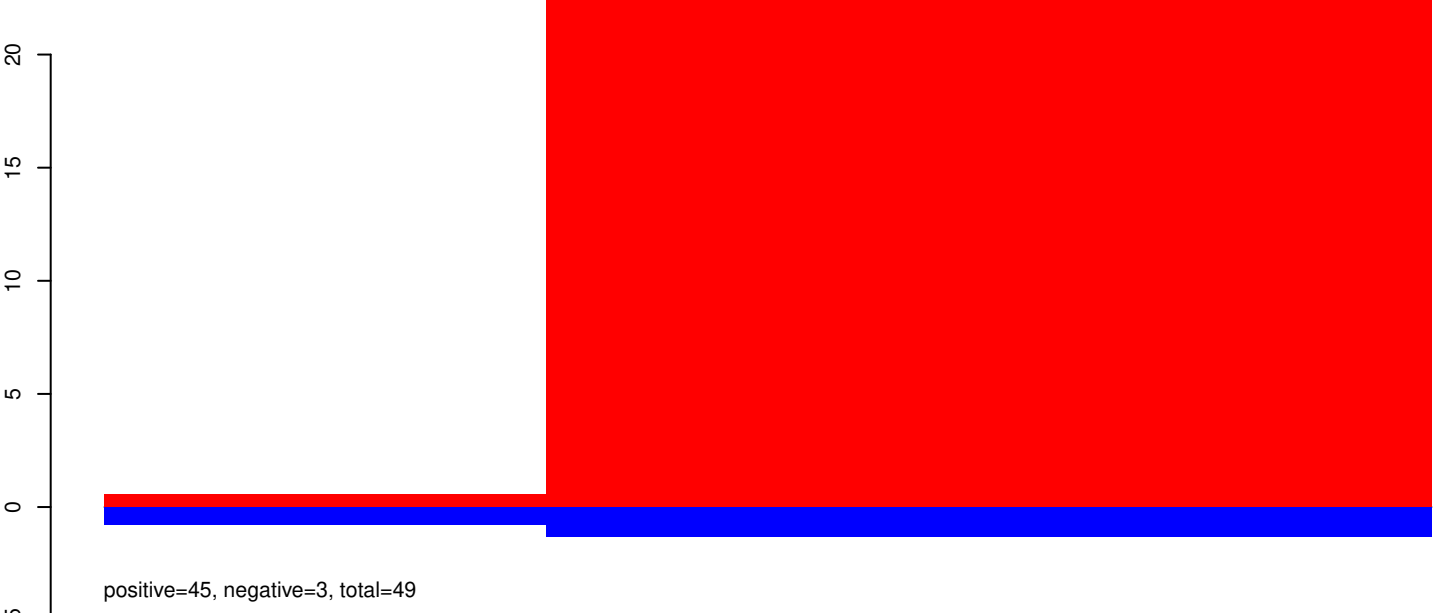
AeAeg_Aag2_Ago3_SINV_RA.rep



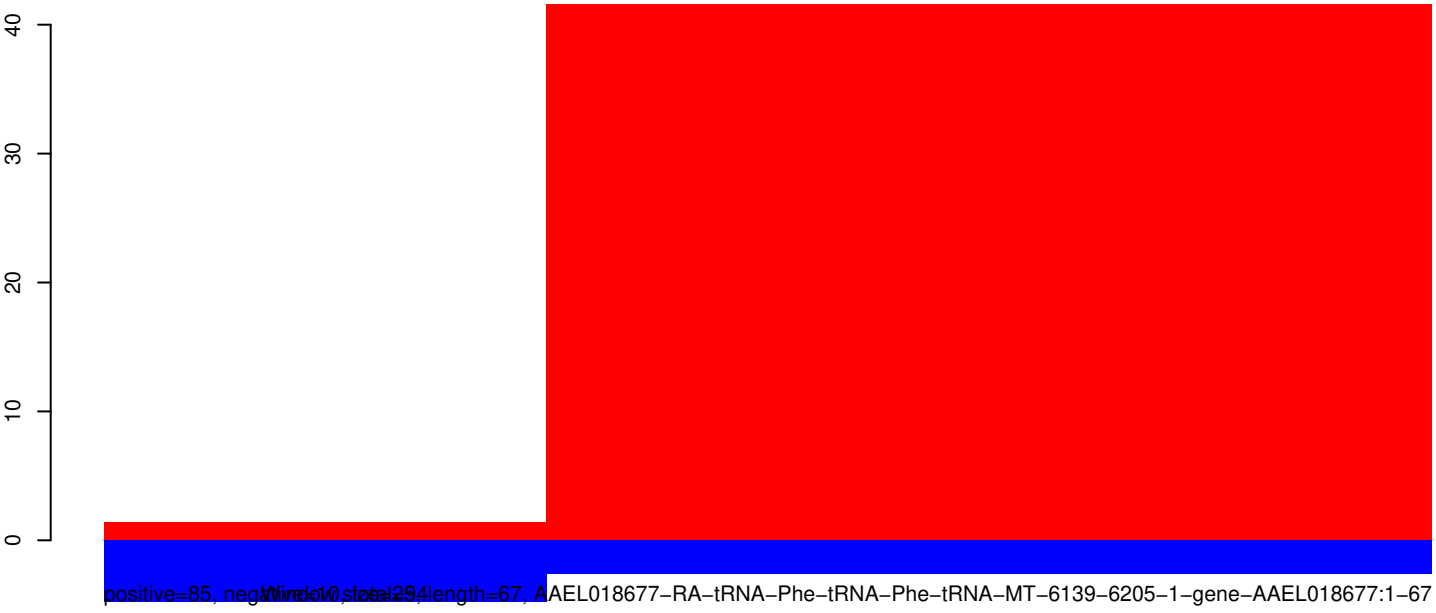
AeAeg_Aag2_Ago3_SINV_RA.18_23.rep



AeAeg_Aag2_Ago3_SINV_RA.24_35.rep



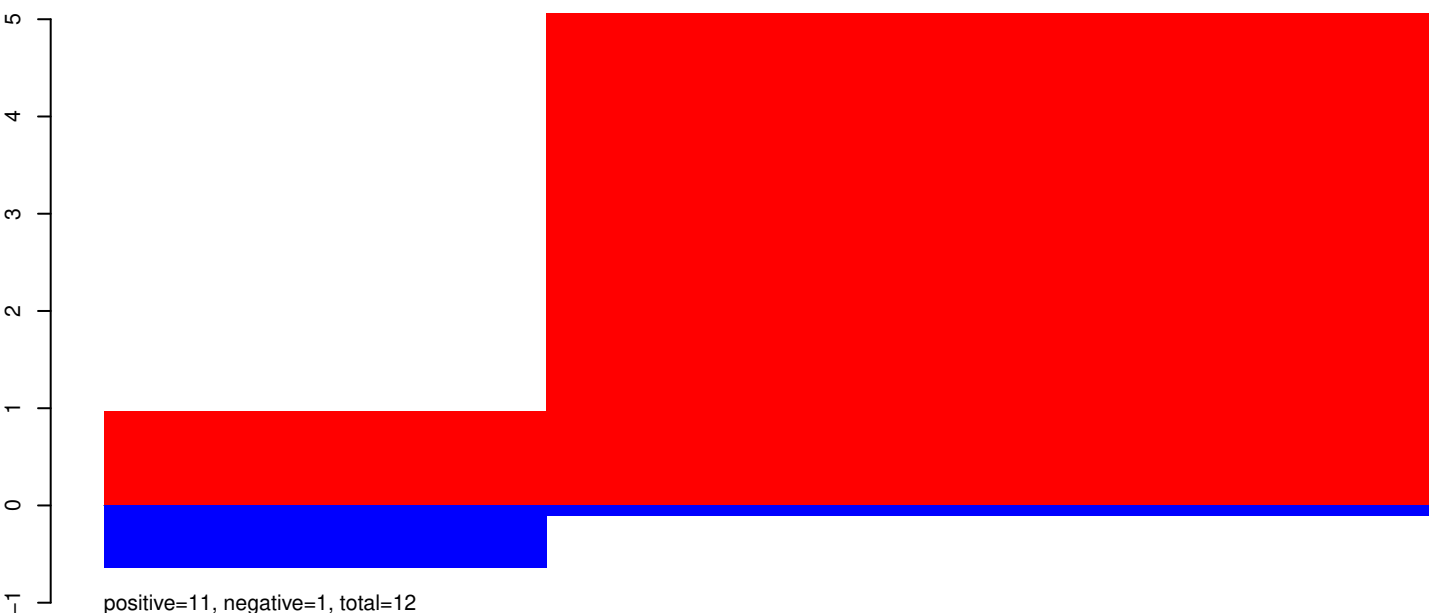
AeAeg_Aag2_Ago3_SINV_RA.rep



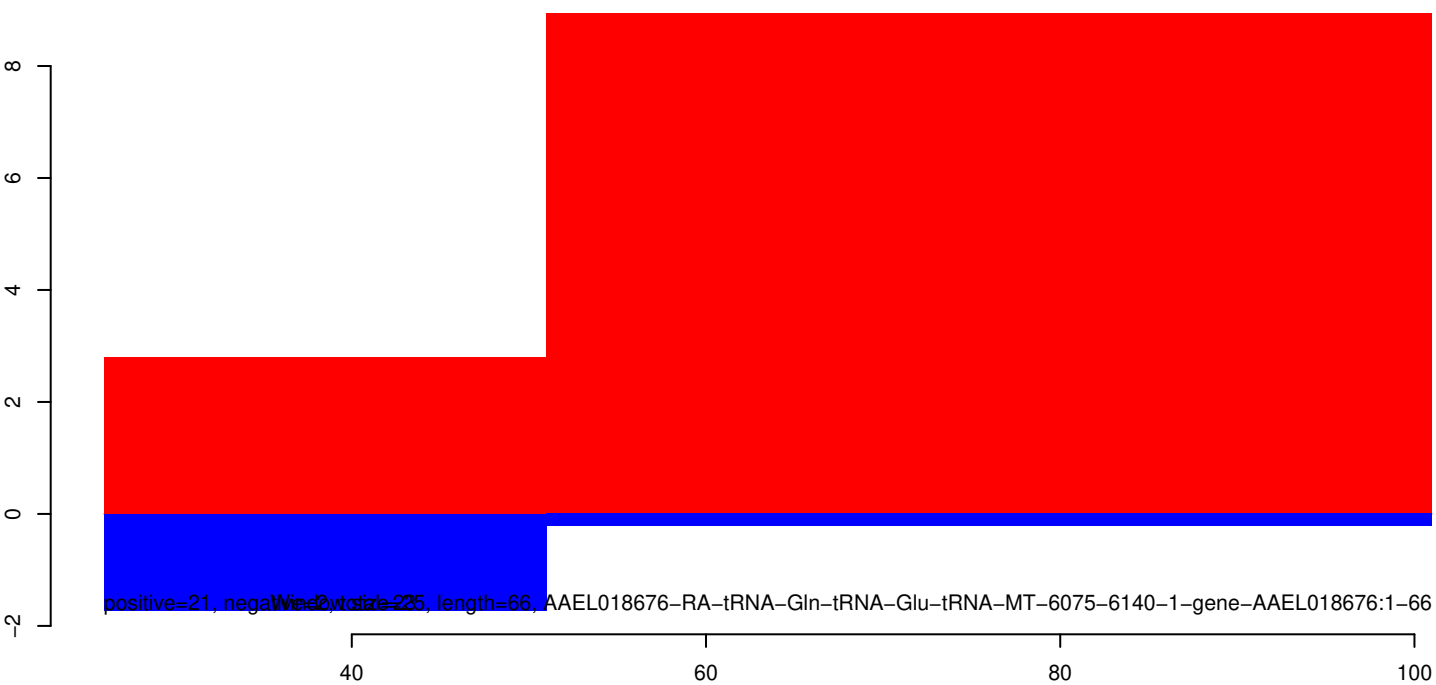
AeAeg_Aag2_Ago3_SINV_RA.18_23.rep



AeAeg_Aag2_Ago3_SINV_RA.24_35.rep

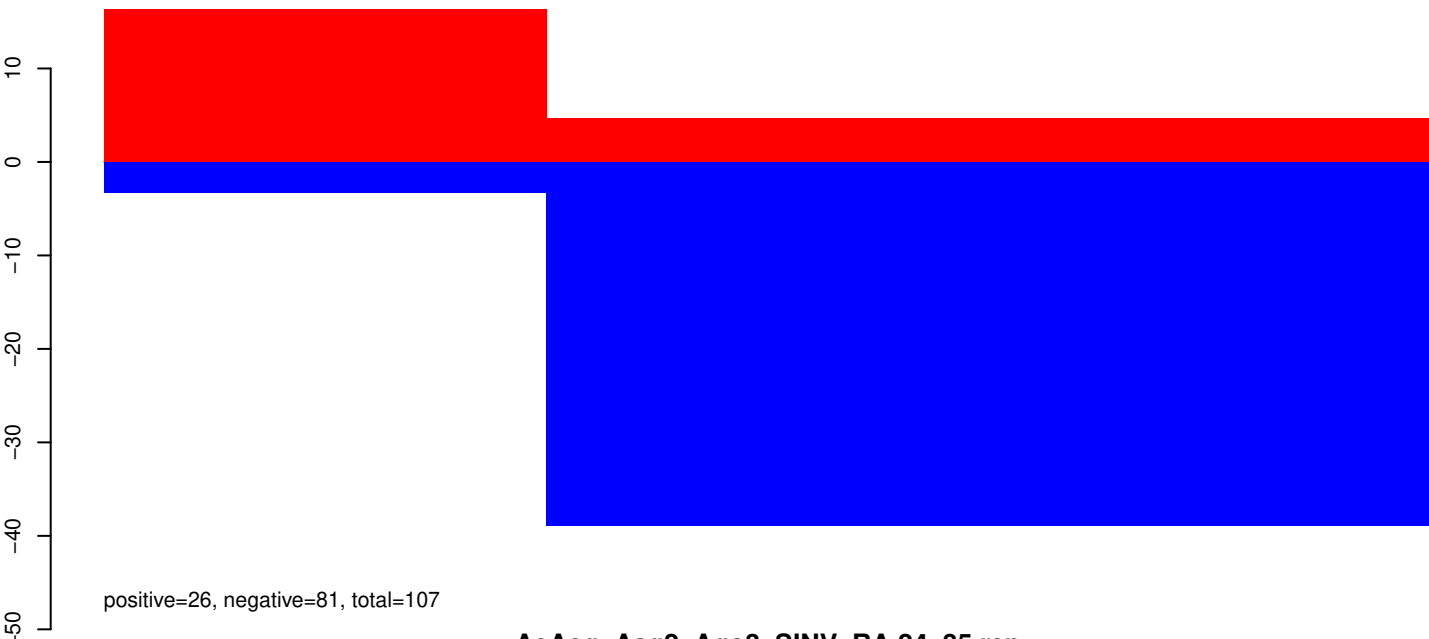


AeAeg_Aag2_Ago3_SINV_RA.rep

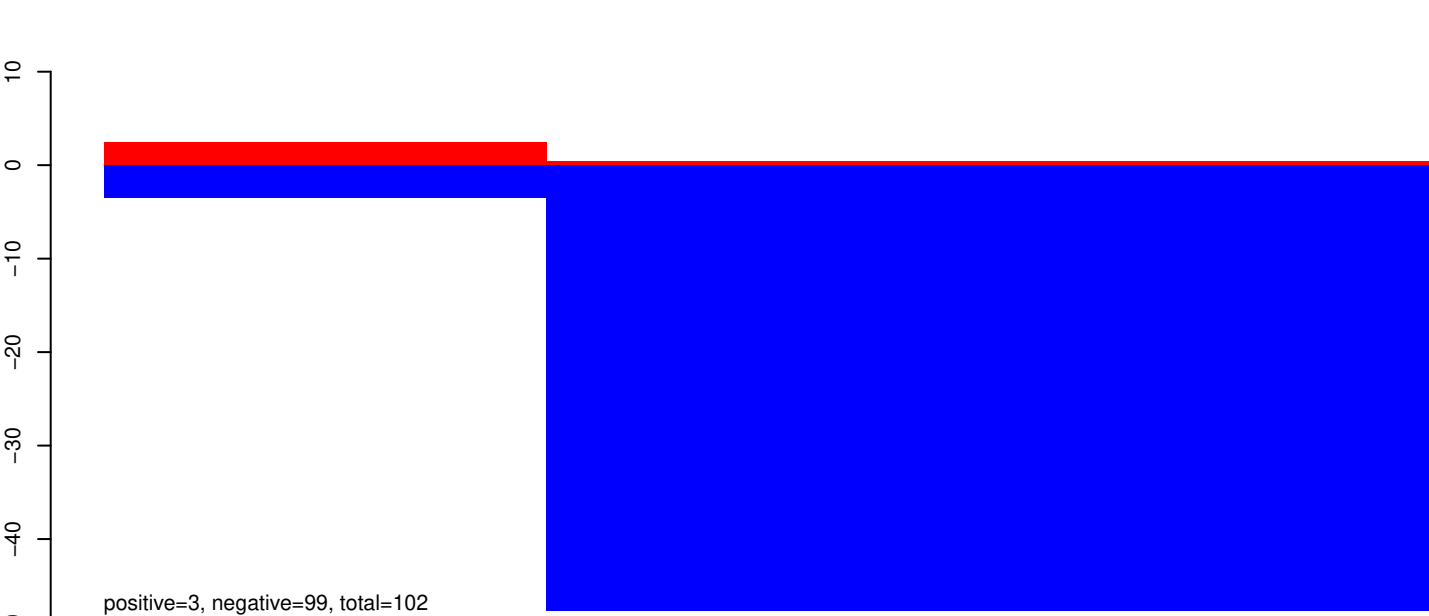


AAEL018676-RA-tRNA-Gln-tRNA-Glu-tRNA-MT-6075-6140-1-gene-AAEL018676:1-66

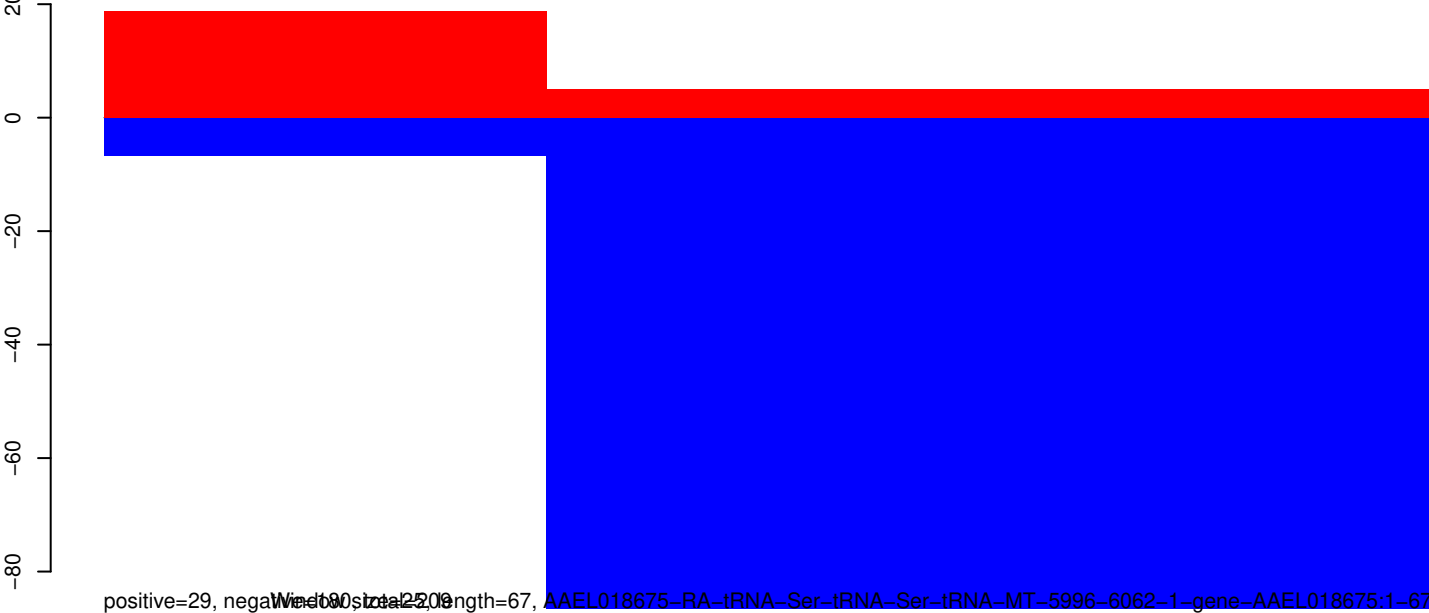
AeAeg_Aag2_Ago3_SINV_RA.18_23.rep



AeAeg_Aag2_Ago3_SINV_RA.24_35.rep



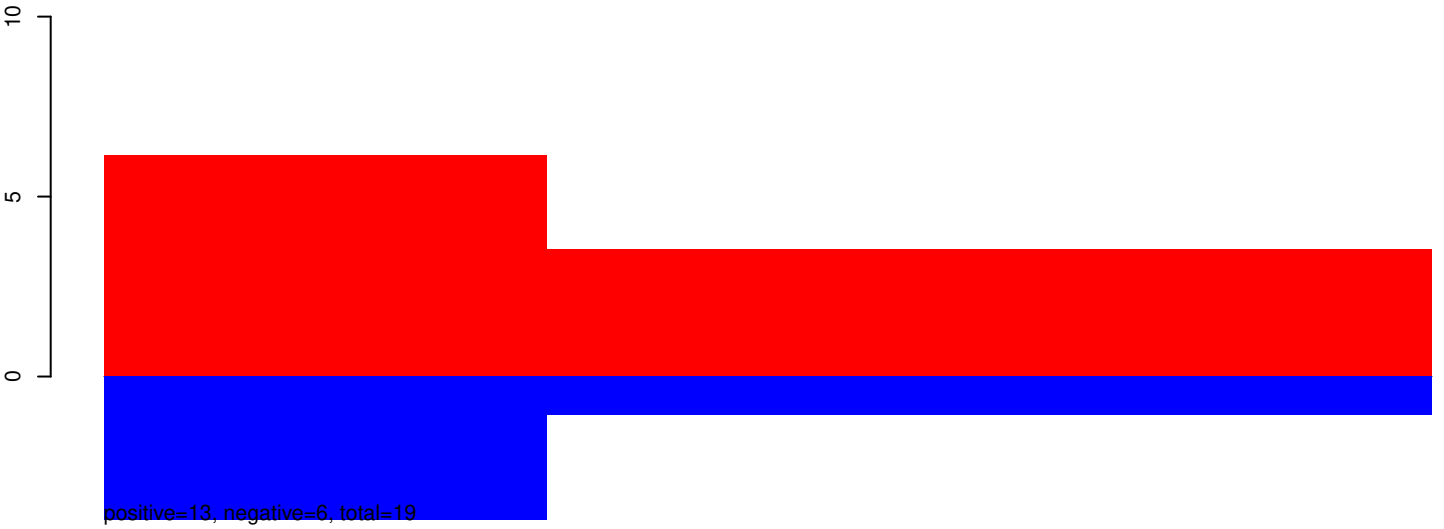
AeAeg_Aag2_Ago3_SINV_RA.rep



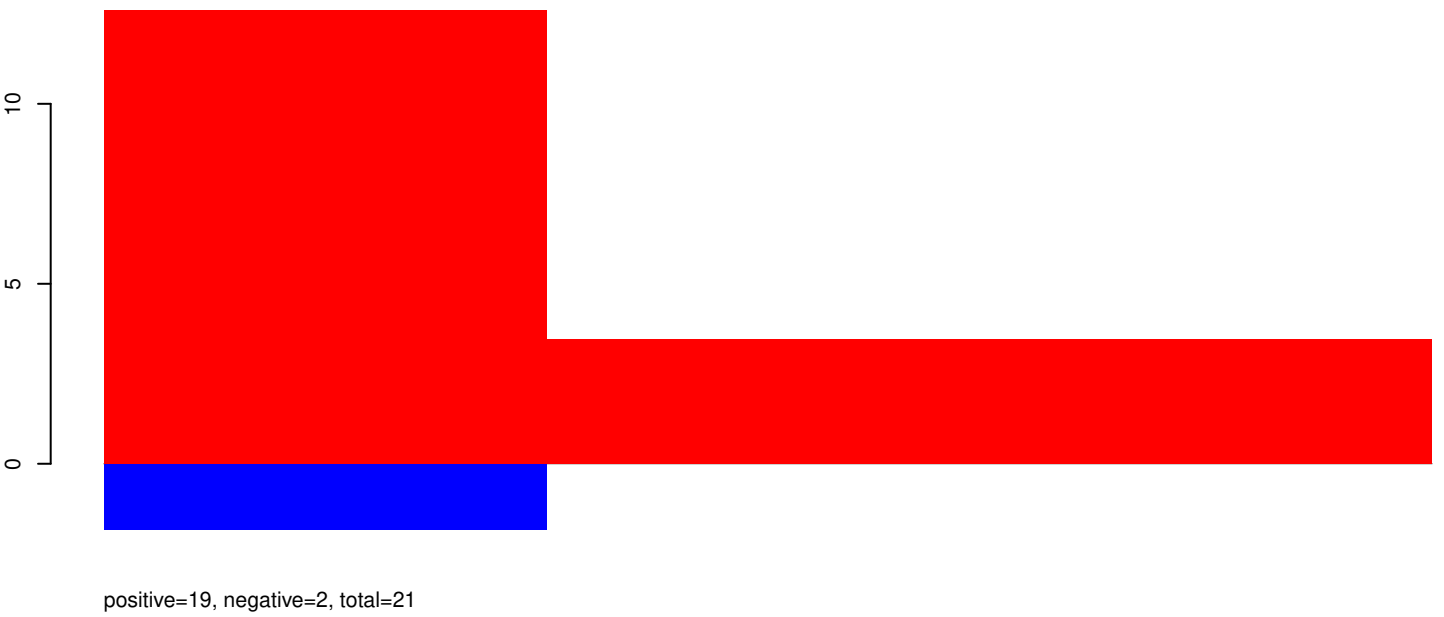
Weighted size=209, length=67, AAEL018675-RA-tRNA-Ser-tRNA-Ser-tRNA-MT-5996-6062-1-gene-AAEL018675:1-67

40 60 80 100

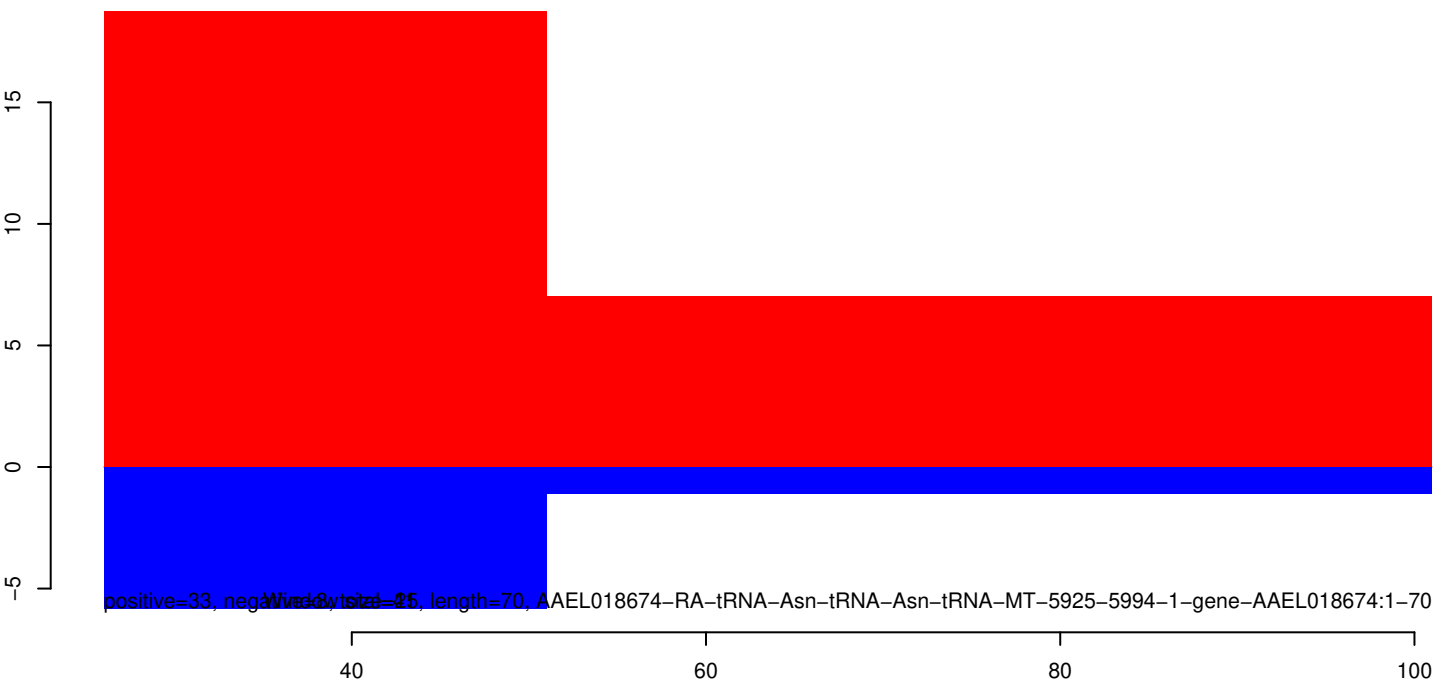
AeAeg_Aag2_Ago3_SINV_RA.18_23.rep



AeAeg_Aag2_Ago3_SINV_RA.24_35.rep



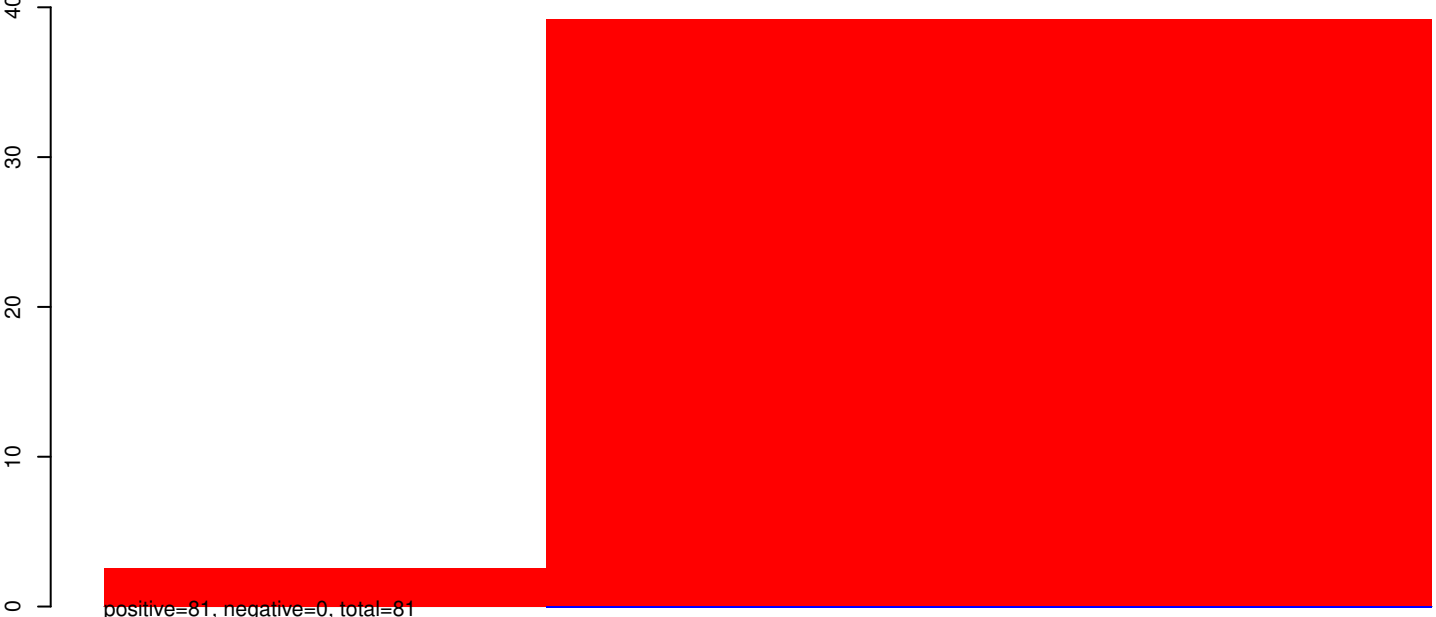
AeAeg_Aag2_Ago3_SINV_RA.rep



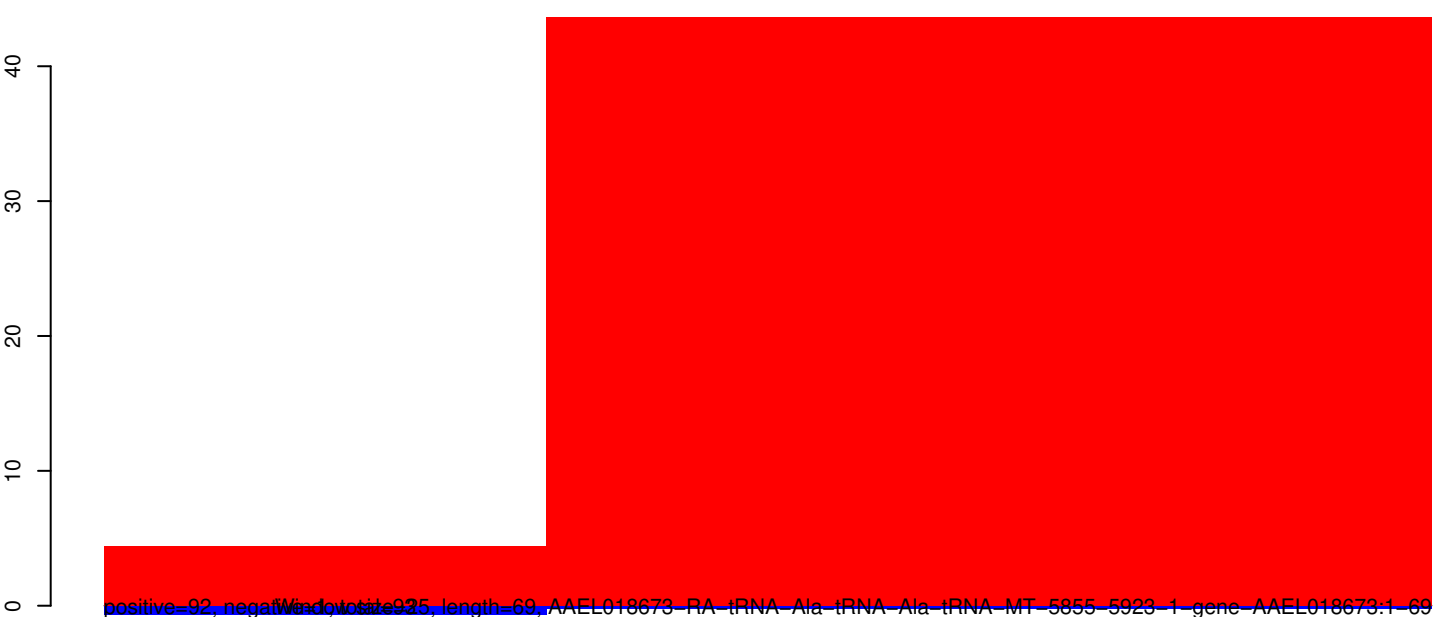
AeAeg_Aag2_Ago3_SINV_RA.18_23.rep



AeAeg_Aag2_Ago3_SINV_RA.24_35.rep



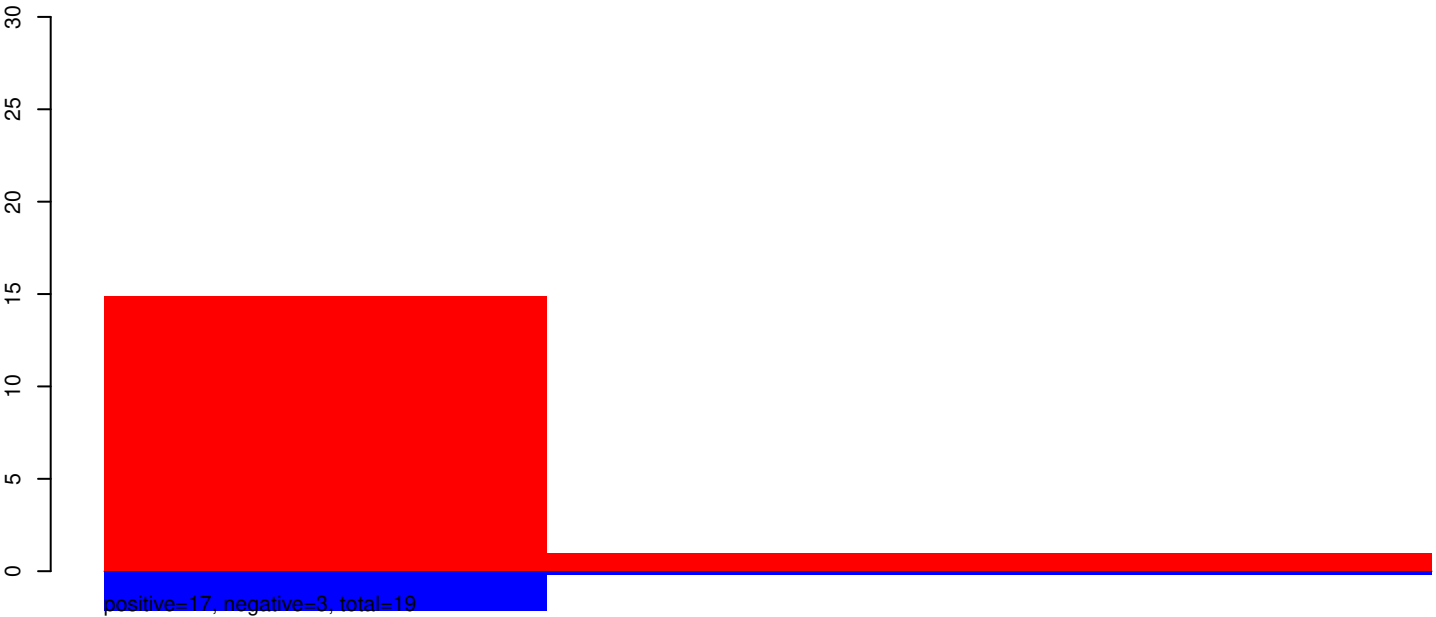
AeAeg_Aag2_Ago3_SINV_RA.rep



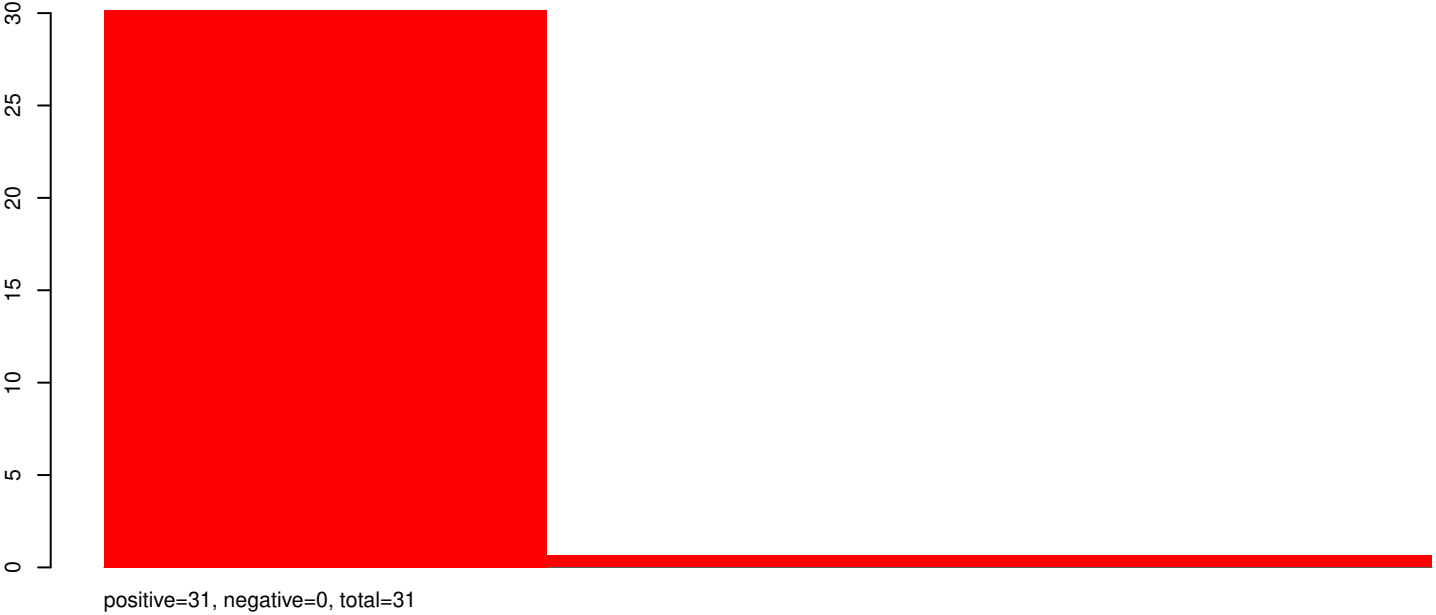
positive=92, negative=0, total=92, window size=925, length=69, AAEL018673-RA-tRNA-Ala-tRNA-Ala-tRNA-MT-5855-5923-1-gene-AAEL018673:1-69

40 60 80 100

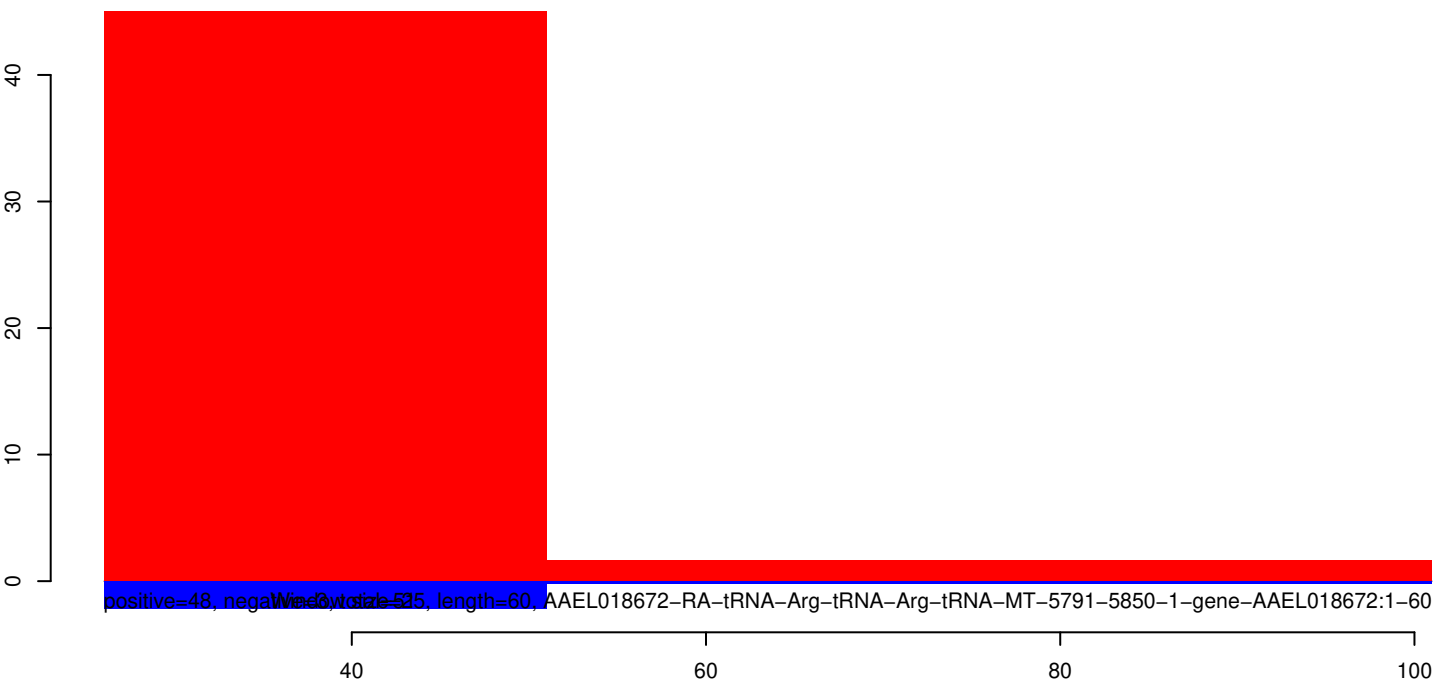
AeAeg_Aag2_Ago3_SINV_RA.18_23.rep



AeAeg_Aag2_Ago3_SINV_RA.24_35.rep



AeAeg_Aag2_Ago3_SINV_RA.rep



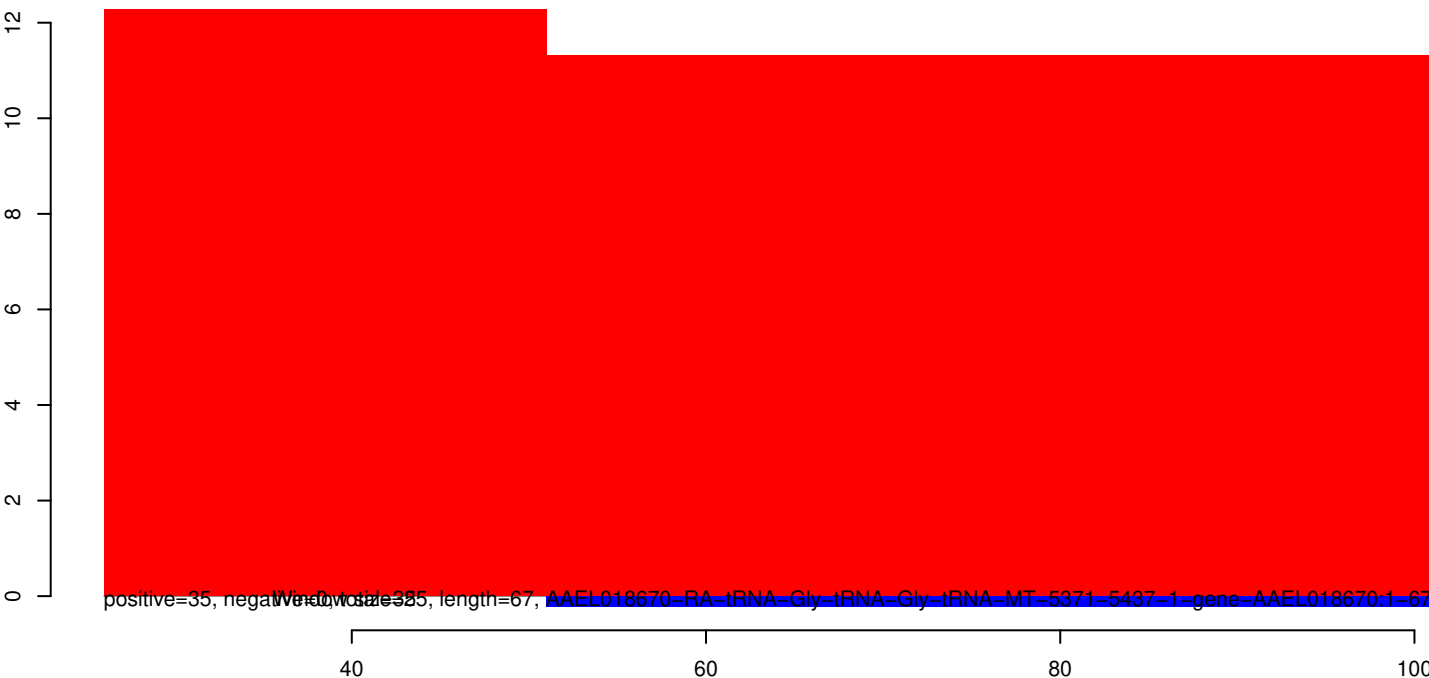
AeAeg_Aag2_Ago3_SINV_RA.18_23.rep



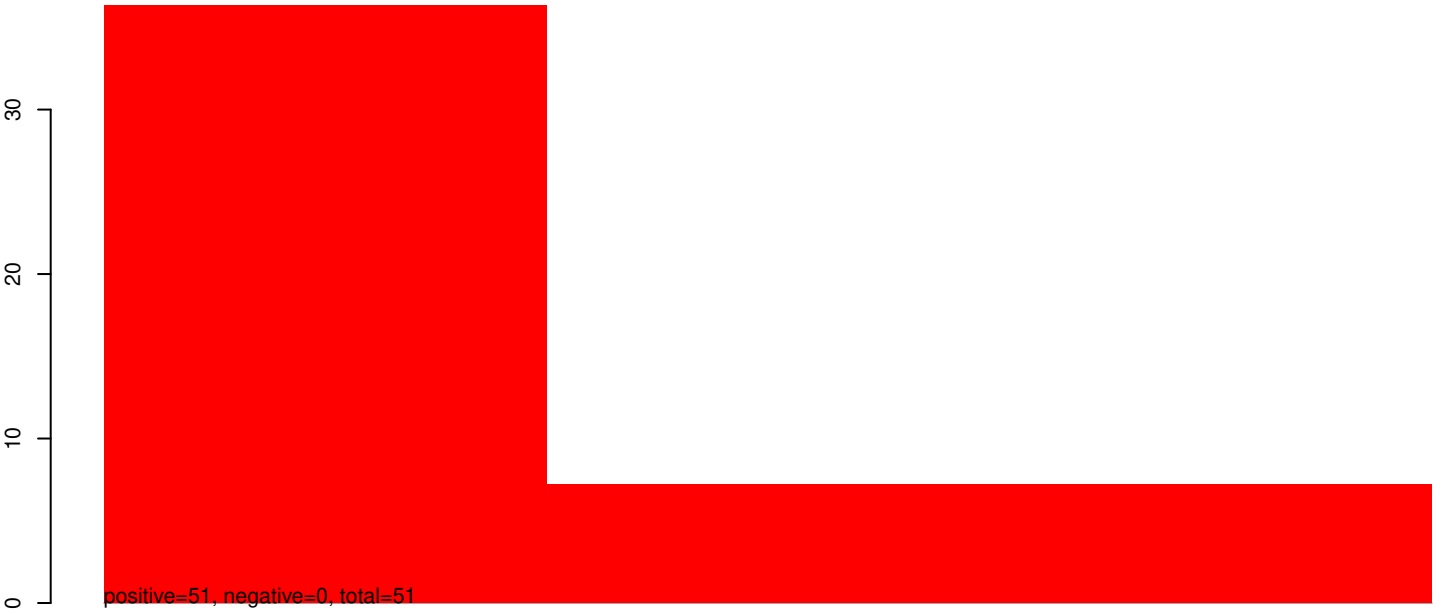
AeAeg_Aag2_Ago3_SINV_RA.24_35.rep



AeAeg_Aag2_Ago3_SINV_RA.rep



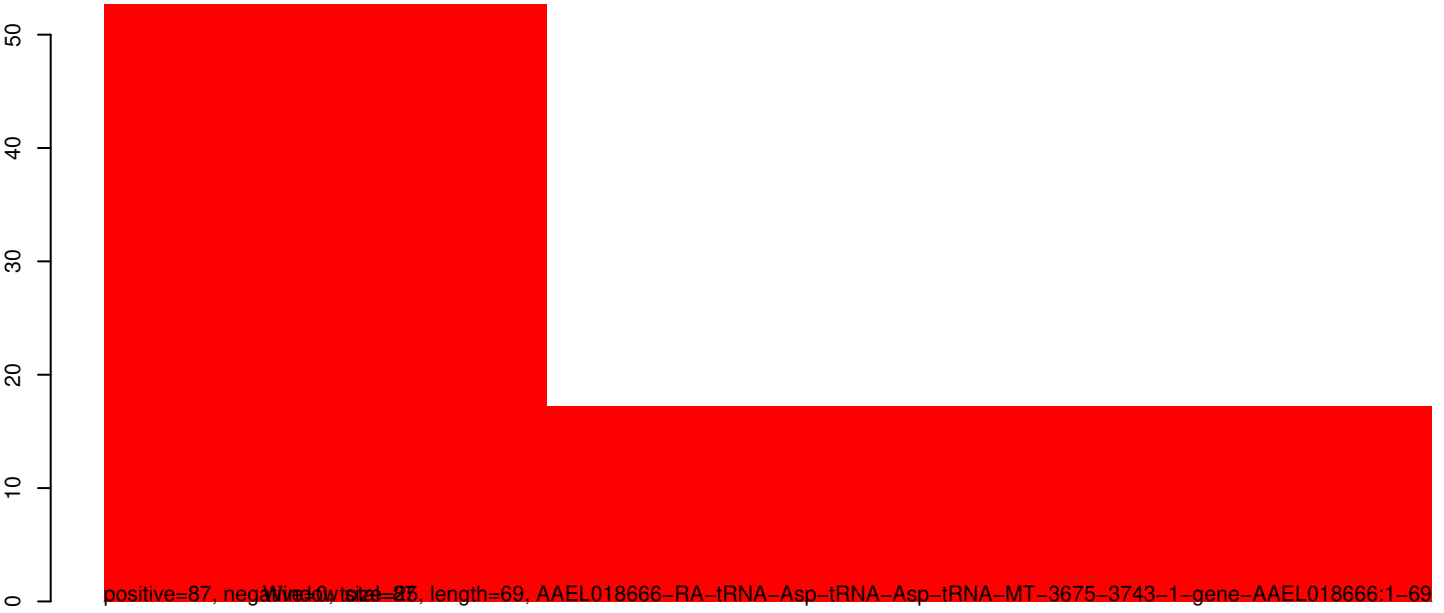
AeAeg_Aag2_Ago3_SINV_RA.18_23.rep



AeAeg_Aag2_Ago3_SINV_RA.24_35.rep



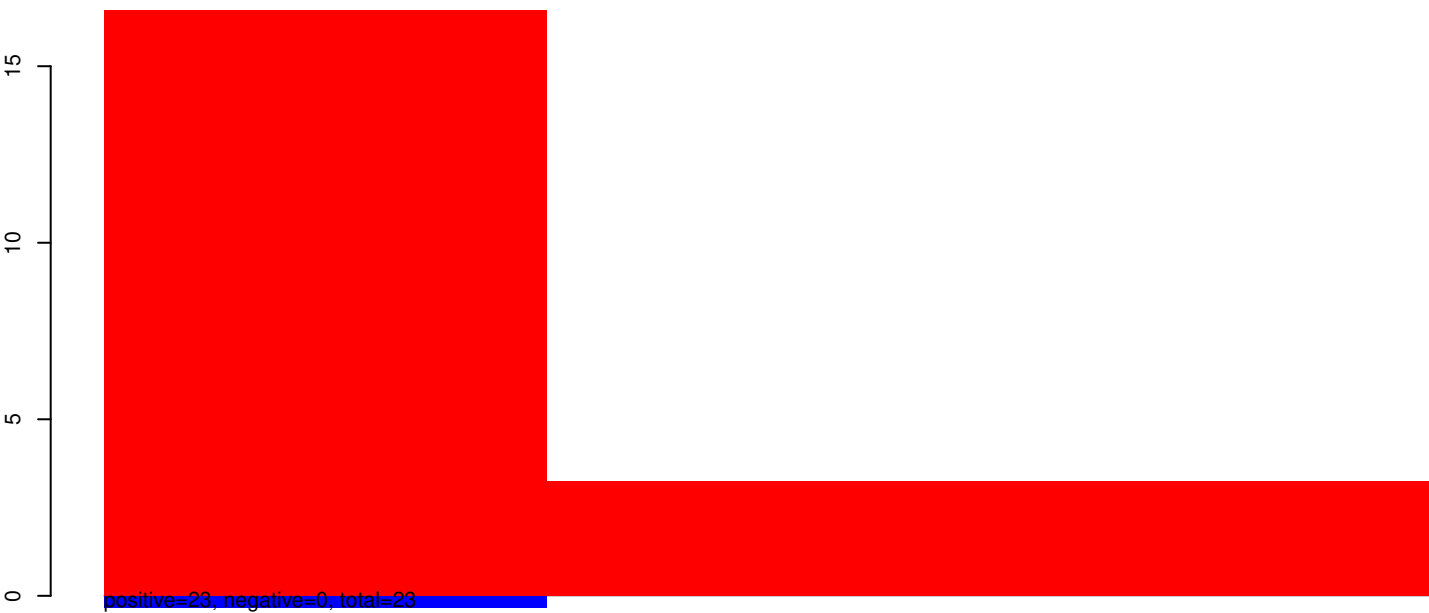
AeAeg_Aag2_Ago3_SINV_RA.rep



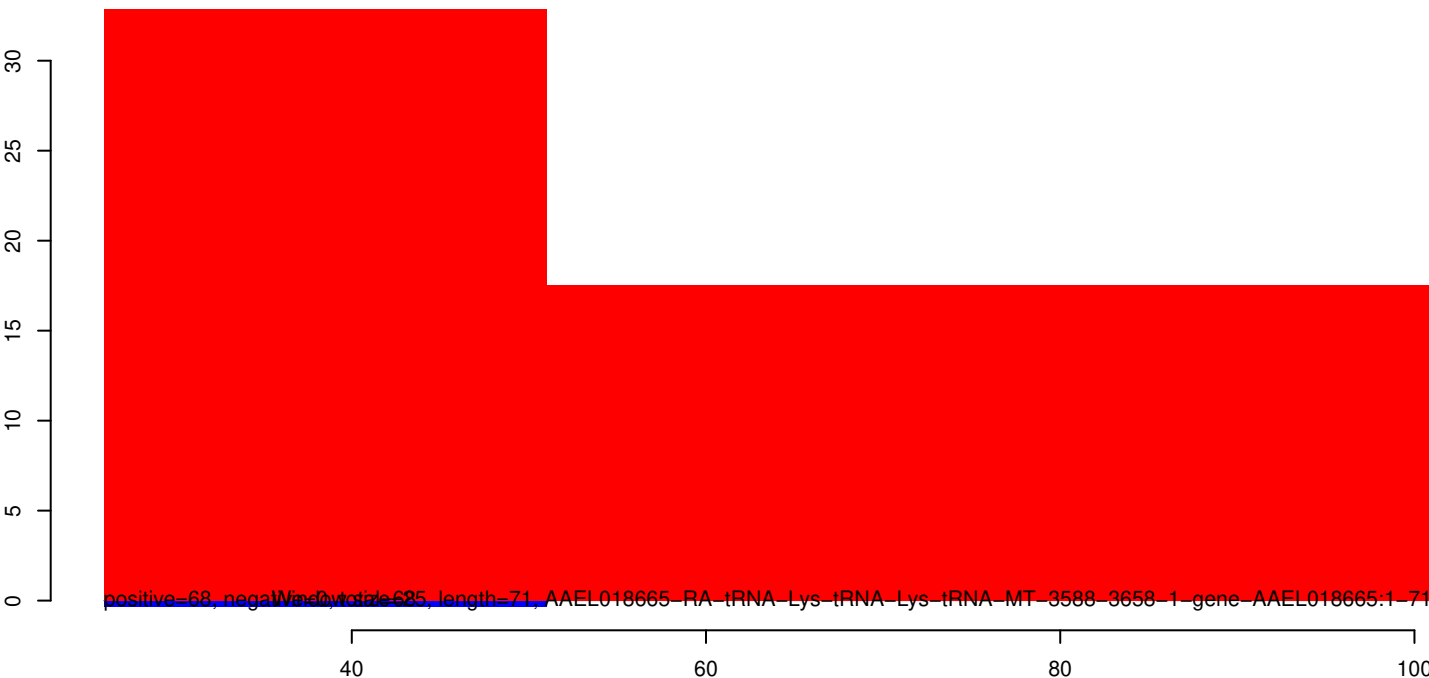
AeAeg_Aag2_Ago3_SINV_RA.18_23.rep



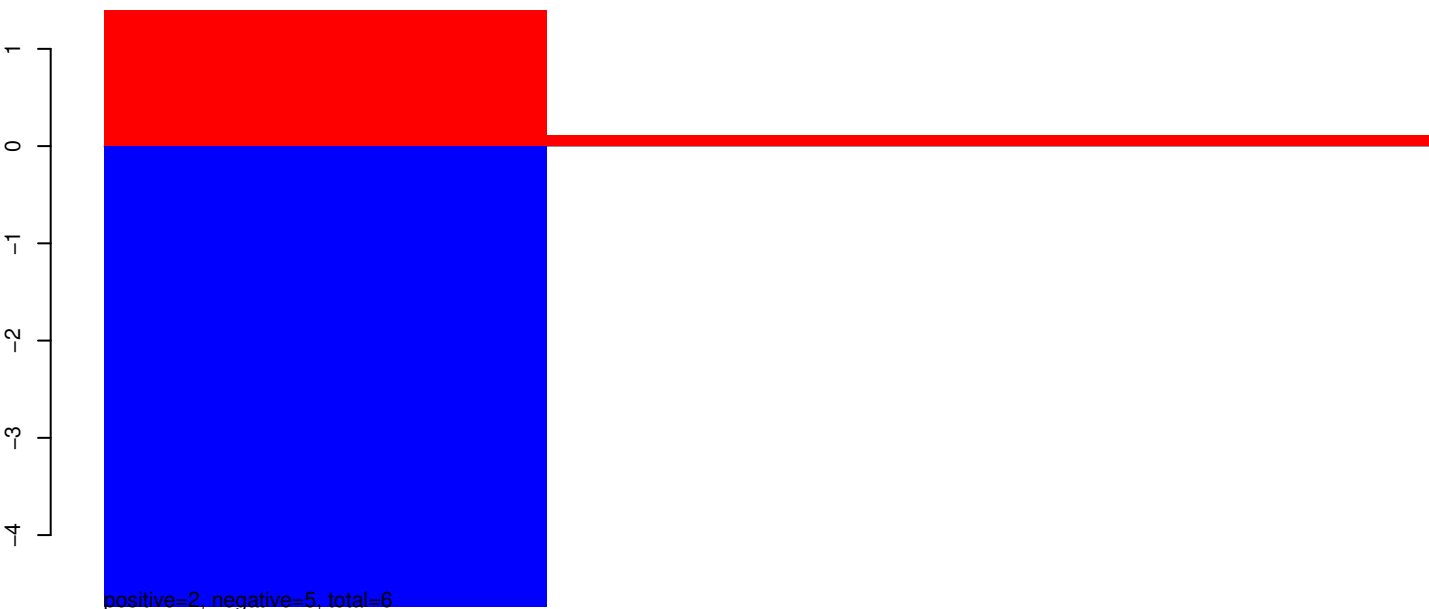
AeAeg_Aag2_Ago3_SINV_RA.24_35.rep



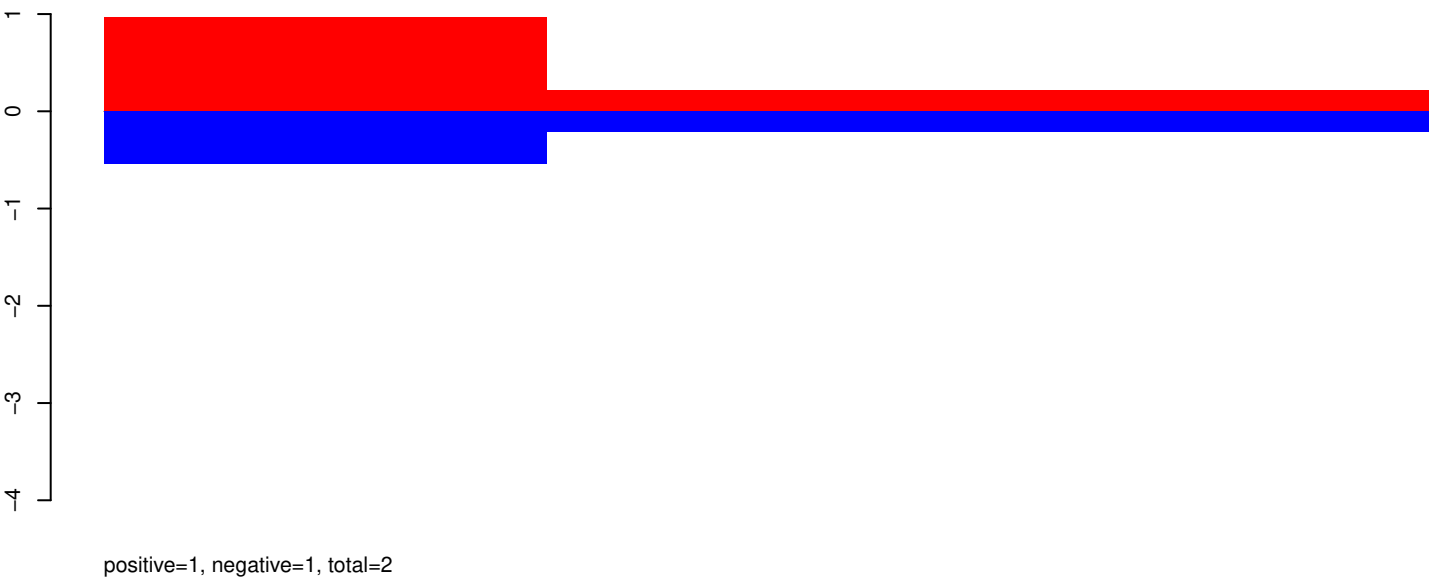
AeAeg_Aag2_Ago3_SINV_RA.rep



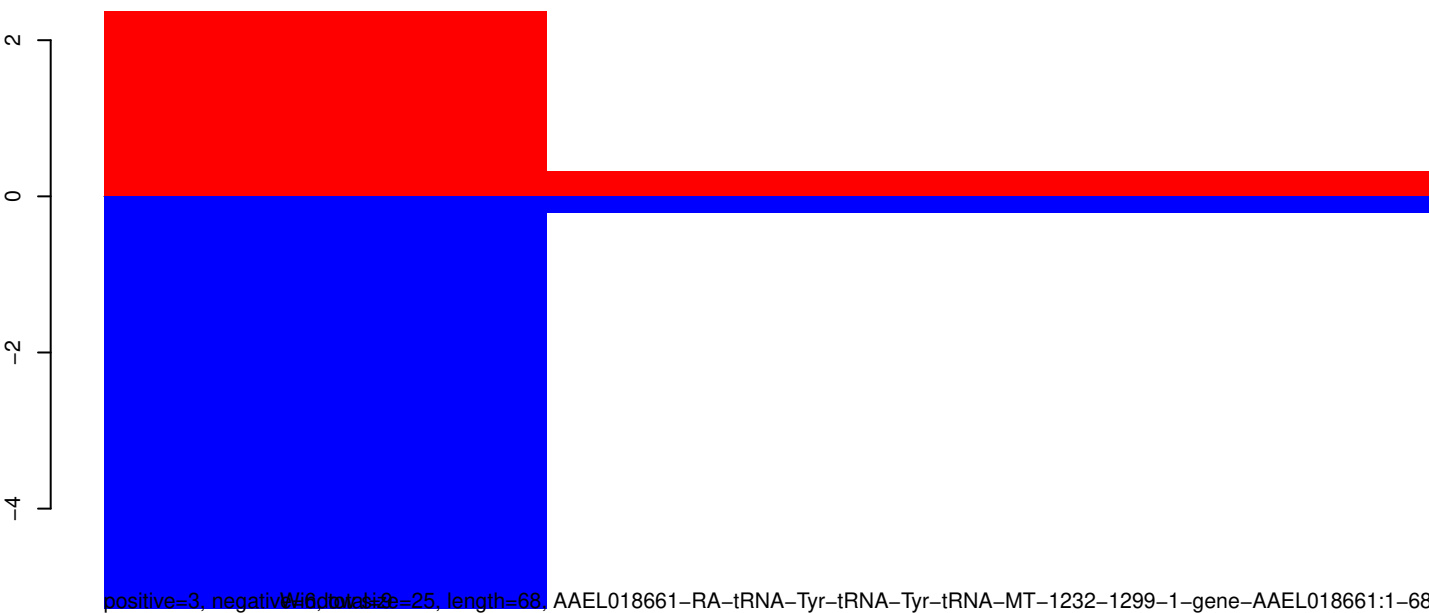
AeAeg_Aag2_Ago3_SINV_RA.18_23.rep



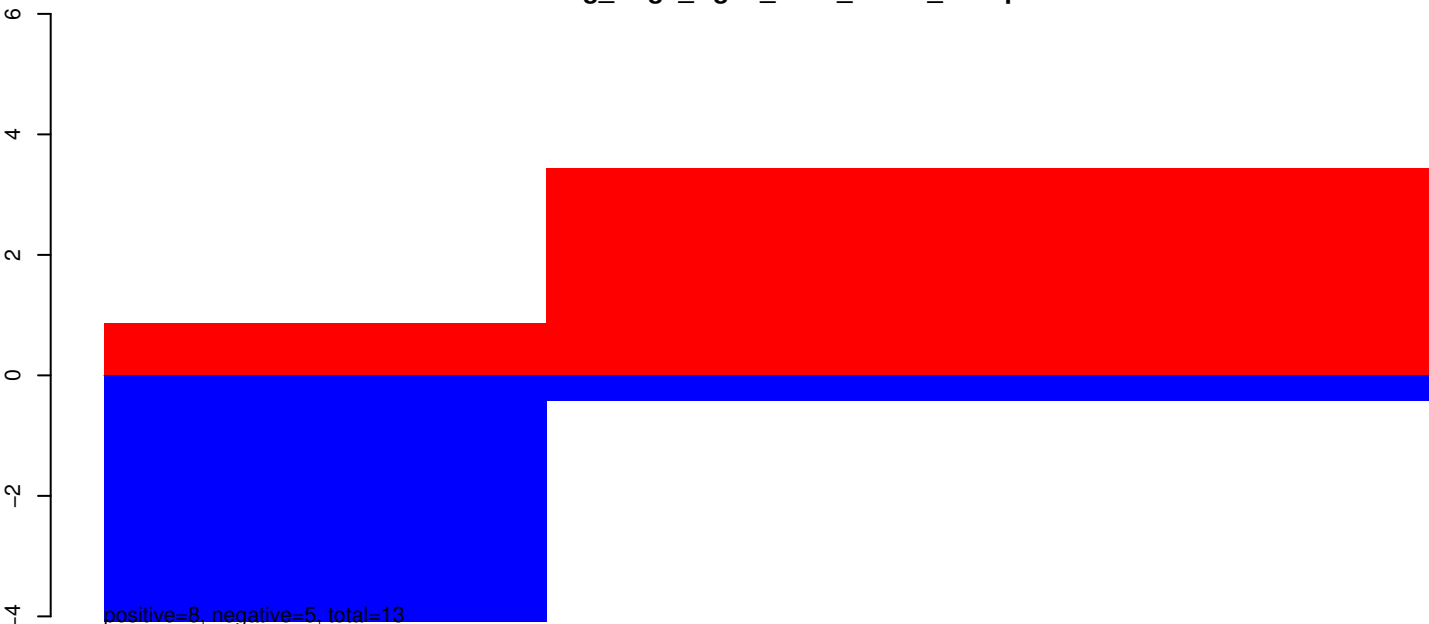
AeAeg_Aag2_Ago3_SINV_RA.24_35.rep



AeAeg_Aag2_Ago3_SINV_RA.rep

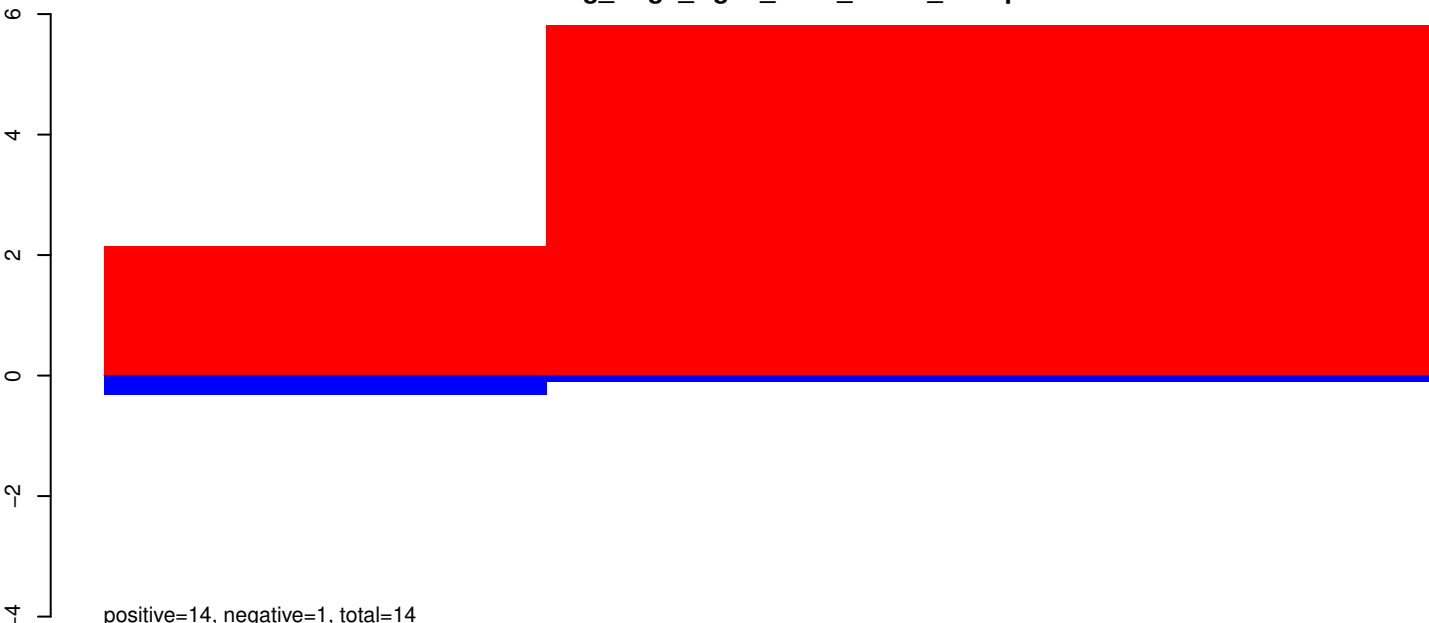


AeAeg_Aag2_Ago3_SINV_RA.18_23.rep



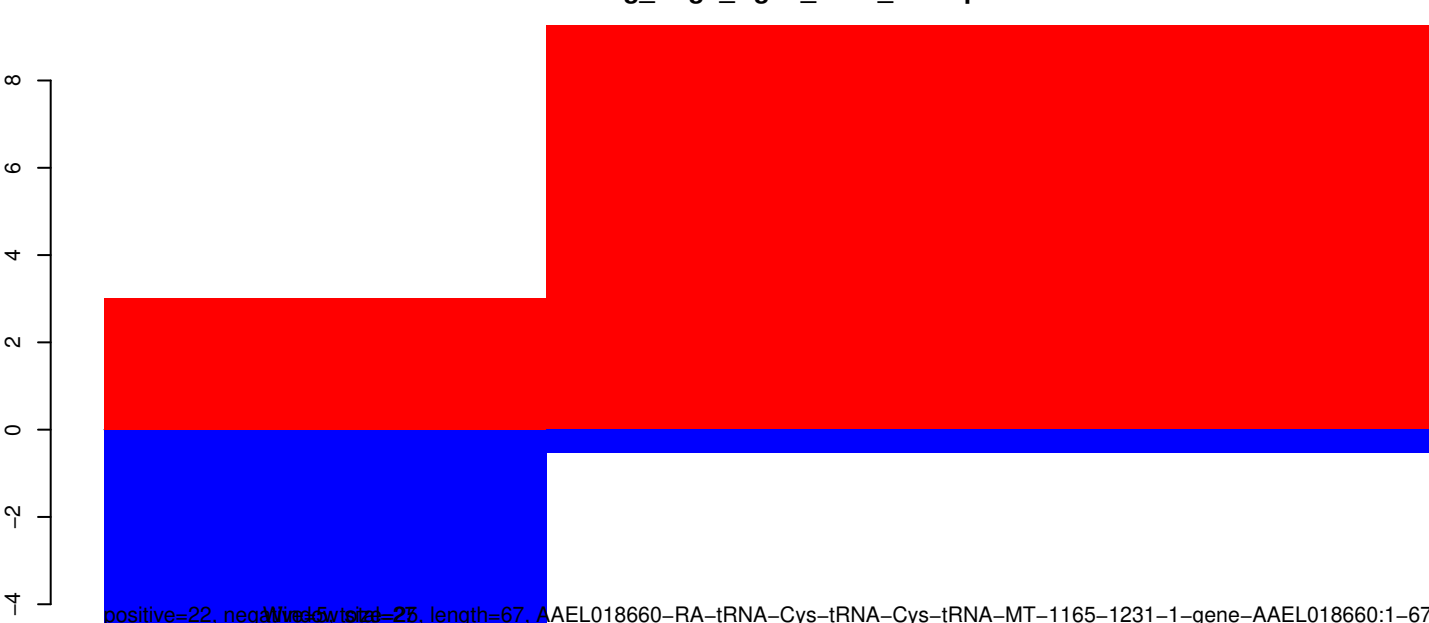
positive=8, negative=5, total=13

AeAeg_Aag2_Ago3_SINV_RA.24_35.rep



positive=14, negative=1, total=14

AeAeg_Aag2_Ago3_SINV_RA.rep



positive=22, negative=3, total=25, length=67, AAEL018660-RA-tRNA-Cys-tRNA-Cys-tRNA-MT-1165-1231-1-gene-AAEL018660:1-67

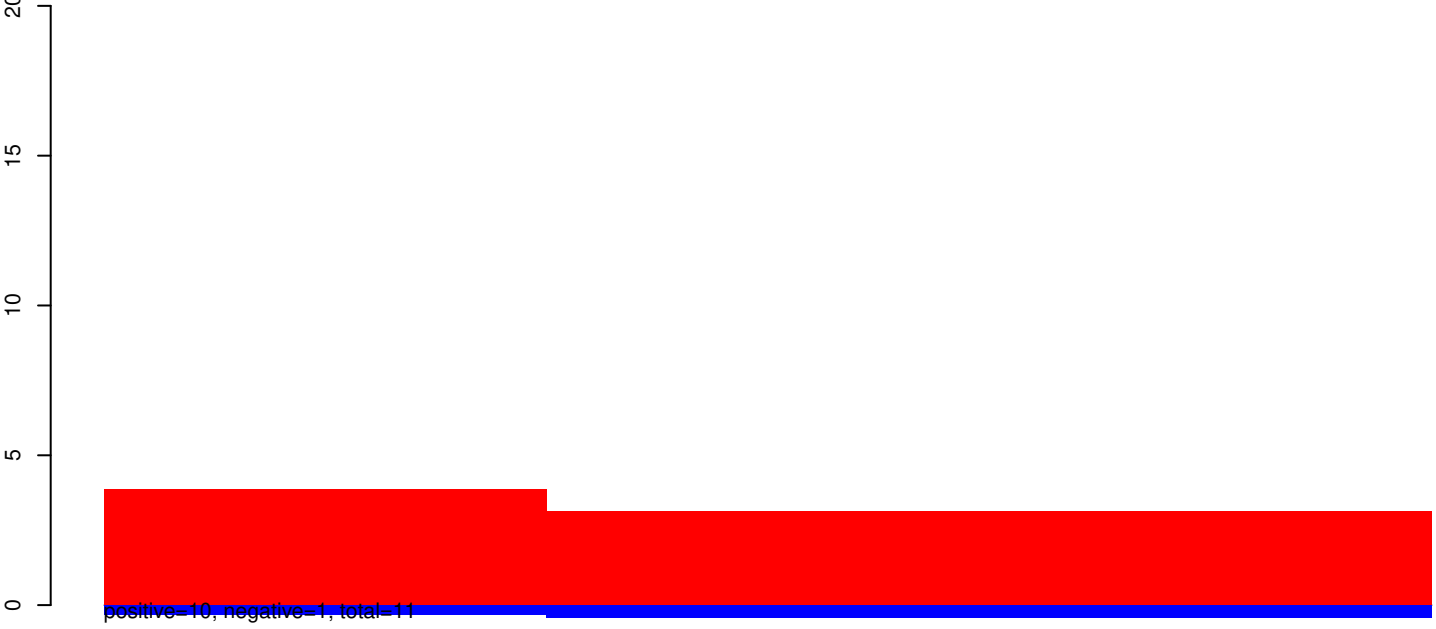
40

60

80

100

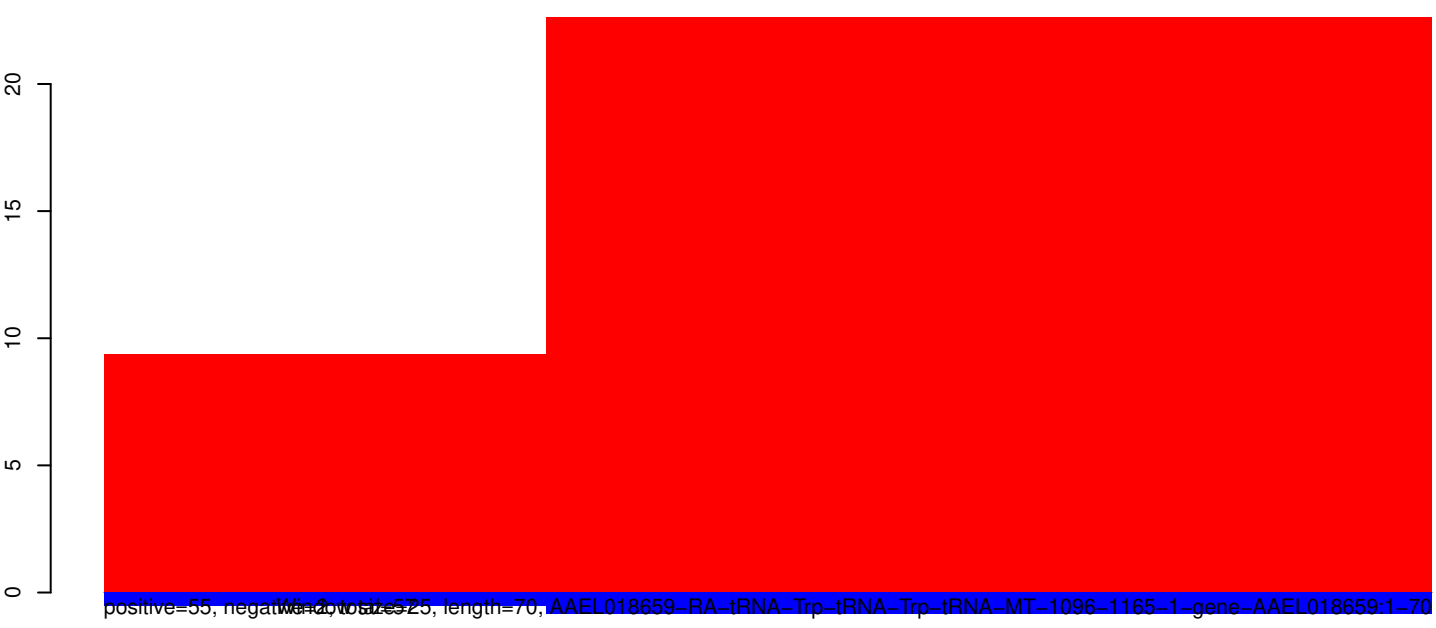
AeAeg_Aag2_Ago3_SINV_RA.18_23.rep



AeAeg_Aag2_Ago3_SINV_RA.24_35.rep

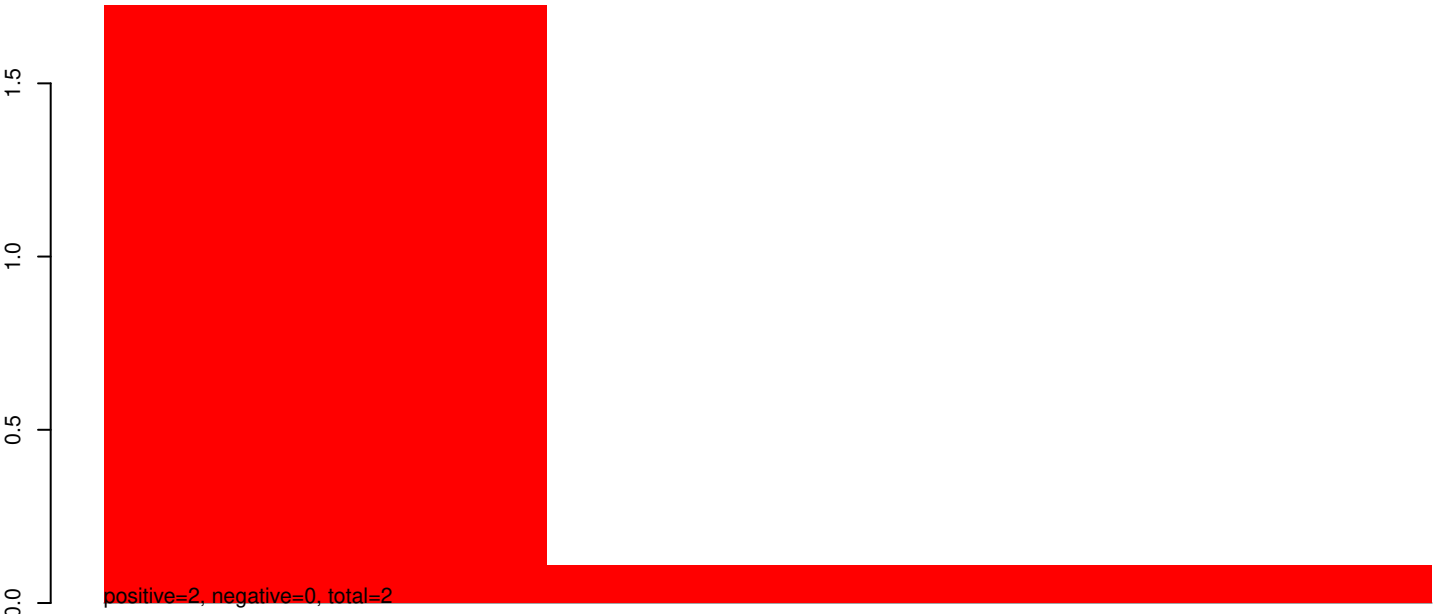


AeAeg_Aag2_Ago3_SINV_RA.rep

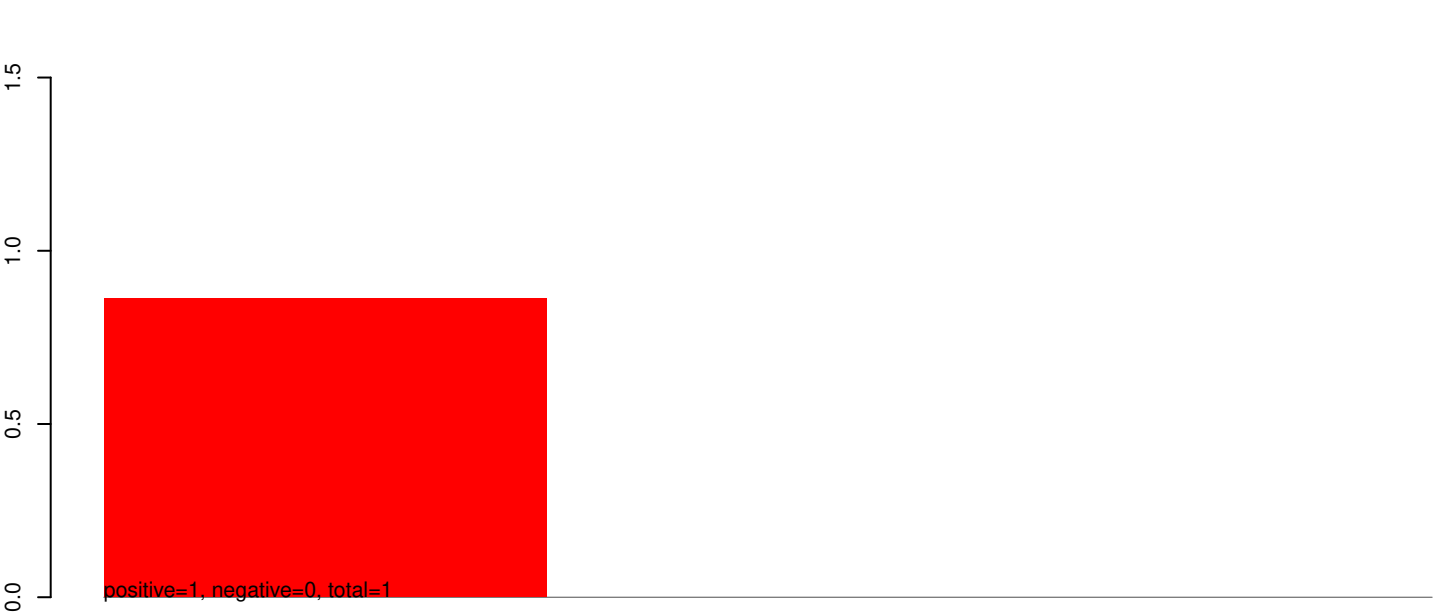


word size=25, length=70, AAEL018659-RA-tRNA-Trp-tRNA-Trp-tRNA-MT-1096-1165-1-gene-AAEL018659:1-70

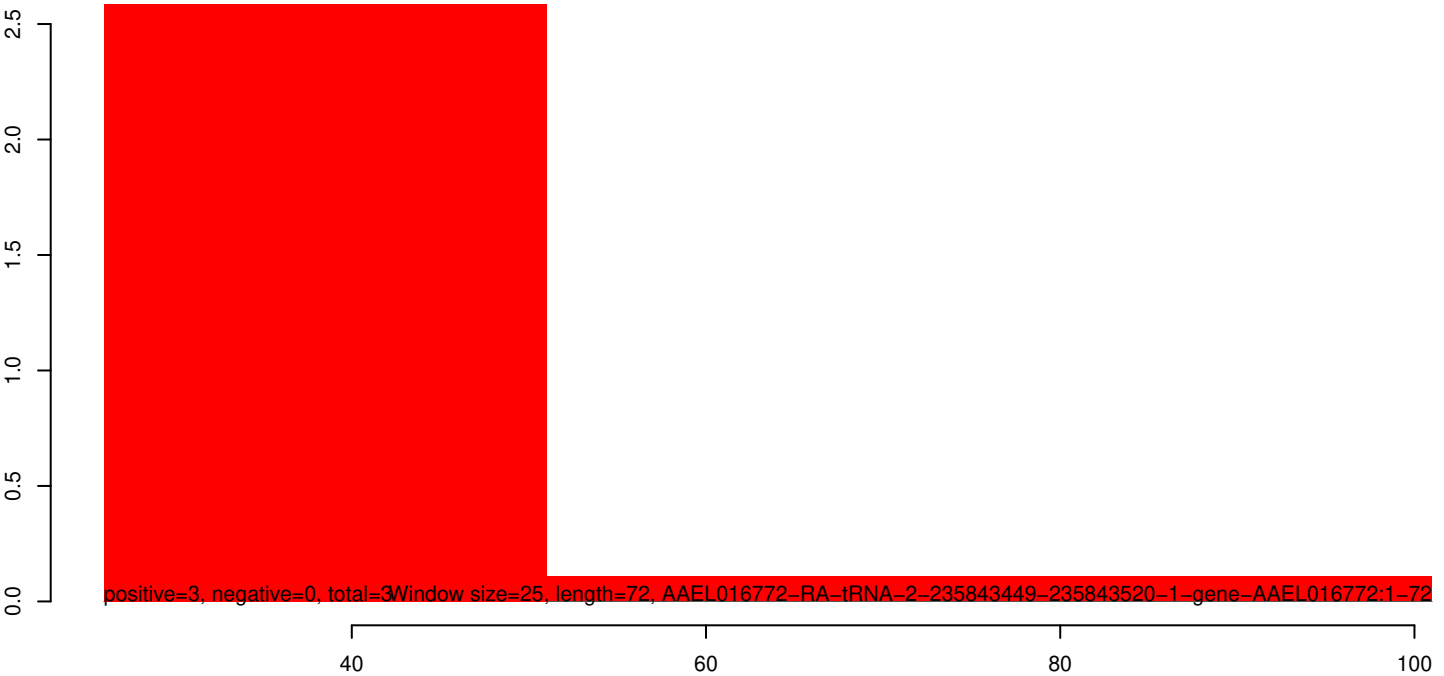
AeAeg_Aag2_Ago3_SINV_RA.18_23.rep



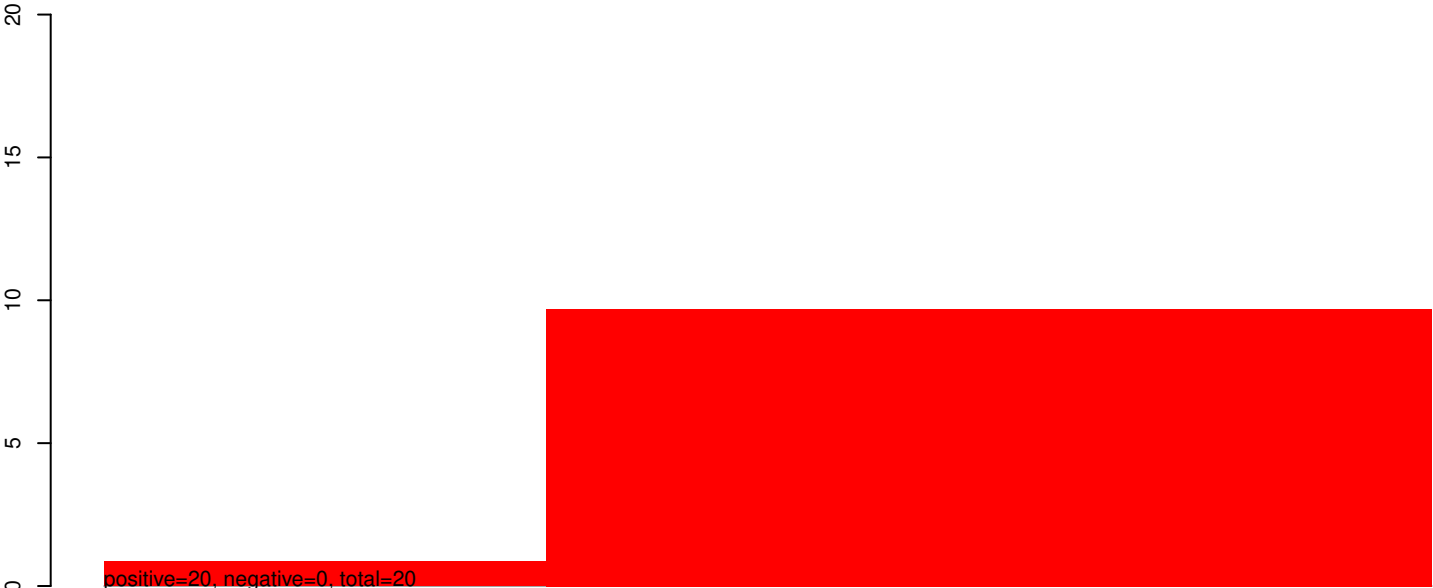
AeAeg_Aag2_Ago3_SINV_RA.24_35.rep



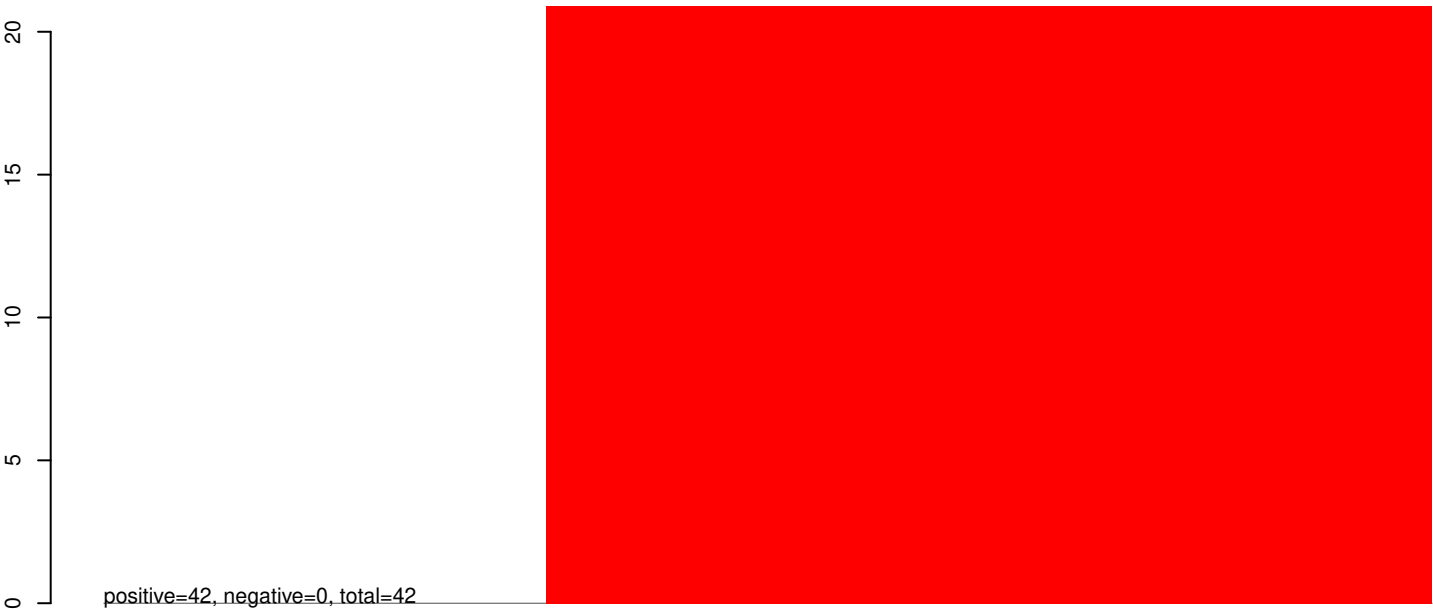
AeAeg_Aag2_Ago3_SINV_RA.rep



AeAeg_Aag2_Ago3_SINV_RA.18_23.rep



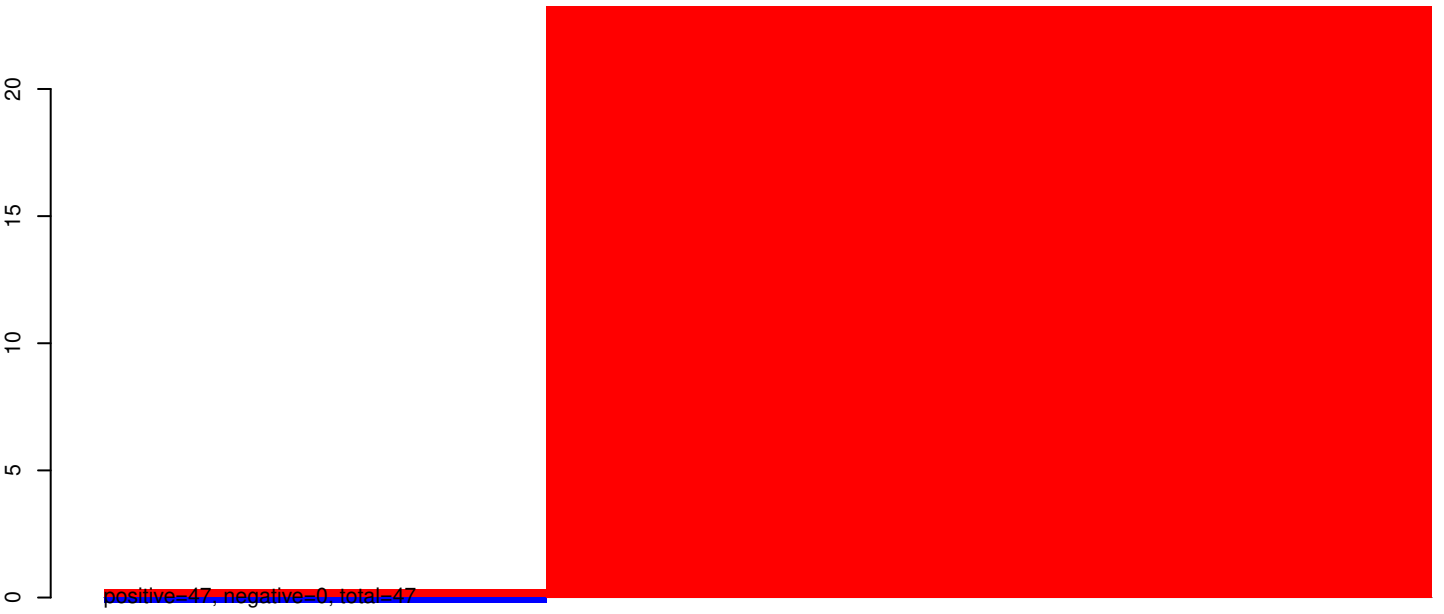
AeAeg_Aag2_Ago3_SINV_RA.24_35.rep



AeAeg_Aag2_Ago3_SINV_RA.rep



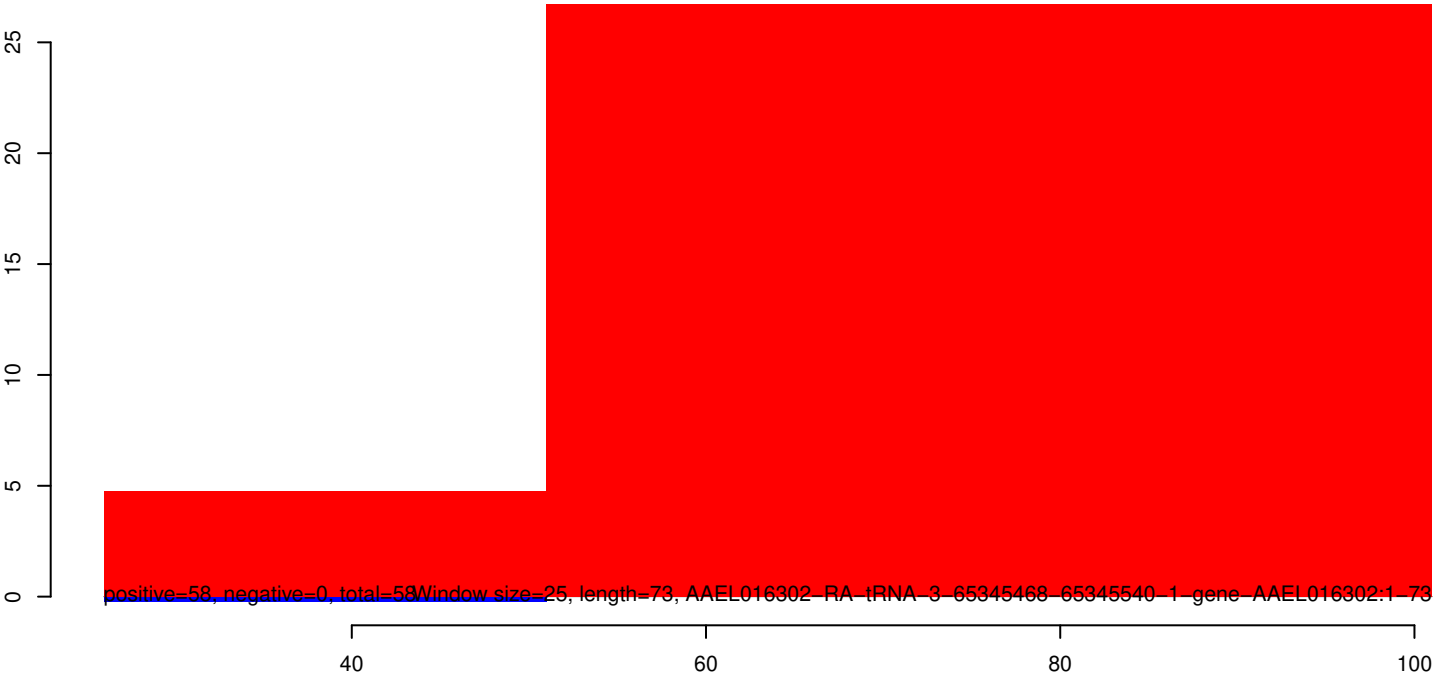
AeAeg_Aag2_Ago3_SINV_RA.18_23.rep



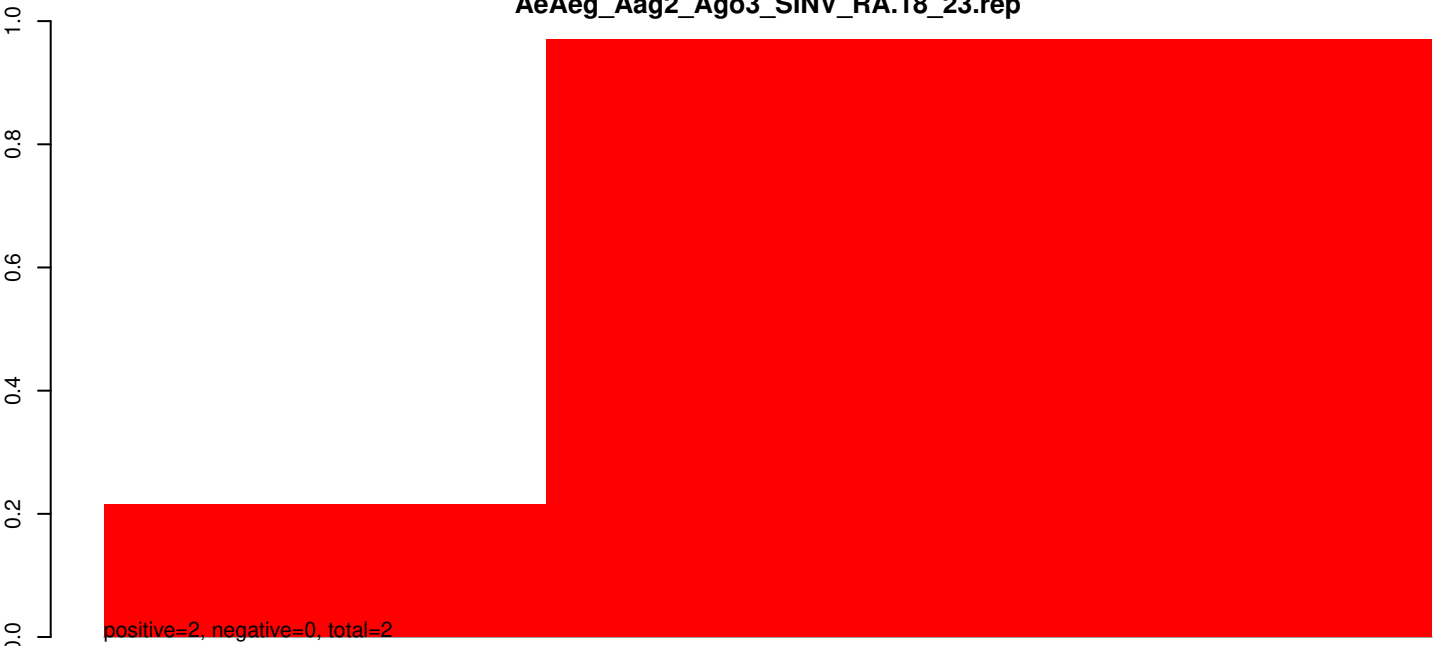
AeAeg_Aag2_Ago3_SINV_RA.24_35.rep



AeAeg_Aag2_Ago3_SINV_RA.rep



AeAeg_Aag2_Ago3_SINV_RA.18_23.rep



AeAeg_Aag2_Ago3_SINV_RA.24_35.rep

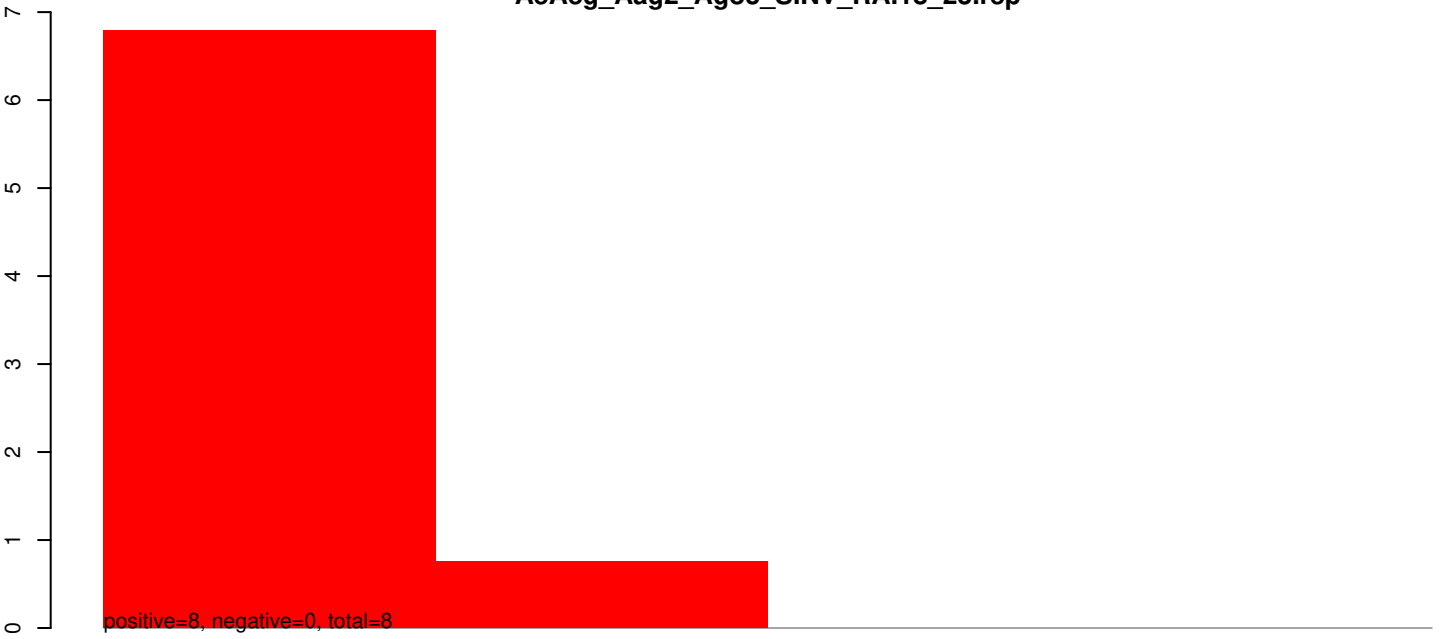


AeAeg_Aag2_Ago3_SINV_RA.rep

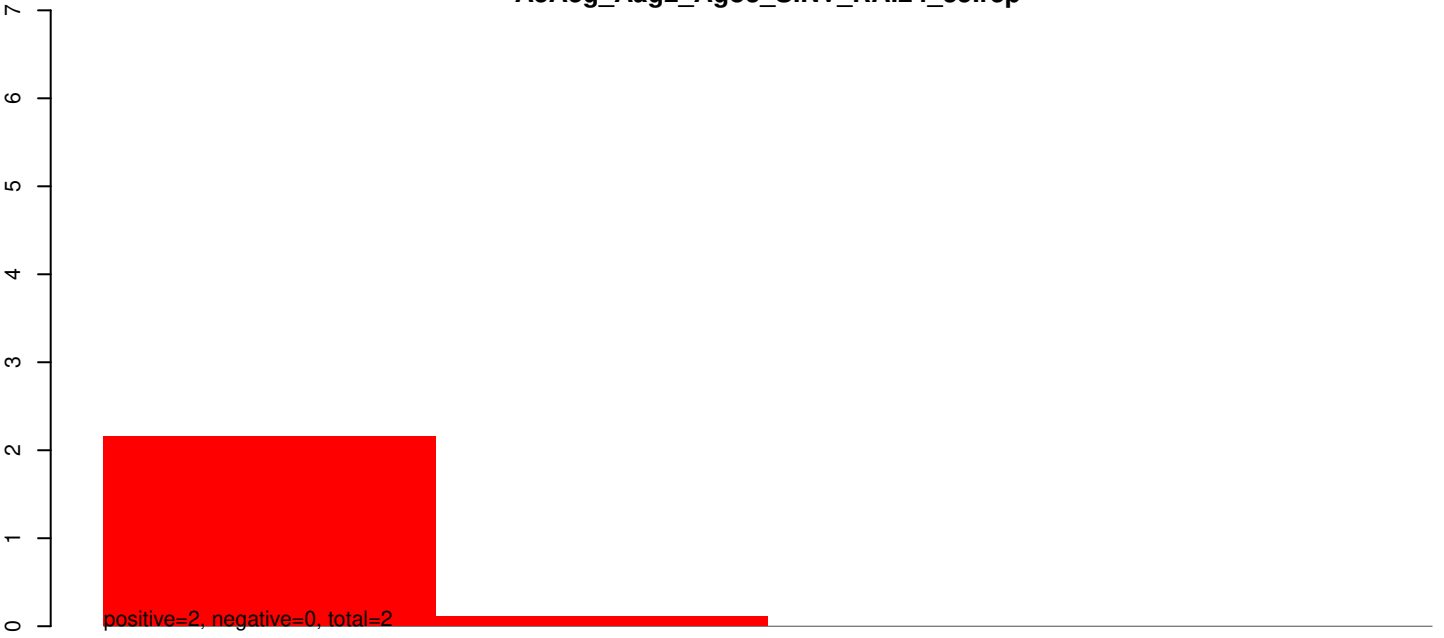


40 60 80 100

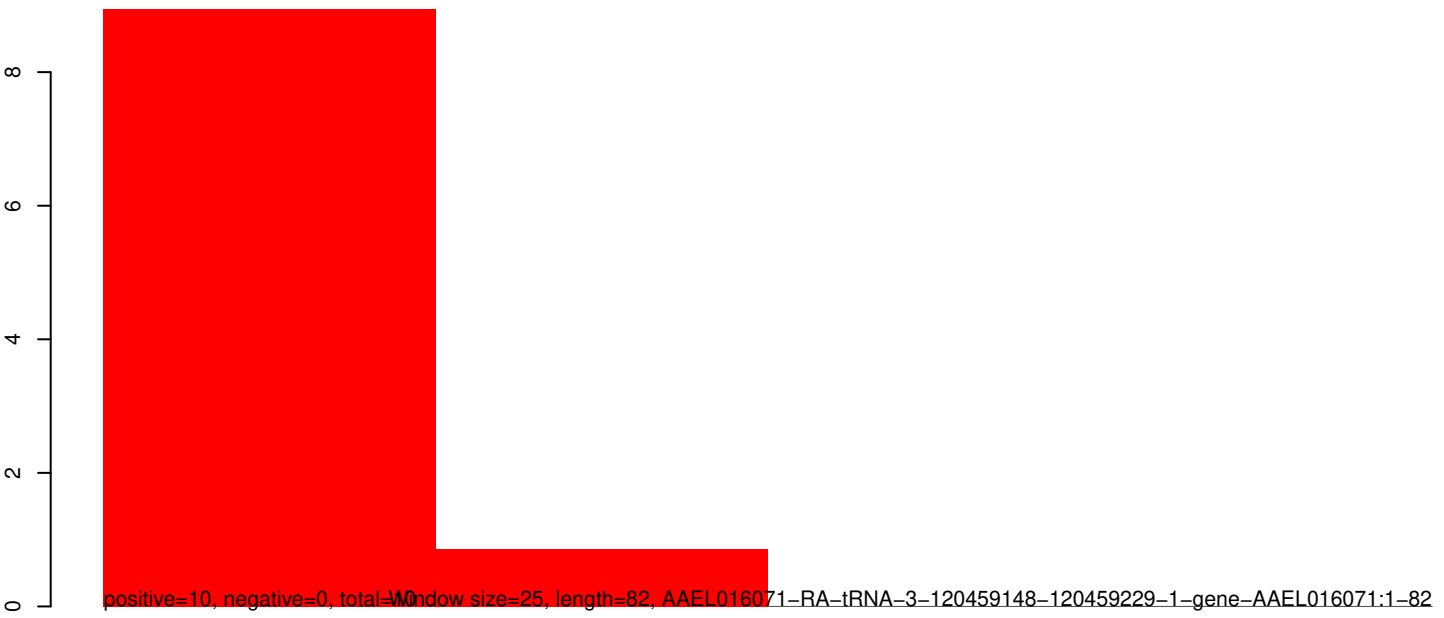
AeAeg_Aag2_Ago3_SINV_RA.18_23.rep



AeAeg_Aag2_Ago3_SINV_RA.24_35.rep

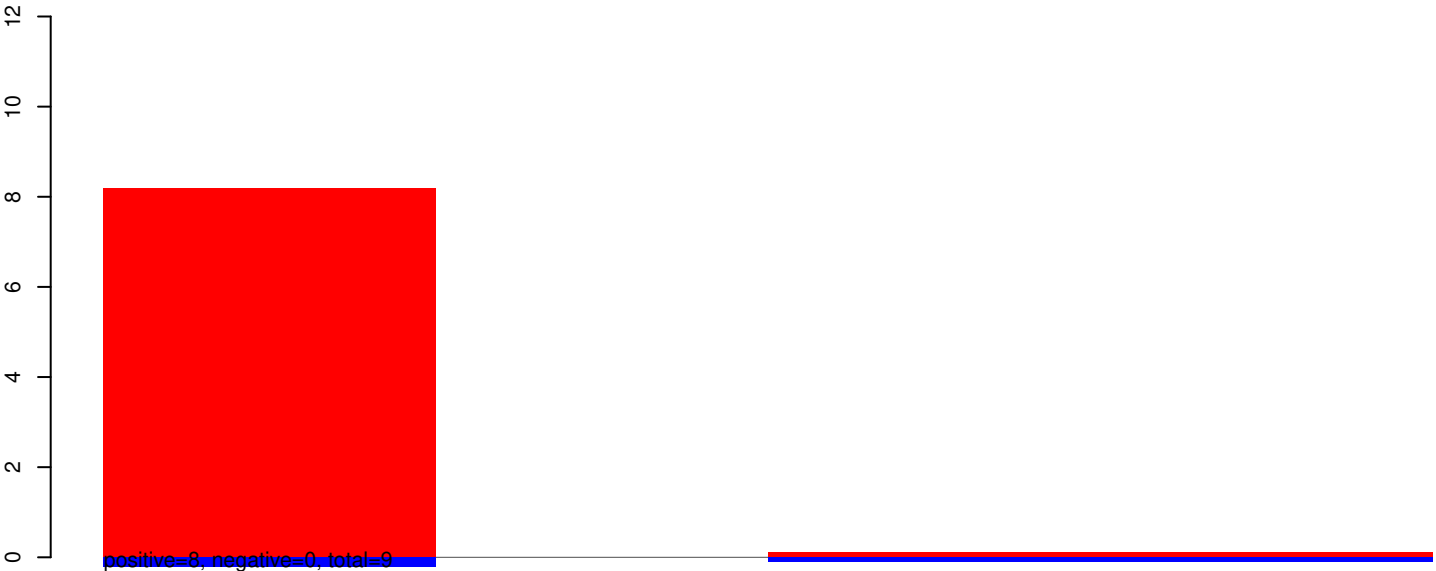


AeAeg_Aag2_Ago3_SINV_RA.rep

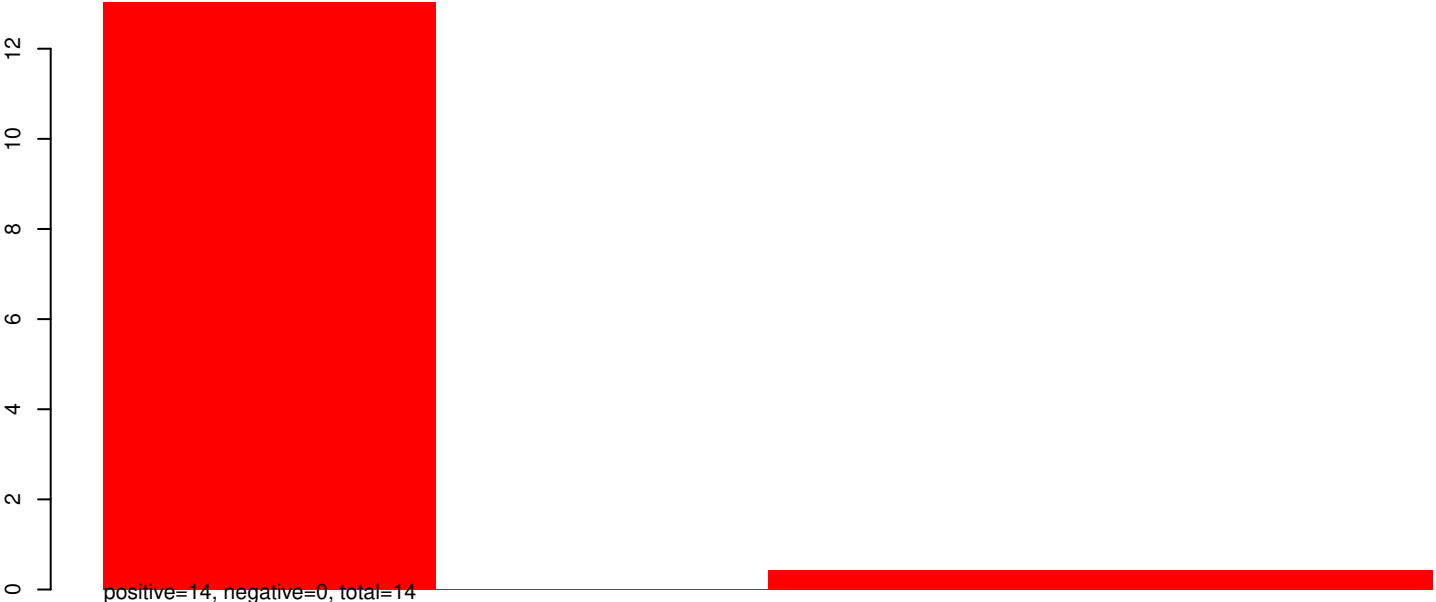


Window size=25, length=82, AAEL016071-RA-tRNA-3-120459148-120459229-1-gene-AAEL016071:1-82

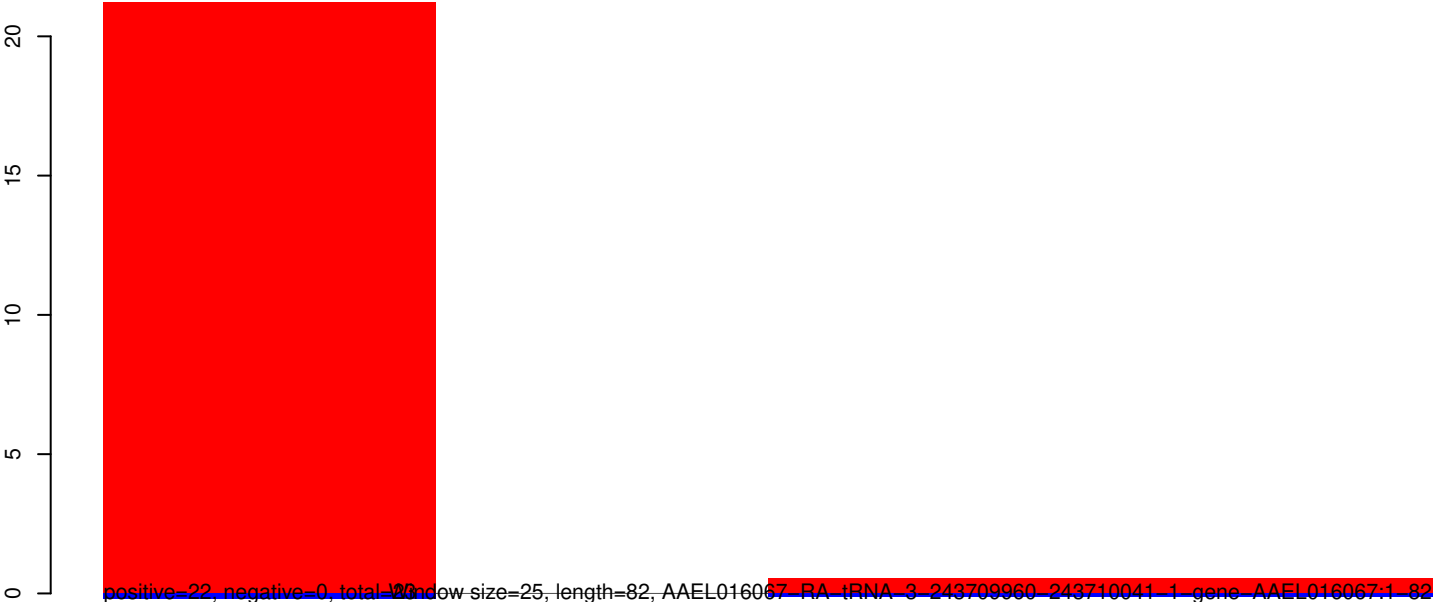
AeAeg_Aag2_Ago3_SINV_RA.18_23.rep



AeAeg_Aag2_Ago3_SINV_RA.24_35.rep

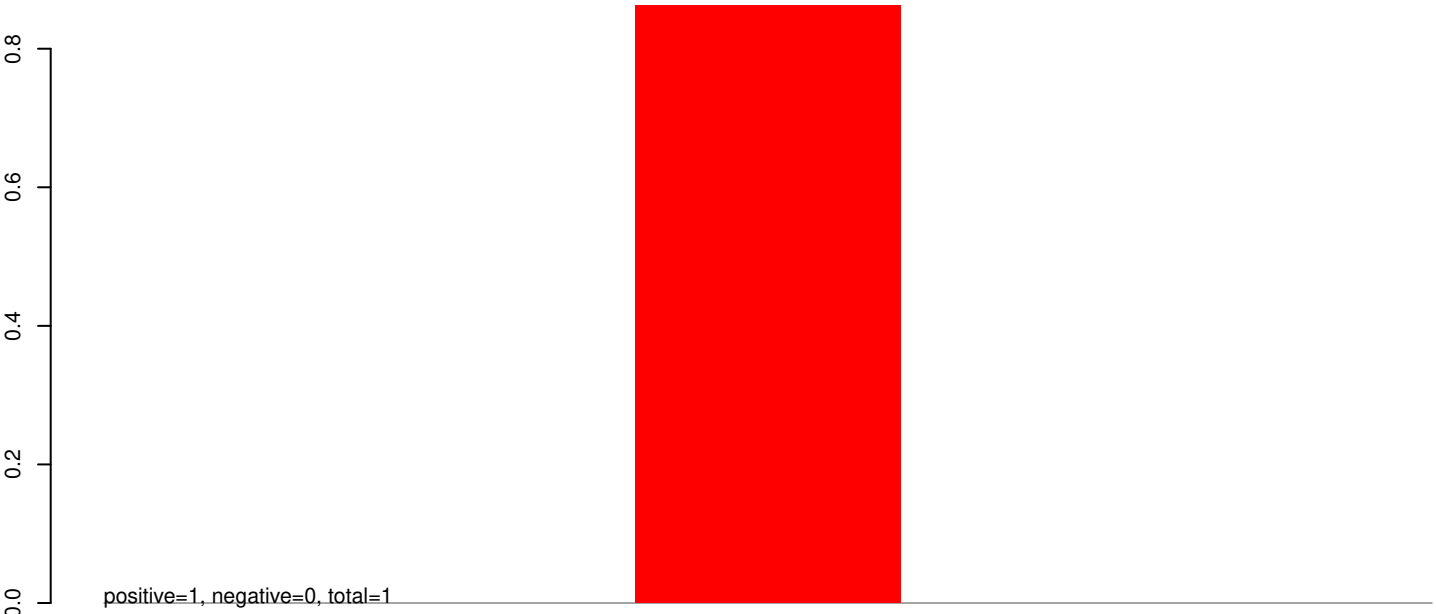


AeAeg_Aag2_Ago3_SINV_RA.rep

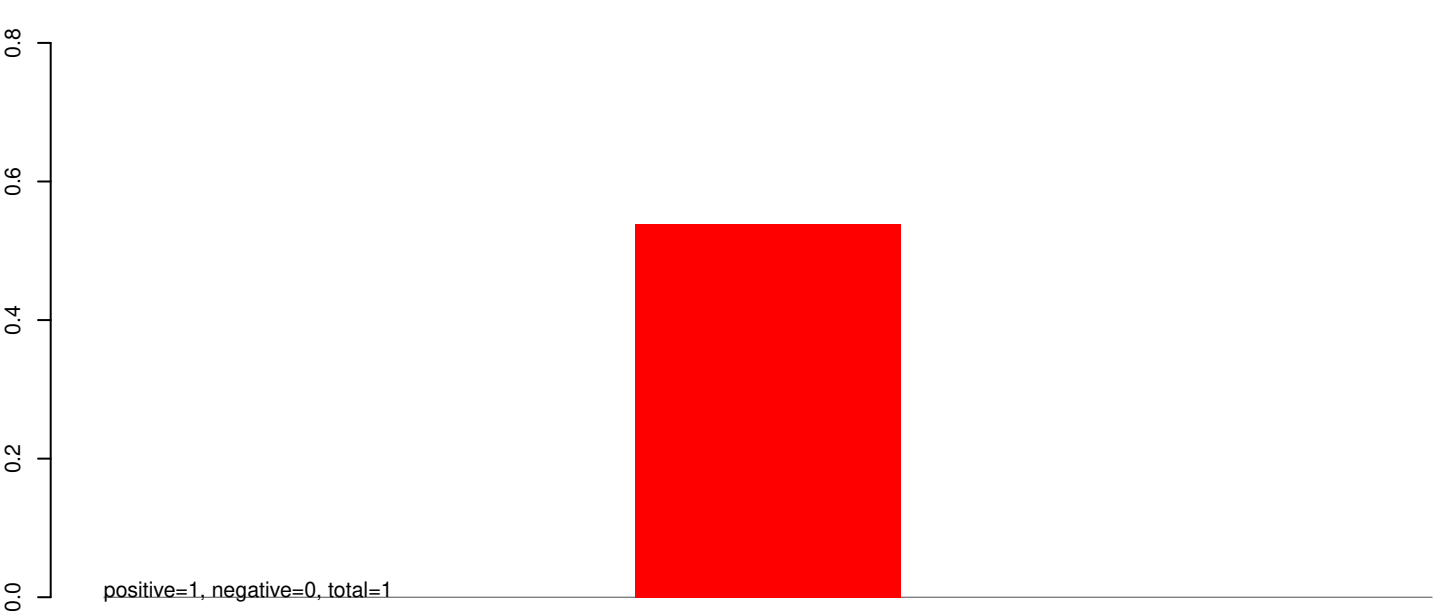


40 60 80 100 120

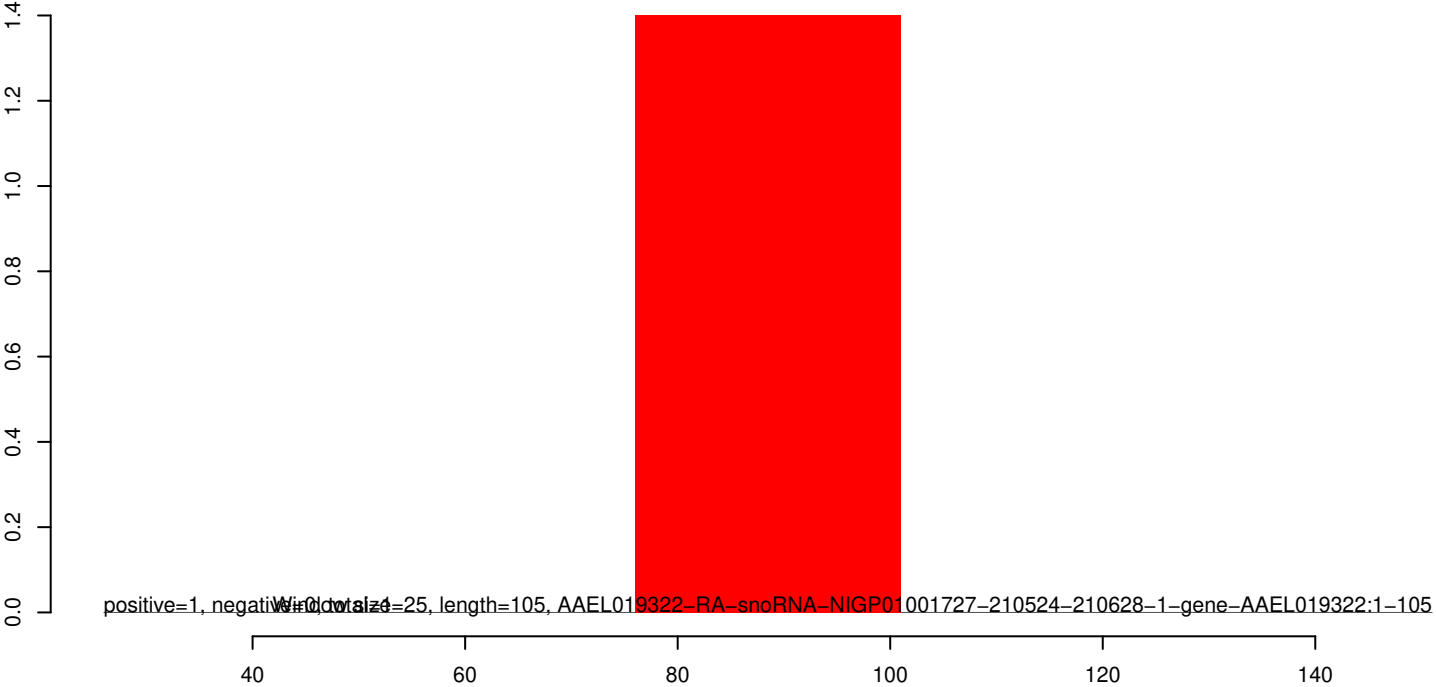
AeAeg_Aag2_Ago3_SINV_RA.18_23.rep



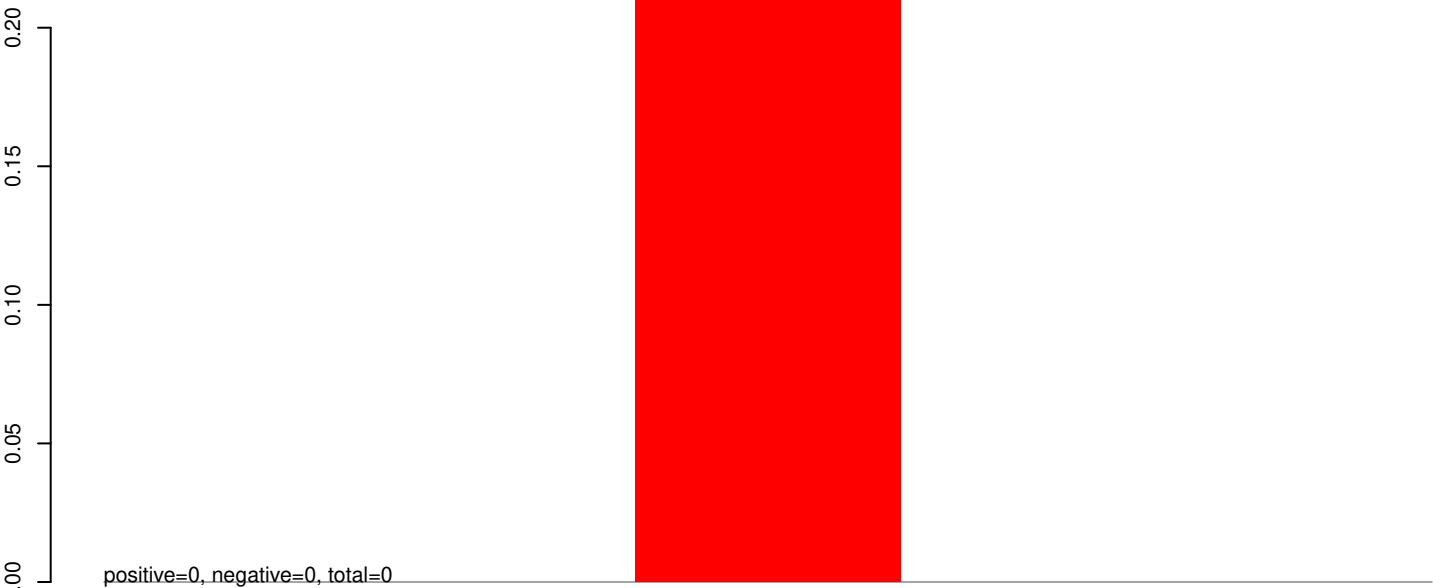
AeAeg_Aag2_Ago3_SINV_RA.24_35.rep



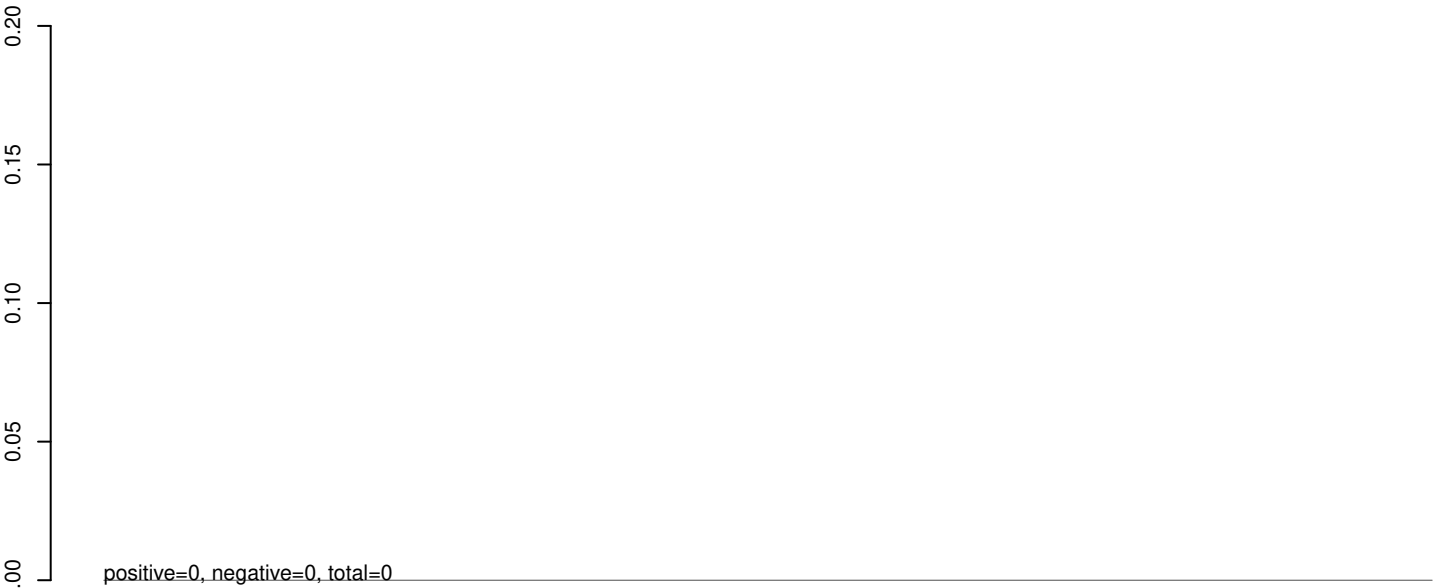
AeAeg_Aag2_Ago3_SINV_RA.rep



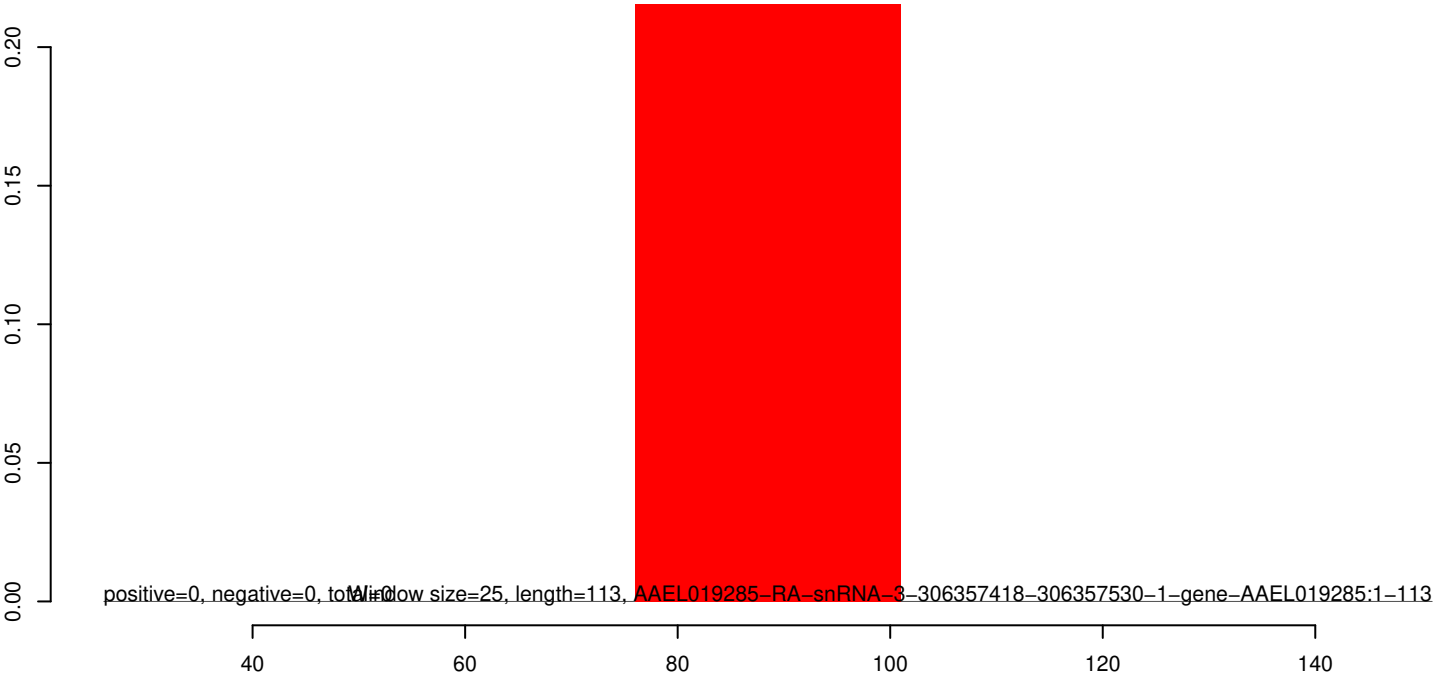
AeAeg_Aag2_Ago3_SINV_RA.18_23.rep



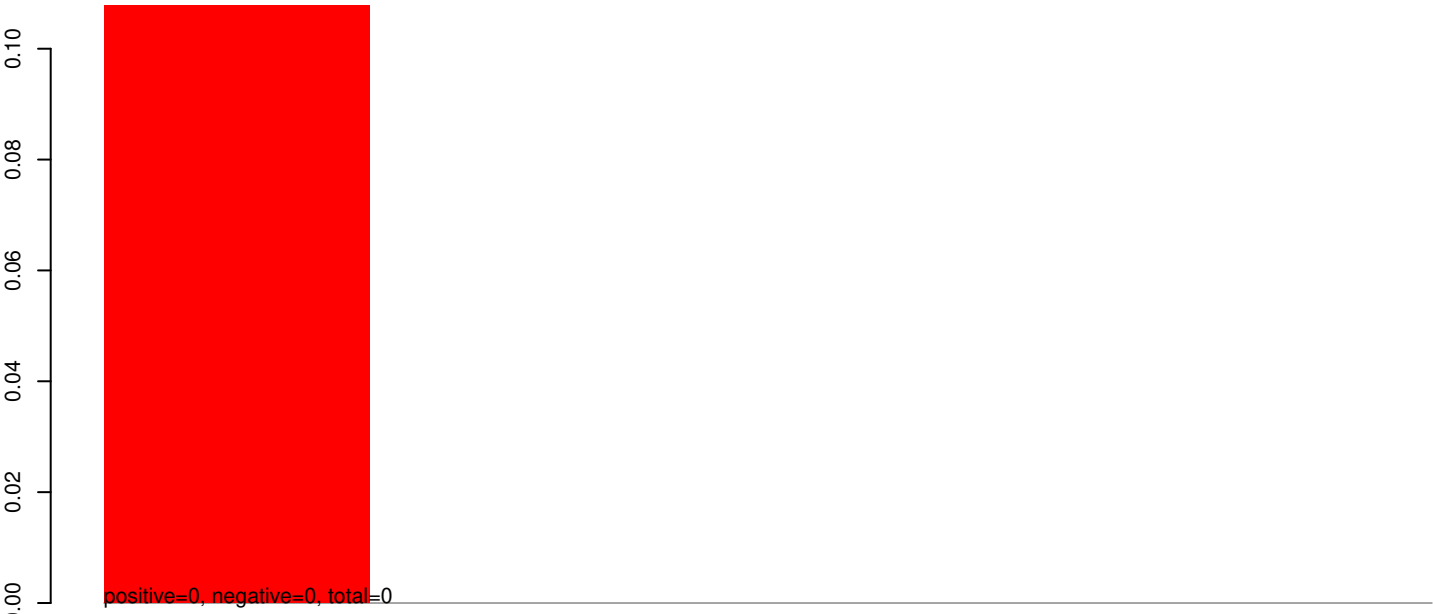
AeAeg_Aag2_Ago3_SINV_RA.24_35.rep



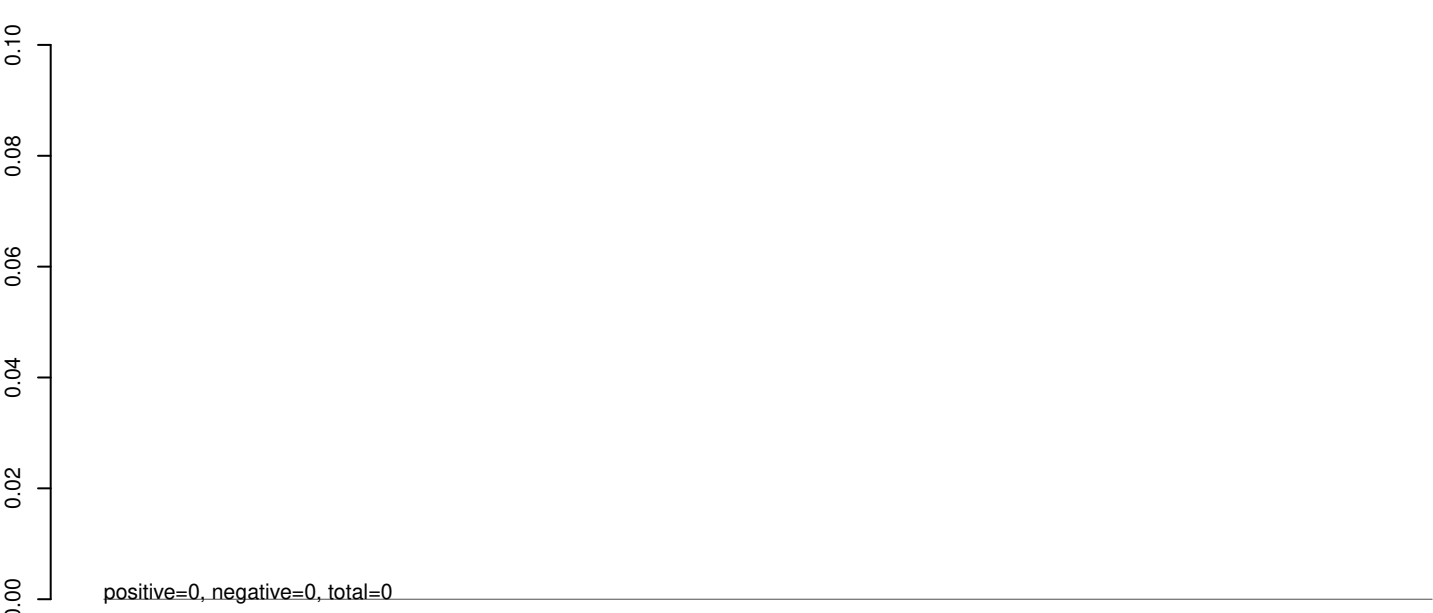
AeAeg_Aag2_Ago3_SINV_RA.rep



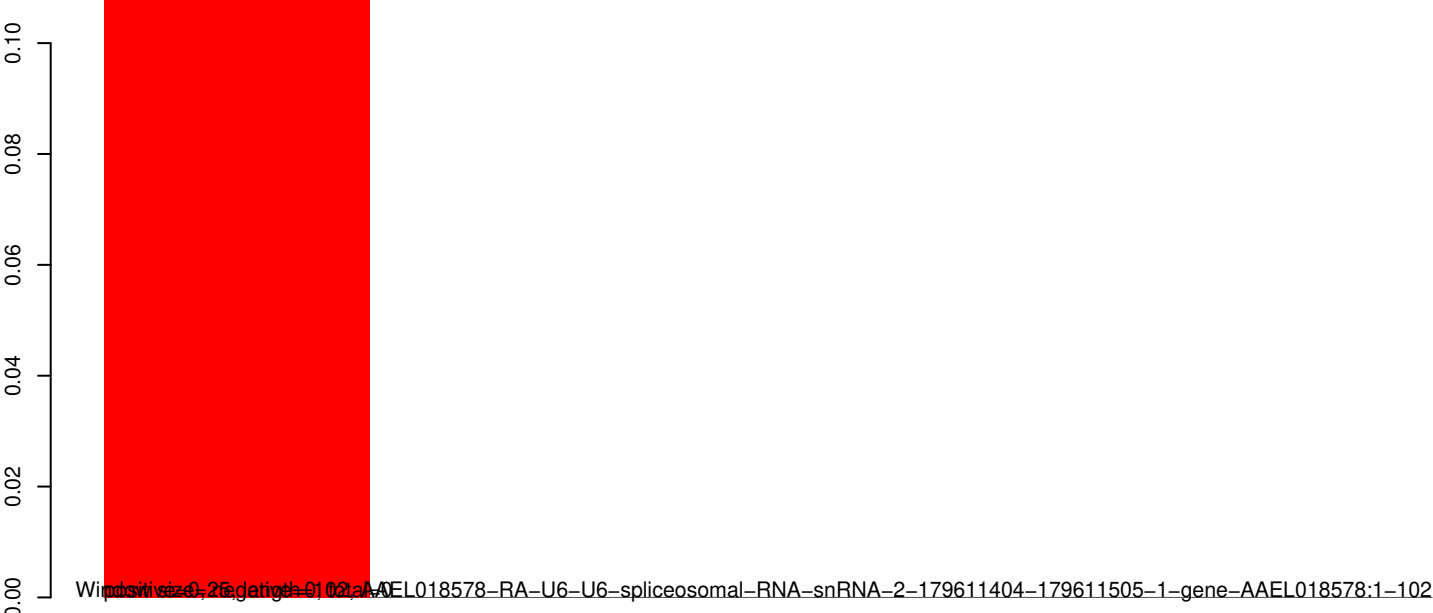
AeAeg_Aag2_Ago3_SINV_RA.18_23.rep



AeAeg_Aag2_Ago3_SINV_RA.24_35.rep



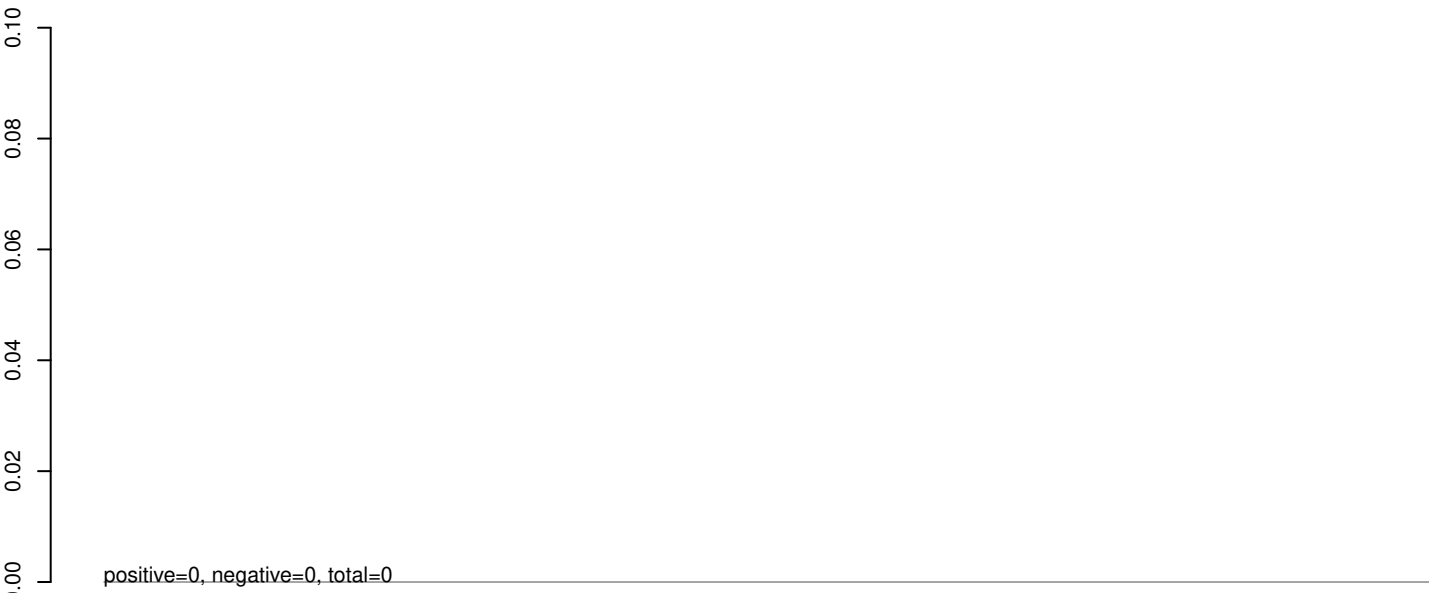
AeAeg_Aag2_Ago3_SINV_RA.rep



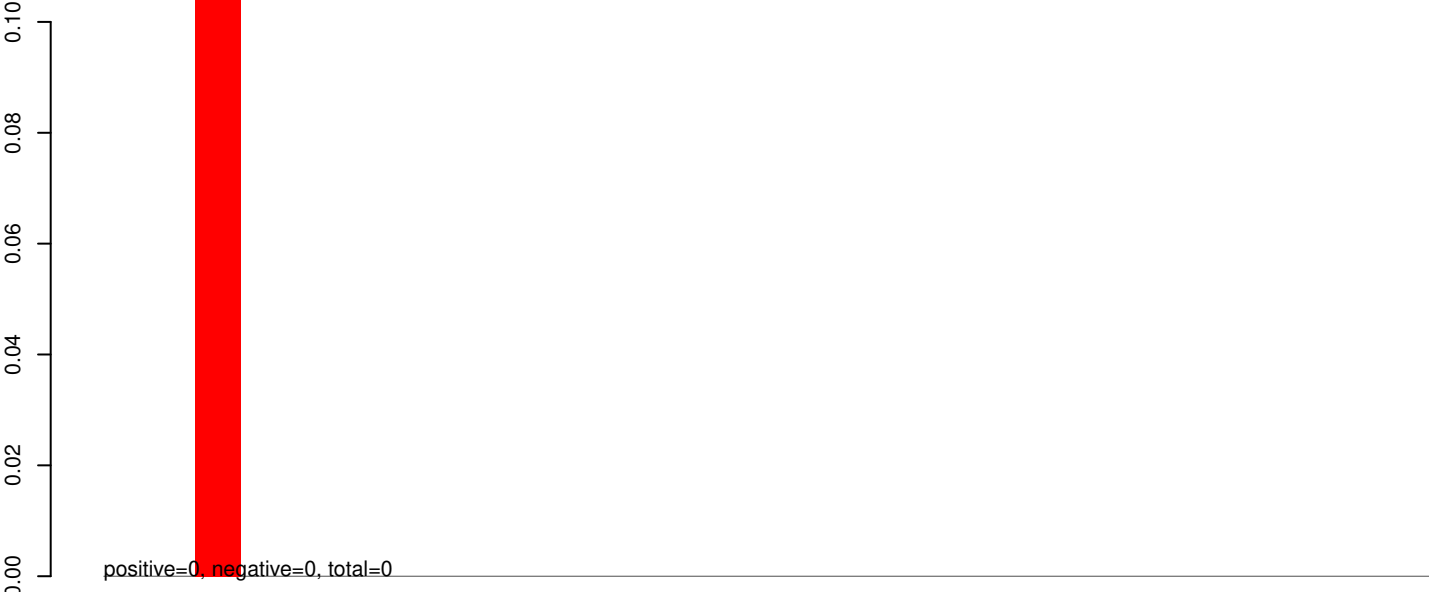
Wingless, 25, gating=0.02, AAEL018578-RA-U6-U6-spliceosomal-RNA-snRNA-2-179611404-179611505-1-gene-AAEL018578:1-102

40 60 80 100 120 140

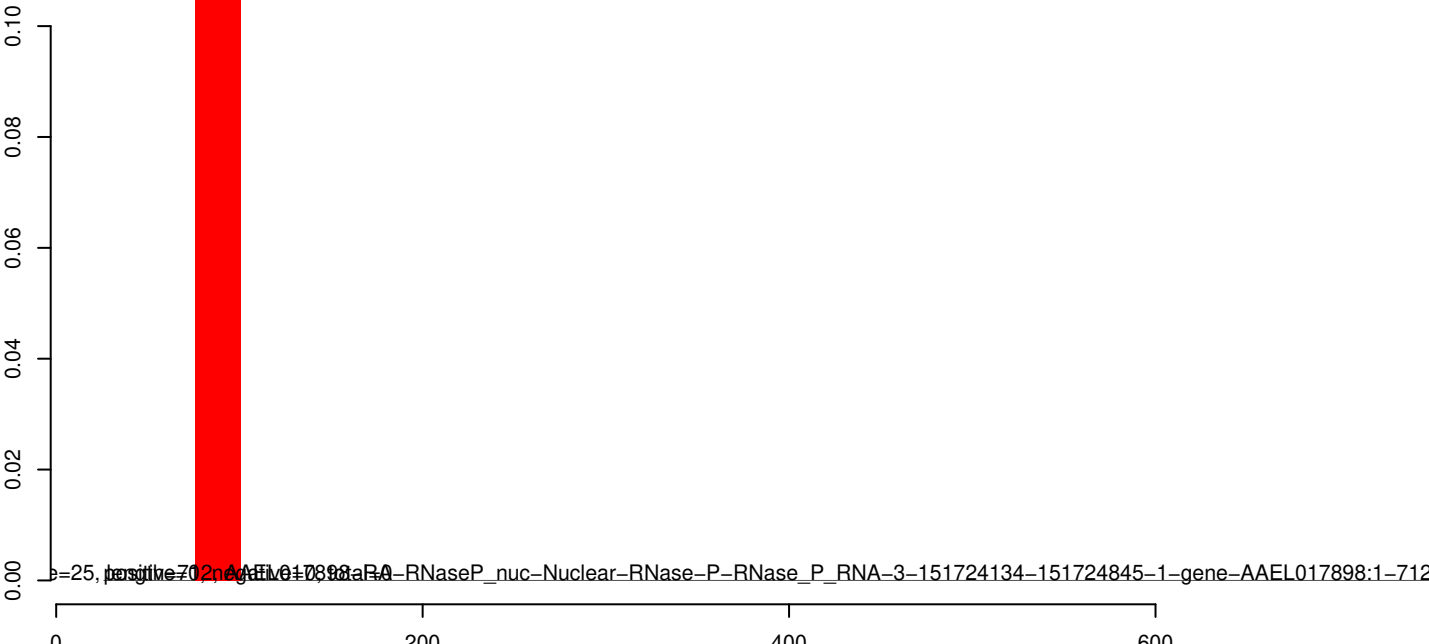
AeAeg_Aag2_Ago3_SINV_RA.18_23.rep



AeAeg_Aag2_Ago3_SINV_RA.24_35.rep



AeAeg_Aag2_Ago3_SINV_RA.rep



AeAeg_Aag2_Ago3_SINV_RA.18_23.rep



AeAeg_Aag2_Ago3_SINV_RA.24_35.rep



AeAeg_Aag2_Ago3_SINV_RA.rep

